ФЕДЕРАЛЬНОЕ ГОСУДАРСТВЕННОЕ БЮДЖЕТНОЕ НАУЧНОЕ УЧРЕЖДЕНИЕ «НАУЧНО-ИССЛЕДОВАТЕЛЬСКИЙ ИНСТИТУТ БИОМЕДИЦИНСКОЙ ХИМИИ ИМЕНИ В.Н. ОРЕХОВИЧА» (ИБМХ)

На правах рукописи

Кузиков Алексей Владимирович

ЭЛЕКТРОХИМИЧЕСКИЕ СИСТЕМЫ НА ОСНОВЕ ИЗОФЕРМЕНТОВ ЦИТОХРОМА Р450: ИДЕНТИФИКАЦИЯ МЕТАБОЛИТОВ И КИНЕТИЧЕСКИЙ АНАЛИЗ

1.5.4. – Биохимия

Диссертация на соискание ученой степени доктора биологических наук

Научный консультант: доктор биологических наук, профессор Шумянцева Виктория Васильевна

ОГЛАВЛЕНИЕ

ВВЕДЕНИЕ6
ГЛАВА 1. ОБЗОР ЛИТЕРАТУРЫ
1.1. Значимость цитохромов Р450 в живых системах
1.2. Особенности структурно-функциональной организации основных
цитохром Р450-содержащих систем
1.3. Методология определения активности цитохромов Р450
1.4. Электрохимические системы на основе цитохромов Р450: механизмы
электрокаталитических реакций и определение активности
1.4.1. Теоретические аспекты функционирования электрохимических систем
на основе цитохромов Р450
1.4.2. Электрохимические системы на основе очищенных цитохромов Р450 32
1.4.2.1. Адсорбция цитохромов Р450 на немодифицированных электродах 32
1.4.2.2. Иммобилизация цитохромов на электродах Р450 с помощью тонких
пленок
1.4.2.3. Иммобилизация цитохромов Р450 с помощью метода послойного
нанесения белка и полимерных пленок
1.4.2.4. Инкапсулирование цитохромов Р450 с помощью гелей
1.4.2.5. Ковалентная иммобилизация цитохромов Р450 на поверхности
электродов
1.4.2.6. Иммобилизация цитохромов Р450 на поверхности электродов с
помощью композитных материалов
1.4.3. Электрохимические системы на основе полусинтетических
флавоцитохромов Р450 и химерных цитохромов Р450
1.4.4. Электрохимические системы на основе мембраносвязанных
цитохромов Р450
1.4.4.1. Адсорбция мембраносвязанных цитохромов Р450 на
немодифицированных электродах
1.4.4.2. Иммобилизация мембраносвязанных цитохромов Р450 на электродах
с помощью тонких пленок

1.4.4.3. Иммобилизация мембраносвязанных цитохромов Р450 с помощью
метода послойного нанесения58
1.4.4.4. Инкапсулирование мембраносвязанных цитохромов Р450 с помощью
гелей
1.4.4.5. Иммобилизация мембраносвязанных цитохромов Р450 за счет
электростатического взаимодействия с функционализированными
поверхностями электродов61
1.4.4.6. Адсорбция на электродах, модифицированных углеродными
нанотрубками64
1.5. Концепция биэлектродных электрохимических систем для определения
активности ферментов 67
1.6. Электрохимическое определение метаболитов лекарственных
соединений70
1.6.1. Электрохимическое определение продуктов реакций ароматического
гидроксилирования71
1.6.2. Электрохимическое определение продуктов реакций О-
деалкилирования
ГЛАВА 2. МАТЕРИАЛЫ И МЕТОДЫ
2.1. Реактивы
2.2. Препараты ферментов
2.3. Электроды
2.4. Оборудование 86
2.5. Методики исследования
2.5.1. Химическая модификация электродов и иммобилизация цитохромов
P450, cyt <i>b</i> ₅ , CPR или бактосом
2.5.2. Исследование электрохимических свойств цитохромов P450, сут b_5 ,
CPR и бактосом в анаэробных условиях
2.5.3. Электрохимическое определение субстратов и метаболитов цитохром
Р450-зависимых реакций

2.5.3.1. Электрохимическое определение андростендиона, тестостерона,
эстрона и β-эстрадиола
2.5.3.2. Электрохимическое опредедение (S)-варфарина и (S)-7-
гидроксиварфарина
2.5.3.3. Электрохимическое определение диклофенака и 4'-
гидроксидиклофенака
2.5.3.4. Электрохимическое определение (S)-напроксена и (S)-О-
десметилнапроксена
2.5.3.5. Электрохимическое определение фенитоина и 4-гидроксифенитоина 92
2.5.3.6. Электрохимическое определение хлорзоксазона и 6-
гидроксихлорзоксазона
2.5.4. Определение гидрокортизона и 6β-гидроксикортизола методом
флуоресцентной спектроскопии
2.5.5. Определение электрокаталитической активности цитохромов Р450 94
2.5.5.1. Определение электрокаталитической активности СҮР19А1
2.5.5.2. Определение электрокаталитической активности СҮР2С9 по
отношению к (S)-варфарину
2.5.5.3. Определение электрокаталитической активности СҮР2С9 по
отношению к диклофенаку96
2.5.5.4. Определение электрокаталитической активности СҮР2С9 по
отношению к (S)-напроксену
2.5.5.5. Определение электрокаталитической активности СҮР2С19 по
отношению к фенитоину
2.5.5.6. Определение электрокаталитической активности СҮР2Е1-
содержащих бактосом по отношению к хлорзоксазону
2.5.5.7. Определение электрокаталитической активности СҮРЗА4 по
отношению к гидрокортизону
2.5.6. Определение параметров стационарной кинетики биотрансформации
исследуемых соединений при участии цитохромов Р450 101
2.5.7. Математическая и статистическая обработка данных

ГЛАВА 3. РЕЗУЛЬТАТЫ И ИХ ОБСУЖДЕНИЕ103
3.1. Разработка методологии биэлектродной электрохимической системы для
определения активности цитохромов Р450
3.1.1. Биэлектродная электрохимическая система для определения
каталитической активности СҮР19А1 по отношению к андрогенам 103
3.1.2. Биэлектродная электрохимическая система для определения
каталитической активности СҮР2С9 по отношению к (S)-варфарину
3.1.3. Биэлектродная электрохимическая система для определения
каталитической активности СҮР2С9 по отношения к диклофенаку
3.1.4. Биэлектродная электрохимическая система для определения
каталитической активности СҮР2С9 по отношения к (S) -напроксену 147
3.1.5. Электрохимическая система для определения каталитической
активности СҮР2С19 по отношению к фенитоину
3.1.6. Биэлектродная электрохимическая система для определения
каталитической активности СҮР2Е1 по отношению к хлорзоксазону 168
3.2. Методы определения метаболитов электрокаталитических цитохром
Р450-зависимых реакций, основанные на флуоресцентной спектроскопии:
электрохимическая система для определения активности СҮРЗА4 по
отношению к гидрокортизону
ЗАКЛЮЧЕНИЕ
ВЫВОДЫ
СПИСОК СОКРАЩЕНИЙ И УСЛОВНЫХ ОБОЗНАЧЕНИЙ221
СПИСОК ЛИТЕРАТУРЫ
ПРИЛОЖЕНИЕ
БЛАГОДАРНОСТИ274

ВВЕДЕНИЕ

Актуальность темы и степень ее разработанности.

Определение кинетических параметров цитохром Р450-зависимых реакций имеет принципиальное значение при исследовании метаболизма лекарственных соединений, выявлении ингибиторов и оценке межлекарственных взаимодействий. Электрохимические методы занимают одно из ведущих мест в изучении энзимологии гем-тиолатных ферментов суперсемейства цитохрома Р450. С помощью электрохимических методов могут быть определены окислительновосстановительные потенциалы и кинетические параметры этих ферментов [1]. Преимуществом электрохимических систем для исследования каталитических свойств цитохромов Р450 является отсутствие необходимости использования восстанавливающих коферментов и редокс-партнерных белков, поскольку каталитические реакции в присутствии субстратов инициируются восстановления иона железа гема фермента электронами с электрода [2-5]. В присутствии органических субстратов и кислорода наблюдается увеличение амплитуды восстановительного тока иона железа гема цитохромов Р450 (каталитический ток), связанное с протеканием каталитической реакции в электрохимической системе [6]. Регистрируя с помощью электрохимических методов изменение амплитуды восстановительного тока цитохромов Р450 при титровании субстратами, можно определять значения константы Михаэлиса ($K_{\rm M}$) и константы каталитической (k_{cat}) [1], а также охарактеризовать специфичность фермента и исследовать влияние ингибиторов. Несмотря на практическое удобство регистрации активности цитохромов Р450 по каталитическому току, вследствие неполного сопряжения каталитического цикла этих ферментов для точного в особенности определения кинетических параметров, $k_{\rm cat}$ необходимы идентификация и количественное определение образующихся метаболитов [2, 7, 8]. Для этих целей при использовании электрохимических систем для определения активности цитохромов Р450 необходимо дополнительно применять трудоемкие хроматографические и масс-спектрометрические методы [6, 9], что ограничивает проведение высокопроизводительных исследований функциональной активности цитохромов P450 в экспериментальной фармакологии [10]. Таким образом, актуальной является разработка новых высокопроизводительных и удобных в практическом применении электрохимических систем для идентификации и количественного определения метаболитов, образующихся при протекании цитохром P450-зависимых каталитических реакций.

Решение проблемы, связанной с точным определением параметров стационарной кинетики цитохромов Р450, может быть достигнуто в случае использования биэлектродной системы, в которой один из электродов служит для иммобилизации цитохромов Р450 и одновременно является донором электронов для восстановления иона железа гема фермента, а второй электрод – для идентификации и количественного определения образующихся метаболитов путем их электрохимического окисления при потенциалах, отличных от потенциалов окисления субстратов. Достоинствами такой системы, помимо отсутствия необходимости реконструирования ферментативной системы, являются возможность избежать многоэтапных процессов разделения компонентов инкубационной количественном смеси при определении продуктов ферментативных реакций, а также высокая чувствительность электрохимического анализа. Использование взаимозаменяемых электродов, производимых методом трафаретной печати (печатных электродов), как для иммобилизации ферментов, так и для определения образующихся метаболитов позволяет миниатюризировать систему для определения активности цитохромов Р450.

Кроме того, проблема точного определения параметров стационарной кинетики иммобилизованных на электроде цитохромов P450 может быть решена путем разработки альтернативного подхода, в котором образующиеся метаболиты определяются спектрально по интенсивности в максимуме поглощения или флуоресценции при длине волны, отличной от таковой для субстрата. С помощью данной системы могут быть определены продукты ферментативных реакций, процесс электрохимического окисления которых на электроде затруднен, а также

реакций, субстраты и продукты которых имеют близкие или одинаковые потенциалы окисления.

Предложенные подходы перспективны для практического использования при решении широкого спектра фундаментальных и прикладных задач энзимологии цитохромов P450, экспериментальной фармакологии при выявлении ингибиторов цитохромов P450 и прогнозе межлекарственных взаимодействий.

Учитывая вышесказанное, **целью** диссертационной работы являлась разработка электрохимических систем для идентификации метаболитов и кинетического анализа цитохром P450-зависимых реакций.

В соответствии с целью были поставлены следующие задачи:

- 1. Провести исследование электрохимических свойств ряда субстратов и продуктов их цитохром P450-зависимых реакций ароматического гидроксилирования, деалкилирования или ароматизации и оценить возможность их электрохимического определения.
- 2. Разработать биэлектродную электрохимическую систему, в которой один из электродов служит ДЛЯ иммобилизации рекомбинантных или P450 мембраносвязанных цитохромов ИХ электрохимического И восстановления, а другой электрод – для идентификации и количественного образующихся метаболитов определения за счет ИХ прямого электрохимического окисления.
- 3. С помощью разработанной биэлектродной системы исследовать кинетику реакций, катализируемых иммобилизованными на электроде изоферментами цитохрома P450 по отношению к их субстратам.
- Разработать систему для определения электрокаталитической активности СҮРЗА4, иммобилизованного на электроде, по отношению к гидрокортизону, основанную на регистрации продукта реакции – 6β-гидроксикортизола – методом флуоресцентной спектроскопии.
- 5. Оценить возможность применения разработанных систем для исследования ингибиторов цитохромов Р450.

Личный вклад соискателя.

Непосредственно соискателем выполнен анализ литературы и современного состояния по теме диссертационной работы, поставлена цель и сформулированы исследования. Соискателем непосредственно разработаны задачи оригинальные подходы к идентификации и количественному определению метаболитов ряда цитохром Р450-зависимых реакций, основанные на применении электрохимических и флуоресцентных методов. Автором диссертационной работы показана возможность применения разработанных подходов для исследования кинетики цитохромов P450 19A1 (СҮР19A1), 2С9 (СҮР2С9), 2С19 (СҮР2С19), 2Е1 (СҮР2Е1) и 3А4 (СҮР3А4). Все представленные в диссертационной работе спланированы были эксперименты соискателем лично. Эксперименты, математическая и статистическая обработка полученных результатов выполнялись автором лично либо при его непосредственном участии. По результатам диссертационной работы соискателем в соавторстве подготовлена 21 научная статья. Результаты, полученные в ходе выполнения диссертационной работы, были доложены на научных мероприятиях лично соискателем либо участниками проектов, в рамках которых осуществлялась финансовая поддержка исследования.

Научная новизна исследования.

В диссертационной работе впервые разработана методология электрохимической идентификации и количественного определения продуктов электрокаталитических Р450-зависимых реакций. цитохром Исследованы электрохимические свойства ряда метаболитов лекарственных или эндогенных соединений, образующихся при участии клинически значимых цитохромов Р450 19А1, 2С9, 2С19, 2Е1. Показано, что проанализированные соединения и их метаболиты, образующиеся в реакциях ароматического гидроксилирования, деалкилирования или ароматизации, различаются потенциалам ПО электрохимического окисления. Основываясь на различиях электрохимических свойств субстратов СҮР19А1, СҮР2С9, СҮР2С19, СҮР2Е1 и их метаболитов, была разработана оригинальная электрохимическая система ДЛЯ определения активности цитохромов Р450, в которой один из электродов служит для

иммобилизации рекомбинантных или мембраносвязанных цитохромов Р450 и донором электронов для восстановления иона железа гема, а второй – для идентификации и количественного определения образующихся продуктов путем их электрохимического окисления. Достоинством такой системы является отсутствие необходимости реконструирования ферментативной системы с использованием восстанавливающих коферментов и многоэтапных процессов разделения компонентов инкубационной смеси при определении активности цитохромов Р450. Также был разработан оригинальный подход для определения активности СҮРЗА4 по отношению к маркерному субстрату гидрокортизону, при котором фермент иммобилизован на электроде, а образующийся метаболит, 6β-гидроксикортизол, определяется методом флуоресцентной спектроскопии после химической дериватизации.

Разработанные подходы могут использоваться в фармакологических исследованиях при выявлении и изучении свойств ингибиторов цитохромов Р450 для поиска новых лекарственных соединений и оценки межлекарственных взаимодействий.

Теоретическая и практическая значимость работы.

Теоретической значимостью диссертационной работы является установление различий в электрохимических свойствах (таких как способность окисляться при различных потенциалах) ряда субстратов цитохромов Р450 и их метаболитов, гидроксифенильные группы, образующихся содержащих результате реакций ароматического гидроксилирования, деалкилирования или ароматизации, что позволило разработать принципиально новую электрохимическую систему для определения каталитической активности цитохромов Р450, иммобилизованных на электроде. Впервые обнаружены флуоресценции гидрокортизона различия спектрах продукта биотрансформации – 6β-гидроксикортизола, образующегося под действием СҮРЗА4, обработанных серной кислотой. На основании этого был разработан подход к определению активности СҮРЗА4, иммобилизованного на электроде, путем количественного флуоресцентного определения продукта ферментативной реакции.

Практическая значимость работы состоит в том, что предложенные в работе подходы могут применяться при решении прикладных задач энзимологии цитохромов P450, моделировании ферментативных процессов фармакологических исследованиях для *in vitro* оценки фармакокинетических параметров биотрансформации лекарственных соединений, выявления и изучения свойств ингибиторов, для поиска новых лекарственных соединений и прогноза межлекарственных взаимодействий. Также разработанные подходы могут использоваться для контроля каталитической активности цитохромов Р450 при разработке новых стратегий их иммобилизации на электродах.

Основные положения, выносимые на защиту.

- 1. Продукты цитохром Р450-зависимых реакций ароматического гидроксилирования, деалкилирования и ароматизации, приводящих к образованию гидроксифенильных производных, могут быть определены за счет их прямого электрохимического окисления при потенциалах, отличных от потенциалов окисления соответствующих субстратов.
- 2. Определение электрокаталитической активности цитохромов P450 и исследование ингибиторов может проводиться с помощью биэлектродной системы, в которой один из электродов служит для иммобилизации и электрохимического восстановления рекомбинантных или мембраносвязанных ферментов, а другой электрод для идентификации и количественного определения образующихся продуктов соответствующих ферментативных реакций.
- 3. Установлен механизм переноса электронов между электродом и компонентами бактосом и показана стимулирующая роль цитохром P450 редуктазы на электрокаталитическую активность CYP2E1 в составе бактосом.
- Определение электрокаталитической активности СҮРЗА4 по отношению к гидрокортизону и исследование ингибиторов этого фермента может проводиться путем количественного флуоресцентного определения продукта ферментативной реакции – 6β-гидроксикортизола.

Степень достоверности и апробация результатов.

работа Диссертационная выполнена на высоком теоретическом, методическом и экспериментальном уровнях. Электрохимические исследования выполнялись на современных потенциостатах/гальваностатах Metrohm Autolab, Metrohm DropSens и PalmSens, абсорбционная спектроскопия выполнялась на двухлучевых спектрофотометрах Agilent Technologies и Shimadzu, флуоресцентная спектроскопия выполнялась с помощью спектрофлуориметра Agilent Technologies. Все приборы были снабжены специализированным программным обеспечением. Полученные результаты воспроизводимы и были обработаны общепринятыми методами статистического анализа с применением компьютерных программ. Выводы обоснованы и полностью вытекают из полученных экспериментальных результатов. Основные результаты диссертационной работы были доложены и обсуждены на V Юбилейной конференции «Молекулярные и Биологические аспекты Химии, Фармацевтики и Фармакологии» (МОБИ-ХимФарма2019) (Россия, Крым, Судак, 2019), на 24-ой Международной Пущинской школеконференции молодых ученых «Биология – наука XXI века» (Россия, Пущино, 2020), на X Юбилейной Всероссийской конференции по электрохимическим методам анализа «ЭМА-2020» (Россия, Казань, 2020), на VII Междисциплинарной конференции «Молекулярные и Биологические аспекты Химии, Фармацевтики и Фармакологии» (МОБИ-ХимФарма2021) (Россия, Москва, 2021), на IV Съезде аналитиков России (Россия, Москва, 2022), на VII Съезде биохимиков, молекулярных биологов и физиологов России (Россия, Сочи, 2022), на XXIV Международной научно-практической конференции студентов и молодых ученых «Химия и химическая технология в XXI веке» (Россия, Томск, 2023).

Публикации.

По результатам диссертационной работы опубликовано 29 работ, в том числе 21 статья в рецензируемых научных изданиях и 8 работ в сборниках трудов научных конференций.

Работа лаборатории биоэлектрохимии выполнена Федерального государственного бюджетного научного учреждения «Научно-исследовательский институт биомедицинской химии имени В.Н. Ореховича» (ИБМХ) совместно с биохимии медико-биологического кафедрой факультета лабораторией биокаталитических систем Федерального государственного автономного образовательного учреждения высшего образования «Российский национальный Н.И. исследовательский медицинский университет имени Пирогова» Министерства здравоохранения Российской Федерации (ФГАОУ ВО РНИМУ им. Н.И. Пирогова Минздрава России) при поддержке Российского фундаментальных исследований (гранты № 18-315-00043 мол а и 19-315-70003 мол а мос), Российского научного фонда (гранты № 17-75-20250 и 21-75-00048), Государственного задания на выполнения поисковых научных исследований, Программы фундаментальных научных исследований государственных академий наук на 2013-2020 гг, Программы фундаментальных научных исследований в Российской Федерации на долгосрочный период (2021-2030 годы) и Проекта по созданию и развитию научных центров мирового уровня «Цифровой дизайн и при финансовой персонализированное здравоохранение» поддержке Министерства образования и науки Российской Федерации (соглашение № 075-15-2022-305).

ГЛАВА 1. ОБЗОР ЛИТЕРАТУРЫ

1.1. Значимость цитохромов Р450 в живых системах

Цитохромы Р450 – гем-тиолатные монооксигеназы, катализирующие реакции гидроксилирования алифатических и ароматических соединений, спиртов и аминов, окисления гетероатомов (N, S, Р и I), окисления эпоксидирования алкенов и аренов, дегалогенирования, деаминирования и N-, O- и S-деалкилирования [11]. Ферменты суперсемейства цитохрома P450 обнаружены у представителей всех царств [12]. У человека цитохромы Р450 локализованы в эндоплазматическом ретикулуме и митохондриях практически всех тканей. Большое число лекарственных соединений подвергается метаболизму при участии цитохромов Р450 печени, при этом изменение метаболизма лекарственных препаратов за счет генетических особенностей этих ферментов или возникновение взаимодействий межлекарственных при одновременном использовании нескольких препаратов может являться причиной возникновения нежелательных побочных эффектов [13]. Цитохромы Р450, участвующие в метаболизме эндогенных соединений, рассматриваются как молекулярные мишени для лечения ряда заболеваний. Так, например, цитохром Р450 17А1 (СҮР17А1) и СҮР19А1 (ароматаза), продуцирующиеся в стероидогенных тканях, катализируют ключевые стадии биосинтеза андрогенов и эстрогенов, соответственно, что делает эти ферменты молекулярными мишенями для действия лекарственных соединений, ингибирующих их активность, при лечении гормон-зависимых опухолей [14, 15]. Цитохром Р450 11А1 (СҮР11А1), катализирующий образование прегненолона из холестерина, также рассматривается в качестве перспективной мишени для лечения гормон-зависимых опухолей [16]. Кроме того, цитохром Р450 11В1 (СҮР11В1), локализованный в коре надпочечников, является перспективной молекулярной мишенью для лечения болезни Кушинга [17], а цитохром Р450 11В2 (СҮР11В2, альдостерон синтаза), также локализованный в коре надпочечников, – для лечения гипертонии [18, 19].

Цитохром P450 5A1 (CYP5A1, тромбоксан синтаза), локализованный в гемопоэтических клетках и многих других тканях и участвующий в биосинтезе мощного индуктора вазоконстрикции и агрегации тромбоцитов тромбоксана A2, является молекулярной мишенью для лечения сердечно-сосудистистых заболеваний [20].

Цитохромы Р450 патогенных микроорганизмов также представляют фармакологический интерес для разработки препаратов, ингибирующих их активность [21-23]. Ингибиторы цитохромов Р450, участвующих в различных стадиях метаболизма арахидоновой кислоты, рассматриваются в качестве молекулярных мишеней для действия препаратов, направленных на лечение сердечно-сосудистых и опухолевых заболеваний [24]. Биотехнологический интерес к цитохромам Р450 обусловлен их способностью осуществлять реакции с высокой регио- и стереоселективностью [25].

Применение эффективных подходов к определению активности этих ферментов является важной составляющей фармакокинетического анализа при разработке новых лекарственных препаратов и выявлении возможных межлекарственных взаимодействий. Исследование ингибиторных свойств по отношению к изоферментам цитохрома P450 новых соединений, перспективных для дальнейших иссследований в качестве лекарственных препаратов, является критически важной задачей при разработке фармацевтических препаратов [26].

1.2. Особенности структурно-функциональной организации основных цитохром Р450-содержащих систем

Каталитическая активность цитохромов P450 зависит от переноса электронов к иону железа гема этих ферментов при участии редокс-партнерных белков. В зависимости от молекулярной организации электрон-транспортной цепи, цитохром P450-содержащие системы можно разделить на несколько классов, из которых I класс электрон-транспортной цепи существует у прокариот и в митохондриальной мембране эукариот, а II класс локализован у эукариот в мембране

эндоплазматического ретикулума [25, 27]. В электрон-транспортной цепи I класса электроны от NADPH переносятся на FAD-содержащий белок ферредоксин (адренодоксин) редуктазу и далее на FeS-содержащий белок ферредоксин (адренодоксин), который восстанавливает ион железа гема цитохрома P450. В митохондриях млекопитающих цитохромы P450 осуществляют ряд важнейших стадий биосинтеза стероидных гормонов [27, 28]. Другие цитохром P450-содержащие митохондриальные системы участвуют в отдельных стадиях метаболизма холестерина [28]. В электрон-транспортной цепи II класса электроны от NADPH последовательно восстанавливают FAD и FMN, входящие в состав флавопротеина — цитохром P450 редуктазы (CPR), которая восстанавливает цитохром P450 [29]. Для функционирования ряда цитохромов P450 необходимым компонентном также является гемопротеин цитохром b_5 (cyt b_5) [30-33].

Белок-белковые и белок-липидные взаимодействия играют важнейшую роль в функционировании микросомальных монооксигеназных систем [34]. Липиды мембран модулируют каталитическую активность цитохромов P450, влияя на конформацию ферментов и, соответственно, на их взаимодействие с редокспартнерными белками и субстратами [35-37].

Каталитический цикл цитохрома P450, представленный на рисунке 1, является общепринятым [3, 38-43]. В отсутствие субстрата или ингибитора ион железа гема цитохрома P450 связан с шестым лигандом — молекулой воды. На первой стадии каталитического цикла происходит взаимодействие субстрата с активным центром фермента, ион железа гема которого находится в низкоспиновой ферри-форме (стадия 1 на рисунке 1). Связывание субстрата индуцирует смещение иона железа гема из плоскости порфиринового кольца в направлении пятого лиганда, т.е. атома серы остатка цистеина, при этом происходит вытеснение молекулы воды и переход иона железа гема в высокоспиновое состояние. В результате этих процессов происходит смещение редокс-потенциала иона железа в более положительную область, что способствует его восстановлению электроном, поставляемым СРК (или другим редокс-партнерным белком) (стадия 2 на рисунке 1). В результате восстановления иона железа гема первым электроном происходит

образование комплекса ферро-формы фермента с субстратом. Ион железа гема цитохрома Р450 в восстановленном состоянии эффективно связывает кислород (стадия 3 на рисунке 1), при этом образующаяся ферро-окси-форма фермента находится в равновесии с ферри-суперокси-формой, содержащей неспаренный электрон на дистальном атоме кислорода. Комплекс ферри-суперокси-формы фермента с субстратом может распадаться до супероксидного аниона (O_2^-) и окисленной формы цитохрома P450. При протекании продуктивного каталитического процесса комплекс ферри-суперокси-формы цитохрома Р450 с субстратом восстанавливается вторым электроном, поставляемым CPR (или другим редокс-партнерным белком, в том числе суt b_5 для некоторых изоферментов цитохрома Р450), что приводит к образованию ферри-перокси-формы фермента (стадия 4 на рисунке 1). Дальнейшее протонирование ферри-перокси-формы цитохрома Р450 приводит к образованию ферри-пергидрокси-формы фермента (стадия 5 на рисунке 1), распад которой является следствием образования пероксида водорода (H₂O₂) и окисленной формы цитохрома P450. При протекании продуктивного каталитического процесса ферри-пергидрокси-форма протонируется, что приводит к отщеплению воды и формированию оксоферрильной-формы цитохрома Р450 (стадия 6 на рисунке 1), непосредственно участвующей в окислении субстрата (стадия 7 на рисунке 1). Заключительной стадией цикла является высвобождение продукта реакции (стадия 8 на рисунке 1).

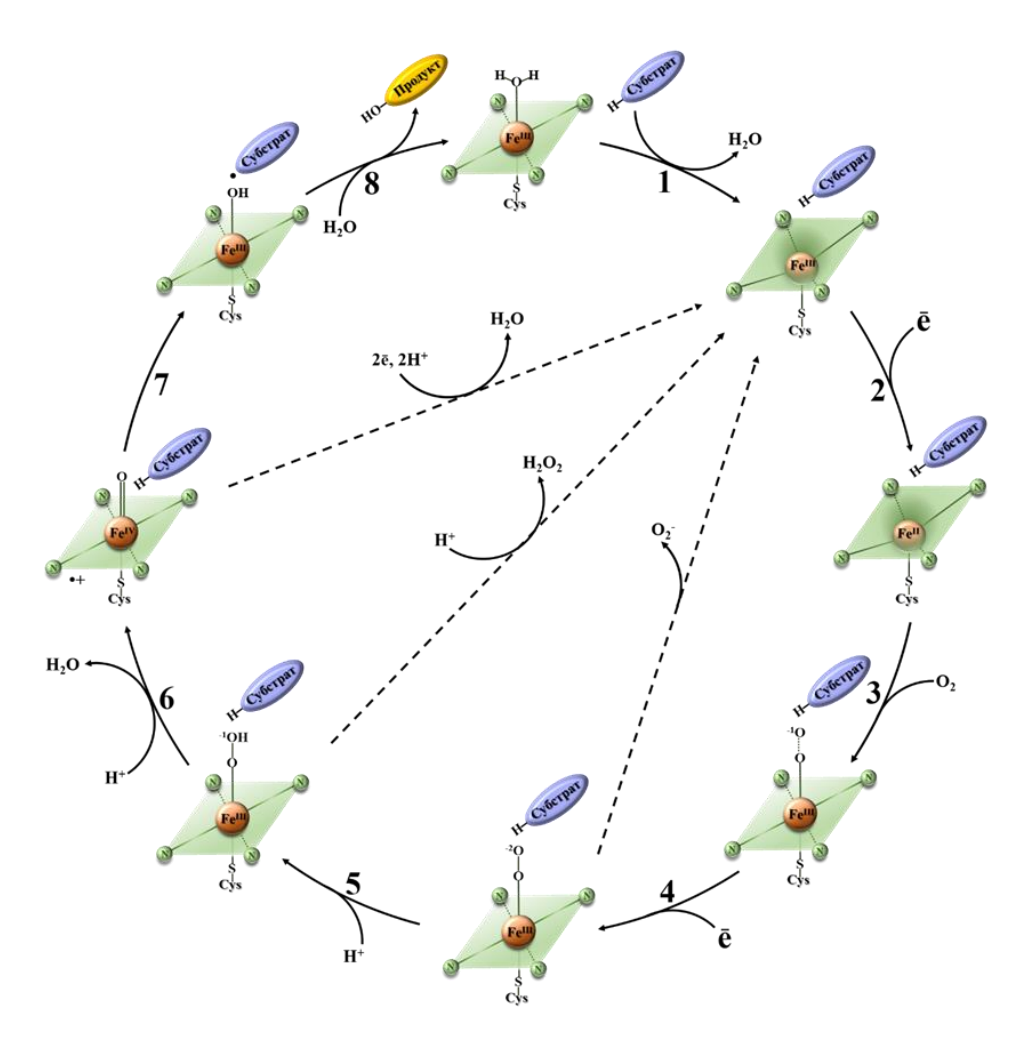


Рисунок 1. Каталитический цикл цитохрома Р450. Пояснение в тексте.

1.3. Методология определения активности цитохромов Р450

Цитохромы Р450 осуществляют биотрансформацию большого количества различных химических соединений, что обуславливает необходимость подбора случае идентификации оптимальных В каждом конкретном методов Ha количественного определения продуктов каталитических реакций. сегодняшний день разработано большое количество подходов для определения каталитической активности цитохромов Р450, основанных на мониторинге образования продуктов реакций методами хромато-масс-спектрометрического или 45]. спектрального анализа [44, Такие подходы, несмотря распространенность, являются многоэтапными, трудоемкими, требующими проведения дополнительных стадий удаления из образцов белков и других

молекул, затрудняющих проведение хроматографии, а также больших количеств фермента, что необходимо для достижения образования достаточных для определения концентраций продуктов реакций (выше предела определяемых концентраций) [45, 46]. Кроме того, не все соединения возможно эффективно анализировать методом масс-спектрометрии. Так, применение широко используемого метода электроспрейной ионизации может быть затруднено при определении слабо ионизируемых соединений, в числе которых нейтральные, неполярные молекулы [47]. В этом случае часто прибегают к методам химической дериватизации исследуемых соединений [47, 48].

Методы, основанные на использовании абсорбционной и флуоресцентной спектроскопий для идентификации и количественного определения метаболитов, часто применяются для исследования каталитической активности цитохромов P450. В результате реакций О- или N-деалкилирования ряда субстратов в качестве одного из продуктов образуется формальдегид, дающий по реакции Ганча (Hantzsch) в присутствии уксуснокислого аммония окрашенное соединение с ацетилацетоном – 3,5-диацетил-1,4-дегидро-2,6-пиридин максимумом 412 что поглощения при HM, основе его лежит В количественного колориметрического определения [49-51]. Данный подход часто применяется для опредеделения О- или N-деметилазной активности цитохромов P450. Кроме того, было показано, что изокапроальдегид, образующийся в результате реакции превращения холестерина в прегненолон, катализируемой СҮР11А1, также образует окрашенный комплекс по реакции Ганча, что может лежать в основе метода определения активности СҮР11А1 [52]. Сравнительно большей чувствительностью обладают основанные флуоресцентной методы, на спектроскопии. Флуоресцентный анализ является высокочувствительным и широко используется в биохимии, в том числе при проведении скрининга различных химических соединений с целью выявления ингибиторов клинически значимых цитохромов Р450 [45, 53-56]. В качестве синтетических флуорогенных субстратов цитохромов Р450 используются производные резоруфина [57], 6гидроксихинолина, флуоресцеина [58], 7-гидроксикумарина [59-61]. За счет

способности ряда флуорогенных субстратов проходить через клеточные мембраны они могут использоваться не только для определения активности цитохромов Р450 в реконструированных или микросомальных системах, но и для определения активности ферментов непосредственно в клетках [62].

Предприняты попытки использования методов определения каталитической активности цитохромов P450 по поглощению в процессе реакций NADPH, кислорода, пероксида водорода, органических гидропероксидов или по образованию активных форм кислорода (АФК) [44], однако эти методы не получили широкого распространения.

В доклинических и клинических исследованиях, связанных с определением активности цитохромов Р450, обычно используются реконструированные системы с рекомбинантными белками, микросомы человека либо микросомы, полученные генно-инженерным способом, например, ИЗ клеток насекомых, трансфицированных бакуловирусом, несущим гены цитохромов Р450 человека и CPR (BaculosomesTM или бакулосомы, SupersomesTM или суперсомы), или мембранные фракции, полученные ИЗ Escherichia coli, продуцирующих индивидуальные изоферменты цитохрома Р450 и компоненты монооксигеназной системы человека (Bactosomes®), а также первичная культура гепатоцитов [63].

Недостатком использования реконструированных цитохром Р450содержащих систем может быть отсутствие информации о природных или об оптимальных редокс-партнерах исследуемого изофермента [25]. Кроме того, при реконструировании необходимо осуществлять подбор оптимального состава и количества фосфолипидов. Микросомальные препараты, полученные генноинженерным способом (например, бакулосомы), позволяют экспрессировать необходимый изофермент цитохрома Р450 или СРR, либо совместно в заданном соотношении [4].

Lahoz и соавт. был разработан подход к определению активности восьми изоферментов цитохрома P450: цитохрома P450 1A2 (CYP1A2), цитохрома P450 2A6 (CYP2A6), цитохрома P450 2B6 (CYP2B6), CYP2C9, CYP2C19, цитохрома P450 2D6 (CYP2D6), CYP2E1 и CYP3A4, основанный на использовании 96-

луночного планшета, покрытого фибронектином и засеянного первичной культурой гепатоцитов человека [64]. Гепатоциты, находящиеся в планшете, инкубировали с субстратами соответствующих изоферментов (фенацетин, кумарин, бензоксирезоруфин, диклофенак, мефенитоин, буфуралол, хлорзоксазон, мидазолам). Активность изоферментов цитохрома P450 определяли количественным анализом образующихся метаболитов с помощью жидкостной хроматографии с тандемной масс-спектрометрией. Разработанный подход обладает высокой чувствительностью и специфичностью за счет массопределения метаболитов, спектрометрического a также возможностью использования минимального количества гепатоцитов. Авторы также отмечают, что для разработанного подхода определения активности цитохромов Р450 необходимо использовать такие субстраты, которые обладали бы специфичностью к исследуемым изоферментам, а также субстраты, метаболиты которых могут быть определены с высокой чувствительностью методом масс-спектрометрии с электроспрейной ионизацией.

Таким образом, разработка новых эффективных, удобных с практической точки зрения аналитических подходов, обладающих высокой чувствительностью, для определения активности цитохромов P450 имеет большое значение для скрининга потенциальных ингибиторов и субстратов этих ферментов [46].

1.4. Электрохимические системы на основе цитохромов Р450: механизмы электрокаталитических реакций и определение активности

Одной из пионерских работ по применению электрохимических систем для изучения свойств цитохромов P450, их восстановления и инициирования каталитической реакции была работа Scheller и соавт. [65]. Авторы показали, что электрохимические методы могут использоваться для восстановления NADP⁺, тем самым являясь альтернативой NADPH-регенерирующей ферментативной системе. Кроме того, электрохимические системы могут использоваться для восстановления кислорода, являющегося косубстратом цитохрома P450. Авторам также удалось

показать возможность электрохимического восстановления солюбилизированной формы цитохрома Р450, при этом микросомальная форма электрохимически Для напрямую не восстанавливалась. усиления восстановления солюбилизированного цитохрома Р450 авторы использовали метилвиологен как переноса электронов между электродом ферментом. Для медиатор И цитохром Р450-зависимого метаболизма бензфетамина, инициирования пара-нитроанизола авторы применили электрохимическое восстановление кислорода, при этом были зарегистрированы соответствующие продукты ферментативных реакций. Позже группой Estabrook была получена электрохимическая система, в которой цитохромы P450, CPR и гибридные белки, содержащие как гемовые домены индивидуальных изоферментов цитохрома Р450, так и флавиновые домены CPR находились в растворе и были способны осуществлять конверсию субстратов [66-68]. В качестве медиатора электронного переноса между электродом и активными центрами ферментов использовали (S)-1,3,6,8,10,13,16,19-октаазабицикло[6.6.6]эйкозанокобальт (сепульхрат кобальта), который при электрохимическом восстановлении был способен восстанавливать флавиновые кофакторы CPR и ионы железа гема цитохромов Р450. Авторы показали, что скорости каталитических реакций, осуществляемые в полученной ими электрохимической системе, и скорости аналогичных реакций, протекающих при участии NADPH, сопоставимы в большинстве случаев. Таким образом, данные работы послужили предпосылкой дальнейшего развития электрохимических систем ДЛЯ исследования цитохромов Р450.

Современной стратегией определения активности цитохромов Р450 является использование электрохимических систем, в которых фермент находится в иммобилизованном на электроде состоянии, а электрод служит источником электронов для прямого (безмедиаторного) восстановления иона железа гема и инициирования каталитической реакции по отношению к субстрату [1, 6, 69]. Иммобилизация цитохромов Р450 на электроде позволяет уменьшить количество используемого фермента. Кроме того, с помощью различных методов химической

модификации электродов можно осуществлять контроль ориентации молекул фермента электроде, повышать эффективность электрохимического восстановления цитохромов Р450. Несмотря на перечисленные достоинства электрохимических систем, в которых фермент находится в иммобилизованном состоянии, хорошо известно, что иммобилизация ферментов может приводить к изменению их кинетических параметров, субстратной специфичности и других характеристик фермента вследствие его структурных изменений или изменений физико-химических свойств матрицы, используемой для иммобилизации [70, 71]. Для полноценного и стабильного функционирования цитохромов Р450 в иммобилизованном состоянии, в том числе в электрохимических системах, необходимо учитывать особенности ЭТИХ ферментов, поскольку только правильные конформация и ориентация на матрице способствуют доступу к активному центру субстрата и кислорода, а также высвобождению продукта реакции [71]. Все перечисленные факторы обуславливают интенсивное развитие технологий иммобилизации цитохромов Р450, конечной целью которых является получение высокопроизводительных электрохимических систем для решения различных биомедицинских задач.

1.4.1. Теоретические аспекты функционирования электрохимических систем на основе цитохромов Р450

Для исследования электрохимических свойств цитохромов P450 и реакций, катализируемых этими ферментами, широкое распространение получили методы вольтамперометрического анализа [2, 72]. Для дальнейшего обсуждения электрохимических систем, применяющихся для исследования цитохромов P450, необходимо рассмотреть важные теоретические основы электрохимического анализа.

Одним из важнейших методов является циклическая вольтамперометрия. Метод заключается в измерении тока при линейной развертке потенциала, подаваемого на рабочий электрод, при этом потенциал в конце цикла измерения возвращается к первоначальному значению [73]. Циклическая вольтамперометрия позволяет исследовать механизмы и кинетику окислительно-восстановительных реакций, изучать процессы, протекающие на границе раздела фаз и зависящие от потенциала, например, адсорбционные процессы, а также с помощью данного метода часто удается идентифицировать промежуточные продукты реакций [73].

Для исследования электрохимических свойств различных веществ с помощью вольтамперометрического анализа наиболее методов часто используются трехэлектродные ячейки, в которых имеются рабочий электрод, вспомогательный электрод и электрод сравнения [73, 74]. Такие трехэлектродные ячейки позволяют компенсировать омическое падение напряжения в системе, при регистрируются истинные значения разности потенциалов электродами, а получаемые вольтамперограммы представляют собой зависимости тока от потенциала рабочего электрода, а не приложенного напряжения [73, 74]. При наличии внешнего напряжения, изменяющегося с постоянной скоростью, рабочий электрод переходит в поляризованное состояние, при этом его потенциал изменится на величину приложенного напряжения. При достижении потенциала рабочего электрода, достаточного для восстановления или окисления вещества, через ячейку начинает протекать ток.

Рассмотрим диффузионно-контролируемую обратимую электрохимическую реакцию, представляющую собой гетерогенный процесс обмена электронами (переноса заряда) между электродом и веществом, находящимся в растворе:

$$0x + n\bar{e} \rightleftharpoons Red, \tag{1}$$

где n — число электронов, участвующих в электрохимической реакции.

Потенциал электрода зависит от активностей окисленной (Ox) и восстановленной (Red) форм вещества и при равновесии уравнение Нернста может быть выражено следующим образом [75]:

$$E_{\rm eq} = E^{0'} + RT ln \frac{a[\rm Ox]}{a[\rm Red]}, \qquad (2)$$

где E_{eq} — равновесный потенциал, В, $E^{0'}$ — формальный потенциал, В, R — универсальная газовая постоянная (8,314 Дж/моль К), T — абсолютная температура,

K, a[Ox] — активность окисленной формы вещества, M, a[Red] — активность восстановленной формы вещества, M. B этом случае ток через ячейку не протекает.

Для определения значения $E^{0'}$ с помощью циклической вольтамперометрии может быть использовано уравнение (3) [74]:

$$E^{0'} = \frac{(E_{\rm c} + E_{\rm a})}{2},\tag{3}$$

где $E_{\rm c}$ – потенциал пика восстановления (катодного пика), B, $E_{\rm a}$ – потенциал пика окисления (анодного пика), B.

Отметим, что уравнение (3) справедливо только для обратимых процессов, поэтому в ряде случаев рекомендуется использовать термин средний потенциал или полупотенциал пиков, рассчитанный из циклических вольтамперограмм [74]. Поскольку в биологических системах трудно проводить измерения при стандартных условиях, средний потенциал пиков, определяемый уравнением (3), часто обозначают $E_{\rm m}$ (англ. midpoint potential) [76], подчеркивая тем самым его отличие от $E^{0'}$, определяемого при стандартных условиях. Отметим, что для характеристики окислительно-восстановительных процессов, связанных с цитохромами P450, для обозначения среднего потенциала пиков в литературе часто используют обозначение $E_{\rm m}$.

Если к электроду приложить дополнительный потенциал, то электрод переходит в поляризованное состояние, при этом разность между величиной приложенного потенциала и $E^{0'}$ называется перенапряжением:

$$\eta = E - E^{0'},\tag{4}$$

где η — перенапряжение, B, E — приложенный потенциал, B.

Скорость переноса заряда между электрохимически активным веществом и поверхностью электрода определяется окислительно-восстановительными свойствами вещества, характеризующимися гетерогенными константами скорости переноса электронов для восстановительного (k_c) и окислительного (k_a) процессов, которые могут быть выражены уравнениями 5 и 6, соответственно [74]:

$$k_{\rm c} = k_{\rm S} e^{\left[-\alpha \frac{nF\left(E-E^{0}\right)}{RT}\right]},\tag{5}$$

$$k_{\rm a} = k_{\rm s} e^{\left[\left(1-\alpha\right) \frac{nF\left(E-E^{0}\right)}{RT}\right]},\tag{6}$$

где $k_{\rm c}$ — гетерогенная константа скорости переноса электронов для восстановительного процесса, м/с, $k_{\rm s}$ — стандартная гетерогенная константа скорости переноса электрона, м/с, e — основание натурального логарифма, $k_{\rm a}$ — гетерогенная константа скорости переноса электронов для окислительного процесса, м/с, α — коэффициент переноса (доля перенапряжения, увеличивающая скорость восстановительного процесса), F — постоянная Фарадея (96485 Кл/моль).

Для электрохимического процесса, представленного уравнением 1, ток описывается уравнением Батлера-Фольмера [74, 77]:

$$I = nFAk_{s} \left\{ \Gamma_{ox} e^{-\alpha \frac{nF}{RT} (E - E^{0'})} - \Gamma_{red} e^{(1-\alpha) \frac{nF}{RT} (E - E^{0'})} \right\}, \tag{7}$$

где I — ток, A, A — площадь электрода, M^2 , Γ_{ox} — поверхностная концентрация окисленной (Ох) формы вещества, моль/ M^2 , Γ_{red} — поверхностная концентрация восстановленной (Red) формы вещества, моль/ M^2 .

Для обратимых процессов, контролируемых диффузией, ток восстановительного пика пропорционален корню квадратному из скорости развертки потенциала, согласно уравнению Рэндлса-Шевчика [74]:

$$I_{\rm p} = 0.446nFA[X]\sqrt{\frac{nF\nu D}{RT}},\tag{8}$$

где I_p – ток пика окисления или восстановления вещества X, A, [X] – концентрация вещества X, M, v – скорость сканирования, B/c, D – коэффициент диффузии, M^2/C .

Следовательно, диффузионно-контролируемый процесс окислительно-восстановительной реакции характеризуется линейной зависимостью тока пика от $p^{1/2}$.

Для обратимых электрохимических систем в отсутствие диффузии, т.е. в которых электроактивные молекулы адсорбированы на электроде или окислительно-восстановительный процесс протекает вблизи поверхности электрода, ток пиков линейно зависит от скорости сканирования и выражается следующим уравнением [78]:

$$I_{\rm p} = \frac{n^2 F^2}{4RT} \nu A \Gamma_0, \tag{9}$$

где Γ_0 — поверхностная концентрация электроактивного вещества на электроде, моль/м 2 .

В этом случае окислительно-восстановительная реакция характеризуется линейной зависимостью тока пика от v.

Из циклических вольтамперограмм может быть определено количество электроактивного вещества на поверхности электрода в соответствии с уравнением [77, 79]:

$$\Gamma_0 = \frac{Q}{nFA},\tag{10}$$

где Q — заряд, Кл, который может быть вычислен из циклических вольтамперограмм путем интегрирования пика.

Гетерогенная константа скорости переноса электронов между адсорбированными электроактивными молекулами и электродом может быть определена экспериментально по методу Лавирона [80].

Для цитохромов P450 кинетика восстановления и окисления на электроде сильно зависит от спинового состояния иона железа гема и от вторичной структуры фрагмента белка, образующего активный центр [81].

Параметры стационарной кинетики иммобилизованного на электроде цитохрома P450 могут быть определены из электрохимической формы уравнения Михаэлиса-Ментен [2]. Рассмотрим процесс, катализируемый ферментом, находящимся в иммобилизованном состоянии на вращающемся дисковом электроде:

$$E + S \stackrel{k_1}{\rightleftharpoons} ES \stackrel{k_{\text{cat}}}{\longrightarrow} E + P,$$

$$k_{-1}$$
(11)

где E — фермент, S — субстрат, k_1 — константа скорости прямой реакции, M^{-1} c^{-1} , k_{-1} — константа скорости обратной реакции, c^{-1} , ES — фермент-субстратный комплекс, k_{cat} — константа каталитическая, c^{-1} , P — продукт ферментативной реакции. Предельный ток (I_L) для данной реакции в стационарных условиях будет связан с массопереносом субстрата, межфазным обменом электронами между электродом и

электроактивным центром фермента, собственной кинетикой фермента и описываться уравнением Каутецкого-Левича [82-84]:

$$\frac{1}{I_{\rm L}} = \frac{1}{I_{\rm Lev}} + \frac{1}{I_{\rm E}} + \frac{1}{I_{\rm cat}},\tag{12}$$

где $I_{\rm L}$ – предельный ток, A, $I_{\rm Lev}$ – ток Левича, A, $I_{\rm E}$ – ток, связанный с межфазным переносом электронов, A, $I_{\rm cat}$ – каталитический ток, связанный с собственной кинетикой фермента, A.

 I_{Lev} может быть выражен уравнением:

$$I_{\text{Lev}} = 0.62 nFA D^{\frac{2}{3}} [S] v^{-\frac{1}{6}} \omega^{\frac{1}{2}}, \tag{13}$$

где [S] — концентрация субстрата, M, ν — кинематическая вязкость раствора, $m^2/c, \omega$ — частота вращения дискового электрода, рад/с.

 $I_{\rm E}$ или ток обмена возникает за счет межфазного переноса электронов между электродом и первичным редокс-центром в ферменте и может быть описан уравнением 7.

При высоком перенапряжении $I_{\rm E}$ не лимитирует реакцию, и уравнение 12 можно упростить:

$$\frac{1}{I_{\rm L}} = \frac{1}{I_{\rm Lev}} + \frac{1}{I_{\rm cat}}.\tag{14}$$

Каталитический ток, возникающий при взаимодействии фермента с субстратом, выражается электрохимической формой уравнения Михаэлиса-Ментен [81-84]:

$$I_{\text{cat}} = \frac{nFA\Gamma_0 k_{\text{cat}}[S]}{K_{\text{M}} + [S]},\tag{15}$$

где $K_{\rm M}$ – константа Михаэлиса (M).

В уравнении 15 значение $nFA\Gamma_0k_{\rm cat}$ является максимальным каталитическим током ($I_{\rm max}$) и постоянно для конкретной ферментативной реакции, протекающей в электрохимической системе.

Построив зависимость I_{cat} от концентрации субстрата, используя при этом методы вольтамперометрического анализа, в соответствии с уравнением 15, можно определить параметры стационарной кинетики иммобилизованного фермента, в том числе и цитохромов P450. Однако стоит понимать, что в этом случае

полученное значение $k_{\rm cat}$ отражает не только каталитический процесс превращения субстрата в продукт реакции по монооксигеназному пути (рисунок 2 А), но и образование АФК вследствие неполного сопряжения каталитического цикла [1, 2, образующийся Пероксид водорода, В процессе электрохимического восстановления кислорода оксикомплекса цитохрома P450, приводит формированию из ферри-формы оксо-феррильной формы фермента, способной подвергаться электрохимическому восстановлению, что приводит к увеличению регистрируемого каталитического тока [81]. Пероксид водорода также может образовываться при прямом электрохимическом восстановлении кислорода на электроде [86]. Образующийся пероксид водорода может активировать окисление субстрата за счет пероксидазной активности цитохромов Р450 [11, 87] (рисунок 2 Б).

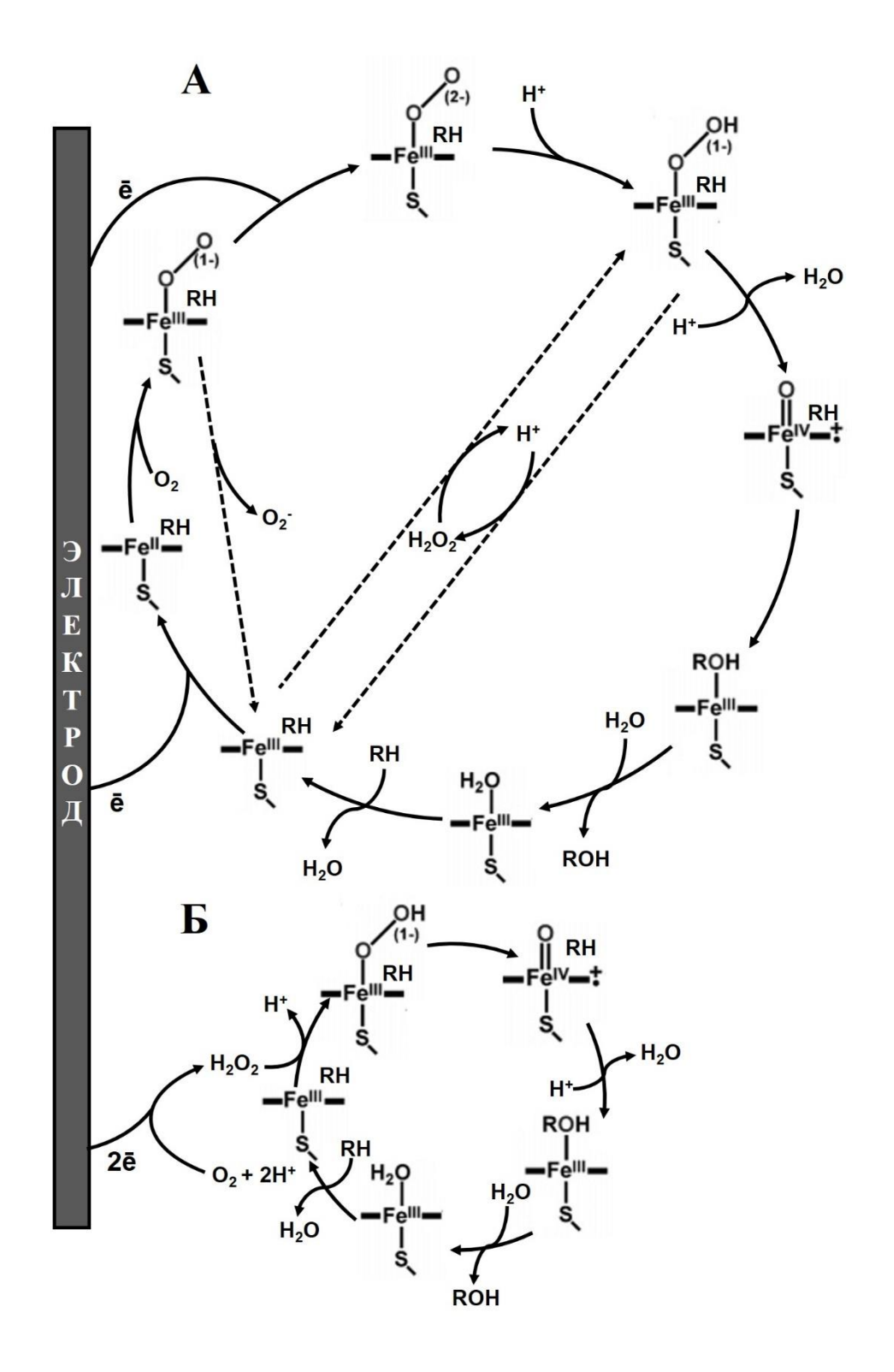


Рисунок 2. Электрокаталитические реакции, протекающие по монооксигеназному (**A**) и пероксидазному путям (**Б**). Пунктирными линиями показаны пути разобщения электрокаталитического процесса. RH — субстрат реакции, ROH — продукт реакции.

Другой проблемой, связанной с определением k_{cat} по каталитическому току, является возможность увеличения концентрации кислорода при внесении в электрохимическую систему аликвоты малополярного субстрата в органическом растворителе. Известно, что растворимость кислорода во многих органических растворителях больше, чем в воде [88, 89]. Поскольку цитохромы Р450 крайне чувствительны К кислороду, увеличение концентрации последнего электрохимической системе может вызывать дополнительное увеличение каталитического тока. Ранее было показано, ЧТО при титровании иммобилизованного СҮР17А1 субстратами в этаноле, возникает каталитический ток, однако увеличение восстановительного тока ферментов наблюдалось и при внесении в систему этанола, хотя регистрируемый ток при этом имел меньшие значения, чем при титровании субстратами [90]. В этом случае, как правило, из значений тока, регистрируемого при внесении в систему субстратов в органическом растворителе, вычитают значение тока, регистрируемого при внесении органического растворителя без субстратов. Органические растворители могут также влиять на конформацию иммобилизованного фермента и структуру матрицы, используемую для модификации электрода, что сказывается на каталитическом токе.

Таким образом, результирующий каталитический ток может быть связан не только с продуктивным катализом, но и с рядом дополнительных процессов, влияющих на величину восстановительного пика цитохрома P450, что осложняет точное определение k_{cat} по электрохимической форме уравнения Михаэлиса-Ментен. В критической монографии Honeychurch был поставлен ряд ключевых вопросов, связанных с влиянием множества факторов на определение активности цитохромов P450 с помощью электрохимических систем [91].

Стоит отметить, что определяемое из зависимости I_{cat} от концентрации субстрата значение K_{M} для иммобилизованного цитохрома P450 часто используется как мера сродства фермента к субстрату в электрохимической системе [7, 92-95].

1.4.2. Электрохимические системы на основе очищенных цитохромов Р450

На активность цитохромов Р450 в электрохимических системах оказывает влияние конформационное состояние фермента на электроде, преобладание активной формы P450 над инактивированной – P420, что в значительной степени OT свойства самого электрода, его модификации и стратегии зависит иммобилизации [1, 6]. Ниже мы рассмотрим ряд работ, в которых представлены наиболее распространенные способы иммобилизации очищенных цитохромов P450 (препаратов с высокой степенью очистки рекомбинантных или изолированных ферментов из микросом) на поверхности электродов.

1.4.2.1. Адсорбция цитохромов Р450 на немодифицированных электродах

Цитохромы Р450 могут быть адсорбированы на немодифицированных электродах, однако, как правило, не способны эффективно осуществлять каталитические реакции, хотя в ряде работ при адсорбции этих ферментов на немодифицированной поверхности электродов были получены достаточно высокие значения гетерогенных констант скорости переноса электронов [2, 96,]. В из пионерских работ Kazlauskaite и соавт. провели адсорбцию одной рекомбинантного камфорного цитохрома Р450 на электрод из графита с плоской кромкой (англ. edge plane pyrolytic graphite) [97]. Циклической вольтамперометрией в анаэробных условиях была показана способность цитохрома Р450 к обмену электронами между электродом и ионом железа гема, что подтверждалось наличием пиков восстановления и окисления со значением $E_{\rm m}$ -526 ± 11 мВ (отн. НКЭ), при этом в присутствии субстрата, камфоры, наблюдался сдвиг $E_{\rm m}$ до -390 \pm 10 мВ (отн. НКЭ). Также в присутствии камфоры авторы наблюдали линейную $v^{1/2}$. зависимость тока восстановительного пика ОТ свидетельствовало о протекании диффузионно-контролируемого окислительновосстановительного процесса для цитохрома Р450, однако в отсутвие камформы наблюдалось отклонение от линейной зависимости. Авторы объясняют данное

наблюдение меньшей скоростью переноса электронов между электродом и цитохромом P450 в отсутвие камфоры, по сравнению с аналогичным процессом, но в присутствии камфоры, что в свою очередь обусловлено реорганизацией иона железа гема фермента при связывании субстрата. Каталитическая активность адсорбированного на электроде цитохрома P450 подтверждалась регистрацией образования продукта реакции — 5-экзо-камфоры, однако авторы отмечают, что процесс каталитического окисления был медленным.

1.4.2.2. Иммобилизация цитохромов на электродах Р450 с помощью тонких пленок

Поскольку цитохромы Р450 млекопитающих локализованы в мембранах, для их функционирования в условиях *in vitro* является принципиально важным создание соответствующего по физико-химическим свойствам окружения. Поэтому для иммобилизации изоферментов цитохрома Р450 на электроде могут использоваться как природные липиды, так и вещества, формирующие мембраноподобные структуры. Дидодецилдиметиламмония бромид (ДДАБ) представляет собой амфифильное соединение, формирующее на электроде бислойную мембраноподобную пленку, состоящую гидрофобных ИЗ алифатических хвостов и положительно заряженного атома азота, что позволяет имитировать мембранное окружение цитохромов Р450 млекопитающих при иммобилизации и поддерживать определенную степень динамичности фермента [6, 98, 99]. Кроме того, ДДАБ имеет высокую степень проницаемости, что обеспечивает доступ компонентам электролита из раствора, способствуя переносу электронов с электрода на редокс центры фермента [99].

ДДАБ в качестве модификатора электродной поверхности впервые применялся группой Rusling для иммобилизации камфорного цитохрома P450 на поверхности электрода из пиролитического графита [98]. Авторам удалось зафиксировать прямой перенос электронов между электродом и ионом железа гема фермента. Позже Fleming и соавт. показали возможность прямого восстановления

и окисления флавиновых кофакторов и иона железа гема рекомбинантного цитохрома Р450 102А1 (ВМ3) при его иммобилизации на электрод из пиролитического графита с плоской кромкой, модифицированный ДДАБ [100]. Johnson и соавт. провели иммобилизацию рекомбинантного СҮР2С9 человека на электрод из пиролитического графита с ориентированной кромкой (англ. edgeoriented pyrolytic graphite), модифицированный ДДАБ [101]. В анаэробных условиях на циклической вольтамперограмме при рН 7,4 были зарегистрированы пики восстановления и окисления иона железа гема CYP2C9 со значением $E_{\rm m}$ -41 мВ (отн. НВЭ). Авторы показали, что зависимость $E_{\rm m}$ от рН имеет линейный характер, причем в случае использования 0,1 М калий-фосфатного буфера, значение наклона прямой было определено как -52,4 мВ/рН, а в случае 1,0 М калийфосфатного буфера аналогичный параметр был равен -57,5 мВ/рН. Полученные значения были близки к теоретическому значению -59 мВ/рН, что указывает на равное количество переносимых электронов и протонов при протекании редокспроцесса на электроде. Связывание субстратов и ингибиторов с активными центрами цитохромов Р450 вызывает изменение спинового состояния иона железа гема, что часто коррелирует со сдвигом $E_{\rm m}$ [102-105]. Johnson и соавт. [101] исследовали влияние субстратов и ингибиторов СҮР2С9 на значение $E_{\rm m}$. В присутствии торсемида, толбутамида и (S)-варфарина (субстраты СҮР2С9) авторы наблюдали сдвиг $E_{\rm m}$ в область более положительных потенциалов на 22, 4 и 5 мВ, соответственно. При этом диклофенак (субстрат) и сульфафеназол (ингибитор) не вызывали изменения значений $E_{\rm m}$. Существенный сдвиг значения $E_{\rm m}$ СҮР2С9 в область более положительных потенциалов наблюдался в присутствии СО и О2 (примерно на 50 мВ). Авторы заключили, что в отсутствие кислорода толбутамид, (S)-варфарин, диклофенак и сульфафеназол связываются на некотором расстоянии от гема, оказывая незначительное влияние на электронное окружение иона железа, при этом торсемид вызывал небольшой сдвиг $E_{\rm m}$ CYP2C9, однако авторы не могли объяснить этот факт только структурой торсемида. В другой работе с помощью ДДАБ была проведена иммобилизация рекомбинантного цитохрома Р450 6А1 (CYP6A1) Musca domestica на электроде из пиролитического графита с плоской

кромкой для определения хлорорганических пестицидов – альдрина и гептахлора [106]. В анаэробных условиях наблюдался прямой перенос электронов между ионом железа гема СҮР6А1 и электродом. Значение $E^{0'}$ было определено как -0,36 В (отн. НКЭ). В присутствии кислорода и альдрина или гептахлора был зарегистрирован каталитический ток. Из полученных зависимостей зарегистрированного в режиме каталитического тока, амперометрии, концентрации альдрина или гептахлора были рассчитаны значения $K_{\rm M}-74,68~{\rm mkM}$ для альдрина и 43,16 мкМ для гептахлора. Предел определяемых концентраций для альдрина с помощью данного биосенсора составил 8 мкМ. Используя газовую хроматографию масс-спектрометрию ДЛЯ детекции биотрансформации альдрина и гептахлора, авторы подтвердили каталитическую активность СҮР6А1, иммобилизованного на электроде с помощью ДДАБ, по отношению к этим соединениям. В данной работе было также проведено исследование влияния ДДАБ на спектральные свойства СҮР6А1. Растворы СҮР6А1 в отсутствие или в присутствии ДДАБ были нанесены на кварцевую пластину и высушены на воздухе при комнатной температуре. Спектр поглощения СҮР6А1 характеризовался полосой Соре в области 416 нм, при этом в присутствии ДДАБ полоса Соре сдвигалась до 409 нм. Эти результаты могут свидетельствовать об изменении микроокружения активного центра СҮР6А1 в присутствии ДДАБ. Такие изменения могут влиять на электрохимические и каталитические свойства фермента при его иммобилизации на электроде с помощью данного модификатора.

1.4.2.3. Иммобилизация цитохромов Р450 с помощью метода послойного нанесения белка и полимерных пленок

Стратегия послойной (англ. layer-by-layer) иммобилизации ферментов на электроде основана на поочередном нанесении слоев модифицирующего соединения и ферментов. Формирующиеся слои могут быть стабилизированы за счет электростатических взаимодействий, водородных или ковалентных связей, а также взаимодействий по типу «гость-хозяин» [107]. Среди достоинств послойной

возможность стратегии иммобилизации онжом отметить осуществлять контролируемый процесс нанесения слоев модифицирующего соединения и ферментов. На основе стратегии послойной иммобилизации ферментов разработан определения электрохимических систем для активности цитохромов P450. В работе Lvov и соавт. была использована технология послойного полистиролсульфоната нанесения пленок (ΠCC) или поли(диаллилдиметиламмония хлорида) (ПДДА) и камфорного цитохрома Р450 на золотой модифицированный 3-меркапто-1электрод, предварительно пропансульфоновой кислотой [108]. Авторы зафиксировали пики восстановления и окисления цитохрома Р450 при использовании ПСС или ПДДА. Используя стирол в качестве субстрата, авторы подтвердили образование оксида стирола под действием фермента, иммобилизованного с помощью слоев ПДДА (скорость реакции была определена как 9,3 ч⁻¹). В контрольных экспериментах без фермента также происходило формирование оксида стирола, но его количество было примерно в 3 раза меньше, чем при проведении электрокаталитической реакции в присутвии фермента. Кроме того, авторы показали, что оксид стирола также образуется в присутствии 20 мМ H_2O_2 без электрокаталитической реакции, но его количество в 2,5 раза меньше, чем при проведении электрокаталитической реакции в присутствии фермента. Zu и соавт., используя аналогичный подход для иммобилизации камфорного цитохрома Р450 и стирол в качестве субстрата, показали, что в присутствии каталазы происходит снижение скорости образования оксида стирола в 18,6 раз, что указывает на активирующую роль Н2О2 по отношению к цитохрому Р450 [109]. Используя также в качестве субстрата цисметилстирол, авторы показали возможность фермента, иммобилизованного на электроде с помощью ПДДА, осуществлять электрокаталитическую конверсию этого субстрата до оксида цис- и транс-метилстирола. Стоит отметить, что ПДДА может использоваться не только для стратегии послойной иммобилизации P450, как самостоятельный модификатор цитохрома НО И электродной поверхности. Так, Sadeghi и соавт. провели иммобилизацию CYP3A4, смешанного в эквимолярном отношении с ПДДА, на стеклоуглеродный электрод (СУЭ) [110].

В анаэробных условиях авторы наблюдали прямой перенос электронов между электродом и ионом железа гема CYP3A4 ($E_{\rm m}$ был определен как -319 \pm 7 мВ (отн. Ag/AgCl)). В присутствии кислорода и субстрата СҮРЗА4, эритромицина, авторы наблюдали каталитический ток. N-деметилазная активность CYP3A4. иммобилизованного с помощью ПДДА на электроде, по отношению к эритромицину подтверждалась путем количественного определения одного из продуктов каталитической реакции – формальдегида, образующего окрашенное производное в результате реакции Ганча. Значение k_{cat} составило около 6 мин⁻¹, при этом из зависимости каталитического тока от концентрации эритромицина была определена $K_{\rm M}$ как 86 ± 3 мкM, что хорошо согласовывалось с аналогичным параметром для реакции N-деметилирования эритромицина при участии микросом печени человека [111]. Разработанная электрохимическая система применялась авторами для определения ингибиторной активности кетоконазола, циметидина и диклофенака. Регистрируя активность СҮРЗА4 по отношению к 100 мкМ эритромицину, авторы определили значения концентраций кетоконазола, циметидина и диклофенака, которые уменьшали активность фермента на 50% $(IC_{50})-135\pm10$ нМ, 80 ± 5 мкМ и 311 ± 20 мкМ, соответственно. Полученные значения были хорошо сопоставимы со значениями ІС50, полученными ранее для данных соединений [112-115]. Также была показана возможность применения разработанной системы для оценки кооперативного взаимодействия субстратов с СҮРЗА4. В присутствии 2,5 мкМ хинидина авторы наблюдали снижение значения IC₅₀ диклофенака по отношению к N-деметилазной активности эритромицина до 157 ± 20 мкМ, что согласуется с ранее полученными данными об усилении ингибирующего действия диклофенака в присутствии хинидина по отношению к тестостерону, по-видимому, за счет механизм-активируемого ингибирования диклофенаком [114]. Munge и соавт., используя электрод из углеродной ткани, провели иммобилизацию камфорного цитохрома Р450 с помощью пленок поли(этиленимина) [116]. Количество образующегося 1 за час электрокаталитической реакции оксида стирола при участии иммобилизованного фермента было определено как 10.2 ± 0.1 нмоль (скорость реакции $6.3 \, \, \mathrm{y}^{\text{-}1}$), что

примерно в 7 раз больше, чем в случае проведения электрокаталитической реакции с модифицированным поли(этиленимином) электродом без фермента при тех же условиях. В работе Estavillo и соавт. сконструирована электрохимическая система на основе электрода из углеродной ткани, на который последовательно наносились слои ПСС рекомбинантного CYP1A2 [117]. Методом циклической вольтамперометрии в анаэробных условиях авторы зарегистрировали пики восстановления и окисления иона железа гема CYP1A2 со значением $E_{\rm m}$ -0,31 В (отн. НКЭ). В присутствии кислорода и стирола как субстрата СҮР1А2 авторы наблюдали каталитический ток. Чтобы оценить способность иммобилизованного на электроде СҮР1А2 катализировать реакцию эпоксидирования стирола, авторы проводили электрокаталитические реакции при фиксированном потенциале рабочего электрода. Методом газовой хроматографии было показано, что за 1 час проведения электрокаталитической реакции образовывалось 8.8 ± 2.3 нмоль оксида стирола (скорость реакции определена как $39 \pm 10 \text{ ч}^{-1}$). В присутвии каталазы оксида стирола не образовывалось. В качестве контроля авторы также провели электрокаталитические реакции с помощью электрода без фермента и показали, что при этих условиях было зарегистрировано образование оксида стирола примерно в 2,4 раза меньше, по сравнению с количеством, образующимся в электрокаталитической реакции при участии СҮР1А2. Важно отметить, что авторы возможность образования оценили оксида стирола при активации иммобилизованного на электроде СҮР1А2 пероксидом водорода. Инициируя реакцию внесением в систему с иммобилизованным СҮР1А2 10 мМ Н₂О₂, авторы зарегистровали образование оксида стирола, при этом скорость реакции была определена как 54 ч-1. Этот эксперимент подтверждает TOT факт, биотрансформация субстратов может происходить счет активации пероксидазной активности цитохрома Р450.

1.4.2.4. Инкапсулирование цитохромов Р450 с помощью гелей

Для иммобилизации цитохромов Р450 также применяется технология инкапсулирования ферментов. Sun и Wu разработали биосенсорную систему для бисфенола иммобилизованного определения Α на основе CYP2C9. инкапсулированного в полиакриламидный гидрогель, на поверхности СУЭ [118]. В анаэробных условиях авторы регистрировали редокс-процесс, характеризующийся значением $E^{0'}$ -0,427 В (отн. НКЭ). В присутствии бисфенола А наблюдался каталитический ток СҮР2С9. При амперометрическом титровании СҮР2С9 бисфенолом А была получена иммобилизованного зависимость каталитического тока от концентрации субстрата и определено значение $K_{\rm M}$ как 3,90 мкМ, однако авторы не подтверждали образование продукта каталитической реакции. Предел определяемых концентраций бисфенола А с помощью данного биосенсора составил 0,58 мкМ. Silveira и соавт. исследовали электрохимические свойства СҮР1А2 и комплекса СҮР1А2 с СРR, иммобилизованных на рабочих электродах из пиролитического графита с помощью инкапсулирования в матрицу гель-золь, полученную из смеси 55 мМ силиката натрия и 6% полиэтиленгликоля 400 (PEG 400), доведенной до рН 7,0 [119]. Авторы наблюдали, что добавки в систему водного раствора кофеина, являющегося субстратом СҮР1А2, и одинаковых ПО объему аликвот воды вызвали одинаковое увеличение восстановительного тока СҮР1А2, что позволило им сделать вывод об отсутствии монооксигеназной активности фермента по отношению к субстрату. Увеличение восстановительного тока фермента в ответ на внесение в систему водного раствора кофеина авторы связывали с одновременным внесением в систему растворенного кислорода, содержащегося в растворе субстрата. Авторы подчеркивают важность контроля концентрации кислорода в электрохимической системе при регистрации каталитических токов для оценки активности цитохромов Р450. Несмотря на значимость сделанных авторами выводов, в работе не представлена информация о проведении экспериментов регистрации образования ПО продукта электрокаталитической реакции по отношению к кофеину под действием

иммобилизованного на электроде СҮР1А2, подтверждающих отсутствие монооксигеназной активности фермента в электрохимической системе.

1.4.2.5. Ковалентная иммобилизация цитохромов P450 на поверхности электродов

Одним из самых трудоемких методов иммобилизации цитохромов Р450 на электроде является ковалентная иммобилизация, хотя с помощью данного метода можно контролировать ориентацию ферментов на электроде. Fantuzzi и соавт. провели ковалентную иммобилизацию СҮР2Е1 на золотой электрод с помощью цистамина и малеимида [120]. В аэробных условиях авторы зарегистрировали пики восстановления и окисления со значением $E_{\rm m}$ -177 мВ (отн. НВЭ), что свидетельствует о способности иона железа гема фермента восстанавливаться и окисляться на электроде. В присутствии субстрата СҮР2Е1, пара-нитрофенола, наблюдался каталитический ток. Из зависимости каталитического тока от концентрации субстрата была определена $K_{\rm M}$ (130 \pm 3 мкМ). Кроме того, авторы спектрофотометрически зарегистрировали образование пара-нитрокатехола, являющегося продуктом СҮР2Е1-зависимой биотрансформации паранитрофенола, что подтверждает способность ковалентно иммобилизованного на электроде CYP2E1 осуществлять продуктивный катализ. Yang и соавт. провели ковалентную иммобилизацию СҮР2С9 на золотом электроде с помощью самоорганизующихся монослоев 11-меркаптоундекановой кислоты и октантиола [121]. Иммобилизованный таким образом СҮР2С9 был способен к обмену электронами с электродом, что было показано циклической вольтамперометрией в анаэробных условиях. Значение $E^{0'}$ было определено как -0,45 B (отн. Ag/AgCl). В присутствии кислорода и варфарина авторы наблюдали каталитический ток, при этом значение восстановительного тока возрастало при увеличении концентрации варфарина. Используя электрохимическую форму уравнения Михаэлиса-Ментен, авторы определили значение I_{max} и K_{M} , которые составили 417 мкА и 3 мкМ, соответственно. Методом высокоэффективной жидкостной хроматографии

(ВЭЖХ) авторы зарегистрировали образование 7-гидроксиварфарина при участии СҮР2С9, иммобилизованного на электроде. Учитывая количество образующегося продукта реакции, а также количество фермента в электрохимической и реконструированной системах, авторы установили, что активность фермента на электроде была в 35 раз больше, по сравнению с активностью фермента в реконструированной системе.

Fantuzzi соавт. разработали микрофлюидные электрохимические платформы для определения активности СҮРЗА4 по отношению к лекарственным соединениям [122]. Авторы использовали метод ковалентной иммобилизации CYP3A4 поверхности рабочего на золотой электрода c помощью самоорганизующихся сформированных 6-гексантиолом 7монослоев, карбоксильные меркаптогептановой кислотой, которой были группы активированы 1-этил-3-(3-диметиламинопропил)карбодиимида гидрохлоридом и N-гидроксисукцинимидом для образования амидной связи с аминогруппами СҮРЗА4. В присутствии кислорода и хинидина, нифедипина, алосетрона или ондансетрона авторы наблюдали каталитический ток. Из зависимостей каталитического тока от концентрации этих соединений были определены значения $K_{\rm M}$, которые хорошо согласуются с аналогичными значениями, полученными ранее с помощью альтернативных СҮРЗА4-содержащих систем [123-125]. В дальнейшем Fantuzzi и соавт. для высокопроизводительного определения $K_{\rm M}$ CYP3A4, CYP2C9 и CYP2D6 по отношению к лекарственным соединениям сконструировали электрохимическую систему на основе 8-луночного микропланшета. В каждой лунке такого микропланшета находились золотой рабочий электрод, углеродный вспомогательный электрод и хлоридсеребряный электрод сравнения [93]. Поверхность золотого рабочего электрода была модифицирована 8-гидроксиоктантиолом 10-карбоксидекантиолом И последующей активацией карбоксильных групп 1-этил-3-(3диметиламинопропил) карбодиимида гидрохлоридом и N-гидроксисукцинимидом для образования амидной связи с аминогруппами иммобилизуемых цитохромов Р450. Лунки микропланшета с иммобилизованными ферментами заполнялись 200

мкл 50 мМ калий-фосфатного буфера (рН 7,4), содержащего 500 мМ КСІ, и далее в них вносились исследуемые субстраты в объеме 1 мкл. Каталитический ток, возникающий в ответ на добавку субстрата, регистрировался методом циклической вольтамперометрии. Из зависимостей каталитического тока от концентрации субстрата были определены значения $K_{\rm M}$ исследуемых цитохромов P450 по отношению к ряду лекарственных соединений. В соответствии с полученными значениям $K_{\rm M}$, авторы разделили все исследуемые субстраты на группы с низким и высоким сродством по отношению к соответствующим цитохромам P450. Как утверждают авторы, время, которое требуется для определения $K_{\rm M}$ с помощью разработанной системы, составляет 15 мин.

Рапіссо и соавт. разработали электрохимическую систему для оценки метаболизма лекарств при участии CYP2D6 и его полиморфных форм – CYP2D6*2 (R296C и S486T) и CYP2D6*17 (Т107I, R296C и S486T) [7]. Ферменты были ковалентно иммобилизованы на золотом электроде, модифицированном 6аминогексантиолом. Золотой электрод был последовательно модифицирован 6-N-сукцинимидил-3-малеимидопропионовой аминогексантиолом И образующей ковалентные связи с меркаптогруппами иммобилизуемых белков. Авторы зарегистрировали пики восстановления и окисления для всех исследуемых белков, значения $E_{\rm m}$ были определены как -128 ± 35 мВ (отн. НВЭ), -166 ± 17 мВ (отн. HBЭ) и -186 ± 28 мB (отн. HBЭ) для CYP2D6*1, CYP2D6*2 и CYP2D6*17, соответственно. В присутствии кислорода и субстрата буфуралола наблюдался каталитический ток, зависимость которого от концентрации описывалась электрохимической формой уравнения Михаэлиса-Ментен, согласно которой значения $K_{\rm M}$ для CYP2D6*1, CYP2D6*2 и CYP2D6*17 были определены как 8.9 ± 1.9 мкМ, 16.6 ± 0.8 мкМ и 26.2 ± 3.7 мкМ, соответственно. Используя ВЭЖХ, авторы зарегистрировали образование 1'-гидроксибуфуралола из буфуралола в электрохимической системе, и значения k_{cat} для CYP2D6*1, СҮР2D6*2 и СҮР2D6*17 были определены как 24.3 ± 3.6 мин⁻¹, 20.9 ± 2.7 мин⁻¹ и 14.7 ± 0.4 мин⁻¹, соответственно. Полученные кинетические параметры хорошо согласуются с ранее полученными данными [126-131].

Ковалентная иммобилизация цитохромов Р450 в сочетании с сайтнаправленным мутагенезом позволяет исследовать механизм переноса электронов между электродом и иммобилизованным белком, а также регулировать активность фермента за счет его ориентации на поверхности электрода. Зависимость электрокаталитической активности СҮР2Е1 от его ориентации на поверхности электрода была исследована в работе Мак и соавт. [132]. Авторы провели ковалентную иммобилизацию дикого типа СҮР2Е1 и его мутантных форм МUТ261 (C268S, C480S, C488S) и MUT268 (C261S, C480S, C488S) с помощью самоорганизующихся образованных взаимодействием слоев, дитиобисмалеимидоэтана с поверхностью золотых электродов. В мутантных формах белков все поверхностные остатки цистеинов были заменены на серин, кроме одного остатка цистеина в 261 положении для МUТ261 и в 268 положении для MUT268. Все иммобилизованные белки были способны восстанавливаться и окисляться на электроде. Значение $E_{\rm m}$ для CYP2E1 и его мутантных форм находилось в области -243 ± 4 мВ (отн. Ag/AgCl). Используя в качестве субстрата пара-нитрофенол, авторы определили каталитическую активность иммобилизованных на электроде дикого типа CYP2E1, MUT261 и MUT268 путем спектрофотометрического определения пара-нитрокатехола, являющегося продуктом ферментативной реакции. Концентрация образующегося при участии MUT261 и MUT268 продукта была больше в 2,6 раза и 2 раза, соответственно, по сравнению с концентрацией продукта, образующегося при участии дикого типа СҮР2Е1. При этом для СҮР2Е1, МИТ261 и МИТ268 в реконструированной системе концентрация пара-нитрокатехола существенно не различалась. Авторы заключили, что такая разница в активности СҮР2Е1 и его мутантных форм в электрохимической системе связана с различной ориентацией ферментов на электроде. В СҮР2Е1 остатки цистеинов в 261 и 268 положениях находятся с проксимальной стороны относительно гема, в то время как остатки цистеинов в положениях 480 и 488 – с дистальной стороны. На дистальной стороне происходит связывание субстрата, которое может ковалентной затрудняться при иммобилизации СҮР2Е1 за счет остатков цистеина (С480 и С488). В МИТ261 и

МUТ268 остатки цистеинов на дистальной стороне гема заменены на остатки серина, следовательно, МUТ261 и МUТ268 связываются с электродом таким образом, что не возникает препятствий для взаимодействия с субстратом, что подтверждается образованием большего количества продукта. Кроме того, расположение проксимальной стороны белков МUТ261 и МUТ268 в непосредственной близости к поверхности электрода благоприятствует переносу электронов.

Ray и соавт. предложили ковалентную иммобилизацию камфорного цитохрома Р450 через образование связи меркаптогрупп цистеиновых остатков фермента (Cys58 или Cys136) с N-(4-карбоксифенил)малеимидом, которым были функционализированы углеродные нанотрубки одностенные сорбированные на СУЭ [133]. Связывание фермента с модифицированным электродом проводилось в присутствии Тритон X-100 для предотвращения денатурации И необратимой адсорбции фермента на электроде или нефункционализированной поверхности ОУНТ. В анаэробных условиях и присутствии камфоры авторы зарегистрировали пики восстановления и окисления иона железа гема со значением $E_{\rm m}$ -320 \pm 10 мB (отн. Ag/AgCl). В присутствии камфоры наблюдался каталитический ток. Способность кислорода И иммобилизованного фермента катализировать биотрансформацию камфоры была подтверждена обнаружением 5-экзо-гидроксикамфоры методом массспектрометрии с электроспрейной ионизацией.

1.4.2.6. Иммобилизация цитохромов P450 на поверхности электродов с помощью композитных материалов

Композитные материалы, использующиеся для модификации электродов, также нашли применение для иммобилизации цитохромов P450. Peng и соавт. осуществили иммобилизацию CYP2B6 на СУЭ с помощью композитного материала на основе наночастиц оксида циркония и коллоидного раствора платины, стабилизированного поли-L-лизином [134]. CYP2B6, иммобилизованный

на электроде, был способен к обмену электронами между электродом и ионом железа гема. $E^{0'}$ был определен как -0,449 \pm 0,004 В (отн. Ag/AgCl). Авторы зарегистрировали каталитический ток в присутствии кислорода и субстрата ${
m CYP2B6}$, лидокаина, а также определили значение $K_{
m M}$ из зависимости каталитического тока от концентрации лидокаина. Однако в работе не описываются эксперименты по идентификации и количественному определению образующегося в процессе СҮР2В6-зависимой электрокаталитической реакции продукта конверсии лидокаина, доказывающие способность СҮР2В6 осуществлять продуктивный катализ на электроде при таком способе иммобилизации. Позже эта группа авторов провела иммобилизацию СҮР2В6 на СУЭ с помощью композитного материала из золота и хитозана [135]. В этой работе авторы с помощью ВЭЖХ и масс-спектрометрии с электроспрейной ионизацией показали способность иммобилизованного СҮР2В6 осуществлять конверсию бупропиона, циклофосфамида и лидокаина. Электрохимическая система на основе СҮРЗА4, коэкспресированного с CPR и иммобилизованного на СУЭ с помощью композитного материала на основе полидопамин-функционализированной пены нанопористого оксида графена с различным размером пор, была разработана в работе Хи и соавт. [136]. Авторы показали, что с увеличением размера пор оксида графена электроактивная площадь электрода уменьшалась. Для иммобилизации СҮРЗА4 был использован композитный материал с минимальным размером пор пены оксида графена (65 нм). В анаэробных условиях авторы зарегистрировали прямой перенос электронов между ионом железа гема и электродом. В присутствии кислорода и субстратов СҮРЗА4 – тестостерона, прогестерона и эстрона – авторы Из зарегистрировали каталитический ток. полученных зависимостей каталитического тока, зарегистрированного в амперометрическом режиме, от концентрации субстратов были получены значения $K_{\rm M}$ иммобилизованного на электроде фермента по отношению к субстратам: 110,70 ± 18 мкМ для тестостерона, $511,92 \pm 28$ мкМ для прогестерона и $450,88 \pm 30$ мкМ для эстрона. Несмотря на активность СҮРЗА4, зарегистрированную по каталитическому току в присутствии субстратов, авторы не приводят данные по идентификации и

количественному определению образующихся при участии СҮРЗА4 метаболитов исследуемых субстратов, доказывающие способность иммобилизованного на электроде фермента осуществлять продуктивный катализ.

Таким образом, для иммобилизации очищенных цитохромов Р450 применяют различные в методологическом контексте стратегии. При этом для контроля стабильности иммобилизованного фермента используют регистрацию прямого переноса электронов между электродом и ионом железа гема, каталитического тока в присутствии субстрата и, главным образом, образование продуктов реакций, достоверно подтверждающих функциональную активность фермента на электроде. На рисунке 3 проиллюстрированы наиболее часто используемые способы иммобилизации очищенных цитохромов Р450 на электродах, рассмотренные выше.

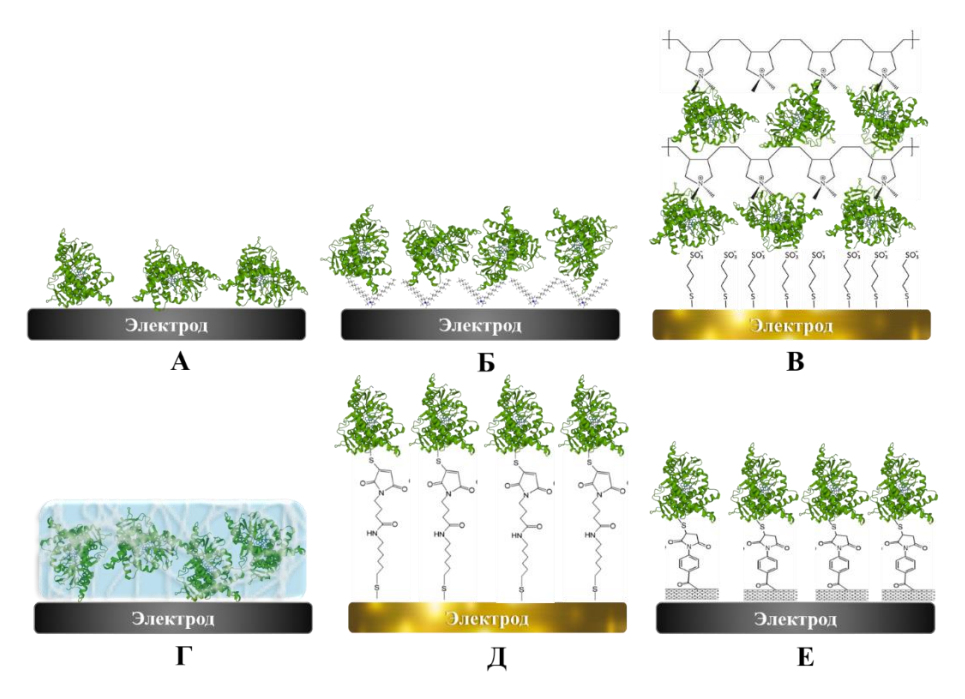


Рисунок 3. Способы иммобилизации очищенных цитохромов Р450 на электродах. Адсорбция на немодифицированных электродах (**A**); иммобилизация с помощью тонких пленок (**B**) и метода послойного нанесения белка и полимерных пленок (**B**); инкапсулирование с помощью гелей (**Г**); ковалентная иммобилизация на золотых электродах, модифицированных тиольными соединениями (Д), или на СУЭ, модифицированном углеродными нанотрубками, функционализированными производными малеимида (**E**).

1.4.3. Электрохимические системы на основе полусинтетических флавоцитохромов Р450 и химерных цитохромов Р450

С целью создания стабильных и высокоэффективных электрохимических систем для определения активности цитохромов P450 предложен ряд подходов, основанных на иммобилизации полусинтетических флавоцитохромов P450 и химерных белков на их основе, полученных генно-инженерным способом.

Впервые электрохимическая система на основе полусинтетических флавоцитохромов Р450 была разработана Шумянцевой и соавт. [137]. Авторам удалось получить комплексы ковалентно связанного рибофлавина с СҮР1А2 и цитохрома Р450 2В4 (СҮР2В4) и провести электрокаталитические реакции с помощью родий-графитовых электродов в присутствии полученных комплексов и субстратов. На основании количественного определения продуктов реакций авторы получили значения k_{cat} для полусинтетических флавоцитохромов Р450 в электрохимической системе, которые были сопоставимы с аналогичным параметром в NADPH-зависимой системе.

Позже в работе Dodhia и соавт. была разработана электрохимическая система химерных белков, состоящих ИЗ CYP3A4 на основе редуктазного (флавинсодержащего) домена CYP102A1 Bacillus megaterium или флаводоксина Desulfovibrio vulgaris, иммобилизованных на СУЭ, модифицированных ПДДА, или ковалентно Nна золотых электродах \mathbf{c} помощью цистамина гидроксисукцинимидного эфира (малеимидо)пропионовой кислоты Циклические вольтамперограммы химерного белка, состоящего из СҮРЗА4 и редуктазного домена СҮР102А1, иммобилизованного на СУЭ и золотом электроде, имели пики восстановления и окисления со значениями $E_{\rm m}$ - 145 \pm 18 мВ (отн. НВЭ) и -141 \pm 11 мВ (отн. НВЭ), соответственно. В присутствии монооксида углерода авторы наблюдали смещение значения $E_{\rm m}$ в область более положительных потенциалов за счет образования комплекса СО и иона железа гема. Пиков от редуктазного домена зарегистрировано не было. Для сравнения авторы приводят данные циклической вольтамперограммы СҮРЗА4, иммобилизованного на СУЭ и

золотом электроде. Значения $E_{\rm m}$ для СҮРЗА4 были определены как -97 \pm 11 мВ (отн. HBЭ) в случае иммобилизации фермента на СУЭ и -157 ± 17 мВ (отн. HBЭ) в случае иммобилизации фермента на золотом электроде. Для СҮРЗА4 также наблюдалось смещение $E_{\rm m}$ в область более положительных значений в присутствии монооксида углерода. Сравнительный анализ значений $E_{\rm m}$, разности между значениями $E_{\rm c}$ и $E_{\rm a}$ (ΔE) и гетерогенных констант скоростей переноса электронов, полученных для СҮРЗА4 и СҮРЗА4 в составе химерного белка, позволил сделать вывод о вкладе флавинового домена СҮР102А1 в перенос электронов между электродом и химерным белком. Кроме того, удаление флавиновых нуклеотидов из редуктазного домена СҮР102А1 химерного белка приводило к появлению пиков на циклической вольтамперограмме с количественными параметрами, близкими к аналогичным параметрам пиков, полученных для СҮРЗА4. На циклической вольтамперограмме химерного белка, состоящего из СҮРЗА4 и флаводоксина, иммобилизованного на СУЭ, авторы наблюдали два пика восстановления и два пика окисления (значения $E_{\rm m}$ -102 \pm 13 и -391 \pm 10 мВ), что свидетельствовало о протекании редокс процессов, в которые вовлечены ион железа гема СҮРЗА4 и FMN флаводоксина. Однако при иммобилизации химерного белка CYP3A4 с флаводоксином электроде циклическая на золотом вольтамперограмма характеризовалась одним пиком восстановления и одним пиком окисления ($E_{\rm m}$ - 136 ± 10 мВ), которые соответствовали редокс процессу, в который вовлечен ион железа гема СҮРЗА4 химерного белка. Авторы отмечают, что при иммобилизации как СҮРЗА4, так и химерных белков на СУЭ, значения гетерогенных констант переноса электронов гораздо больше, по сравнению с аналогичным параметром для белков, иммобилизованных на золотых электродах, что, по-видимому, связано с усилением переноса электронов между электродом и белками при иммобилизации последних с помощью поверхностно-активных или полиионных соединений. В заключение, авторы, используя в качестве субстрата СҮРЗА4 эритромицин, сравнили концентрации формальдегида, образующегося при N-деметилировании эритромицина, соотнесенные к количеству электроактивного белка на электроде, и эффективности сопряжения каталитического цикла. В присутствии редуктазного

домена СҮР102А1 или флаводоксина в составе химерных белков происходило образующегося увеличение концентрации формальдегида, эффективности сопряжения, по сравнению с аналогичными параметрами в случае иммобилизации СҮРЗА4 без редуктазного домена или флаводоксина. Удаление флавиновых нуклеотидов из редуктазного домена СҮР102А1 химерных белков приводило к снижению этих параметров до значений близких к таковым в случае иммобилизации СҮРЗА4 без редуктазного домена или флаводоксина. Таким образом, авторы показали возможность контроля активности ферментов и эффективности разработке сопряжения каталитического цикла при электрохимических систем на основе цитохромов Р450 для биосенсорного анализа и биоэлектрокатализа.

Рапіссо и соавт. разработали электрохимическую систему на основе химерных белков, полученных генно-инженерным способом, состоящих из гемового домена CYP2C9*1 (дикий тип фермента), CYP2C9*2 (R144C) или CYP2C9*3 (I359L) и фрагмента флаводоксина Desulfovibrio vulgaris, содержащего **FMN** качестве простетической группы [7]. Химерные белки были иммобилизованы **ЗОЛОТОМ** электроде, модифицированном на самоорганизующимися слоями на основе 6-гексантиола и 7-меркаптогептановой кислоты. Для всех химерных белков, содержащих СҮР2С9*1, СҮР2С9*2 или СҮР2С9*3, авторы зарегистрировали восстановительный и окислительный пики со значениями $E_{\rm m}$ -79 \pm 11 мB (отн. HBЭ), -88 \pm 4 мB (отн. HBЭ) и -98 \pm 8 мB (отн. НВЭ), соответственно. Полученные пики отражали процесс восстановления и окисления иона железа гема химерных белков. В присутствии кислорода и (S)варфарина авторы наблюдали каталитический ток. Значения $K_{\rm M}$ химерных белков, содержащих фрагменты СҮР2С9*1, СҮР2С9*2 или СҮР2С9*3, по отношению к (S)-варфарину были определены из зависимости каталитического тока от концентрации субстрата в соответствии с электрохимической формой уравнения Михаэлиса-Ментен (0,84 мкМ, 1,76 мкМ и 6,24 мкМ, соответственно). С помощью ВЭЖХ образование авторы зарегистрировали (S)-7-гидроксиварфарина, количественное определение которого позволило расссчитать значения $k_{\rm cat}$ для

химерных белков: 15,75 мин⁻¹ – для химерного белка, содержащего СҮР2С9*1, 6,85 мин⁻¹ – для химерного белка содержащего CYP2C9*2 и 2,17 мин⁻¹ – для химерного белка, содержащего СҮР2С9*3. Позже Рапіссо и соавт. провели иммобилизацию на СУЭ, модифицированных ДДАБ, СҮР2С9 и химерных белков, состоящих из гемового домена СҮР2С9*1, СҮР2С9*2 или СҮР2С9*3 и фрагмента флаводоксина Desulfovibrio vulgaris, содержащего FMN в качестве простетической группы [99]. Как СҮР2С9, так и химерные белки были способны к обмену электронов между модифицированным электродом и ионом железа гема, о чем свидетельствовали полученные циклические вольтамперограммы. Чтобы показать механизм переноса электронов в белках, химерных авторы зарегистрировали вольтамперограммы в присутствии монооксида углерода. Значения $E_{\rm m}$ химерных белков при насыщении монооксидом углерода сдвигались в более положительную область потенциалов, свидетельствуя о том, что наблюдаемые на циклической вольтамперограмме пики соответствуют процессу восстановления и окисления иона железа гема. Авторы сравнили активности СҮР2С9 и химерных белков по отношению к (S)-варфарину в присутствии каталазы и супероксиддисмутазы. Для СҮР2С9 по отношению к (S)-варфарину значение $k_{\rm cat}$ было определено как 4,28 \pm 0,59 мин-1, при этом для химерного белка, состоящего из СҮР2С9*1 и флаводоксина, авторы наблюдали увеличение значения $k_{\rm cat}$ примерно в 4 раза, что указывало на активирующую роль флаводоксина. Для химерного белка СҮР2С9*2 с флаводоксином авторы наблюдали снижение значения $k_{\rm cat}$ примерно в 1,5 раза, а для СҮР2С9*3 с флаводоксином – примерно в 7 раз, по сравнению с активностью химерного белка СҮР2С9*1 с флаводоксином, что согласуется с данными литературы о сниженной активности CYP2C9*2 и CYP2C9*3 по отношению к (S)варфарину [139]. Авторы полагают, что разработанная ими электрохимическая система на основе химерных белков может быть использована при оценке влияния полиморфизма на метаболизм лекарственных соединений.

1.4.4. Электрохимические системы на основе мембраносвязанных цитохромов Р450

Наряду с созданием электрохимических систем на основе очищенных цитохромов Р450, интенсивное развитие получили электрохимические системы на основе адсорбированных (иммобилизованных) на электродах микросом человека либо микросом, полученных из трансгенных организмов, продуцирующих индивидуальные изоферменты цитохрома Р450 и компоненты монооксигеназной системы человека. Разработка таких систем диктуется рядом причин, важнейшими из которых являются: во-первых, отсутствие необходимости выделения цитохрома Р450 из мембран, что позволяет избежать инактивации фермента в процессе выделения; во-вторых, ферменты остаются в своем естественном мембранном микроокружении, способствующим их стабилизации; в-третьих, все компоненты цитохром P450-зависимой монооксигеназной системы (цитохром P450, CPR, cyt b_5) находятся в оптимальном количественном соотношении. Все эти факторы позволяют получить электрохимическую систему с высокой монооксигеназной каталитической активностью. Однако при разработке электрохимических систем на основе микросом перед исследователями возникает ряд задач, связанных с выявлением механизма переноса электронов между электродом и компонентами микросом, оптимизацией способов иммобилизации микросом на электродах и каталитической активности мембраносвязанных подходов регистрации цитохромов Р450.

Для иммобилизации мембраносвязанных цитохромов P450 на электродах применяют технологии, схожие по принципу с теми, что используются при иммобилизации очищенных цитохромов P450. Далее мы рассмотрим примеры работы, в которых используются различные стратегии иммобилизации мембраносвязанных цитохромов P450.

1.4.4.1. Адсорбция мембраносвязанных цитохромов P450 на немодифицированных электродах

В отличие от очищенных цитохромов Р450, которые при адсорбции на немодифицированных электродах теряют стабильность И активность, мембраносвязанные ферменты могут быть успешно адсорбированы на электроде с сохранением как способности электрода и редокс-белковых компонентов обмениваться электронами, так и каталитической активности ферментов за счет мембранного микроокружения [4]. В работе Walgama и соавт. была разработана электрохимическая система на основе адсорбированных на различных типах углеродных электродах микросом человека для исследования метаболизма лекарств и ингибирования цитохромов Р450 [140]. Авторы зарегистрировали пики восстановления и окисления для микросом, адсорбированных на электродах, при этом значение $E^{0\prime}$ находилось в диапазоне от -0,45 до -0,47 В (отн. Ag/AgCl). Наибольшая скорость переноса электронов была зарегистрирована при адсорбции микросом на СУЭ. С другой стороны, большее количество электроактивного вещества регистрировалось в случае адсорбции микросом на электродах из пиролитического графита с плоской кромкой и высокоочищенного графита (англ. high-purity graphite), имеющих более дефектные, шероховатые поверхности, по поверхностью СУЭ, и менее дефектными гидрофобными поверхностями электродов из базального плоского пиролитического графита (англ. basal plane pyrolytic graphite). Используя в качестве субстрата тестостерон, авторы методом ВЭЖХ подтвердили способность микросом, адсорбированных на электродах из высокоочищенного пиролитического графита, катализировать реакцию 6β-гидроксилирования тестостерона. В присутствии кетоконазола активность микросом, адсорбированных на электроде, снижалась за счет ингибирования цитохромов P450, катализирующих 6β-гидроксилирование тестостерона. В работе Walker и соавт. было проведено исследование по влиянию поверхностных свойств электродов ИЗ высокоочищенного графита электрокаталитические свойства адсорбированных микросом человека [141].

Авторы использовали карбид кремниевую бумагу с различной степенью шероховатости (с зернистостью 60, 120, 400, 600 и 1200; чем меньше число зернистости, тем крупнее частицы абразивного материала) для полировки графитовых электродов с последующей адсорбцией на поверхность электродов микросом. Авторы зарегистрировали пики восстановления и окисления для микросом, адсорбированных на электродах с различной степенью шероховатости, при этом значения $E^{0\prime}$ определены как -0,47 ± 0,01 В (отн. Ag/AgCl). Наибольшее количество электроактивного вещества на электроде с адсорбированными микросомами было получено при полировке электродов бумагой с зернистостью 120. Используя 3D оптический поверхностный профилометр, авторы определили коэффициент шероховатости электрода, который составил 8 мкм для электродов, полированных бумагой с зернистостью 120. При полировке электродов бумагой со степенью зернистости от 600 до 1200, значение гетерогенной константы скорости переноса электронов было более чем в 1,5 раза больше, по сравнению с аналогичным параметром, рассчитанным для электродов, полированных бумагой с зернистостью 120. Авторы предположили, что меньшая скорость переноса электронов между микросомами и электродами, полированными абразивным материалом с большим размером абразивных частиц, может быть связана с возникновением более неоднородной поверхности электродов и, как следствие, различной удаленностью редокс-центров микросомальных белков от электрода. При этом на электродах, полированных бумагой с зернистостью 120, с адсорбированными микросомами каталитический ток в присутствии кислорода был больше, по сравнению с каталитическим током, регистрируемым на электродах, полированных бумагой с большей зернистостью, с адсорбированными микросомами в присутствии кислорода. В заключение, авторы показали каталитическую активность ПО отношению К диклофенаку микросом, адсорбированных на полированных бумагой с зернистостью 120 электродах. Методом ВЭЖХ авторы зарегистрировали образование 4'-гидроксидиклофенака при проведении электрокаталитической реакции в присутствии диклофенака как

субстрата, что подтверждало монооксигеназную активность микросом, адсорбированных на электроде.

1.4.4.2. Иммобилизация мембраносвязанных цитохромов Р450 на электродах с помощью тонких пленок

Мембраносвязанные цитохромы Р450 могут быть иммобилизованы на электродах, модифицированных тонкими гидрофобными пленками органических соединений. В работе Міе и соавт. была разработана электрохимическая система, в которой мембранные фракции, полученные от Escherichia coli и содержащие CYP3A4 и CPR человека, были иммобилизованы на золотых электродах, модифицированных монослойными гидрофобными пленками различных тиолатов Циклической вольтамперометрией В анаэробных условиях зарегистрированы пики восстановления и окисления (около -0,4 В отн. Ag/AgCl) только при иммобилизации мембранной фракции на золотом электроде, модифицированном бензентиолатом и нафталентиолатом. При насыщении буфера монооксидом углерода на циклической вольтамперограмме регистрировались два пика восстановления, причем пик с более положительным потенциалом, повидимому, возникает вследствие смещения потенциала восстановления цитохрома Р450, образующего комплекс с монооксидом углерода. Пик окисления при насыщении монооксидом углерода смещался в положительную область на 50 мВ, указывая на то, что данный пик является следствием окисления цитохрома Р450. В присутствии кислорода авторы наблюдали исчезновение пика окисления и увеличение восстановления, что пика свидетельствует протекании электрокаталитической реакции по отношению к кислороду. В присутствии тестостерона регистрировался каталитический ток, свидетельствующий об активности микросом ПО отношению К тестостерону. Из зависимости каталитического тока от концентрации тестостерона было определено значение $K_{\rm M}$, которое оказалось сопоставимо с аналогичным значением, ранее полученным с помощью альтернативной системы [143]. В присутствии кислорода и кетоконазола,

CYP3A4, ингибирующего активность происходило резкое уменьшение восстановительного пика (значение тока было меньше, чем в присутствии кислорода без кетоконазола), при этом тестостерон в присутствии кетоконазола вызывал менее выраженное увеличение восстановительного пика. Способность микросом катализировать реакцию 6β-гидроксилирования тестостерона была подтверждена определением соответствующего продукта методом ВЭЖХ. Позже Міе и соавт. иммобилизовали микросомы с экспрессированными СҮР2С9 или его полиморфными формами (СҮР2С9*2 или СҮР2С9*3) на золотые электроды, 4-аминотиофенолом, модифицированные 4-гидрокситиофенолом, карбокситиофенолом или тиофенолом [8]. В анаэробных условиях авторы зарегистрировали пики восстановления и окисления только при иммобилизации микросом на электродах, модифицированных 4-аминотиофенолом (E^{0}) было определено как -0,399 В отн. Ag/AgCl) и тиофенолом (E^{0} было определено как -0,330 В отн. Ag/AgCl). При этом авторы предположили, что зарегистрированные пики могут соответствовать процессу восстановления и окисления цитохрома Р450. Важно отметить, что при иммобилизации микросом на электродах, модифицированных 4-аминотиофенолом, интенсивность пиков зависела от рН. При значениях рН 5,5 и 8,4 четких пиков не наблюдалось. Данное обстоятельство связано со значением р $K_{\rm a}$ аминогруппы 4-аминотиофенола (р $K_{\rm a}$ 6,9). Авторы заключили, что при значениях рН, соответствующих частично протонированной форме 4-аминотиофенола, происходит перенос электронов между электродом и микросомами. В присутствии кислорода и субстрата СҮР2С9 толбутамида авторы наблюдали стабильный каталитический ток при иммобилизации микросом на электродах, модифицированных 4-аминотиофенолом, тогда как каталитический ток при иммобилизации микросом на электродах, модифицированных тиофенолом, уменьшался при последующих измерениях. Дополнительные эксперименты, проведенные авторами, позволили высказать предположение, что снижение каталитического тока на электродах, модифицированных тиофенолом, связано с разрушением порфиринового кольца цитохрома Р450 под действием АФК, таких как супероксид анион. При модификации электродов 4-аминотиофенолом

создается более гидрофильная поверхность, по сравнению с поверхностью, модификации тиофенолом, возникающей при поэтому концентрация образующегося супероксидного аниона у поверхности снижается при участии молекул воды, находящихся на гидрофильной поверхности, что и объясняет стабильность каталитического тока. Для определения кинетических параметров СҮР2С9*1, СҮР2С9*2 и СҮР2С9*3 по отношению к толбутамиду авторы использовали для иммобилизации микросом электроды, модифицированные 4аминотиофенолом. Значение $K_{\rm M}$ было определено из зависимости каталитического тока от концентрации толбутамида, при этом значение $k_{\rm cat}$ было определено ВЭЖХ ПО количеству образующегося 4-гидрокситолбутамида. методом Полученные кинетические параметры для СҮР2С9*1 и СҮР2С9*3 укладывались в диапазон значений кинетических параметров, полученных ранее с помощью альтернативных систем [144-147], что указывает на адекватность применения разработанной электрохимической системы на основе микросом для определения активности СҮР2С9.

Отрицательный заряд фосфолипидов мембран микросом позволяет стратегию иммобилизации за осуществить ИХ счет электростатического взаимодействия с электродом, модифицированным соединениями, несущими положительный заряд. Nerimetla и соавт. сконструировали электрохимическую систему, в которой бактосомы с СҮР2С9 и СРR или СҮР3А4 и СРR были иммобилизованы на выступающем в роли рабочего электрода кварцевом резонаторе, покрытом золотом и модифицированном цистеамином [148]. Используя кварцевые кристаллические микровесы (QCM, от англ. quartz crystal microbalance) и сканирующую электронную микроскопию (СЭМ) авторы осуществляли контроль образования монослоев цистеамина поверхности и адсорбцию бактосом. Методом циклической вольтамперометрии в анаэробных условиях авторы зарегистрировали пики восстановления и окисления со значениями $E^{0\prime}$ для бактосом с CYP2C9 + CPR и CYP3A4 + CPR, равными -450 \pm 40 мB (отн. Ag/AgCl) и -440 \pm 40 мB (отн. Ag/AgCl), соответственно. Также были определены $E^{0\prime}$ для бактосом с CYP2C9, не содержащих CPR, и бактосом с CPR, но

не содержащих CYP2C9: -310 ± 20 мB (отн. Ag/AgCl) и -450 ± 38 мB (отн. Ag/AgCl), соответственно. Авторы предположили, что полученные значения E^{0} указывают на то, что CPR является первичным акцептором электронов от электрода, а последующее восстановление иона железа гема цитохромов Р450 происходит за счет переноса электронов от CPR. Все иммобилизованные на электроде бактосомы обладали каталитической активностью по отношению к кислороду, при этом потенциал начала катализа (E_{onset}) для бактосом с экспрессированным СҮР2С9 без CPR имел более положительное значение, по сравнению с $E_{\rm onset}$ для бактосом с CYP2C9 и CPR. Кроме того, плотность тока, регистрируемая при восстановлении кислорода бактосомами, содержащими CYP2C9 и CPR, была больше, чем плотность тока восстановления кислорода бактосомами, содержащими СҮР2С9 без CPR. В совокупности полученные результаты позволяют сделать вывод о том, что CPR опосредует перенос электронов к цитохрому P450 и усиливает процесс электрокаталитического восстановления кислорода. Используя субстрата СҮР2С9 диклофенак, авторы подтвердили методами ВЭЖХ и массспектрометрии образование 4'-гидроксидиклофенака. Скорость образования этого продукта при участии иммобилизованных бактосом с CYP2C9 и CPR была почти в 5,6 раз больше, по сравнению со скоростью образования продукта в случае иммобилизации бактосом с CYP2C9, но без CPR. Особенно важно подчеркнуть, что для расчета скорости образования метаболита авторы использовали концентрацию цитохрома Р450 в адсорбированных бактосомах, а не количество электроактивного вещества, определяемого из циклических вольтамперограмм, поскольку в случае иммобилизации бактосом c CYP2C9 И CPR сигнал на вольтамперограммах регистрируется либо от СРR, либо от комплекса цитохрома P450 и CPR, что не позволяет определить истинное количество электроактивного цитохрома Р450. Сравнительно меньшее количество 4'-гидроксидиклофенака образовывалось и в случае иммобилизации бактосом с экспрессированной CPR, но не содержащих цитохром Р450. В присутствии каталазы скорости образования 4'гидроксидиклофенака значительно увеличивались как в случае иммобилизации бактосом с CYP2C9 и CPR, так и в случае иммобилизации бактосом с CYP2C9, но

без СРR. Это интересное наблюдение авторы объясняют тем, что каталаза, катализируя распад пероксида водорода, препятствует перекисному окислению липидных мембран бактосом, что способствует более эффективному переносу электронов между СРR и цитохромом Р450. Сделанное авторами наблюдение позволяет иначе взглянуть на роль пероксида водорода в электрохимических системах с мембраносвязанными и очищенными цитохромами Р450, поскольку, как было показано в ряде работ, внесение каталазы в систему с иммобилизованным на электроде очищенным цитохромом Р450 приводило к снижению активности фермента по отношению к субстрату [137, 149].

1.4.4.3. Иммобилизация мембраносвязанных цитохромов Р450 с помощью метода послойного нанесения

Разработаны электрохимические системы для определения активности цитохромов Р450, в которых используется технология послойного нанесения на электрод пленок органических соединений и микросом. В работе Sultana и соавт. была сконструирована электрохимическая система на основе содержащих СҮР1А2 или СҮР3А4, иммобилизованных на электроде из пиролитического графита, модифицированного слоями полиэтиленимина и ПСС, с последующей послойной адсорбцией микросом и полиэтиленимина [150]. Авторы восстановления зарегистрировали процесс И окисления ДЛЯ бакулосом, обогащенных СҮР1А2 или СҮР3А4, в обоих случаях характеризующийся $E_{\rm m}$ -0,49 В НКЭ). Ha основании сравнительного анализа окислительновосстановительных потенциалов бакулосом и рекомбинантных СҮР1А2 и СҮРЗА4, количества электроактивного белка, адсорбированного на электроде, а также экспериментов по насыщению адсорбированных на электроде бакулосом монооксидом углерода, авторы показали, что первичным акцептором электронов от электрода является CPR в составе бакулосом. Используя в качестве субстрата стирол, авторы зарегистрировали образование продукта СҮР1А2- и СҮР3А4зависимой биотрансформации субстрата — оксида стирола, образующегося в электрохимической системе при участии бакулосом.

Интересный подход для оценки токсичности метаболитов, образующихся при участии цитохромов P450, по отношению к ДНК был предложен Wasalathanthri и соавт. [151]. Авторы разработали микрофлюидную электрохимическую систему на основе электродов из углерода или базального плоского пиролитического графита, на которые были нанесены ПДДА, ПСС, металлополимер [Ru(2,2бипиридил)₂-(поли(4-винилпиридин))₁₀](ClO_4), ДНК и микросомы печени крысы. Нанесение вышеуказанных компонентов проводилось таким образом, чтобы чередовать слои, несущие положительные и отрицательные заряды. Методом циклической вольтамперометрии были зарегистрированы пики восстановления и окисления со значением $E_{\rm m}$ -0,48 B (отн. НКЭ), свидетельствующие о прямом переносе электронов между электродом и микросомами. Электрокаталитические реакции при фиксированном потенциале рабочего электрода иммобилизованными микросомами и ДНК проводились в потоке буфера, содержащего стирол, 4-(метилнитрозамино)-1-(3-пиридил)-1-бутанон, Nнитрозопирролидин, $N-(9H-\phi)$ луорен-2-ил)ацетамид или бензо[α]пирен. Хорошо известно, что реакционноспособные метаболиты этих соединений, образующиеся при участии цитохромов Р450, способны реагировать с ДНК [152-156], что приводит к расплетанию последней и повышению доступности гуанина или аддуктов аденина для металлополимера рутения, выступающего в качестве катализатора окисления пуринов. Эти процессы могут быть зарегистрированы по пику окисления в области 1,15 В (отн. Ag/AgCl). Таким образом, разработанная электрохимическая система имеет практическую значимость для фармакологии, позволяет выявлять образование генотоксичных метаболитов, образующихся при участии цитохромов Р450.

1.4.4.4. Инкапсулирование мембраносвязанных цитохромов Р450 с помощью гелей

Технология иммобилизации на электродах с помощью инкапсулирования ферментов в полимеры и гели также применяется для иммобилизации микросом и Xu мембраносвязанных цитохромов P450. И соавт. предложили электрохимическую систему, основанную на иммобилизации инкапсулированных хитозан микросом с экспрессированными СҮР2С9 и СРR на СУЭ, модифицированном наночастицами оксида индия-олова [94]. В анаэробных условиях авторы зарегистрировали пики восстановления и окисления со значением $E_{\rm m}$ -0,393 В (отн. НКЭ). При иммобилизации инкапсулированных в хитозан микросом на электрод в отсутствие наночастиц оксида индия-олова пиков не наблюдалось, что подтверждает необходимость в такой системе наночастиц для прямого переноса электронов между электродом и микросомами. Как полагают авторы, наночастицы оксида индия-олова могут образовывать трехмерные структуры, способствующие переносу электронов. В присутствии кислорода и субстрата СҮР2С9 толбутамида авторы наблюдали каталитический ток. Измеряя каталитический ток при фиксированном потенциале рабочего электрода и титровании толбутамидом, авторы определили $K_{\rm M}$ (202,84 мкМ), которая оказалась сопоставима с аналогичным параметром, полученным ранее с помощью альтернативных систем [143, 157, 158]. Авторы подтвердили образование 4гидрокситолбутамида с помощью хромато-масс-спектрометрического метода и масс-спектрометрией с электроспрейной ионизацией. Регистрируя значения каталитического тока в присутствии фиксированной концентрации толбутамида и различных концентраций сульфафеназола, авторы определили значение ІС50 для сульфафеназола как 1,592 мкМ, что было сопоставимо с ранее полученными значениями этого параметра с помощью альтернативной системы [159]. Позже Хи и соавт. провели иммобилизацию микросом человека на СУЭ, модифицированный хитозаном и наночастицами золота, образующих комплекс с поли-L-лизином, ковалентно связанным с оксидом графена, инкапсулированных в полидопамин

[160]. В анаэробных условиях авторы зарегистрировали пик восстановления при -0,447 В (отн. НКЭ) и пик окисления при -0,366 В (отн. НКЭ). Авторы отметили, что золотые наночастицы увеличивают электроактивную площадь электрода, на что указывает уменьшение количества электроактивного вещества при иммобилизации микросом на поверхности электрода с использованием модификации без золотых В аэробных условиях и в присутствии тестостерона был наночастиц. зарегистрирован каталитический свидетельствующий οб ток, электрокаталитической активности микросом по отношению к кислороду и тестостерону. Из зависимости каталитического тока, регистрируемого амперометрическом режиме, от концентрации тестостерона авторы определили значение $K_{\rm M}$ как 175 ± 20 мкМ. Кетоконазол уменьшал величину каталитического тока в ответ на добавку тестостерона. Значение ІС50 для кетоконазола было определено как 0,2527 ± 0,0031 мкМ. Методом ВЭЖХ и масс-спектрометрии авторы подтвердили способность микросом, иммобилизованных на электроде, катализировать конверсию тестостерона в 6В-гидрокситестостерон.

1.4.4.5. Иммобилизация мембраносвязанных цитохромов P450 за счет электростатического взаимодействия с функционализированными поверхностями электродов

Для получения электродов с адсорбированными на их поверхности микросомами также применялась технология, основанная на электростатическом взаимодействии микросом человека (за счет отрицательного заряда фосфолипидов) с магнитными наночастицами (Fe_3O_4), функционализированными положительно заряженным амином, и последующей адсорбцией полученных таким образом комплексов на электроде из пиролитического графита с плоской кромкой [95]. Для электродов с адсорбированными на их поверхности магнитными наночастицами, связанными электростатически с микросомами, методом циклической вольтамперометрии в анаэробных условиях авторы зарегистрировали пики восстановления и окисления со значением $E^{0\prime}$ -0,46 ± 0,01 B (отн. Ag/AgCl).

Сравнительный анализ $E^{0\prime}$ со значениями этого параметра, полученными при аналогичных условиях из циклической вольтамперометрии, для магнитных наночастиц, адсорбированных на электроде и связанных с бактосомами, содержащими CPR, но не содержащими цитохром P450, или содержащии CYP2C9, но не содержащими CPR, выявил, что полученные пики восстановления и окисления для микросом человека, адсорбированных на электроде с помощью магнитных наночастиц, соответствуют редокс процессу, в который вовлечена СРК, содержащая FAD и FMN. В присутствии кислорода каталитический ток, зарегистрированный циклической вольтамперометрией на электродах адсорбированными микросомами, связанными с магнитными наночастицами, оказался в 1,5 раза больше, по сравнению с каталитическим зарегистрированным на электродах с адсорбированными микросомами, не связанными с магнитными наночастицами. Авторы предположили, что причиной этого является более высокая плотность адсорбции и большая поверхностная концентрация микросом за счет магнитных наночастиц. Стоит отметить, что также был зарегистрирован каталитический ток в присутствии кислорода в случае адсорбции на поверхности электродов магнитных наночастиц, несвязанных с по-видимому, обусловлено способностью микросомами, что, Fe₃O₄ восстанавливать кислород. Монооксигеназная активность микросом, связанных с магнитными наночастицами, адсорбированных на электроде, была исследована по диклофенаку. Методами хроматографического отношению К масс-4'спектрометрического было показано образование анализов гидроксидиклофенака, при этом его количество было почти в 3 раза больше, по c количеством 4'-гидроксидиклофенака, образующегося сравнению проведении электрокаталитической реакции с электродом, на котором микросомы были адсорбированы напрямую без магнитных наночастиц. При проведении контрольных экспериментов с электродами, на которых были адсорбированы магнитные наночастицы без микросом, или с электродами, на которых адсорбированы бактосомы, не содержащие цитохром Р450, образование 4'гидроксидиклофенака не зарегистрировано, что подтверждает вклад в образование

продукта именно цитохрома P450 в составе микросом. В заключение, авторы показали возможность определения $K_{\rm M}$ для микросом, как непосредственно адсорбированных на электроде, так и адсорбированных на электроде за счет магнитных наночастиц, путем регистрации каталитического тока в амперометрическом режиме при титровании диклофенаком.

Для иммобилизации микросом или мембранных фракций, содержащих компоненты монооксигеназных систем, широко применяется технология модификации электродов различными композитными органо-неорганическими Такие материалы позволяют увеличить скорость переноса материалами. электронов между электродом и редокс-центрами иммобилизованных белковых компонентов. В работе Huang и соавт. была сконструирована электрохимическая система на основе бакулосом с экспрессированными СҮРЗА4 и СРК, иммобилизованных на СУЭ, модифицированном нанокомпозитным материалом на основе коллоидного золота и графена, стабилизированного ПДДА [161]. В анаэробных условиях на циклической вольтамперограмме наблюдались пики восстановления и окисления ($E^{0\prime}$ -0,482 \pm 0,003 В (отн. НКЭ)), что указывает на отомкап переноса электронов между возможность электродом, модифицированным нанокомпозитным материалом, и микросомами. В аэробных условиях, используя вращающийся дисковый электрод, авторы зарегистрировали каталитический ток при титровании субстратом СҮРЗА4 нифедипином. В соответствии с электрохимической формой уравнения Михаэлиса-Ментен и методом двойных обратных координат, авторы опредилили значение $K_{\rm M}$ по отношению к нифедипину (1,30 мкМ). Авторы отмечают, что данный параметр значительно меньше, по сравнению с полученным ранее с помощью альтернативной системы [162]. На основании этого, авторы утверждают, что иммобилизованные микросомы, на электроде, модифицированном нанокомпозитным материалом, имеют большую ферментативную активность. Хромато-масс-спектрометрическим методом авторы показали способность микросом, иммобилизованных на электроде, модифицированном нанокомпозитом, осуществлять СҮРЗА4-зависимую конверсию нифедипина в дегидронифедипин.

Кетоконазол ингибировал активность микросом по отношению к нифедипину. Определяя значения каталитического тока в присутствии фиксированной концентрации нифедипина и различных концентраций кетоконазола, авторы определили значение IC_{50} для кетоконазола (0,23 мкМ) в этой системе.

1.4.4.6. Адсорбция на электродах, модифицированных углеродными нанотрубками

Для адсорбции микросом на электроде могут применяться углеродные нанотрубки. Электрохимическая биосенсорная система на основе микросом с экспрессированным СҮР1А2 человека, иммобилизованных графитовых электродах (ПГЭ), модифицированных многостенными углеродными нанотрубками, была разработана Baj-Rossi и соавт. для определения нестероидного (НПВС) противовоспалительного средства напроксена [163]. математической обработки циклических вольтамперограмм, зарегистрированных в аэробных условиях, были визуализированы два пика восстановления при -560 мВ (отн. Ag/AgCl) и -380 мВ (отн. Ag/AgCl), которые авторы соотнесли с восстановлением CPR и CYP1A2, соответственно, в составе микросом. В присутствии напроксена авторы наблюдали небольшой сдвиг потенциалов пиков восстановления в положительную область, при этом значение тока возрастало при увеличении концентрации напроксена, что свидетельствовало о каталитической активности СҮР1А2. Предел определяемых концентраций напроксена с помощью разработанного биосенсора был определен авторами как 16 ± 1 мкМ. Позже Вај-Rossi и соавт. применили модификацию ПГЭ многостенными углеродными нанотрубками (МУНТ) для создания биосенсора на основе иммобилизованных микросом с экспресссированными СҮРЗА4, СРК и сут b_5 [164]. Используя математическую обработку пиков, зарегистрированных циклической вольтамперометрией, авторы выявили два восстановительных пика: при -360 мВ (отн. Ag/AgCl) и -540 мВ (отн. Ag/AgCl), предположительно соответствующие процессам восстановления CYP3A4 и CPR. Пики при аналогичных потенциалах

были зарегистрированы немодифицированных электродах И на c ток восстановления СҮРЗА4 адсорбированными микросомами, однако количество электроактивного вещества на электроде были больше в случае иммобилизации микросом на ПГЭ, модифицированных МУНТ, по сравнению с немодифицированными ПГЭ. Микросомы, иммобилизованные ПГЭ, на модифицированных МУНТ, демонстрировали электрокаталитическую активность по отношению к кислороду и субстрату СҮРЗА4 ифосфамиду, при этом регистрируемые токи были значительно больше, по сравнению с каталитическими токами, регистрируемыми при иммобилизации микросом на немодифицированных электродах. Предел определяемых концентраций ифосфамида с помощью разработанного биосенсора был определен как 4 ± 2 мкМ. Полученные авторами данные указывают на то, что МУНТ позволяют повысить количество электроактивного фермента на электроде и увеличивают чувствительность биосенсора за счет увеличения восстановительного тока.

Также разработаны электрохимические системы на основе микросом для определения активности флавинсодержащих монооксигеназ (FMO). FMO -NADPH-зависимые микросомальные ферменты, катализирующие оксигенирования нуклеофильных гетероатомов различных ксенобиотиков, в том числе лекарственных препаратов [165-167]. Наряду с цитохромами Р450, FMO являются важнейшими ферментами I фазы метаболизма ксенобиотиков [166]. В работе Ікедаті и соавт. были исследованы электрохимические свойства флавинсодержащих монооксигеназ 1 и 3 (FMO1 и FMO3) в составе микросом, иммобилизованных на золотом электроде, модифицированном нафталентиолом [168]. Методом циклической вольтамперометрии в анаэробных условиях авторы зарегистрировали пики восстановления со значениями потенциалов примерно при -0,34 B (отн. Ag/AgCl) для электродов с иммобилизованными микросомами, содержащими FMO1, и -0,40 B (отн. Ag/AgCl) для электродов с микросомами, содержащими FMO3, при этом в обоих случаях отсутствовали пики окисления. Используя в качестве субстрата метил *пара*-толил сульфид, авторы показали возможность определения значения $K_{\rm M}$ для FMO путем регистрации увеличения

восстановительного тока (каталитического тока) этих ферментов в присутствии кислорода при титровании раствором субстрата (метил-napa-толил сульфид). Авторы отмечают, что поскольку отсутствует пик окисления FMO, невозможно определить значение $k_{\rm cat}$.

На рисунке 4 представлены способы иммобилизации на электродах микросом или мембранных фракций, содержащих компоненты монооксигеназных систем.

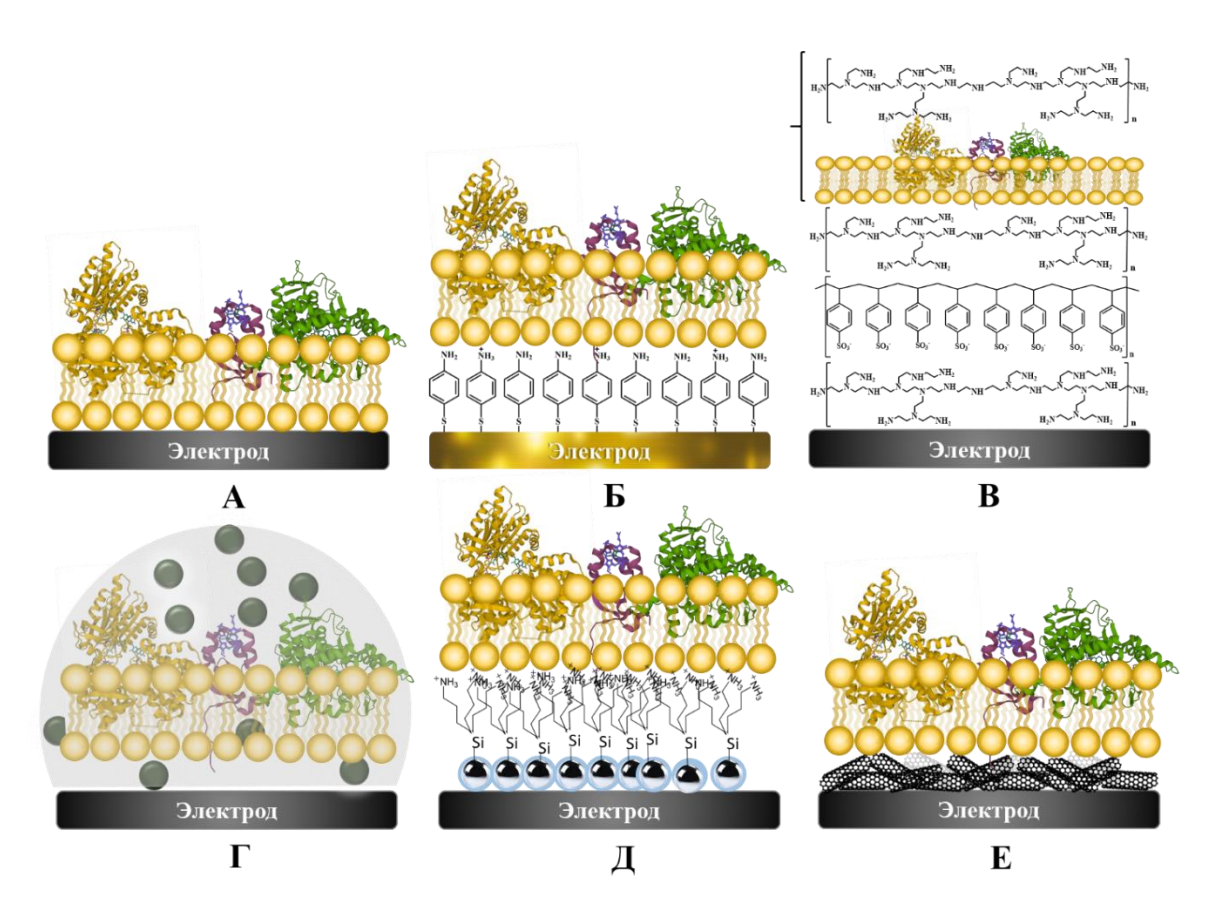


Рисунок 4. Способы иммобилизации на электродах микросом или мембранных фракций, содержащих компоненты монооксигеназных систем. Адсорбция на немодифицированных электродах (A); иммобилизация с помощью тонких пленок (Б) и метода послойного нанесения микросом или мембранных фракций и полимерных пленок (В); инкапсулирование с помощью композитных материалов на основе хитозана и оксида индия-олова (Г); иммобилизация за счет электростатического взаимодействия мембран микросом с модифицированными амино-функционализированными магнитными наночастицами (Д); адсорбция на электродах, модифицированных углеродными нанотрубками (Е).

1.5. Концепция биэлектродных электрохимических систем для определения активности ферментов

Как уже обсуждалось выше, исследование активности цитохромов Р450 сопряжено с трудоемким аналитическим процессом определения продуктов реакций. Несмотря на удобство практического использования электрохимических систем для восстановления иона железа гема цитохромов Р450 и инициирования таким образом каталитических реакций, для точного определения кинетических необходим многоэтапный параметров процесс количественного анализа продуктов. Одним из способов минимизации этапов этого процесса видится стратегия, основанная на использовании биэлектродной системы. В такой системе один электрод служит для иммобилизации очищенных или мембраносвязанных P450 И инициирования каталитической реакции цитохромов путем электрохимического восстановления иона железа гема, а другой электрод используется для количественного определения образующихся метаболитов за счет их электрохимического окисления или восстановления. Ранее в лаборатории биоэлектрохимии ИБМХ под руководством профессора Шумянцевой была разработана биэлектродная система, в которой СҮР2В4 был иммобилизован на одном из печатных электродов, модифицированных коллоидным золотом, а образующийся в процессе каталитической реакции по отношению к бензфетамину, являющемуся субстратом этого фермента, пероксид водорода регистрировался с помощью второго электрода, модифицированного берлинской лазурью [169]. Мы предположили, что аналогичный принцип может применяться и для определения продуктов цитохром Р450-зависимых реакций, при условии, что продукты и субстраты реакций отличаются по электрохимическим свойствам, а именно, подвергаются электрохимическому окислению при различных потенциалах.

Биэлектродные системы в различных форматах нашли применение для решения ряда исследовательских задач. Khushvakov и соавт. разработали электрохимическую систему для изучения [FeFe]-гидрогеназы *Clostridium pasteurianum* [170]. На вращающемся СУЭ с помощью разветвленного полимера на

основе кобальтоцена и этиленимина была проведена иммобилизация [FeFe]-гидрогеназы, которая при электрохимическом восстановлении была способна в свою очередь восстанавливать H⁺ до H₂. Образующийся водород регистрировался с помощью платинового электрода путем электрохимического окисления. Авторы полагают, что разработанный подход может использоваться для изучения каталитических механизмов других биотехнологически значимых H₂-продуцирующих металлоферментов бактерий.

Часто биэлектродные системы применяются для решения аналитических задач. В работе Chen и соавт. был разработан иммуноанализ, основанный на биэлектродной [171]. использовании системы Авторы использовали гальваническую ячейку с двумя электродами. Один из электродов (анод), погруженный в отдельную камеру, являлся иммуноэлектродом, на котором были иммобилизованы антитела, взаимодействовавшие с конъюгатом щелочной фосфатазы и антител к щелочной фосфатазе. При ферментативном отщеплении фосфатной группы от аскорбат 2-фосфата образующийся аскорбат подвергался анодному окислению, при этом поток электронов восстанавливал ионы серебра (Ag^{+}) до металлического серебра (Ag^{0}) на другом электроде (катоде), также помещенном в отдельную камеру. Образующееся металлическое серебро далее определяли методом инверсионной вольтамперометрии. Авторы полагают, что разработанный подход может использоваться для иммуноанализа различных восстановителей. Ramašauskas и соавт. разработали электрохимическую систему для мониторинга глюкозы в режиме реального времени методом потенциометрии [172]. Один из электродов системы являлся золотым и использовался для иммобилизации глюкозодегидрогеназы путем ее связывания с золотыми наночастицами посредством 4-меркаптобензойной кислоты. Второй электрод графитовым и модифицировался МУНТ системы был последующей иммобилизацией на них лакказы. При окислении D-глюкозы под действием глюкозодегидрогеназы до D-глюконо-1,5-лактона возникал поток электронов, восстанавливающих лакказу на втором электроде. Электрохимический потенциал электрода с иммобилизованной глюкозодегидрогеназой зависел от концентрации

глюкозы, при этом потенциал электрода с иммобилизованной лаказзой оставался стабильным за счет ферментативного восстановления кислорода до воды. Таким образом, аналитическим сигналом служила разность потенциалов между двумя электродами. Авторы показали специфичность разработанной системы по отношению к глюкозе, что позволяет использовать ее для количественного определения глюкозы в биологических жидкостях. Chansaenpak и соавт. предложили электрохимическую систему для определения глюкозы, в которой использовались два электрода [173]. СУЭ, модифицированный восстановленным оксидом графена и выступающий в качестве биоанода, использовался для иммобилизации глюкозодегидрогеназы с помощью поли(толуидина-синего О). Графитовый электрод, модифицированный МУНТ и выступающий в качестве биокатода, использовался для иммобилизации глюкозооксидазы и пероксидазы хрена. Поскольку биоанод и биокатод катализируют превращение одного и того же субстрата, оба электрода находились в непосредственной близости друг от друга без использования дополнительных отграничительных мембран, что позволило снизить омические потери. На биоаноде протекала NAD⁺-зависимая реакция окисления D-глюкозы до D-глюконолактона под действием глюкозодегидрогеназы последующим реокислением NADH. На биокатоде протекала реакция восстановления пероксидазы электронами от электрода, при этом образующийся пероксид водорода в реакции окисления D-глюкозы до D-глюконолактона под действием глюкозооксидазы превращался в воду при участии пероксидазы. Ток, возникающий при реокислении NADH на биоаноде, служил аналитическим сигналом концентрации глюкозы. Диапазон концентраций глюкозы, который мог быть зафиксирован с помощью разработанной системы составляет 0,1-7,0 мМ, что указывает на то, что сенсор может использоваться для определения концентрации глюкозы как в крови, так и в моче. Достоинствами системы является возможность автономной работы без внешнего источника питания и отсутствие необходимости использования отграничительных мембран для биоанода и биокатода.

1.6. Электрохимическое определение метаболитов лекарственных соединений

При участии различных изоферментов цитохрома Р450 большое число лекарственных соединений подвергается ароматического реакциям гидроксилирования или О-деалкилирования, приводящим образованию гидроксильных групп в составе ароматического кольца (таблица П1 в приложении). К таким лекарственным соединениям относятся отдельные представители адреноадреноблокаторов, И симпатомиметиков, антиаритмических средств, Н1-антигистаминных гипогликемических антикоагулянтов, И средств, ингибиторов протонного насоса, миорелаксантов, средств для наркоза, НПВС, противоэпилептических и снотворных препаратов, средств для лечения ВИЧинфекции, статинов, тетрациклических антидепрессантов, эстрогены, гестагены, их гомологи и антагонисты [139]. Многие лекарственные соединения из этих фармакологических групп участвуют в возникновении межлекарственных взаимодействий.

Метаболиты цитохром Р450-зависимых реакций, например, содержащие гидроксифенильные группы, образующиеся в результате ароматического гидроксилирования, могут быть определены методами электрохимического анализа за счет их прямого электрохимического окисления. На рисунке 5 представлен общий механизм электрохимического окисления соединений, содержащих гидроксифенильные группы.

$$\begin{array}{c} OH \\ \hline \\ -\bar{e} \\ \hline \\ R \\ \end{array} \begin{array}{c} OH \\ \hline \\ -\bar{e} \\ \hline \\ \end{array} \begin{array}{c} OH \\ \hline \\ -\bar{e} \\ \hline \\ R \\ \end{array} \begin{array}{c} OH \\ \hline \\ -\bar{e} \\ \hline \\ -2H^{+} \\ \end{array} \begin{array}{c} OH \\ \hline \\ -2\bar{e} \\ \hline \\ -2H^{+} \\ \end{array} \begin{array}{c} OH \\ \hline \\ -2\bar{e} \\ \hline \end{array} \begin{array}{c} OH \\ \hline \\ -2\bar{e} \\ \hline \end{array} \begin{array}{c} OH \\ \hline \\ -2\bar{e} \\ \hline \end{array} \begin{array}{c} OH \\ \hline \\ -2H^{+} \\ \hline \end{array} \begin{array}{c} OH \\ \hline \\ -2H^{+} \\ \hline \end{array}$$

Рисунок 5. Общий механизм электрохимического окисления соединений, содержащих гидроксифенильные группы [174].

Электрохимический потенциал окисления ароматического кольца меньше, чем в случае окисления алифатических углеводородов, вследствие резонансной стабилизации ароматических катион-радикалов [175]. Гидроксильная группа в составе бензольного кольца облегчает процесс электрохимического окисления продуктов ферментативных реакций, поскольку электронодонорные группы, такие как гидроксильные и аминогруппы, активируют ароматическое кольцо, и электрохимический потенциал окисления таких соединений имеет меньшие значения. Гидроксилирование ароматических гетероциклов составе лекарственных препаратов также может влиять на электрохимические свойства таких соединений. Различия в электрохимических свойствах субстратов цитохрома Р450 и продуктов их биотрансформации могут использоваться для идентификации и количественного определения этих соединений, при этом в идеале не требуются дополнительные стадии их разделения при условии неперекрывающихся потенциалов электроокисления.

1.6.1. Электрохимическое определение продуктов реакций ароматического гидроксилирования

Как было сказано выше, метаболиты цитохром P450-зависимых реакций, образующиеся в результате ароматического гидроксилирования, подвергаются прямому электрохимическому окислению при меньших значениях потенциалов, чем в случае окисления соответствующих субстратов.

В ряде работ были исследованы электрохимические свойства субстратов и продуктов их конверсии, осуществляемой при участии цитохромов Р450. Одним из путей метаболизма тетрациклического антидепрессанта миансерина является реакция ароматического гидроксилирования с образованием 8-гидроксимиансерина, осуществляемая при участии СҮР2D6, а также при участии СҮР1A2, СҮР2B6, СҮР3A4 [176, 177] (рисунок 6).

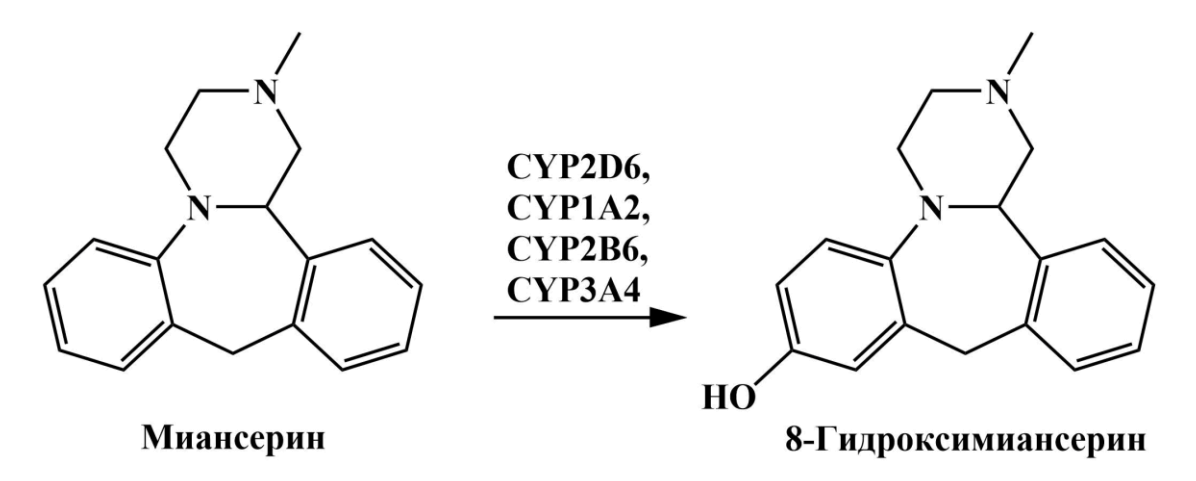


Рисунок 6. Реакция метаболизма миансерина при участии СҮР2D6, СҮР1A2, СҮР2B6 и СҮР3A4.

Миансерин способен подвергаться электрохимическому окислению при потенциале около 1,05 В (отн. Ag/AgCl), при этом показано, что 8-гидроксимиансерин подвергается электрохимическому окислению при меньших потенциалах, по сравнению с миансерином [178]. Несмотря на то, что авторы используют электрохимические свойства аналитов для их детекции в плазме крови после хроматографического разделения, различия в электрохимических свойствах могут быть также использованы для совместного определения миансерина и 8-гидроксимиансерина *in vitro* без дополнительных стадий разделения.

Трициклический антидепрессант имипрамин при участии СҮР2D6 подвергается ароматическому гидроксилированию с образованием 2-гидроксиимипрамина [179] (рисунок 7). Кроме того, N-деметилирование имипрамина при участии СҮР1A2, СҮР2С19 и СҮР3A4 приводит к образованию дезипрамина, который подвергается ароматическому гидроксилированию при участии СҮР2D6 до соответствующего 2-гидрокси производного [179].

Рисунок 7. Реакции метаболизма имипрамина при участии СҮР2С19, СҮР1А2, СҮР3А4 и СҮР2D6. Адаптировано из работы Nguyen и соавт. [179].

При изучении вольтамперных кривых имипрамина, дезипрамина и их соответствующих 2-гидроксиметаболитов с помощью СУЭ Коуата и соавт. отметили, что 2-гидрокси производные имеют меньшие потенциалы окисления, по сравнению с имипрамином и дезипрамином [180]. Как и в случае с миансерином, хроматографию предлагают проводить авторы для последующего электрохимического определения имипрамина, дезипрамина ИХ соответствующих 2-гидроксиметаболитов в плазме крови и моче, однако различия в электрохимических свойствах этих лекарственных соединений и их метаболитов могут быть использованы для совместного количественного определения без дополнительных стадий разделения. Поскольку имипрамин и дезипрамин могут быть использованы в качестве маркерных субстратов СҮР2D6 при проведении ингибиторного анализа [181, 182], определение их 2-гидроксиметаболитов электрохимическими методами, основанными на различии электрохимических свойств субстратов и продуктов реакции, представляет интерес.

НПВС диклофенак подвергается преимущественно реакциям 4'-гидроксилирования при участии СҮР2С9 и 5-гидроксилирования при участии СҮР3А4 [183] (рисунок 8).

Рисунок 8. Реакции метаболизма диклофенака при участии СҮР2С9 и СҮР3А4.

Диклофенак имеет пик электрохимического окисления в области 0,5-0,7 В (отн. Ag/AgCl) [184-186]. Для 4'-гидроксидиклофенака методом циклической вольтамперометрии Madsen и соавт. регистрировали пик окисления при 0,236 В

(отн. Ag/AgCl) и пик восстановления при -0,131 В (отн. Ag/AgCl) в 0,1 М фосфатном буфере (рН 7,4), при аналогичных условиях пики для 5-гидроксидиклофенака были зарегистрированы при 0,167 В (отн. Ag/AgCl) и -0,439 В (отн. Ag/AgCl), соответственно [187]. Поскольку диклофенак является маркерным субстратом СҮР2С9, он наиболее часто используется для определения активности этого фермента [188, 189, 190], и, таким образом, электрохимические методы определения диклофенака и его метаболитов могут использоваться в фармакологических исследованиях при скрининге ингибирующей активности лекарственных соединений по отношению к СҮР2С9.

НПВС, принадлежащие к группе оксикамов, такие как лорноксикам, пироксикам, подвергаются ароматическому гидроксилированию по пиридиновому радикалу под действием СҮР2С9 с образованием соответствующих 5'-гидрокси производных [191, 192] (рисунок 9).

$$CYP2C9$$
 — $CYP2C9$ — $CYP2C9$

Рисунок 9. Реакции метаболизма пироксикама и лорноксикама при участии CYP2C9.

Suwa и соавт., исследуя электрохимические свойства лорноксикама и его 5'гидроксиметаболита методом гидродинамической вольтамперометрии, показали различие в электрохимических свойствах этих соединений, обусловленное наличием гидроксильной группы у 5'-гидроксилорноксикама [193]. Различия в электрохимических свойствах оксикамов и их 5'-гидроксилированных производных позволяют сделать предположение, что активность СҮР2С9 может исследоваться путем количественного электрохимического определения 5'-гидроксиметаболитов оксикамов. Однако при выборе данного субстрата для оценки активности СҮР2С9 стоит учитывать, что пироксикам проявляет ингибирующие свойства по отношению к ферменту [192].

Нейролептик хлорпромазин подвергается ароматическому гидроксилированию при участии CYP2D6 по 7 положению фенотиазинового фрагмента молекулы [194] (рисунок 10).

Рисунок 10. Реакция метаболизма хлорпромазина при участии СҮР2D6.

Электрохимические свойства хлорпромазина, 7-гидроксихлорпромазина, а также 7,8-дигидроксихлорпромазина были исследованы в работе McCreery с помощью угольно-пастового электрода в цитрат-фосфатном буфере [195]. Автор показал различия в электрохимическом окислении хлорпромазина и его производных предположил вероятные механизмы электрохимического окисления 7-гидроксихлорпромазина И 7,8-дигидроксихлорпромазина. В последующих исследованиях механизма электрохимического окисления 7гидроксихлорпромазина Neptune и McCreery выявили образование различных интермедиатов, свидетельствующих о протекании реакции через формирование

имина, который может подвергаться как гидролизу, так и гидроксилированию [196]. Можно предположить, что количественное определение 7-гидроксихлорпромазина, основанное на отличии его электрохимических свойств от электрохимических свойств хлорпромазина, обусловленном наличием гидроксильной группы в 7 положении, может быть использовано для оценки влияния других лекарственных препаратов на активность СҮР2D6.

Препарат пропранолол, принадлежащий к группе β-блокаторов, метаболизируется под действием CYP2D6 до 4'- или 5'-гидроксипропранолола [197] (рисунок 11).

Рисунок 11. Реакции метаболизма пропранолола при участии СҮР2D6.

5'-Гидроксипропранолол

Электрохимические свойства пропранолола и 4'-гидроксипропранолола были исследованы с помощью СУЭ в работе Baranowska и Koper [198]. В буфере Бриттона-Робинсона при рН 3 авторы зарегистрировали на циклической вольтамперограмме окислительный пик пропранолола в области 1,1-1,4 В (отн. Ag/AgCl), предполагая, что электрохимический процесс связан с окислением вторичной спиртовой группы, сопряженным с отщеплением двух электронов и двух протонов. Однако в других работах также предполагается, что электрохимический процесс для пропранолола может быть связан и с окислением

вторичной аминогруппы [199-201]. Для 4'-гидроксипропранолола первый пик находился при 0,114 В, а на катодной ветви восстановительный пик при 0,048 В. В электрохимическом процессе для 4'гидроксипропранолола участвует гидроксифенильная группа, обратимо окисляющаяся до хинонового производного. Второй пик окисления для 4'гидроксипропранолола при данных условиях был зарегистрирован при 0,4 В. Основываясь на различиях в электрохимических свойствах, авторы также продемонстрировали возможность одновременного электрохимического определения пропранолола, 4'-гидроксипропранолола и образующегося в организме в результате II фазы метаболизма 4'-гидроксипропранолола сульфата. Одновременное определение пропранолола и его 4'-гидроксиметаболита может быть использовано при оценке активности CYP2D6 в модельных системах.

1.6.2. Электрохимическое определение продуктов реакций Одеалкилирования

Реакции О-деалкилирования ароматических субстратов, катализируемые цитохромами Р450, приводят к образованию соответствующих гидроксифенильных производных и альдегидов.

Анальгетик и антипиретик фенацетин подвергается реакции Одеалкилирования при участии CYP1A2 с образованием О-деэтилфенацентина (ацетаминофена или парацетамола) [202] (рисунок 12).

Рисунок 12. Реакция метаболизма фенацетина при участии СҮР1А2.

По данным Yin и соавт., О-деэтилфенацентин окисляется при меньших потенциалах (пик окисления 0,42 В (отн. НКЭ)), по сравнению с фенацетином (пик окисления 0,848 В), а также авторы показали возможность совместного определения этих соединений благодаря различиям в их электрохимических свойствах [203]. Эта работа позволяет предположить, что оценка активности СҮР1А2 по отношению к фенацетину может проводиться путем количественного электрохимического определения продукта О-деалкилирования фенацетина по его характеристическому пику окисления.

СҮР2D6 принадлежит важная роль в метаболизме опиоидов [204]. Опиодный наркотический анальгетик кодеин подвергается реакции О-деметилирования с образованием морфина, содержащего гидроксифенильную группу в 3 положении [205] (рисунок 13).

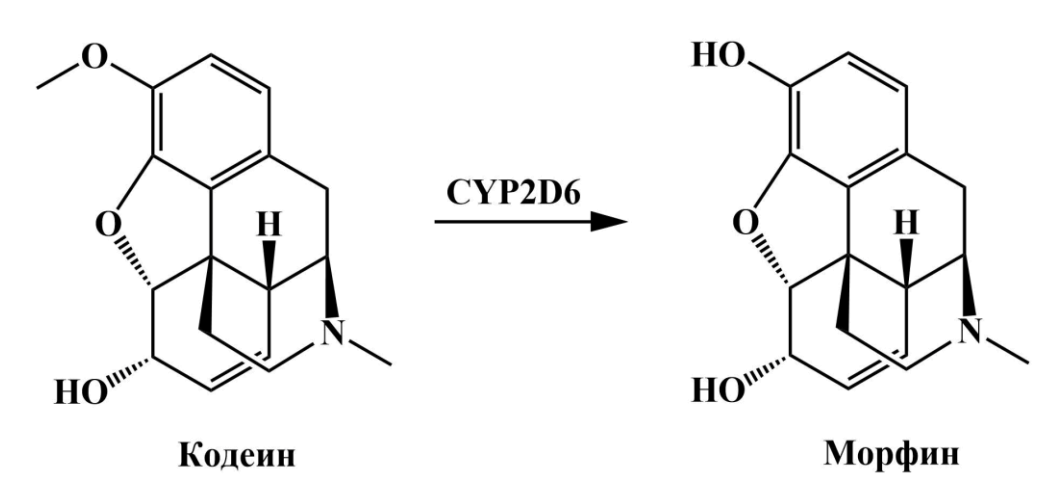


Рисунок 13. Реакция метаболизма кодеина при участии СҮР2D6.

В работе Wester и соавт. показано, что в отличие от кодеина, морфин имеет четкий пик окисления в области 0,4 В (отн. Ag/AgCl), обусловленный наличием гидроксильной группы в 3 положении [206].

Трамадол подвергается CYP2D6-зависимому О-деметилированию с образованием О-десметилтрамадола [207] (рисунок 14).

Рисунок 14. Реакция метаболизма трамадола при участии СҮР2D6.

Возможность одновременного электрохимического определения трамадола и О-десметилтрамадола была показана в работе Mynttinen и соавт. [208]. Используя покрытые нафионом электроды из тетраэдрического аморфного углерода, авторы показали, что трамадол и О-десметилтрамадол подвергаются электрохимическому окислению при различных потенциалах — 1,5 В и 0,95 В (отн. Ag/AgCl), соответственно. Различия в потенциалах окисления могут быть объяснены наличием гидроксильной группы у О-десметилтрамадола.

Таким образом, О-деметилазная активность CYP2D6 может оцениваться путем электрохимического определения морфина, в случае использования в качестве субстрата кодеина, или О-десметилтрамадола при использовании в качестве субстрата трамадола.

Из вышеперечисленных работ следует, что электрохимические свойства ряда лекарственных соединений и их метаболитов существенно различаются, что может быть использовано для количественного электрохимического определения последних как в биологических образцах (кровь или моча), так и в цитохром Р450-содержащих системах с целью оценки фармакокинетики лекарственных соединений и прогноза межлекарственных взаимодействий. При этом, в случае использования системы, в которой цитохром Р450 находится в иммобилизованном состоянии, не требуются дополнительные стадии очистки инкубационной смеси от белковых компонентов. Таким условиям удовлетворяют электрохимические

системы для определения активности цитохрома Р450, в которых фермент находится в иммобилизованном на электроде состоянии.

В заключении данной главы можно отметить, что на сегодняшний день разработано большое количество электрохимических систем для определения активности иммобилизованных на электроде как рекомбинантных так и мембраносвязанных цитохромов Р450. Также достигнуты успехи в разработке методик химической модификации электродов для иммобилизации цитохромов Р450, позволяющих сохранить каталитическую активность ферментов. Проведены фундаментальные исследования, проливающие свет на механизмы цитохром Р450зависимых электрокаталитических реакций, протекающих в электрохимических системах. Электрохимические системы удобны для практического использования при решении задач фармакологии, связанных с определением активности цитохромов Р450. Определение кинетических параметров цитохромов Р450 в путем электрохимической осуществляться системе может регистрации каталитического тока, возникающего при внесении в систему субстрата, однако учитывая особенности каталитического цикла этих ферментов, для точного кинетических параметров необходимым является мониторинг образования реакций. Золотым продуктов стандартом количественного определения метаболитов цитохром Р450-зависимых реакций, протекающих как в электрохимических, так и в альтернативных системах, является хромато-массспектрометрический анализ, однако его применение ограничивает исследования. Актуальной разработка высокопроизводительные является подходов идентификации и количественного определения метаболитов цитохром Р450-зависимых реакций, основанных на применении электрохимических методов. Метаболиты с гидроксильными группами в ароматическом кольце, образующиеся Р450-зависимых реакций В результате цитохром ароматического гидроксилирования, деалкилирования ароматических соединений, ароматизации

стероидов, могут подвергаться прямому электрохимическому окислению, что может быть использовано для их количественного определения. При условии неперекрывающихся потенциалов электрохимического окисления не требуются дополнительные стадии разделения субстратов, продуктов и ингибиторов в случае проведения ингибиторного анализа. Совмещение электрохимических систем на основе иммобилизованных на электроде клинически значимых рекомбинантных или мембраносвязанных цитохромов Р450 с электрохимическим количественным определением образующихся метаболитов лекарственных соединений с помощью измерительных электродов является весьма перспективным для практического использования при решении задач фармакокинетики, таких как ингибиторный анализ с целью выявления возможных межлекарственных взаимодействий. Повышение чувствительности электрохимического определения метаболитов с помощью современных материалов для модификации электродов, в том числе на основе углерода, а также создание устройств, позволяющих в автоматическом режиме проводить регистрацию образующихся продуктов, является перспективой дальнейшего развития электрохимических методов определения активности цитохромов Р450.

ГЛАВА 2. МАТЕРИАЛЫ И МЕТОДЫ

2.1. Реактивы

Андростендион (99,6%), (S)-варфарин ($\geq 97\%$), гидрокортизон ($\geq 98\%$), дидодецилдиметиламмония бромид (98%), диклофенака натриевая соль (≥ 98%), калий фосфорнокислый однозамещенный (≥ 99%), калий фосфорнокислый двузамещенный 3-водный ($\geq 99\%$), кетоконазол ($\geq 99\%$), метанол (99,9%), (S)напроксен ($\geq 98\%$), (S)-О-десметилнапроксен ($\geq 98\%$), сульфафеназол ($\geq 98\%$), фенитоин (\geq 99%), хлорзоксазон (\geq 98%), экземестан (>98%), эстрон (>99%), β эстрадиол (98%), 4'-гидроксидиклофенак (\geq 98,5%), 4-гидроксифенитоин (98%), 6- $(\geq 98\%),$ 6β-гидроксикортизол $(\geq 98\%)$, гидроксихлорзоксазон гидроксиварфарин (≥97%) были получены от Sigma-Aldrich, США. Гидроксид калия (≥ 99%) был получен от «Компонент-реактив» (Россия). Дихлорметан (химически чистый, стабилизированный 0,08% масс. этанола) и петролейный эфир (температура кипения 50-70°C) были получены от ЭКОС-1, Россия. Натрий хлористый (99,5%), тестостерон (99%) и хлороформ (99%) были получены от Acros Organics, США. Серная кислота (95-98%) была получена от Fisher Scientific, Англия. Этилацетат (для ВЭЖХ анализа) был получен от Scharlau, Испания. В работе был использован 96% этанол. Водная дисперсия 0,2% ОУНТ, диаметр 1,6 ± 0,4 нм, длина > 5 мкм, площадь поверхности 1000 м²/г, стабилизированная карбоксиметилцеллюлозой, была получена от OCSIAL (https://ocsial.com).

Флуконазол был выделен из препарата «Флуконазол Тева» (Теva Pharmaceutical Works, Венгрия) путем флэш хроматографии с последующей тонкослойной хроматографией. Содержимое капсулы было растворено в этаноле и нанесено на стеклянную колонку, заполненную силикагелем (0,035-0,070 мм, Acros Organics). В качестве элюента была использована смесь этилацетат: этанол (7:3 по объему). Элюция флюконазола с колонки контролировалась с помощью тонкослойной хроматографии. В качестве неподвижной фазы использовались алюминиевые пластины с нанесенным на их поверхность силикагелем с

флуоресцентным индикатором F254 (TLC Silica gel 60 F254, Merck), а в качестве подвижной фазы использовалась смесь этилацетат:этанол (7:3 по объему). Полученные в результате флэш хроматографии фракции, содержащие флуконазол, были объединены и упарены под вакуумом. Полученный в результате упаривания осадок был растворен в 100 мкл этанола и полученный раствор был хроматографирован тонкослойной хроматографией. После хроматографического разделения пятно, соответствующее флуконазолу, изолировалось и элюировалось с пластины 10 мл этанола. Частицы силикагеля отделялись фильтрацией под вакуумом. Полученный фильтрат упаривался и полученный сухой остаток флуконазола переносился в виалу. Полученный флуконазол был охарактеризован спектрофотометрически по пику поглощения в диапазоне 200-300 нм [209].

2.2. Препараты ферментов

В работе использовались рекомбинантный СҮР19А1 человека (45 мкМ в 50 мМ калий-фосфатном буфере (рН 7,4), содержащем 20% (по объему) глицерин, 300 мМ NaCl и 0,2% (по объему) CHAPS), полученный как описано ранее [210], рекомбинантный СҮР2С9 человека (255 мкМ или 263 мкМ в 600 мМ калийфосфатном буфере (рН 7,4), содержащем 20% (по объему) глицерин, 5 мМ βмеркаптоэтанол и 0,3% (по объему) СНАРЅ), полученный как описано ранее [211], рекомбинантный СҮР2Е1 человека (72 мкМ в 50 мМ калий-фосфатном буфере (рН 7,4), содержащем 20% (по объему) глицерин, 400 мМ NaCl и 1 мМ ЭДТА), полученный как описано ранее [212], рекомбинантный СҮРЗА4 человека (131 мкМ в 550 мМ калий-фосфатном буфере (рН 7,2), содержащем 20% (по объему) глицерин, 1 мМ дитиотреитол и 0,2% (по объему) СНАРЅ), полученный как описано ранее [213], рекомбинантный СҮР2С19 человека (143,5 мкМ в 600 мМ калий-фосфатном буфере (рН 7,4), содержащем 20% (по объему) глицерин и 0,3% (по объему) СНАРЅ), полученный как описано ранее [214], рекомбинантный микросомальный суt b_5 человека (158 мкМ в 400 мМ калий-фосфатном буфере (рН 7,4), содержащем 20% (по объему) глицерин и 0,2% (по объему) холат натрия),

полученный как описано ранее [215], рекомбинантная СРR крысы (165,9 мкМ в 50 мМ Трис-НС1 буфере (рН 7,5), содержащем 20% (по объему) глицерин, 0,5 мМ ЭДТА и 0,1 мМ дитиотреитол), полученная как описано ранее [216].

Концентрации соответствующих цитохромов Р450 в препаратах были определены спектрофотометрически по образованию комплекса восстановленной формы иона железа гема ферментов с монооксидом углерода, используя коэффициент поглощения $\varepsilon_{450-490} = 91$ мМ⁻¹ см⁻¹ [217]. Концентрация сут b_5 спектрофотометрически образованию определялась ПО комплекса восстановленной формы иона железа гема с монооксидом углерода, используя коэффициент поглощения $\epsilon_{429\text{-}409} = 185 \text{ мM}^{-1} \text{ см}^{-1}$ [217]. Для каждого изофермента цитохрома Р450 были охарактеризованы спектральные свойства и их изменения при взаимодействии соответствующих изоферментов с их специфическими лигандами. Все ферменты были получены в Институте биоорганической химии НАН Беларуси и предоставлены для исследования. Чистота всех используемых в работе белков составляла не менее 95%, по данным электрофореза в полиакриламидном геле в присутствии додецилсульфата натрия. Бактосомы с концентрацией белка 17,5 мг/мл, содержащие 4,3 мкМ СҮР2Е1 и СРК, коэкспрессированные в *Escherichia coli* и обогащенные 21,4 мкМ суt b_5 человека, были получены от Сурех, Великобритания. Цитохром с редуктазная активность бактосом 673 нмоль/мин/мг белка. Максимальная скорость реакции ($V_{\rm max}$) 6гидроксилирования хлорзоксазона -9.3 мин⁻¹, $K_{\rm M}-75$ мкМ, в соответствии с информационным листом, поставляемым с бактосомами. Каталаза (2000-5000 Ед/мг белка) была получена от Sigma-Aldrich, США.

2.3. Электроды

В работе использовались следующие типы трехконтактных печатных электродов:

- 1) с графитовыми рабочим (диаметр 2 мм) и вспомогательным электродами и хлоридсеребряным (Ag/AgCl) электродом сравнения, полученные от «КолорЭлектроникс», Россия;
- 2) с графитовыми рабочим (диаметр 4 мм) и вспомогательным электродами и серебряным (Ag) электродом сравнения, полученные от Metrohm DropSens, Испания (каталожный номер 110);
- 3) с графитовыми рабочим (диаметр 4 мм) и вспомогательным электродами и Ag/AgCl электродом сравнения, полученные от Poten, Китай.

2.4. Оборудование

Электрохимические измерения проводились c помощью потенциостатов/гальваностатов Autolab PGSTAT 12 Autolab и µAutolab Type III (Metrohm Autolab, Нидреланды), снабженных программным обеспечением GPES (версия 4.9.7), потенциостата/гальваностата µStat 400 (Metrohm DropSens, Швейцария), снабженного программным обеспечением **DropView** 8400, потенциостата EmStat3+ (PalmSens, Нидерланды), снабженного программным обеспечением PSTrace (версия 5.8).

Спектры флуоресценции регистрировались с помощью спектрофлуориметра Cary Eclipse (Agilent Technologies, США), снабженного программным обеспечением Cary Eclipse (версия 1.1(133)).

Спектры поглощения регистрировались с помощью спектрофотометров Cary 100 Scan UV-Vis (Agilent Technologies, США), снабженного программным обеспечением Cary WinUV или UV-1900 (Shimadzu, Япония) с программным обеспечением UVProbe (версия 2.70).

Навески химических веществ взвешивались с помощью аналитических весов OHAUS Pioneer PA214C (США) с дискретностью измерения 0,0001 г.

Измерение рН буферных растворов проводилось с помощью рН-метра/иономера S220 Mettler Toledo, США с дискретностью измерения 0,01.

2.5. Методики исследования

2.5.1. Химическая модификация электродов и иммобилизация цитохромов P450, cyt b_5 , CPR или бактосом

Поверхности рабочих электродов были покрыты 1 мкл (в случае использования электродов «КолорЭлектроникс»), 2 мкл (в случае использования электродов Metrohm DropSens) или 3 мкл (в случае использования электродов Poten) 100 мМ раствора ДДАБ в хлороформе. Электроды оставляли при комнатной температуре на 10 мин для испарения хлороформа. Далее, на модифицированную поверхность рабочих электродов «КолорЭлектроникс» наносили по 1 мкл 255 мкМ или 263 мкМ СҮР2С9 или 131 мкМ СҮР3А4 или 45 мкМ СҮР19А1 или на модифицированную поверхность электродов Metrohm DropSens по 2 мкл 255 мкМ или 263 мкМ СҮР2С9 или по 1 мкл 143,5 мкМ СҮР2С19 или на модифицированную поверхность электродов Poten по 0,5 мкл 50 мкМ СҮР2Е1 или 1,5 мкл 158 мкМ сут b_5 или 1,5 мкл 165,9 мкМ СРR или 1,5 мкл смеси, приготовленной из 0,46 мкл 72 мкМ СҮР2Е1 и 1,04 мкл 158 мкМ сут b_5 , или 1,5 мкл бактосом, компонентный состав которых указан выше.

Модифицированные электроды с иммобилизованными белками или бактосомами оставляли на 10 мин при комнатной температуре в чашке Петри и далее помещали в холодильник на +4°C до использования (не позднее следующего дня).

2.5.2. Исследование электрохимических свойств цитохромов P450, cyt b_5 , CPR и бактосом в анаэробных условиях

Электрохимические параметры иммобилизованных на поверхности химически модифицированных электродов белков или бактосом определяли в анаэробных условиях. Электроды помещали в проточную пластиковую ячейку ("Русенс", Россия) с входным и выходным каналами. Ячейка заполнялась 1 мл 100

мМ калий-фосфатного буфера (рН 7,4), содержащего 50 мМ NaCl, и герметично закрывалась. Через входной канал подавался аргон (99,993%, получен от Линде Газ Рус (Россия)) в течение примерно 30 мин. Выходной канал был соединен с силиконовой трубкой, другой конец которой опущен в колбу с дистиллированной водой для отвода из ячейки выходящего газа. Насыщение буфера аргоном контролировалось методом циклической вольтамперометрии. О достаточной насыщенности буфера аргоном свидетельствовало наличие относительно восстановления симметричных ПИКОВ И окисления иона железа гема иммобилизованных цитохромов P450. Циклические вольтамперограммы регистрировались при скоростях сканирования от 10 до 100 мВ/с в диапазоне от 0 до -0,7 В (отн. Ag/AgCl) для СҮР19А1, от 0 до -0,65 В (отн. Ag/AgCl или отн. Ag) для CYP2C9, от 0,1 до -0,7 B (отн. Ag) для CYP2C19, от 0,1 до -0,75 B (отн. Ag/AgCl) для CYP2E1-содержащих бактосом, CYP2E1, суt b_5 и CPR и от 0 до -0,6 В (отн. Ag/AgCl) для CYP3A4.

Значения $E_{\rm m}$ для исследуемых белков и бактосом были рассчитаны по уравнению 3.

Количество электроактивного цитохрома Р450 на поверхности электрода было рассчитано в соответствии с уравнением 10.

Значения гетерогенных констант скорости переноса электронов между электродом и ионом железа гема рассчитывались по методу Лавирона [218].

Для исследования электрохимических свойств бактосом и CPR в анаэробных условиях также использовался метод дифференциально-импульсной вольтамперометрии. Дифференциально-импульсные вольтамперограммы регистрировались в диапазоне потенциалов от -0,75 до 0,1 В (отн. Ag/AgCl) при амплитуде модуляции 20 мВ, шаге потенциала 5 мВ, времени модуляции 50 мс и времени интервала 500 мс.

Электрохимические исследования в анаэробных условиях проводили при комнатной температуре (23 ± 2 °C).

2.5.3. Электрохимическое определение субстратов и метаболитов цитохром Р450-зависимых реакций

2.5.3.1. Электрохимическое определение андростендиона, тестостерона, эстрона и β-эстрадиола

Исследование электрохимических свойств андростендиона, тестостерона, эстрона и β-эстрадиола проводилось методом циклической вольтамперометрии. Для этого поверхность немодифицированного печатного электрода («КолорЭлектроникс») наносили 60 мкл 100 мМ калий-фосфатного буфера (рН 7,4), содержащего 50 мМ NaCl, 1% (по объему) метанол и исследуемое соединение (андростендион, тестостерон, эстрон и β-эстрадиол) в соответствующих концентрациях, и регистрировали циклические вольтамперограммы в диапазоне потенциалов от 0 до 1,2 В (отн. Ag/AgCl) при скорости сканирования 100 мВ/с. Количественное определение эстрона или β-эстрадиола проводилось методом квадратно-волновой вольтамперометрии c помощью электродов «КолорЭлектроникс». Для построения калибровочных зависимостей тока пика окисления при 0.497 ± 0.014 B (отн. Ag/AgCl) от концентрации эстрона и тока пика окисления в области $0,483 \pm 0,017$ В (отн. Ag/AgCl) от концентрации β -эстрадиола 60 мкл 100 мМ калий-фосфатного буфера (рН 7,4), содержащего 50 мМ NaCl, 1% (по объему) метанол, эстрон или β-эстрадиол в диапазоне концентраций 0,05-2,5 мкМ, наносили на поверхность немодифицированного печатного электрода в горизонтальном режиме, после чего регистрировались квадратно-волновые вольтамперограммы в диапазоне от 0 до 1 В (отн. Ag/AgCl) при частоте 25 Гц, амплитуде 40 мВ и шаге потенциала 5 мВ.

2.5.3.2. Электрохимическое опредедение (S)-варфарина и (S)-7-гидроксиварфарина

(S)-7-Исследование электрохимических свойств (S)-варфарина гидроксиварфарина проводилось методом циклической вольтамперометрии. Для немодифицированного ЭТОГО поверхность печатного электрода на («КолорЭлектроникс») наносили 60 мкл 100 мМ калий-фосфатного буфера (рН 7,4), содержащего 50 мМ NaCl, 1% (по объему) метанол и исследуемое соединение соединений ((S)-варфарин (S)-7-гидроксиварфарин) или смесь И концентрациях, соответствующих регистрировали циклические И вольтамперограммы в диапазоне потенциалов от 0 до 1,2 В (отн. Ag/AgCl) при 100 MB/c. Количественное сканирования определение гидроксиварфарина проводилось методом квадратно-волновой вольтамперометрии с помощью электродов «КолорЭлектроникс». Для построения калибровочной зависимости тока пика окисления в области 0,590 ± 0,020 В (отн. Ag/AgCl) от концентрации (S)-7-гидроксиварфарина 60 мкл 100 мМ калийфосфатного буфера (рН 7,4), содержащего 50 мМ NaCl, 1% (по объему) метанол и (S)-7-гидроксиварфарин в диапазоне концентраций 0-1 мкМ, наносили на поверхность немодифицированного печатного электрода в горизонтальном режиме, после чего регистрировались квадратно-волновые вольтамперограммы в диапазоне от 0,4 до 0,8 B (отн. Ag/AgCl) при частоте 25 Гц, амплитуде 40 мВ и шаге потенциала 5 мВ.

2.5.3.3. Электрохимическое определение диклофенака и 4'гидроксидиклофенака

Исследование электрохимических свойств диклофенака и 4'-гидроксидиклофенака проводилось методом циклической вольтамперометрии. Для этого на поверхность немодифицированного печатного электрода («Колор'Электроникс») наносили 60 мкл 100 мМ калий-фосфатного буфера (рН

7,4), содержащего 50 мМ NaCl, 1% (по объему) метанол и исследуемое соединение или смесь соединений (диклофенак и 4'-гидроксидиклофенак) в соответствующих концентрациях, и регистрировали циклические вольтамперограммы в диапазоне потенциалов от -0,7 до 1,2 В (отн. Ag/AgCl) при скорости сканирования 100 мВ/с. Количественное определение 4'-гидроксидиклофенака проводилось методом квадратно-волновой вольтамперометрии cпомощью электродов «КолорЭлектроникс», модифицированных 1 МКЛ разведенной 10 дистиллированной водой дисперсии ОУНТ. Для построения калибровочной зависимости тока пика окисления в области 0.110 ± 0.010 B (отн. Ag/AgCl) от концентрации 4'-гидроксидиклофенака 60 мкл 100 мМ калий-фосфатного буфера (pH 7,4), содержащего 50 мМ NaCl, 1% (по объему) метанол и 4'гидроксидиклофенак в диапазоне концентраций 0-1 мкМ, наносили на поверхность модифицированного печатного электрода в горизонтальном режиме, после чего регистрировались квадратно-волновые вольтамперограммы в диапазоне от 0 до 1,2 В (отн. Ag/AgCl) при частоте 25 Гц, амплитуде 40 мВ и шаге потенциала 5 мВ.

2.5.3.4. Электрохимическое определение (S)-напроксена и (S)-Одесметилнапроксена

свойств (S)-O-Исследование электрохимических (S)-напроксена десметилнапроксена проводилось методом циклической вольтамперометрии. Для этого на поверхность немодифицированных электродов (Metrohm DropSens) наносили 60 мкл 100 мМ калий-фосфатного буфера (рН 7,4), содержащего 50 мМ NaCl, 1% (по объему) метанол и исследуемое соединение или смесь соединений ((S)-напроксен и (S)-О-десметилнапроксен) в соответствующих концентрациях, и регистрировали циклические вольтамперограммы в диапазоне потенциалов от 0 до 1,2 В (отн. Ад) при скорости сканирования 100 мВ/с. Количественное определение (*S*)-О-десметилнапроксена проводилось квадратно-волновой методом вольтамперометрии помощью электродов DropSens. Для \mathbf{c} построения калибровочной зависимости тока пика окисления в области 0.4 ± 0.02 В (отн. Ag)

от концентрации (*S*)-О-десметилнапроксена 60 мкл 100 мМ калий-фосфатного буфера (рН 7,4), содержащего 50 мМ NaCl, 1% (по объему) метанол и (*S*)-О-десметилнапроксен в диапазоне концентраций 0-1 мкМ, наносили на поверхность немодифицированного печатного электрода в горизонтальном режиме, после чего регистрировались квадратно-волновые вольтамперограммы в диапазоне от 0 до 1,2 В (отн. Аg) при частоте 25 Гц, амплитуде 40 мВ и шаге потенциала 5 мВ.

2.5.3.5. Электрохимическое определение фенитоина и 4-гидроксифенитоина

Исследование свойств фенитоина 4электрохимических И гидроксифенитоина проводилось методом циклической вольтамперометрии. Для этого на поверхность немодифицированных электродов (Metrohm DropSens) наносили 60 мкл 100 мМ калий-фосфатного буфера (рН 7,4), содержащего 50 мМ NaCl, 1% (по объему) метанол и исследуемое соединение или смесь соединений (фенитоин и 4-гидроксифенитоин) в соответствующих концентрациях, и регистрировали циклические вольтамперограммы в диапазоне потенциалов от 0 до 1,2 В (отн. Ад) при скорости сканирования 100 мВ/с. Количественное определение 4-гидроксифенитоина проводилось методом квадратно-волновой DropSens. вольтамперометрии c помощью электродов Для построения калибровочной зависимости тока пика окисления в области $0,602 \pm 0,018$ В (отн. Ад) от концентрации 4-гидроксифенитоина 60 мкл 100 мМ калий-фосфатного буфера (рН 7,4), содержащего 50 мМ NaCl, 1% (по объему) метанол и 4гидроксифенитоин в диапазоне концентраций 0-1 мкМ, наносили на поверхность немодифицированного печатного электрода в горизонтальном режиме, после чего регистрировались квадратно-волновые вольтамперограммы в диапазоне от 0,3 до 0,9 В (отн. Ад) при частоте 25 Гц, амплитуде 40 мВ и шаге потенциала 5 мВ.

2.5.3.6. Электрохимическое определение хлорзоксазона и 6-гидроксихлорзоксазона

6-Исследование свойств хлорзоксазона электрохимических гидроксихлорзоксазона проводилось методом циклической вольтамперометрии. Для немодифицированных ЭТОГО на поверхность электродов («КолорЭлектроникс») наносили 60 мкл 100 мМ калий-фосфатного буфера (рН 7,4), содержащего 50 мМ NaCl и исследуемое соединение или смесь соединений (хлорзоксазон и 6-гидроксихлорзоксазон) в соответствующих концентрациях, и регистрировали циклические вольтамперограммы в диапазоне потенциалов от 0 до 1,2 В (отн. Ag/AgCl) при скорости сканирования 100 мВ/с. Для приготовления растворов хлорзоксазона И б-гидроксихлорзоксазона соответствующих соединений растворялись в 60 мМ гидроксиде калия, приготовленного непосредственно перед экспериментами. Количественное определение 6-гидроксихлорзоксазона проводилось методом квадратно-волновой вольтамперометрии cпомощью электродов («КолорЭлектроникс»). построения калибровочной зависимости тока пика окисления в области 0,203 ± 0,022 В (отн. Ag/AgCl) от концентрации 6-гидроксихлорзоксазона 60 мкл 100 мМ калий-фосфатного буфера (pH 7,4),содержащего 50 мМ NaCl и гидроксихлорзоксазон в диапазоне концентраций 0-1 мкМ, наносили поверхность немодифицированного печатного электрода в горизонтальном режиме, после чего регистрировались квадратно-волновые вольтамперограммы в диапазоне от 0 до 1,2 В (отн. Ag/AgCl) при частоте 25 Гц, амплитуде 40 мВ и шаге потенциала 5 мВ.

2.5.4. Определение гидрокортизона и 6β-гидроксикортизола методом флуоресцентной спектроскопии

Флуоресцентные свойства гидрокортизона и 6β-гидроксикортизола после их обработки смесью серной кислоты и этанола исследовались методом

флуоресцентной спектроскопии. Для дериватизации гидрокортизона и 6 β -гидроксикортизола к 300 мкл 100 мМ калий-фосфатного буфера (рН 7,4), содержащего 50 мМ NaCl, 1% (по объему) метанол и исследуемое соединение или смесь соединений (гидрокортизон и 6 β -гидроксикортизол) в соответствующих концентрациях, добавляли 600 мкл смеси серной кислоты и этанола (3:1 по объему). Полученный раствор инкубировали при комнатной температуре в течение 10 мин и далее регистрировали спектр флуоресценции в диапазоне длин волн 400-600 нм в кварцевой кювете при длине волны возбуждения (λ_{ex}) 365 нм. Для построения калибровочной зависимости интенсивности пика эмиссии при длине волны (λ_{em}) 427 ± 2 нм от концентрации 6 β -гидроксикортизола к 300 мкл 100 мМ калий-фосфатного буфера (рН 7,4), содержащего 50 мМ NaCl, 1% (по объему) метанол и 6 β -гидроксикортизол в диапазоне концентраций 0-10 мкМ, добавляли 600 мкл смеси серной кислоты и этанола (3:1 по объему). Инкубация полученного раствора и регистрация спектра проводились при условиях, указанных выше.

2.5.5. Определение электрокаталитической активности цитохромов Р450

2.5.5.1. Определение электрокаталитической активности СҮР19А1

Электроды с иммобилизованным СҮР19А1 помещались в пластиковую ячейку объемом 300 мкл, заполненную 100 мМ калий-фосфатным буфером (рН 7,4), содержащим 50 мМ NaCl, 1% (по объему) метанол и различные концентрации андростендиона или тестостерона (от 0 до 20 мкМ). СҮР19А1-зависимые реакции проводились при постоянном перемешивании с помощью магнитной мешалки и при фиксированном потенциале рабочего электрода -0,6 B (отн. Ag/AgCl) в течение 10-60 мин. После проведения фермент-зависимых электрокаталитических реакций смеси отбирались и наносились мкл реакционной на поверхность немодифицированного печатного электрода («КолорЭлектроникс») последующей регистрацией квадратно-волновых вольтамперограмм при условиях, описанных в 2.5.3.1. Концентрации образующихся эстрона или β-эстрадиола

определяли по уравнению калибровочной зависимости амплитуды тока окисления этих соединений от их концентрации в стандартных растворах. Начальные скорости электрокаталитических СҮР19А1-зависимых реакций выражали как количество продукта (моль), образующегося за минуту, соотнесенное к количеству электроактивного СҮР19А1 на электроде (моль), что соответствовало размерности, равной мин⁻¹.

Для исследования механизм-активируемого ингибирования экземестаном ферментные электроды были проинкубированы в 60 мкл 100 мМ калий-фосфатного буфера (рН 7,4), содержащего 50 мМ NaCl, 1% (по объему) метанол и различные концентрации экземестана (от 0 до 10000 нМ), прогретого до 37°C, в течение 5 мин. После инкубации проводились СҮР19А1-зависимые электрокаталитические реакции по отношению к экземестану при фиксированном потенциале рабочего электрода -0,6 В (отн. Ag/AgCl) в течение 2,5-10 мин и горизонтально расположенном электроде. После проведения электрокаталитических реакций смесь удалялась с поверхности электродов, и далее электроды помещались в пластиковую ячейку объемом 300 мкл, заполненную 100 мМ калий-фосфатным буфером (рН 7,4), содержащим 50 мМ NaCl, 1% (по объему) метанол И 10 мкМ андростендион. Далее СҮР19А1-зависимые электрокаталитические реакции по отношению к андростендиону и определение начальных скоростей проводились как описано выше. Кинетические параметры, характеризующие механизм-активируемое ингибирование, – максимальное значение константы скорости инактивации (k_{inact}), время полуинактивации ($t_{1/2}$) и концентрация ингибитора, необходимая для инактивации фермента на 50% ($K_{\rm I}$), – были рассчитаны из зависимостей значений наблюдаемой константы инактивации фермента $(k_{\rm obs})$ от концентрации экземестана. Значения $k_{\rm obs}$ определялись из наклона зависимостей логарифма остаточной активности фермента (%) от времени проведения СҮР19А1-зависимых электрокаталитических реакций.

2.5.5.2. Определение электрокаталитической активности СҮР2С9 по отношению κ (S)-варфарину

Электроды с иммобилизованным СҮР2С9 помещались в пластиковую ячейку, заполненную 1 мл 100 мМ калий-фосфатного буфера (рН 7,4), содержащего 50 мМ NaCl, 1% (по объему) метанол и различные концентрации (S)-варфарина (от 0 до 50 мкМ). СҮР2С9-зависимые реакции проводились при постоянном перемешивании с помощью магнитной мешалки и при фиксированном потенциале рабочего электрода -0,6 В (отн. Ag/AgCl) в течение 30-60 мин. После проведения фермент-зависимых электрокаталитических реакций 60 мкл реакционной смеси отбирались и наносились на поверхность немодифицированного печатного электрода («КолорЭлектроникс») с последующей регистрацией квадратноволновых вольтамперограмм при условиях, описанных в 2.5.3.2. Концентрации образующегося (S)-гидроксиварфарина определяли по уравнению калибровочной зависимости амплитуды тока окисления этого соединения от его концентрации в стандартных растворах. Начальные скорости электрокаталитической СҮР2С9зависимой реакции выражали как количество продукта (моль), образующегося за минуту, соотнесенное к количеству электроактивного СҮР2С9 на электроде (моль), что соответствовало размерности, равной мин-1.

2.5.5.3. Определение электрокаталитической активности СҮР2С9 по отношению к диклофенаку

Электроды с иммобилизованным СҮР2С9 помещались в пластиковую ячейку, заполненную 300 мкл 100 мМ калий-фосфатного буфера (рН 7,4), содержащего 50 мМ NaCl, 1% (по объему) метанол и различные концентрации диклофенака (от 0 до 100 мкМ). СҮР2С9-зависимые реакции проводились при постоянном перемешивании с помощью магнитной мешалки и при фиксированном потенциале рабочего электрода -0,6 В (отн. Ag/AgCl) в течение 30-90 мин. После проведения фермент-зависимых электрокаталитических реакций 60 мкл

наносились реакционной смеси отбирались И на поверхность немодифицированного («КолорЭлектроникс») печатного электрода последующей регистрацией квадратно-волновых вольтамперограмм при условиях, описанных в 2.5.3.3. Концентрации образующегося 4'-гидроксидиклофенака определяли по уравнению калибровочной зависимости амплитуды тока окисления этого соединения от его концентрации в стандартных растворах. Начальные скорости электрокаталитической СҮР2С9-зависимой реакции выражали как количество продукта (моль), образующегося за минуту, соотнесенное к количеству электроактивного СҮР2С9 на электроде (моль), что соответствовало размерности, равной мин $^{-1}$.

2.5.5.4. Определение электрокаталитической активности СҮР2С9 по отношению к (S)-напроксену

Электроды с иммобилизованным СҮР2С9 помещались в пластиковую ячейку, заполненную 900 мкл 100 мМ калий-фосфатного буфера (рН 7,4), содержащего 50 мМ NaCl, 1% (по объему) метанол и различные концентрации (S)напроксена (от 0 до 1500 мкМ). СҮР2С9-зависимые реакции проводились при постоянном перемешивании с помощью магнитной мешалки и при фиксированном потенциале рабочего электрода -0,550 B (отн. Ag/AgCl) в течение 30-60 мин. После фермент-зависимых электрокаталитических реакций 60 проведения МКЛ отбирались реакционной смеси поверхность И наносились на немодифицированного печатного электрода (Metrohm DropSens) с последующей регистрацией квадратно-волновых вольтамперограмм при условиях, описанных в 2.5.3.4. Концентрации образующегося (S)-О-десметилнапроксена определяли по калибровочной зависимости амплитуды тока окисления этого уравнению соединения от его концентрации в стандартных растворах. Начальные скорости электрокаталитической СҮР2С9-зависимой реакции выражали как количество продукта (моль), образующегося за минуту, соотнесенное к количеству

электроактивного CYP2C9 на электроде (моль), что соответствовало размерности, равной мин⁻¹.

2.5.5.5. Определение электрокаталитической активности СҮР2С19 по отношению к фенитоину

Электроды с иммобилизованным СҮР2С19 помещались в пластиковую ячейку, заполненную 900 мкл 100 мМ калий-фосфатного буфера (рН 7,4), содержащего 50 мМ NaCl, 1% (по объему) метанол и различные концентрации фенитоина (от 0 до 300 мкМ). СҮР2С19-зависимые реакции проводились при постоянном перемешивании с помощью магнитной мешалки и при фиксированном потенциале рабочего электрода -0,550 В (отн. Ад) в течение 30-90 мин. После проведения фермент-зависимых электрокаталитических реакций 60 реакционной смеси отбирались И наносились поверхность на немодифицированного печатного электрода (Metrohm DropSens) с последующей регистрацией квадратно-волновых вольтамперограмм при условиях, описанных в 2.5.3.5. Концентрации образующегося 4-гидроксифенитоина определяли по уравнению калибровочной зависимости амплитуды тока окисления этого соединения от его концентрации в стандартных растворах. Начальные скорости электрокаталитической СҮР2С19-зависимой реакции выражали как количество продукта (моль), образующегося за минуту, соотнесенное к количеству электроактивного СҮР2С19 на электроде (моль), что соответствовало размерности, равной мин-1.

2.5.5.6. Определение электрокаталитической активности CYP2E1содержащих бактосом по отношению к хлорзоксазону

Электроды с иммобилизованными бактосомами помещались в пластиковую ячейку, заполненную 900 мкл 100 мМ калий-фосфатного буфера (рН 7,4), содержащего 50 мМ NaCl и различные концентрации хлорзоксазона (от 0 до 500

мкМ). СҮР2Е1-зависимые реакции проводились при постоянном перемешивании с помощью магнитной мешалки и при фиксированном потенциале рабочего электрода -0,550 B (отн. Ag/AgCl) в течение 30-90 мин. После проведения ферментзависимых электрокаталитических реакций 60 мкл реакционной смеси отбирались наносились на поверхность немодифицированного печатного электрода («КолорЭлектроникс») cпоследующей регистрацией квадратно-волновых вольтамперограмм при условиях, описанных 2.5.3.6. Концентрации образующегося 6-гидроксихлорзоксазона определяли ПО уравнению калибровочной зависимости амплитуды тока окисления этого соединения от его концентрации стандартных растворах. Начальные В скорости электрокаталитической СҮР2Е1-зависимой реакции выражали как количество продукта (моль), образующегося за минуту, соотнесенное к количеству электроактивного СҮР2Е1 на электроде (моль), что соответствовало размерности, равной мин⁻¹. При этом, количество электроактивного СҮР2Е1 было рассчитано в соответствии с уравнением 10 с учетом заявленного производителем молярного соотношения CYP2E1 и сут b_5 в бактосомах.

Исследование электрокаталитической активности СҮР2Е1-содержащих бактосом по отношению к хлорзоксазону проводилось также путем определения образующегося 6-гидроксихлорзоксазона методом тонкослойной хроматографии и абсорбционной спектроскопии. После проведения электрокаталитической реакции в течение 90 мин 450 мкл инкубационной смеси переносились в пробирку и смешивались с 900 мкл дихлорметана с последующим центрифугированием в течение 5 мин при 12100 × g. После центрифугирования нижнюю (органическую) фазу переносили в другую пробирку, а к оставшейся верхней фазе снова добавляли 900 мкл дихлорметана с последующим центрифугированием при вышеуказанных условиях. После повторного центрифугирования нижнюю фазу объединяли с полученной на первом этапе центрифугирования органической фазой с последующим упариванием всего полученного объема при температуре 38°C под потоком аргона. Упаренные образцы растворялись в 20 мкл этанола и наносились на алюминиевые пластины для тонкослойной хроматографии с флуоресцентным

реагентом, покрытые силикагелем (TLC Silica gel 60, F254, Merck, Германия). В качестве контроля на пластины также наносились по 1 мкл 2,5-10 мМ хлорзоксазона И 6-гидроксихлорзоксазона В этаноле. Хроматография осуществлялась с помощью подвижной фазы, состоящей из смеси 1:1 (по объему) петролейного эфира и этилацетата, в стеклянной камере. После хроматографии пластины высушивали при комнатной температуре и далее для улучшения визуализации 6-гидроксихлорзоксазона пластины помещали эксикатор, насыщенный парами йода, точно на 2 мин. Визуализация разделившихся соединений на хроматографической пластине осуществлялась с помощью ультрафиолетовой лампы (Vilber Lourmat, Франция) при длине волны 254 нм. Пятна хроматографической пластине, соответствующие гидроксихлорзоксазону в опытной и контрольной пробах, изолировали и далее элюировали 600 мкл этанола. Частицы силикагеля осаждали с помощью центрифугирования в течение 5 мин при 12100 × g. Спектр поглощения 6гидроксихлорзоксазона в надосадочной жидкости регистрировали в кварцевых кюветах в области длин волн 230-350 нм. Концентрацию 6-гидроксихлорзоксазона определяли по калибровочной зависимости оптической плотности в максимуме поглощения 6-гидроксихлорзоксазона в области 280-300 нм от концентрации этого соединения в стандартных растворах 6-гидроксихлорзоксазона.

2.5.5.7. Определение электрокаталитической активности СҮРЗА4 по отношению к гидрокортизону

Электроды с иммобилизованным СҮРЗА4 помещались в пластиковую ячейку, заполненную 300 мкл 100 мМ калий-фосфатного буфера (рН 7,4), содержащего 50 мМ NaCl, 1% (по объему) метанол и различные концентрации гидрокортизона (от 0 до 100 мкМ). СҮРЗА4-зависимые реакции проводились при постоянном перемешивании с помощью магнитной мешалки и при фиксированном потенциале рабочего электрода -0,6 В (отн. Ag/AgCl) в течение 5-60 мин. После проведения фермент-зависимых электрокаталитических реакций реакционная

смесь переносилась в стеклянную пробирку и смешивалась с 600 мкл смеси серной кислоты и этанола (3:1 по объему). Полученный раствор инкубировали при комнатной температуре в течение 10 мин и далее регистрировали спектр флуоресценции при условиях, описанных в 2.5.4. Концентрацию образующегося 6 β -гидроксикортизола определяли по уравнению калибровочной зависимости интенсивности пика эмиссии при $\lambda_{\rm em}$ 427 ± 2 нм от концентрации этого соединения в стандартных растворах. Начальные скорости электрокаталитической СҮРЗА4-зависимой реакции выражали как количество продукта (моль), образующегося за минуту, соотнесенное к количеству электроактивного СҮРЗА4 на электроде (моль), что соответствовало размерности, равной мин-1.

2.5.6. Определение параметров стационарной кинетики биотрансформации исследуемых соединений при участии цитохромов Р450

Для определения параметров станционарной кинетики биотрансформации исследуемых соединений при участии цитохромов P450 в случае гиперболической зависимости начальной скорости реакции от концентрации субстрата проводилась аппроксимация экспериментальных данных в соответствии с уравнением Михаэлиса-Ментен (16):

$$V = \frac{V_{\text{max}}[S]}{K_{\text{M}} + [S]},\tag{16}$$

где V — начальная скорость реакции биотрансформации субстрата, мин $^{-1}$, $V_{\rm max}$ — максимальная скорость реакции биотрансформации субстрата, мин $^{-1}$.

В случае бифазной зависимости начальной скорости реакции от концентрации субстрата для определения параметров стационарной кинетики проводилась аппроксимация экспериментальных данных в соответствии с уравнением (17):

$$V = \frac{V_{\text{max}_1}[S]}{K_{\text{M}_1} + [S]} + \frac{V_{\text{max}_2}[S]}{K_{\text{M}_2} + [S]},$$
(17)

где $V_{\max 1}$ — максимальная скорость реакции биотрансформации субстрата под действием формы фермента, образующей с субстратом комплекс с высокой

аффинностью, мин $^{-1}$, $K_{\rm M1}$ — константа Михаэлиса для формы фермента, образующей с субстратом комплекс с высокой аффинностью, М, $V_{\rm max2}$ — максимальная скорость реакции биотрансформации субстрата под действием формы фермента, образующей с субстратом комплекс с низкой аффинностью, мин $^{-1}$, $K_{\rm M2}$ — константа Михаэлиса для формы фермента, образующей с субстратом комплекс с низкой аффинностью, М.

Значения V определялись из отношений тангенсов углов наклонов начальных линейных участков зависимостей количеств образующихся продуктов от времени ферментативной реакции к количествам электроактивных ферментов на электроде, как описано в методиках п. 2.5.5.

2.5.7. Математическая и статистическая обработка данных

Все представленные значения в работе получены по меньшей мере из трех независимых повторов экспериментов. Для каждого значения были рассчитаны стандартные отклонения с помощью программного обеспечения Microsoft Excel 2013. Экспериментальные зависимости и их аппроксимации были получены с помощью программного обеспечения Origin 7.5 или 8.1.

Предел определяемых концентраций аналитов рассчитывался с учетом троекратного стандартного отклонения (3 σ) средней величины фонового сигнала.

ГЛАВА 3. РЕЗУЛЬТАТЫ И ИХ ОБСУЖДЕНИЕ

3.1. Разработка методологии биэлектродной электрохимической системы для определения активности цитохромов Р450

В данной части работы мы разработали методологию биэлектродной электрохимической системы для определения активности ряда клинически значимых цитохромов Р450. Мы предположили, что продукты цитохром Р450зависимых реакций ароматического гидроксилирования, деалкилирования или образованию ароматизации, приводящих К производных, содержащих гидроксифенильные группы, могут быть определены за счет их прямого электрохимического окисления на электроде. При этом сам фермент находится в иммобилизованном состоянии на электроде, и инициирование каталитической реакции осуществляется за счет электрохимического восстановления его иона железа гема. За счет способности образующихся продуктов ферментативных реакций окисляться при потенциалах, отличных от потенциалов окисления исходных субстратов, отсутствует необходимость разделения компонентов реакционной среды для количественного определения продуктов реакций.

3.1.1. Биэлектродная электрохимическая система для определения каталитической активности СҮР19А1 по отношению к андрогенам

на способности эстрогенов необратимо Основываясь окисляться твердотельных электродах при потенциале около 0,5 B (отн. Ag/AgCl) [219-221], мы предложили новый подход к определению активности СҮР19А1 с помощью биэлектродной системы. Один из электродов этой системы был модифицирован ДДАБ служил ДЛЯ иммобилизации рекомбинантного фермента электрохимического восстановления иона железа гема, при этом второй (немодифицированный) электрод использовался для количественного определения образующихся в процессе ферментативной реакции эстрогенов путем их прямого электрохимического окисления. Принцип функционирования предложенной электрохимической системы для определения активности CYP19A1 представлен на рисунке 15.

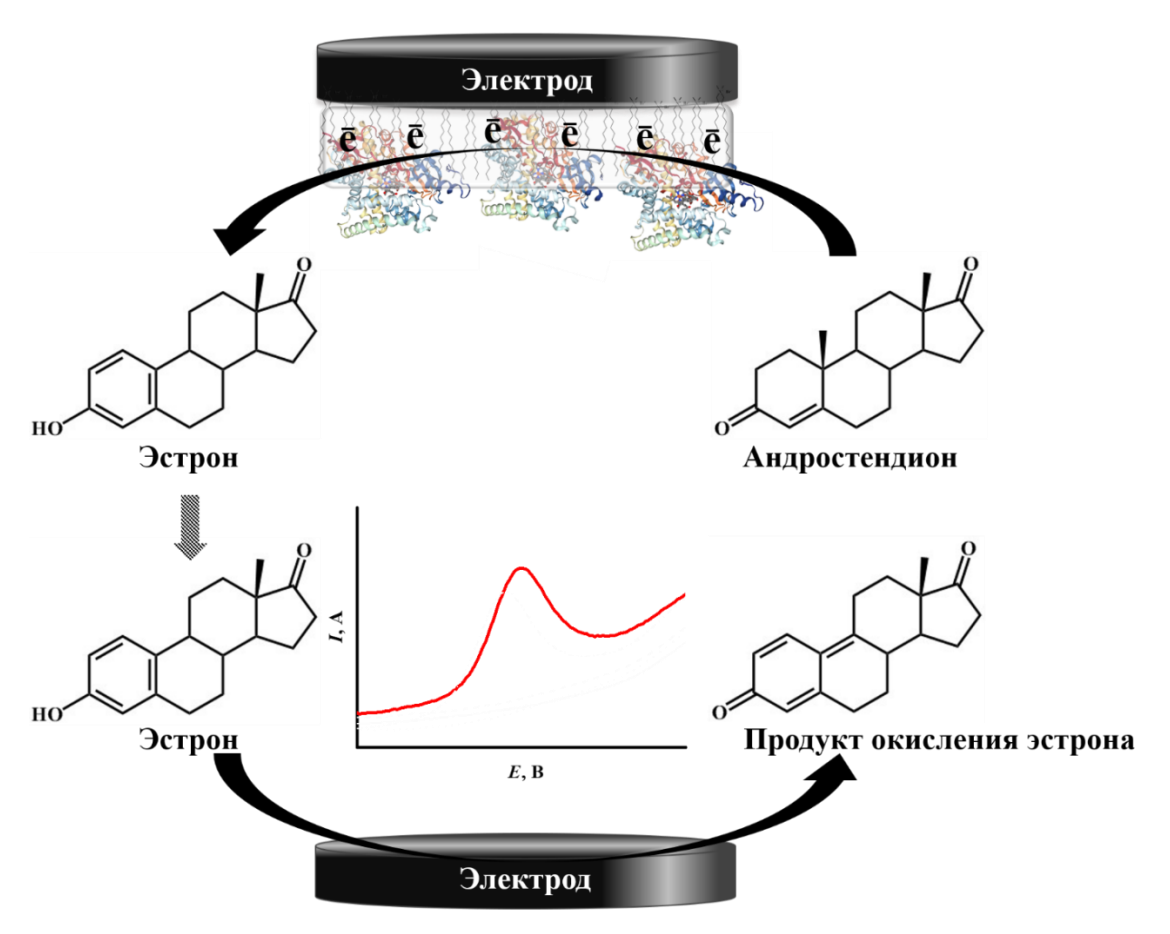


Рисунок 15. Принцип функционирования биэлектродной электрохимической системы для определения активности СҮР19А1. Один из электродов (на рисунке сверху) модифицирован и служит для иммобилизации СҮР19А1 и электрохимического восстановления иона железа гема фермента, второй электрод (на рисунке снизу) служит для регистрации образующегося из андростендиона в процессе ферментативной реакции эстрона путем его прямого электрохимического окисления.

СҮР19А1 катализирует последовательную трехстадийную реакцию биосинтеза эстрогенов (С18-стероидов) – эстрона и β-эстрадиола – из андрогенов

(C19-стероидов) – андростендиона и тестостерона, соответственно (рисунок 16) [222].

Рисунок 16. Реакции ароматизации андрогенов (андростендиона и тестостерона) при участии СҮР19А1.

Ингибиторы CYP19A1 являются эффективными препаратами, применяющимися для лечения рака молочной железы [223]. Скрининг новых химических соединений с целью выявления эффективных ингибиторов СҮР19А1 требует многоэтапного процесса определения активности этого фермента. Кроме того, в связи с очень низким значением $K_{\rm M}$ CYP19A1 по отношению к андростендиону (0,044 ± 0,006 мкМ) и малым количеством образующегося продукта в реконструированной системе имеется необходимость использования радиоактивно меченых субстратов этого фермента [222]. Определение эстрогенов с помощью хромато-масс-спектрометрических методов является трудоемким процессом из-за физико-химических особенностей этих соединений, таких как низкая степень ионизации, что требует дополнительной стадии дериватизации и больших количеств образца [224].

Впервые электрохимическая система на основе иммобилизованного на СУЭ СҮР19А1 была получена группой Gilardi [225]. С помощью определения продуктов реакций методом ВЭЖХ авторам удалось продемонстрировать электрокаталитическую активность СҮР19А1 по отношению к андростендиону, однако образование эстрона удалось достоверно зафиксировать только при

использовании 19-гидроксиандростендиона или 19-оксоандростендиона в качестве исходных субстратов, вносимых в электрохимическую систему, поскольку лимитирующей стадией процесса ароматизации андростендиона в эстрон является гидроксилирование субстратов по 19 положению.

Процесс прямого переноса электронов между модифицированным электродом и ионом железа гема CYP19A1 был охарактеризован методом циклической вольтамперометрии в анаэробных условиях в насыщенном аргоном 100 мМ калий-фосфатном буфере (рН 7,4), содержащем 50 мМ NaCl (рисунок 17).

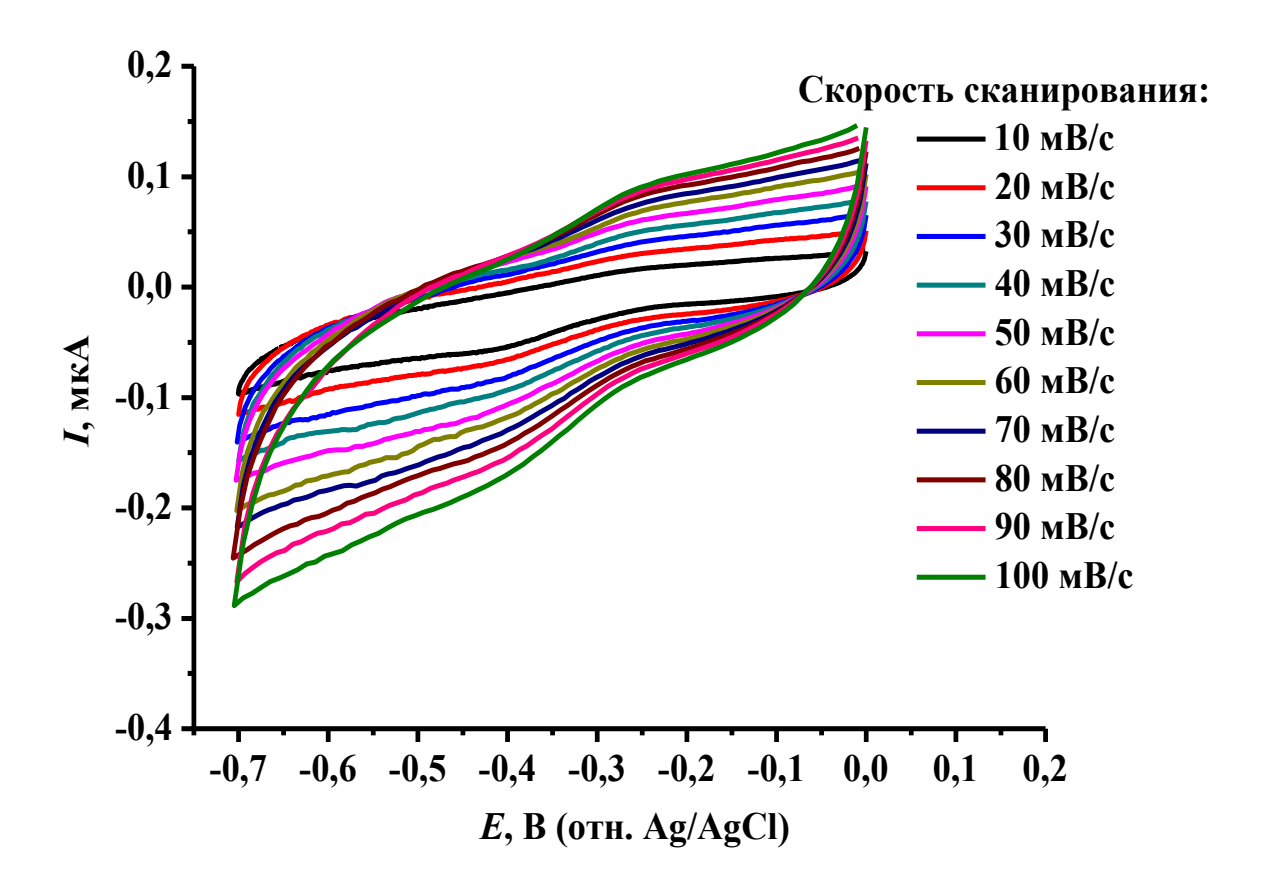


Рисунок 17. Циклические вольтамперограммы, зарегистрированные с помощью ПГЭ, модифицированного ДДАБ, с иммобилизованным СҮР19А1 в насыщенном аргоном 100 мМ калий-фосфатном буфере (рН 7,4), содержащем 50 мМ NaCl. Скорость сканирования от 10 до 100 мВ/с.

Как видно на рисунке 17, циклические вольтамперограммы электрода, модифицированного ДДАБ, с иммобилизованным CYP19A1 характеризуются

наличием пиков восстановления и окисления иона железа гема. При скорости сканирования 100 мB/c значения E_c и E_a пиков были определены как -0.412 ± 0.011 В (отн. Ag/AgCl) и -0.242 ± 0.006 В (отн. Ag/AgCl), соответственно. Значение E_m было рассчитано как -0.327 ± 0.017 В (отн. Ag/AgCl). Разность между потенциалами катодного и анодного пиков (ΔE) рассчитана как 170 мB. В соответствии с моделью Лавирона значение k_s при скорости сканирования 100 мB/c и α 0,56 было определено как 0.6 ± 0.1 с $^{-1}$. Для дальнейшего определения каталитической активности CYP19A1 из циклических вольтамперограмм, зарегистрированных в анаэробных условиях, в соответствии с уравнением 10, было рассчитано количество электроактивного фермента на поверхности модифицированного электрода, которое составило 0.43 ± 0.02 пмоль.

С целью количественного определения продуктов СҮР19А1-зависимой электрокаталитической реакции мы использовали свойство эстрона и β-эстрадиола электрохимически окисляться на электроде через последовательное образование соответствующих фенокси- и феноксониевых интермедиатов в соответствии с механизмом, предложенным ранее на примере β-эстрадиола [226]. Мы сравнили электрохимические свойства эстрона, β-эстрадиола и субстратов, из которых соответственно образуются данные соединения, – андростендиона и тестостерона. Как видно на рисунке 18, циклические вольтамперограммы, зарегистрированные с помощью немодифицированных ПГЭ, для 50 мкМ эстрона и 50 мкМ β-эстрадиола в 100 мМ калий-фосфатном буфере (рН 7,4), содержащем 50 мМ NaCl и 1% (по объему) метанол, имеют пики окисления при $0,546~\mathrm{B}$ (отн. Ag/AgCl) и $0,517~\mathrm{B}$ (отн. Ag/AgCl), соответственно, при этом андростендион и тестостерон не окисляются в данном диапазоне потенциалов. Таким образом, эстрогены могут быть определены за счет их прямого электрохимического окисления, при этом в случае проведения ферментативного анализа отсутствует необходимость разделения инкубационной смеси, содержащей одновременно как эстрогены (продукты), так и андрогены (субстраты).

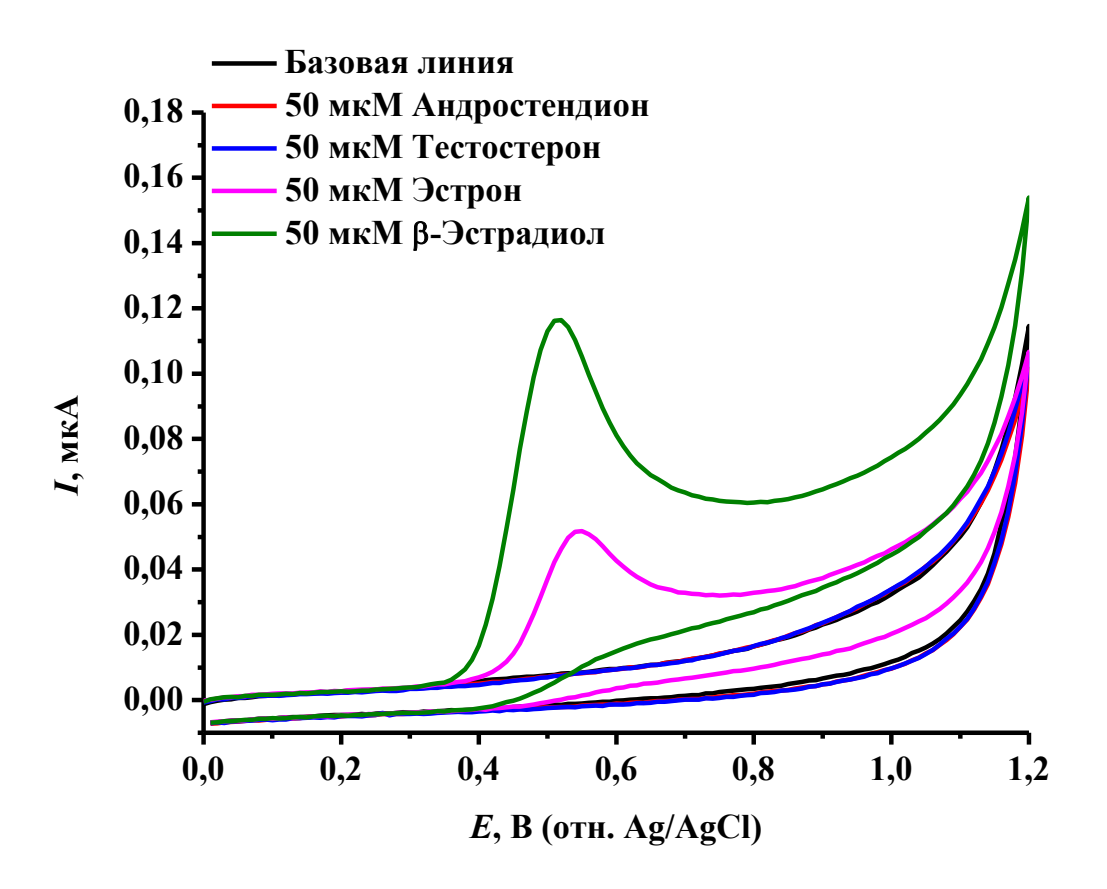


Рисунок 18. Циклические вольтамперограммы, зарегистрированные с помощью немодифицированных ПГЭ в 100 мМ калий-фосфатном буфере (рН 7,4), содержащем 50 мМ NaCl, 1% (по объему) метанол (—) и 50 мкМ андростендион (—), 50 мкМ тестостерон (—), 50 мкМ эстрон (—) или 50 мкМ β-эстрадиол (—). Скорость сканирования 100 мВ/с.

Для разработки методики количественного определения эстрогенов мы использовали метод квадратно-волновой вольтамперометрии, позволяющий снижать емкостное сопротивление и увеличивать отношение сигнал/шум, что важно при регистрации малых концентраций продуктов, образующихся в электрохимической системе при проведении электрокаталитических цитохром Р450-зависимых реакций.

Мы проанализировали зависимости токов окисления эстрона и β-эстрадиола, зарегистрированные методом квадратно-волновой вольтамперометрии, от их концентрации в буфере (рисунки 19 A и 19 B, соответственно).

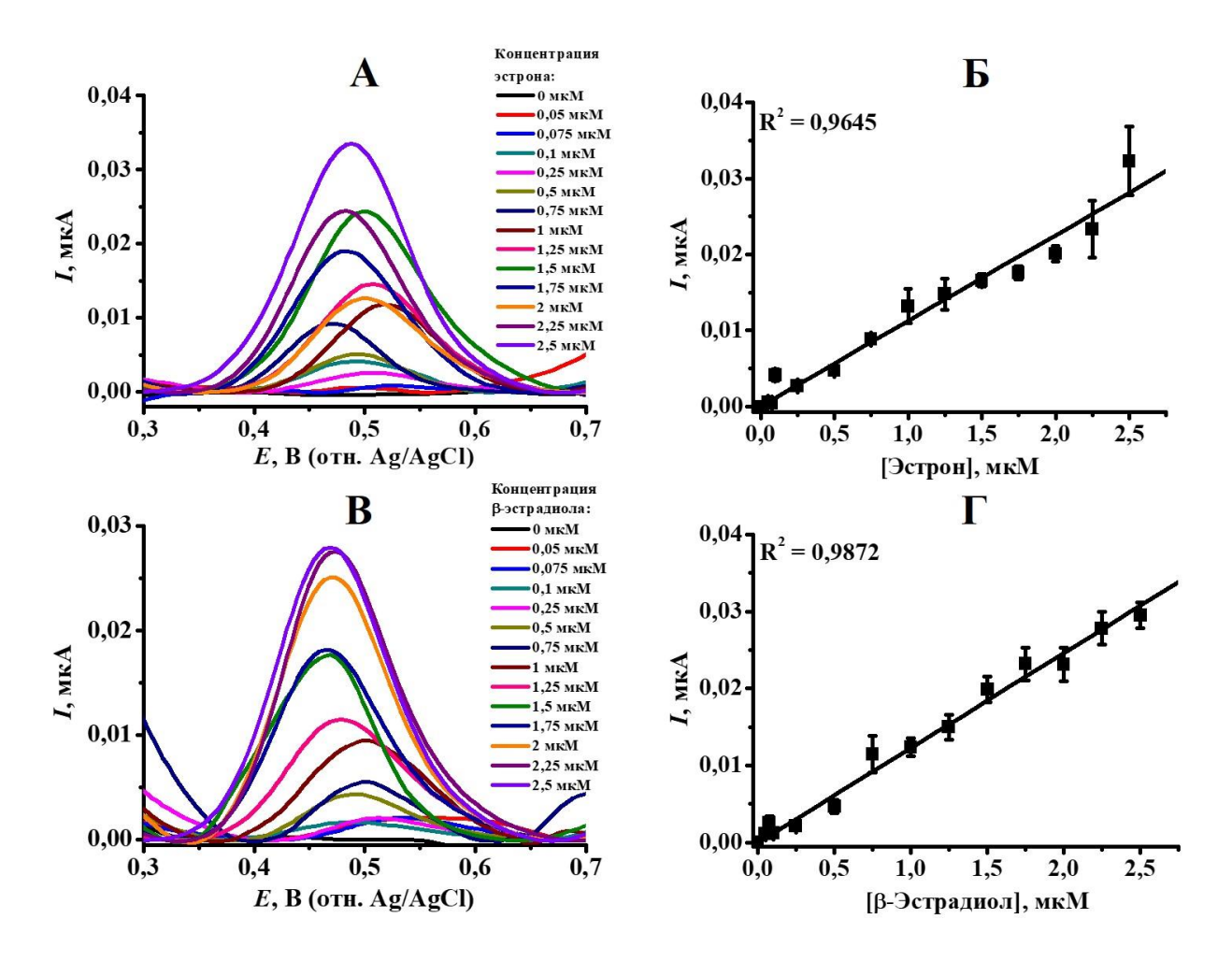


Рисунок 19. Квадратно-волновые вольтамперограммы, зарегистрированные с помощью немодифицированных ПГЭ в 100 мМ калий-фосфатном буфере (рН 7,4), содержащем 50 мМ NaCl, 1% (по объему) метанол и различные концентрации (от 0 до 2,5 мкМ) эстрона (A) или β-эстрадиола (B). Частота 25 Гц, амплитуда 40 мВ, шаг потенциала 5 мВ. Зависимости тока окисления от концентраций эстрона (Б) или β-эстрадиола (Г). Представлены средние значения из 3-5 независимых экспериментов ± стандартные отклонения.

Потенциалы, при которых наблюдается окисление эстрона и β -эстрадиола, были соответственно определены как $0,497 \pm 0,014$ В и $0,483 \pm 0,017$ В (отн. Ag/AgCl). Как можно видеть на рисунках 19 Б и 19 Г, зависимости токов окисления эстрона и β -эстрадиола от их концентраций в буфере имеют линейный характер. Соответствующие линейные зависимости описываются уравнениями прямых: I, мкА = $(0,01042 \pm 0,0004)$, мкА/мкМ × [Эстрон], мкМ ($R^2 = 0,9645$) для эстрона и I,

мкА = $(0,01174 \pm 0,0003)$, мкМ/мкА × [β -Эстрадиол] (R^2 = 0,9872) для β -эстрадиола. Пределы определяемых концентраций для эстрона и β -эстрадиола были рассчитаны как 11 нМ и 3,4 нМ, соответственно. Значения чувствительности для эстрона и β -эстрадиола составили 0,010 мкА/мкМ и 0,012 мкА/мкМ, соответственно.

Таким образом, нами было показано, что эстрон и β-эстрадиол способны окисляться на немодифицированных ПГЭ. Полученные пределы определяемых концентраций эстрогенов были сравнимы со значениями аналогичного параметра, полученного ранее с помощью других электрохимических систем [219, 227].

Мы оценили возможность образования и регистрации эстрона и β-эстрадиола из соответствующих андрогенов (андростендиона и тестостерона) в процессе электрокаталитической СҮР19А1-зависимой реакции в сконструированной нами электрохимической системе. СҮР19А1-зависимые электрокаталитические реакции по отношению к 10 мкМ андростендиону и 10 мкМ тестостерону проводили при фиксированном потенциале рабочего электрода -0,6 В (отн. Ag/AgCl) в течение 30 мин. В качестве контрольных экспериментов проводились электрокаталитические реакции при тех же условиях и с теми же субстратами в электрохимической системе с электродами, модифицированными ДДАБ, но без иммобилизованного СҮР19А1. На рисунке 20 показаны квадратно-волновые вольтамперограммы, инкубационной зарегистрированные В смеси после проведения электрокаталитических реакций по отношению к андростендиону и тестостерону в присутствии и без СҮР19А1.

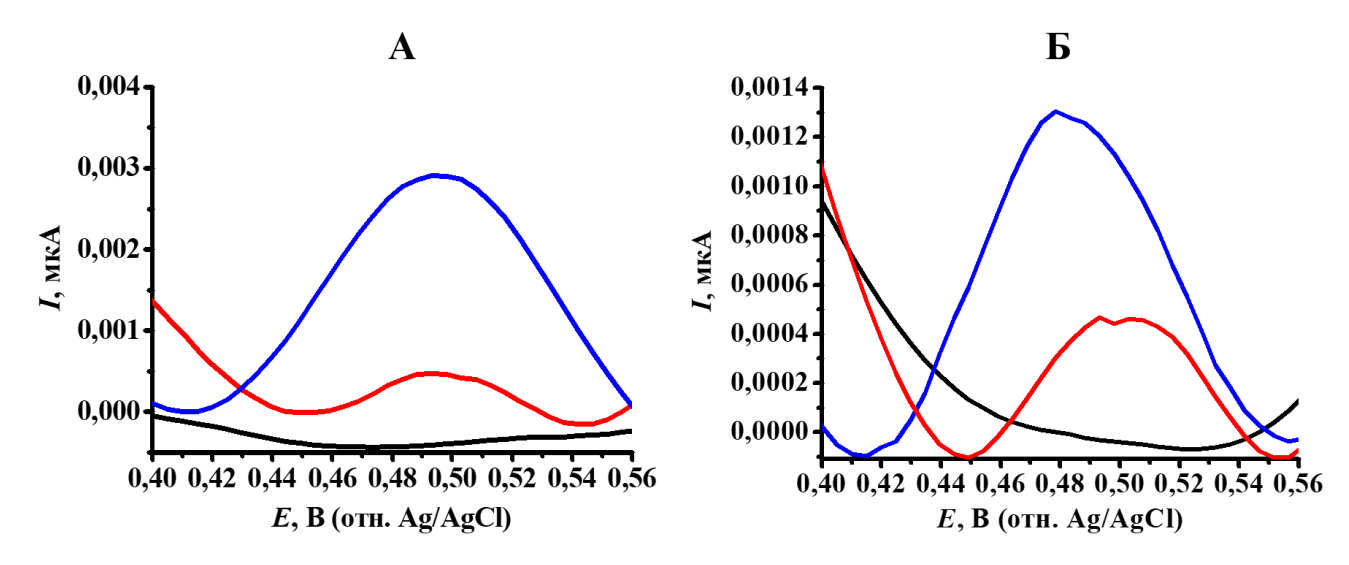


Рисунок 20. Квадратно-волновые вольтамперограммы, зарегистрированные с помощью немодифицированных ПГЭ в 100 мМ калий-фосфатном буфере (рН 7,4), содержащем 50 мМ NaCl, 1% (по объему) метанол и 10 мкМ андростендион **(B)**, (**A**) или 10 мкМ тестостерон или ДО после электрокаталитической реакции в течение 30 мин при фиксированном потенциале -0,6 В (отн. Ag/AgCl) рабочего электрода, модифицированного ДДАБ (—) и с иммобилизованным СҮР19А1 (—). Частота 25 Гц, амплитуда 40 мВ, шаг потенциала 5 мВ.

На квадратно-волновых вольтамперограммах, представленных на рисунках 20 A и 20 Б, видно, что после проведения электрохимической реакции как с ферментным электродом, так и с модифицированным электродом без фермента в области потенциалов окисления эстрона и β-эстрадиола регистрируются соответствующие пики. Значения токов окисления эстрона и β-эстрадиола в случае проведения электрокаталитической реакции в присутствии СҮР19А1 превышают соответствующие значения токов окисления, регистрируемых после проведения электрокаталитической реакции в системе, не содержащей фермент, в 5 раз и 1,5 раза, соответственно. Полученные данные указывают на протекание как ферментзависимого, так и фермент-независимого процесса образования эстрогенов при электрокаталитической реакции по отношению к андростендиону и тестостерону. Однако в электрохимической системе СҮР19А1 вносит основной вклад в

образование продуктов, окисление которых происходит при потенциалах, соответствующих потенциалам окисления эстрона и β-эстрадиола. Как было показано ранее работах, АФК, других генерируемые процессе электрокаталитической реакции, вносят вклад в образование соответствующих метаболитов проведении цитохром Р450-зависимых реакций при электрохимической системе [149]. Поскольку процесс ароматизации кольца А стероидного фрагмента андростендиона И тестостерона, катализируемый СҮР19А1, является сложным трехстадийным процессом [222, 228], протекание неферментативной образования реакции эстрона И β-эстрадиола соответствующих андрогенов в электрокаталитической системе под действием представляется генерируемого пероксида не возможным. По-видимому, регистрируемые нами пики окисления соответствуют продуктам, образующимся при неспецифической неферментативной электрокаталитической реакции по отношению к андростендиону и тестостерону.

Для определения параметров стационарной кинетики CYP19A1 – $K_{\rm M}$ и $V_{\rm max}$ – по отношению к андростендиону и тестостерону мы определили начальные скорости реакций образования эстрона и β -эстрадиола, регистрируемые по электрохимическому окислению соответствующих эстрогенов (рисунки 21 A и 21 Б).

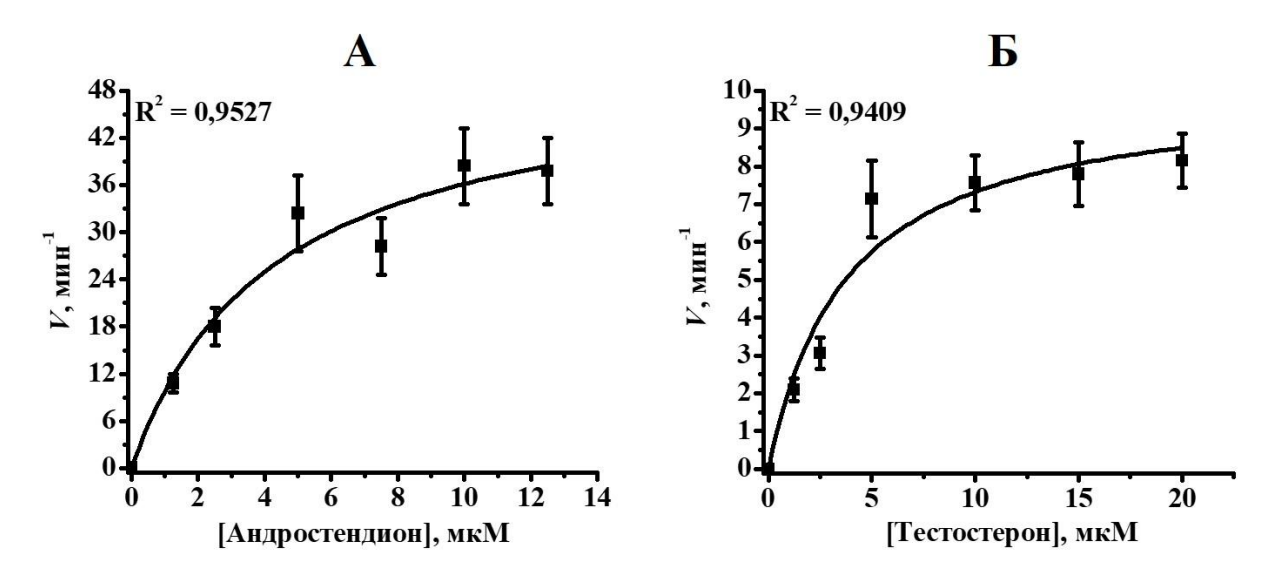


Рисунок 21. Зависимости начальной скорости СҮР19А1-зависимого образования эстрона от концентрации андростендиона (**A**) и β -эстрадиола от концентрации тестостерона (**B**) в электрохимической системе. Представлены средние значения из 3-5 независимых экспериментов \pm стандартные отклонения.

Зависимости начальных скоростей образования эстрона и β -эстрадиола от концентраций андростендиона и тестостерона имели гиперболический характер и описывались уравнениями вида: V, мин $^{-1} = ((51,5926 \pm 7,1954),$ мин $^{-1} \times [$ Андростендион], мкМ) / $((4,2491 \pm 1,5126),$ мкМ + [Андростендион], мкМ) со значением $R^2 = 0,9527$ и V, мин $^{-1} = ((10,2447 \pm 1,1915),$ мин $^{-1} \times [$ Тестостерон], мкМ) / $((3,8128 \pm 1,3244),$ мкМ + [Тестостерон], мкМ) со значением $R^2 = 0,9409,$ соответственно. Таким образом, значения V_{max} реакций образования эстрона и β -эстрадиола, катализируемых СҮР19А1 в электрохимической системе, были рассчитаны как $51,6 \pm 7,2$ мин $^{-1}$ и $10,2 \pm 1,2$ мин $^{-1}$, соответственно. Значения K_{M} СҮР19А1 в электрохимической системе по отношению к андростендиону и тестостерону были определены как $4,2 \pm 1,5$ мкМ и $3,8 \pm 1,3$ мкМ, соответственно. Эффективности катализа СҮР19А1 в электрохимической системе, выраженные как $V_{\text{max}}/K_{\text{M}}$, по отношению к андростендиону и тестостерону составили 12,29 мин $^{-1}$ мкМ $^{-1}$ и 2,68 мин $^{-1}$ мкМ $^{-1}$, соответственно.

Полученные нами кинетические параметры СҮР19А1 в электрохимической системе мы сравнили с кинетическими параметрами фермента в

реконструированной системе. В реконструированной системе значение $V_{\rm max}$ конверсии андростендиона в эстрон ранее было определено как 3.6 ± 0.18 мин⁻¹ [222], что приблизительно на порядок меньше $V_{\rm max}$ данной реакции, протекающей в электрохимической системе при участии СҮР19А1. По-видимому, данные различия могут быть обусловлены влиянием пероксида водорода, генерируемого в СҮР19А1-зависимую электрокаталитическом процессе, на конверсию андростендиона до эстрона [149]. Кроме того, в электрохимической системе процесс восстановления цитохрома Р450 не лимитирован переносом электронов по электрон-транспортной цепи, а зависит от скорости переноса электронов между электродом и ионом железа гема фермента, что также может влиять на скорость ферментативного процесса. Ранее значение $K_{\rm M}$ CYP19A1 по отношению к андростендиону в реконструированной системе было определено как 0.044 ± 0.006 мкМ [222], что приблизительно на два порядка меньше значения $K_{\rm M}$ фермента в электрохимической системе. По-видимому, увеличение $K_{\rm M}$ может быть связано с определенной ориентацией и/или конформацией фермента на электроде и менее эффективным взаимодействием субстрата с активным центром, по сравнению с взаимодействием в реконструированной системе. $V_{\rm max}/K_{
m M}$ по отношению к андростендиону в реконструированной системе приблизительно в 7 раз больше, чем величина $V_{\rm max}/K_{\rm M}$ в электрохимической системе. Значение $K_{\rm M}$ CYP19A1 по отношению к тестостерону в суперсомах было определено ранее как 0.023 ± 0.004 мкМ [229], что также на два порядка меньше, чем аналогичный параметр, определенный нами с помощью электрохимической системы.

Параметры стационарной кинетики СҮР19А1 в электрохимической системе обобщены в таблице 1.

Таблица 1. Параметры стационарной кинетики СҮР19А1-зависимых реакций, протекающих в электрохимической системе, по отношению к андростендиону и тестостерону.

Субстрат	$V_{ m max}$, мин $^{ ext{-}1}$	Км, мкМ	$V_{ m max}/K_{ m M}$, мин $^{-1}$ мк ${ m M}^{-1}$
Андростендион	$51,6 \pm 7,2$	$4,2 \pm 1,5$	12,29
Тестостерон	$10,2 \pm 1,2$	$3,8 \pm 1,3$	2,68

Как отмечалось выше, CYP19A1 является молекулярной фармакологической мишенью для действия препаратов-ингибиторов, применяющихся для лечения рака молочной железы. В связи с этим является актуальным поиск и исследование новых эффективных ингибиторов CYP19A1. На примере известного препарата — экземестана — мы продемонстрировали возможность применения разработанной электрохимической системы на основе CYP19A1 для исследования ингибиторной активности соединений, являющихся потенциальными лекарственными препаратами для лечения рака молочной железы.

Экземестан имеет андростендион-подобную структуру (рисунок 22) и способен подвергаться конверсии при участии CYP19A1 с образованием метаболита, ингибирующего ароматазу [230] (ингибирование, основанное на механизме действия фермента).

Рисунок 22. Структурная формула экземестана.

Упрощенная кинетическая модель ингибирования, основанного на механизме действия фермента, представлена на рисунке 23 [231, 232].

$$E + I \xrightarrow{k_1} EI \xrightarrow{k_2} [EI] \xrightarrow{k_3} E + I^*$$

$$\downarrow k_4$$

$$E - I^*$$

Рисунок 23. Упрощенная кинетическая модель ингибирования, основанного на механизме действия фермента.

Как видно на рисунке 23, ингибитор (I) образует с ферментом (E) комплекс с константой скорости прямой реакции k_1 , распад комплекса характеризуется константой скорости k_{-1} . Интермедиат каталитической реакции ([EI]), образовавшийся с константой скорости k_2 из фермент-ингибиторного комплекса (EI), подвергается дальнейшему продуктивному распаду с константой скорости k_3 на фермент и высокореакционный продукт (I*), либо высокореакционный продукт образует прочный комплекс с ферментом (E-I*) с константой скорости k_4 , что приводит к инактивации фермента.

Основными параметрами, характеризующими ингибирование, основанное на механизме действия, являются максимальное значение константы скорости инактивации фермента (k_{inact}) и концентрация ингибитора, которая необходима для инактивации фермента на 50% (K_{I}). Зависимость между этими параметрами определяется уравнением 18 [233]:

$$k_{\text{obs}} = \frac{k_{\text{inact}}[I]}{K_I + [I]},\tag{18}$$

где $k_{\rm obs}$ — константа скорости инактивации фермента при определенной концентрации ингибитора, мин⁻¹, $k_{\rm inact}$ — максимальное значение константы скорости инактивации фермента, мин⁻¹, [I] — концентрация ингибитора, М, $K_{\rm I}$ — концентрация ингибитора, которая необходима для инактивации фермента на 50%, М.

Для механизма, представленного на рисунке 23, k_{inact} и K_{I} могут быть выражены уравнениями 19 и 20, соответственно [232]:

$$k_{\text{inact}} = \frac{k_2 k_4}{k_2 + k_3 + k_4}. (19)$$

$$K_{\rm I} = \frac{(k_{-1} + k_2)(k_3 + k_4)}{k_1(k_2 + k_3 + k_4)}.$$
 (20)

Для исследования ингибирования СҮР19А1, основанного на механизме действия фермента, были проведены электрокаталитические реакции в диапазоне времени от 0 до 10 мин по отношению к экземестану (0-10000 нМ) с целью времяметаболита, зависимого образования инактивирующего фермент. После проведения электрокаталитических реакций была определена остаточная активность СҮР19А1 по отношению к 10 мкМ андростендиону. Зависимости логарифма процента остаточной активности СҮР19А1 по отношению к 10 мкМ андростендиону от времени электрокаталической реакции в присутствии различных концентраций экземестана (0-10000 нМ) представлены на рисунке 24.

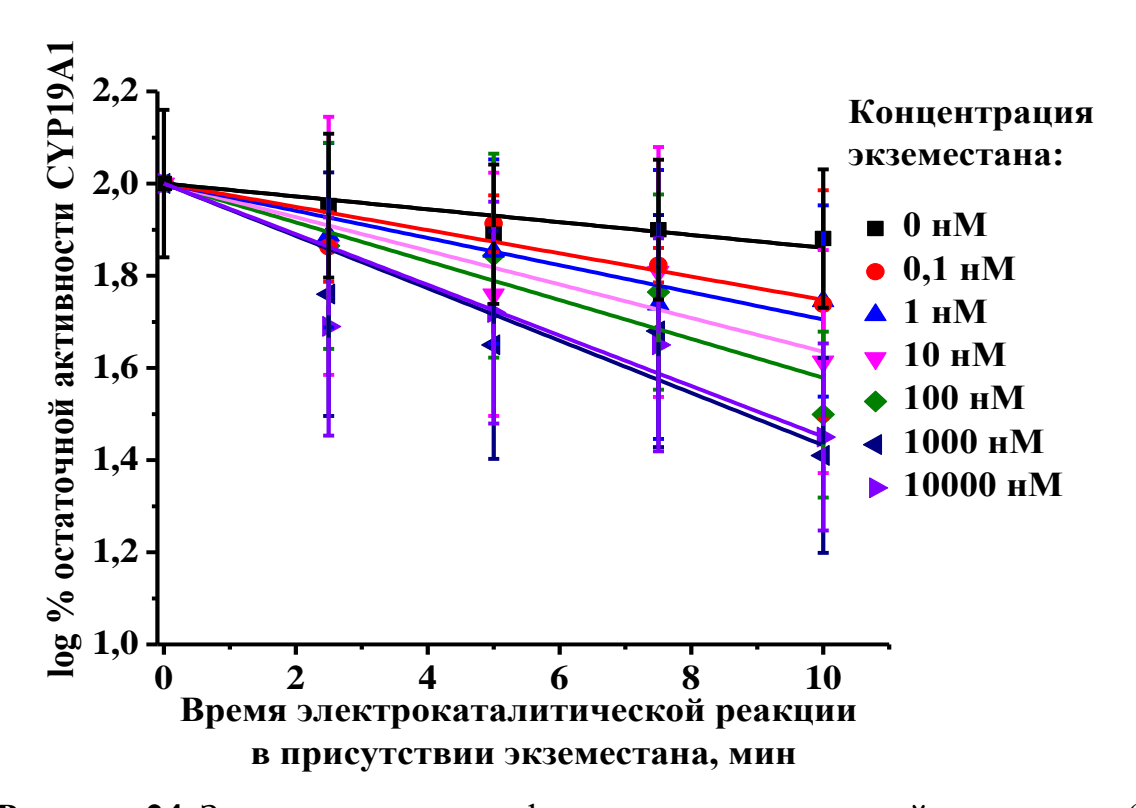


Рисунок 24. Зависимости логарифма процента остаточной активности (log % остаточной активности) СҮР19А1 по отношению к 10 мкМ андростендиону от времени СҮР19А1-зависимой электрокаталитической реакции в присутствии различных концентраций экземестана (0-10000 нМ). Реакции по отношению к экземестану проводились в 100 мМ калий-фосфатном буфере (рН 7,4), содержащем 50 мМ NaCl, 1% (по объему) метанол и различные концентрации экземестана (от 0 до 10000 нМ). Реакции по отношению к андростендиону проводились в 100 мМ калий-фосфатном буфере (рН 7,4), содержащем 50 мМ NaCl, 1% (по объему) метанол и 10 мкМ андростендион. Представлены средние значения из 3-5 независимых экспериментов ± стандартные отклонения.

Из представленных на рисунке 24 зависимостей были определены тангенсы углов наклонов, соответствующие значениям $k_{\rm obs}$. Чтобы определить истинные значения $k_{\rm obs}$, значение тангенса угла наклона зависимости логарифма процента остаточной активности CYP19A1 от времени электрокаталитической реакции при концентрации экземестана 0 нМ вычиталось из тангенсов углов наклонов зависимостей, полученных при концентрациях экземестана от 0,1 нМ до 10000 нМ. Таким образом, были определены значения $\Delta k_{\rm obs}$. Для расчета значений $k_{\rm inact}$ и $K_{\rm I}$

методом нелинейной регрессии была получена зависимость $\Delta k_{\rm obs}$ от концентрации экземестана, которая описывалась уравнением вида: $\Delta k_{\rm obs}$, мин⁻¹ = ((0,0381 ± 0,0034), мин⁻¹ × [Экземестан], нМ) / ((3,0313 ± 2,6608), нМ + [Экземестан], нМ) (рисунок 25).

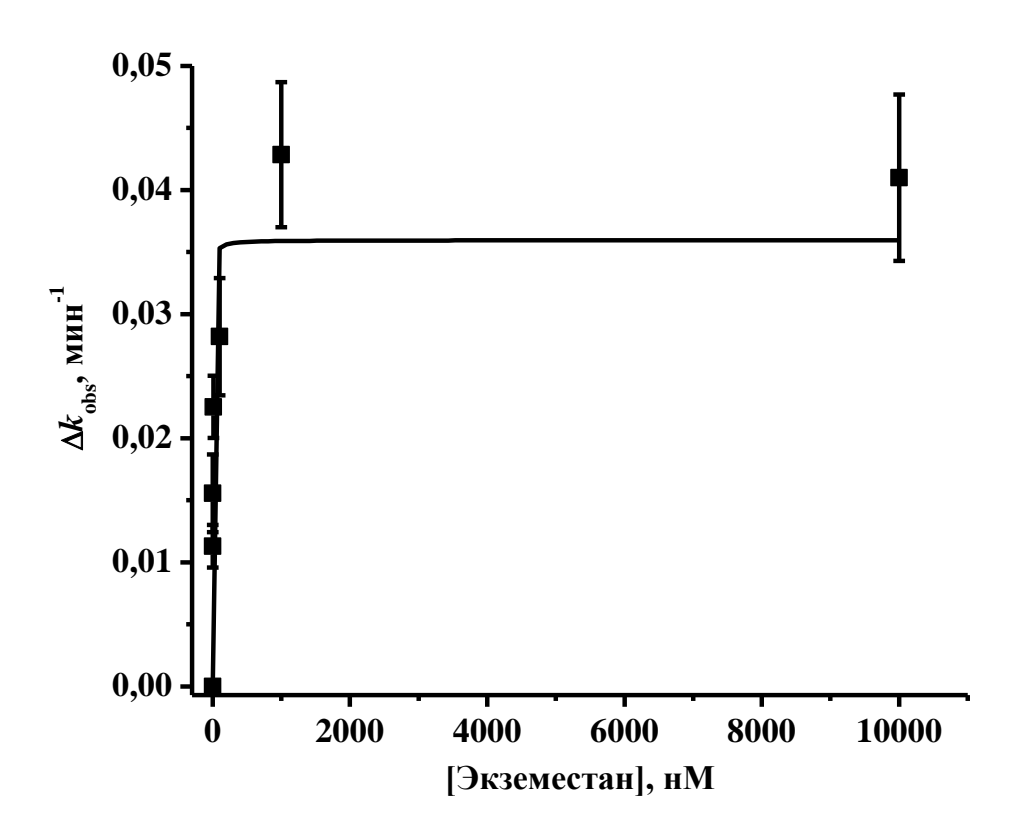


Рисунок 25. Зависимость значений $\Delta k_{\rm obs}$ от концентрации экземестана (0-10000 нМ). Представлены средние значения из 3-5 независимых экспериментов \pm стандартные отклонения.

Таким образом, из зависимости, представленной на рисунке 25, было получено значение k_{inact} , которое составило $0{,}038 \pm 0{,}003$ мин⁻¹. Время полуинактивации ($t_{1/2}$) СҮР19А1 в присутствии экземестана рассчитывалось в соответствии с уравнением 21 [234]:

$$t_{1/2} = \frac{\ln 2}{k_{\text{inact}}},\tag{21}$$

где $t_{1/2}$ — время полуинактивации фермента в присутствии необратимого ингибитора, мин, \ln — натуральный логарифм. Полученное значение $t_{1/2}$ было

определено как $18,2 \pm 1,4$ мин. В работе Di Salle и соавт. $t_{1/2}$ для ингибирования СҮР19А1 экземестаном было определено как $13,9 \pm 0,7$ мин [235], и, таким образом, полученный нами параметр $t_{1/2}$ сопоставим с аналогичным параметром, установленным ранее с помощью альтернативной ферментативной системы.

Мы определили, что значение $K_{\rm I}$ находится в диапазоне 0,3-5,7 нМ экземестана. Также в работе Di Salle аналогичный параметр был определен с помощью альтернативной ферментативной системы как $26,0\pm1,4$ нМ [235].

Суммируя полученные данные, можно заключить, что разработанная система для определения электрокаталитической активности CYP19A1 может применяться для скрининга новых соединений, являющихся потенциальными противоопухолевыми препаратами для лечения рака молочной железы, а также установления механизма ингибирования фермента этими соединениями.

3.1.2. Биэлектродная электрохимическая система для определения каталитической активности CYP2C9 по отношению к (S)-варфарину

Варфарин (4-гидрокси-3-(3-оксо-1-фенилбутил)-2*H*-хромен-2-он) — антикоагулянт, блокирующий витамин К эпоксид-редуктазу и широко применяющийся в клинической практике в виде рацемата *R* и *S* энантиомеров [236]. Ряд цитохромов Р450 способен метаболизировать *R* и *S* изомеры варфарина, при этом основным метаболитом (*S*)-варфарина, образующимся под действием СҮР2С9, является (*S*)-7-гидроксиварфарин (рисунок 26) [237, 238].

Рисунок 26. Реакция 7-гидроксилирования (S)-варфарина при участии СҮР2С9.

Полиморфизм гена *CYP2C9*, приводящий к образованию ферментов с измененной активностью, повышает риск развития кровотечений при приеме варфарина [239, 240]. Кроме того, ряд лекарственных препаратов может изменять метаболизм варфарина, ингибируя CYP2C9 [139, 240]. Таким образом, исследование метаболизма варфарина в комбинации с другими лекарственными соединениями является важной задачей фармакологии.

Разработаны подходы К количественному определению варфарина, основанные на его необратимом электрохимическом окислении [241-248]. При этом электрохимические свойства (S)-7-гидроксиварфарина, образующегося в процессе СҮР2С9-зависимой биотрансформации, ранее не были исследованы. Мы предположили, что потенциалы электрохимического окисления (S)-варфарина отличаются ОТ потенциалов электрохимического окисления (S)-7гидроксиварфарина за счет наличия у последнего гидроксифенильной группы. Это различие в электрохимических свойствах может быть использовано для идентификации и количественного определения (S)-7-гидроксиварфарина в СҮР2С9-содержащей ферментативной системе без разделения компонентов инкубационной смеси.

Разработка электрохимического подхода к количественному определению (*S*)-7-гидроксиварфарина как продукта биотрансформации (*S*)-варфарина, в идеале не требующая этапа его выделения из реакционной системы, представляется перспективной задачей для улучшения аналитических свойств электрохимических систем на основе CYP2C9. Такой подход может быть использован для выявления межлекарственных взаимодействий на уровне CYP2C9.

С помощью циклической вольтамперометрии и немодифицированных ПГЭ мы исследовали электрохимические свойства (*S*)-варфарина и (*S*)-7-гидроксиварфарина при их концентрации 100 мкМ в 100 мМ калий-фосфатном буфере (рН 7,4), содержащем 50 мМ NaCl и 1% (по объему) метанол, в диапазоне потенциалов от 0 до 1,2 В (отн. Ag/AgCl) (рисунок 27).

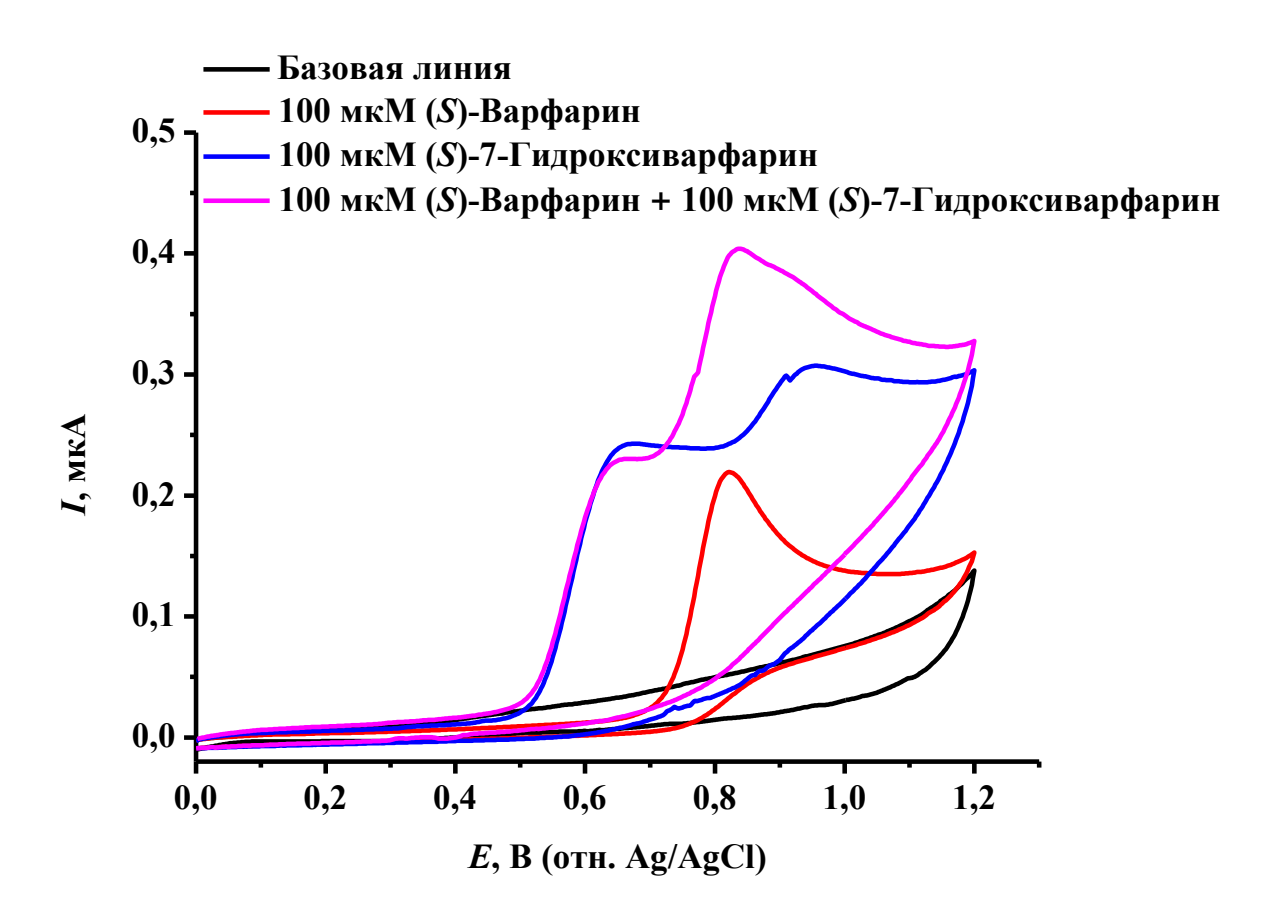


Рисунок 27. Циклические вольтамперограммы, зарегистрированные с помощью немодифицированных ПГЭ в 100 мМ калий-фосфатном буфере (рН 7,4), содержащем 50 мМ NaCl, 1% (по объему) метанол (—) и 100 мкМ (S)-варфарин (—), 100 мкМ (S)-7-гидроксиварфарин (—) или смесь 100 мкМ (S)-варфарина и 100 мкМ (S)-7-гидроксиварфарина (—). Скорость сканирования 100 мВ/с.

Ha представленном рисунке 27 (S)-варфарин и видно, что гидроксиварфарин необратимо окисляются на поверхности немодифицированных ПГЭ, о чем свидетельствует наличие пиков окисления и отсутствие пиков восстановления в исследуемом диапазоне потенциалов. (S)-варфарин имеет один пик окисления при потенциале около 0,820 В (отн. Ag/AgCl), что согласуется с ранее опубликованными результатами [241]. (S)-7-гидроксиварфарин имеет два пика окисления: первый – при потенциалах около 0,600 В (отн. Ag/AgCl) и второй – около 0,900 B (отн. Ag/AgCl). Мы предположили, что появление пика при 0,600 В обусловлено потенциале около электрохимическим гидроксифенильной группы (S)-7-гидроксиварфарина. В эквимолярной смеси (S)-

варфарина и (S)-7-гидроксиварфарина наблюдаются пики окисления при потенциалах около 0,600 В (отн. Ag/AgCl), идентичный пику окисления (S)-7-гидроксиварфарина в этом диапазоне потенциалов, и около 0,800 В (отн. Ag/AgCl), по-видимому, обусловленный суммарным вкладом процессов окисления (S)-варфарина и (S)-7-гидроксиварфарина в этом диапазоне потенциалов.

Таким образом, механизм электрохимического окисления (S)-варфарина отличается от механизма электрохимического окисления продукта его СҮР2С9-зависимого гидроксилирования — (S)-7-гидроксиварфарина.

Мы исследовали влияние pH 100 мМ калий-фосфатного фонового электролита, содержащего 50 мМ NaCl и 1% (по объему) метанол, на потенциалы пиков окисления (*S*)-7-гидроксиварфарина (рисунок 28 A).

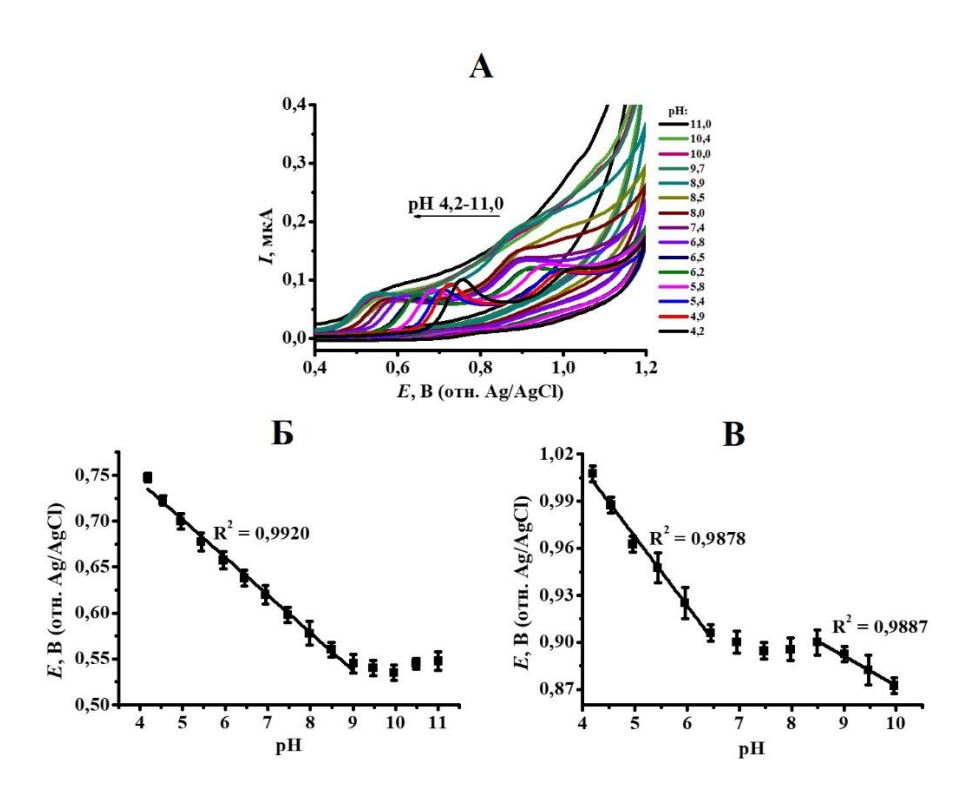


Рисунок 28. Циклические вольтамперограммы, зарегистрированные с помощью немодифицированных ПГЭ в 100 мМ калий-фосфатном фоновом электролите, содержащем 50 мМ NaCl, 1% (по объему) метанол и 10 мкМ (S)-7-гидроксиварфарин, при различных значениях рН (от 4,2 до 11,0). Скорость сканирования 100 мВ/с (A). Зависимости потенциала первого (E) и второго (E) пика окисления (E)-7-гидроксиварфарина от рН. Представлены средние значения из 3-5 независимых экспериментов E стандартные отклонения.

Потенциал первого пика окисления (S)-7-гидроксиварфарина, по-видимому, соответствующий электрохимическому окислению гидроксифенильной группы, варьировал от 0,75 В (отн. Ag/AgCl) до 0,55 В (отн. Ag/AgCl) в диапазоне рН 4,2-11,0 (рисунок 28 Б). При этом потенциал первого пика окисления (S)-7-гидроксиварфарина линейно зависел от рН в диапазоне 4,2-9,0 (R^2 = 0,9920), а при рН 9,0 наблюдалось отклонение от линейной зависимости и потенциал пика окисления незначительно изменялся при повышении рН. Можно предположить, что такая зависимость потенциала первого пика окисления от рН обусловлена влиянием диссоциации гидроксифенильной группы (S)-7-гидроксиварфарина при значении pK_a , близкого к рН 9,0 [249]. Тангенс угла наклона линейной зависимости потенциала пика окисления от рН в диапазоне 4,2-9,0 был рассчитан как -0,0411 \pm 0,0012 В/рН, что отличается от теоретического значения для электрохимического процесса, в котором участвует одинаковое количество электронов и протонов (-0,059 В/рН).

Потенциал второго пика окисления (S)-7-гидроксиварфарина в диапазоне pH 4,2-10,0 варьировал от 1 В (отн. Ag/AgCl) до 0,870 В (отн. Ag/AgCl) (рисунок 28 В). При pH выше 10,0 этот пик практически не определялся. Зависимость потенциала пика окисления от pH имела два линейных участка: в диапазонах pH 4,2-6,5 ($R^2 = 0.9878$) и 8,5-10,0 ($R^2 = 0.9887$). При значении pH около 6,5 наблюдалось отклонение от линейной зависимости. Первый линейный диапазон имел тангенс угла наклона -0,044 \pm 0,0022 В/pH, что также указывает на неодинаковое количество электронов и протонов, участвующих в электрохимическом процессе. Второй линейный диапазон имел тангенс угла наклона -0,019 \pm 0,0012 В/pH, также указывая на неодинаковое количество электронов и протонов, вовлеченных в электрохимический процесс. Отклонение от линейной зависимости потенциала пика окисления в диапазоне pH 6,5-8,5 может быть связано с достижением значений pH, близких к значению p K_a 4-гидроксигруппы, участвующей в электрохимическом процессе [250].

Стоит отметить, что электрохимические свойства производных кумарина, включая 7-гидроксипроизводные, хорошо изучены. Ранее было предположено, что

7-гидроксикумарин может полимеризоваться при электрохимическом окислении; однако тангенсы углов наклонов зависимостей пиков окисления от рН в диапазоне 2-7 свидетельствовали об одинаковом количестве электронов и протонов, участвующих в реакции, тогда как значения pK_a были примерно равны 7 [251, 252], что ниже значения pK_a , которое было определено нами. Суммируя полученные данные, можно предположить, что один из наиболее вероятных механизмов электрохимического окисления (S)-7-гидроксиварфарина на поверхности ПГЭ соответствует общему механизму окисления фенолов [174].

Для разработки (S)-7методики количественного определения гидроксиварфарина в ферментативных системах по пику его электрохимического окисления в области 0,600 B (отн. Ag/AgCl) мы использовали квадратно-волновую вольтамперометрию, поскольку данный метод имеет более высокое соотношение сигнал/шум, по сравнению с вольтамперометрией с линейной разверткой. В квадратно-волновой вольтамперометрии аналитический пик был зарегистрирован при 0.590 ± 0.020 В (отн. Ag/AgCl). Мы проанализировали амплитуду пика окисления (S)-7-гидроксиварфарина при данном потенциале в диапазоне концентраций этого соединения от 0 до 1 мкМ (рисунок 29 А).

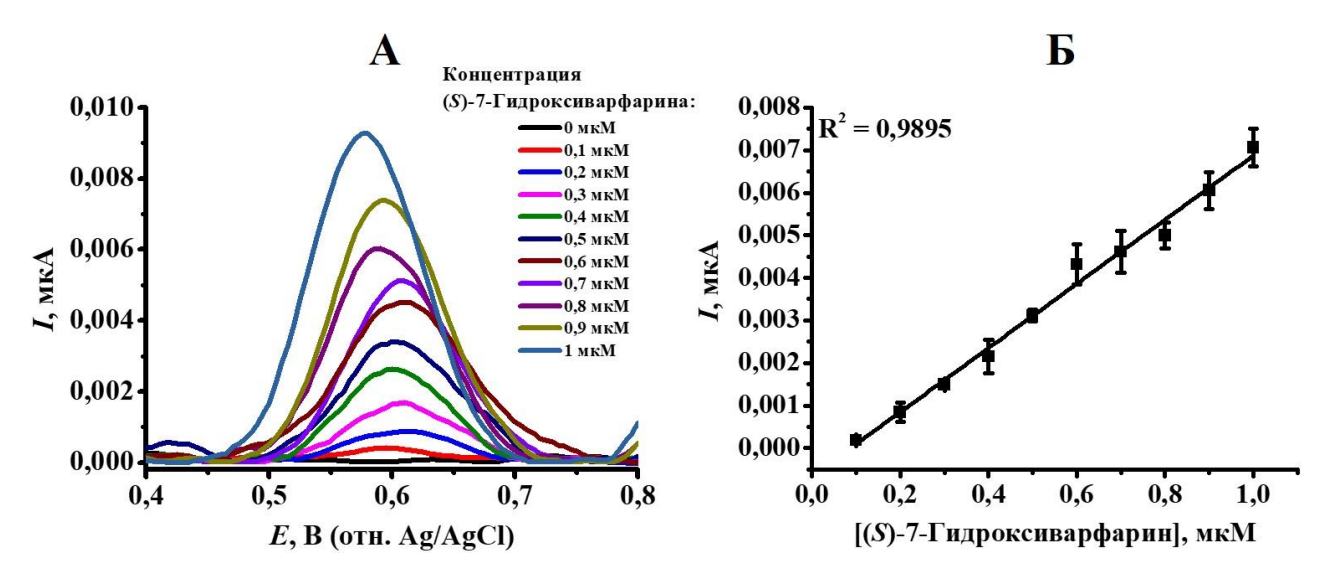


Рисунок 29. Квадратно-волновые вольтамперограммы, зарегистрированные с помощью немодифицированных ПГЭ в 100 мМ калий-фосфатном буфере (рН 7,4), содержащем 50 мМ NaCl, 1% (по объему) метанол и различные концентрации (S)-7-гидроксиварфарина (от 0 до 1 мкМ) (A). Частота 25 Γ ц, амплитуда 40 мВ, шаг потенциала 5 мВ. Зависимость тока пика окисления от концентрации (S)-7-гидроксиварфарина ($\mathbf{Б}$). Представлены средние значения из 3-5 независимых экспериментов \pm стандартные отклонения.

Амплитуда пика окисления линейно зависела от концентрации (S)-7-гидроксиварфарина (R^2 = 0,9895) и описывалась уравнением вида: I, мкА = (0,00754 \pm 0,00026), мкА/мкМ \times [(S)-7-гидроксиварфарин], М - (0,00066 \pm 0,00016), мкА (рисунок 29 Б).

Значения предела определяемых концентраций (*S*)-7-гидроксиварфарина и чувствительности были рассчитаны как 91 нМ и 0,0075 мкА/мкМ, соответственно.

Для оценки возможности количественного электрохимического определения (S)-7-гидроксиварфарина, образующегося в ходе СҮР2С9-зависимой электрокаталитической реакции, была использована электрохимическая система на основе рекомбинантного СҮР2С9 человека, иммобилизованного на поверхности модифицированных ПГЭ. Схожая электрохимическая система ранее применялась группой Gilardi для определения активности СҮР2С9 по отношению к (S)-варфарину, однако продукт ферментативной реакции определялся методом ВЭЖХ

[99]. Поскольку известно, что СҮР2С9 по отношению к (S)-варфарину характеризуется относительно невысоким значением k_{cat} [253], с целью наработки достаточного для определения количества (S)-7-гидроксиварфарина мы использовали для иммобилизации фермента ПГЭ DropSens с большей геометрической площадью рабочего электрода ($0,1256 \text{ см}^2$), по сравнению с геометрической площадью рабочего электрода ПГЭ «КолорЭлектроникс» ($0,0314 \text{ см}^2$).

Электрохимические свойства СҮР2С9, иммобилизованного на ПГЭ, модифицированных ДДАБ, были охарактеризованы с помощью циклической вольтамперометрии в насыщенном аргоном (анаэробные условия) 100 мМ калийфосфатном буфере (рН 7,4), содержащем 50 мМ NaCl при скорости сканирования 100 мВ/с (рисунок 30).

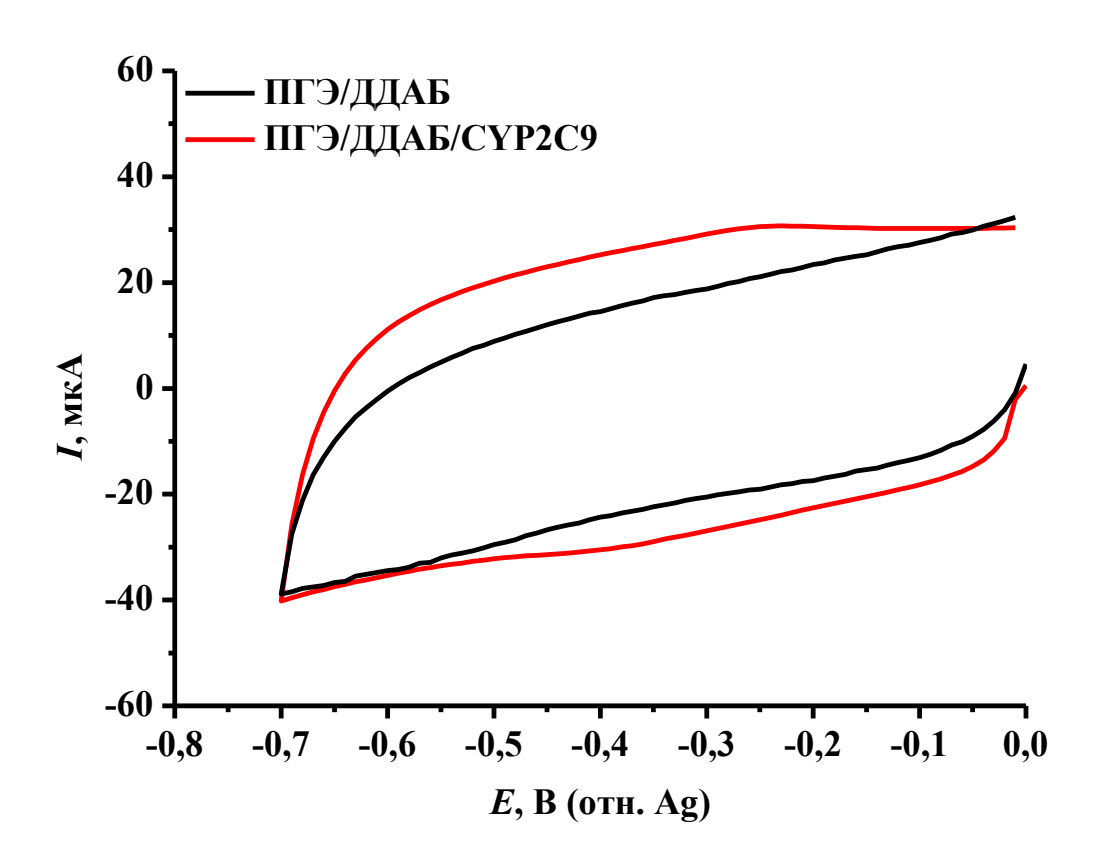


Рисунок 30. Циклические вольтамперограммы, зарегистрированные с помощью ПГЭ, модифицированного ДДАБ (—), и с иммобилизованным СҮР2С9 (—) в насыщенном аргоном 100 мМ калий-фосфатном буфере (рН 7,4), содержащем 50 мМ NaCl. Скорость сканирования 100 мВ/с.

Как показано на рисунке 30, циклические вольтамперограммы СҮР2С9 в анаэробных условиях имеют два пика, соответствующие процессам восстановления и окисления иона железа гема фермента. Значения $E_{\rm c}$ и $E_{\rm a}$ пиков были определены как -0,365 \pm 0,021 В (отн. Ag) и -0,250 \pm 0,014 В (отн. Ag), соответственно. Значение $E_{\rm m}$ было рассчитано как -0,308 \pm 0,035 В (отн. Ag). Значение ΔE рассчитано как 115 мВ. В соответствии с моделью Лавирона, значение $k_{\rm s}$ при скорости сканирования 100 мВ/с и α 0,5 было определено как 0,8 \pm 0,2 с⁻¹. В соответствии с уравнением 10, количество электроактивного СҮР2С9 было рассчитано из циклических вольтамперограмм как 26,1 \pm 9,5 пмоль.

Мы провели ферментативную электрокаталитическую реакцию ПО отношению к 50 мкМ (S)-варфарину в аэробных условиях при контролируемом потенциале рабочего ферментного электрода -0,6 В (отн. Ад) в течение 60 мин. Мы также оценили возможный вклад АФК в возможное окисление (S)-варфарина и образование продуктов реакции, электроактивных при потенциалах, близких к потенциалам окисления (S)-7-гидроксиварфарина. С этой целью мы провели неферментативную электрокаталитическую реакцию по отношению к 50 мкМ (S)варфарину в течение 60 мин, используя электрод, модифицированный ДДАБ, без фермента. На рисунке 31 показано, что после электрокаталитической реакции с ферментным электродом по отношению к 50 мкМ (S)-варфарину регистрируется пик электрохимического окисления при потенциале, идентичном потенциалу окисления (S)-7-гидроксиварфарина (около 0,6 В (отн. Ag/AgCl)), тогда как после проведения электрокаталитической реакции без фермента на электроде по отношению к 50 мкМ (S)-варфарину пик электрохимического окисления в области этого потенциала отсутствует.

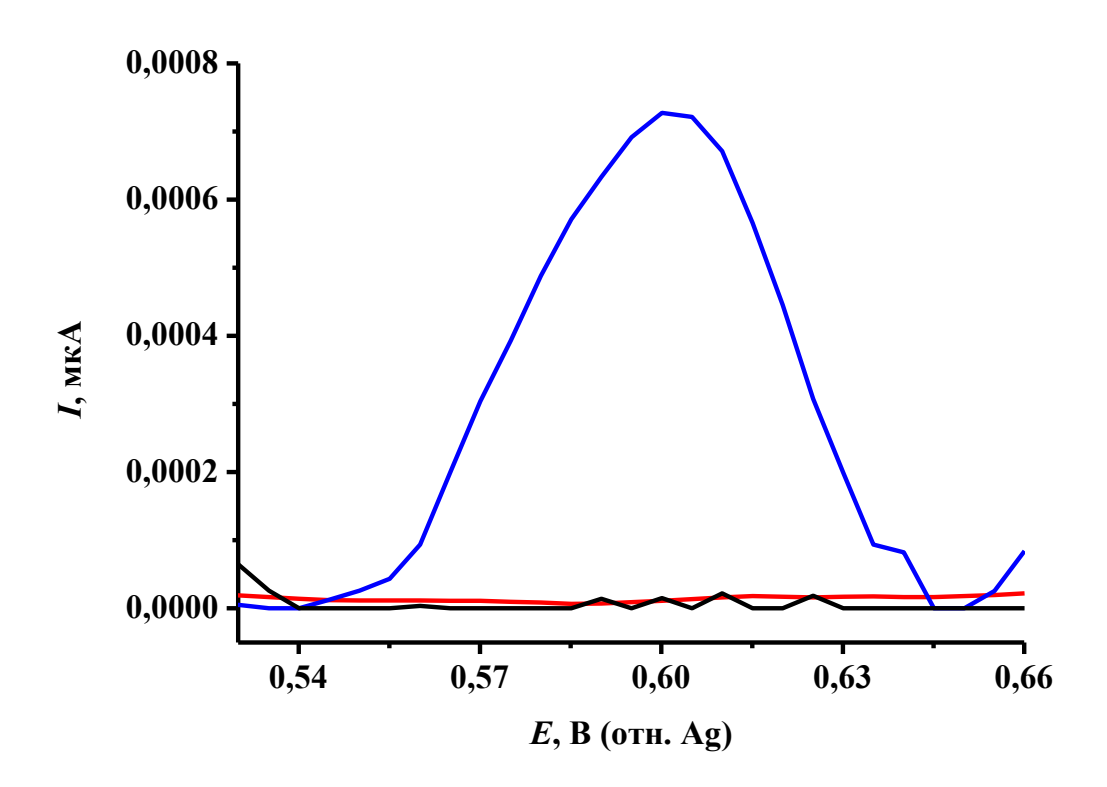


Рисунок 31. Квадратно-волновые вольтамперограммы, зарегистрированные с помощью немодифицированных ПГЭ в 100 мМ калий-фосфатном буфере (рН 7,4), содержащем 50 мМ NaCl, 1% (по объему) метанол и 50 мкМ (S)-варфарин, до (—) или после проведения электрокаталитической реакции в течение 60 мин при фиксированном потенциале -0,6 В (отн. Ag) рабочего электрода, модифицированного ДДАБ (—) и с иммобилизованным СҮР2С9 (—). Частота 25 Гц, амплитуда 40 мВ, шаг потенциала 5 мВ.

Таким образом, можно сделать вывод о том, что в сконструированной электрохимической системе образование (S)-7-гидроксиварфарина происходит при участии CYP2C9, а не за счет окисления (S)-варфарина АФК, генерируемыми в процессе электрокатализа.

Мы исследовали зависимость начальной скорости СҮР2С9-зависимого образования (S)-7-гидроксиварфарина от концентрации (S)-варфарина в электрохимической системе. Зависимость, представленная на рисунке 32, имела гиперболический характер ($R^2 = 0.9948$) и описывалась уравнением вида: V, мин⁻¹

 $=((0,10022\pm0,00196), \,\mathrm{мин^{-1}}\times[(S)-\mathrm{Варфарин}], \,\mathrm{мкM})\,/\,((3,03262\pm0,37767), \,\mathrm{мкM}+[(S)-\mathrm{Варфарин}], \,\mathrm{мкM}).$

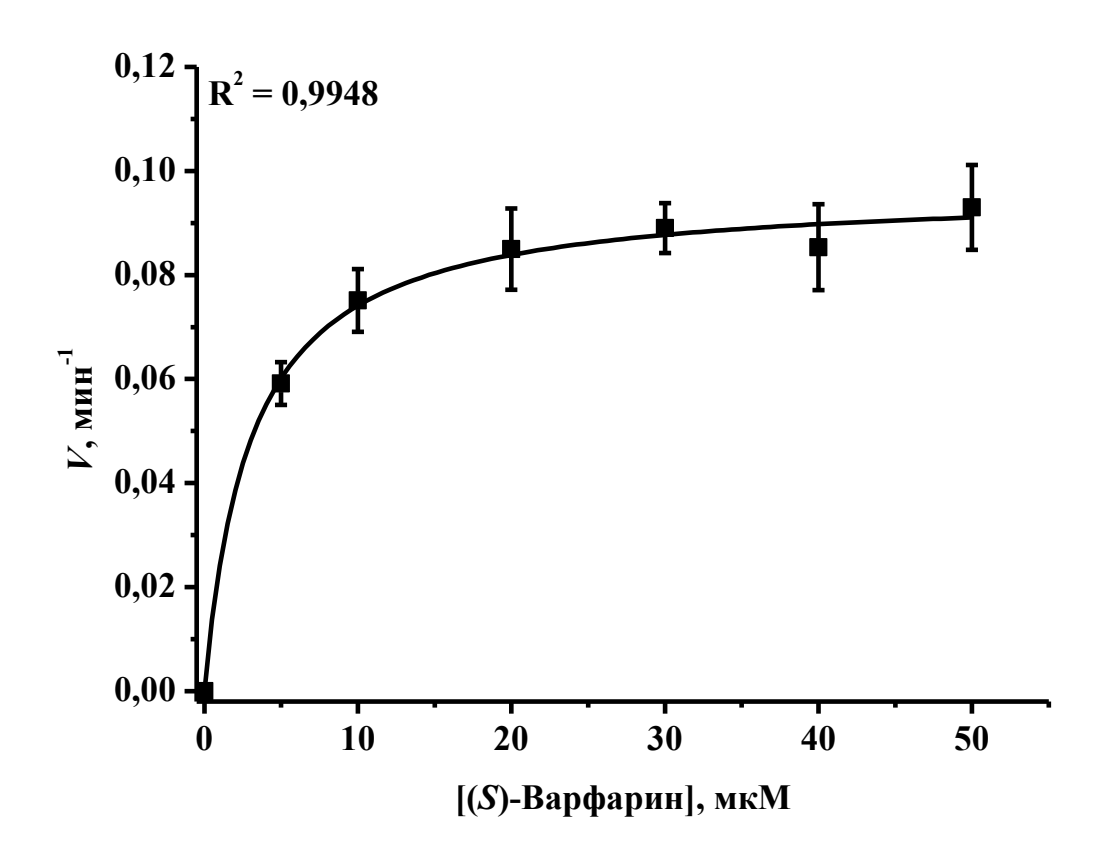


Рисунок 32. Зависимость начальной скорости СҮР2С9-зависимого образования (S)-7-гидроксиварфарина от концентрации (S)-варфарина в электрохимической системе. Представлены средние значения из 3-5 независимых экспериментов \pm стандартные отклонения.

Стоит отметить, что при концентрациях (*S*)-варфарина ниже 5 мкМ концентрация образующегося в ходе СҮР2С9-зависимой электрокаталитической реакции (*S*)-7-гидроксиварфарина была ниже предела определяемых концентраций и не могла быть достоверно зарегистрирована с помощью разработанного подхода. Эта проблема может быть решена с помощью использования подходящих модификаторов электродов для увеличения чувствительности, что может быть задачей для дальнейшего улучшения аналитических характеристик предложенного нами подхода.

Из зависимости, представленной на рисунке 32, мы определили параметры CYP2C9 стационарной ПО (S)-варфарину кинетики отношению К электрохимической системе. Значения $V_{\rm max}$ и $K_{\rm M}$ были определены как $0{,}100\pm0{,}002$ мин $^{-1}$ и 3,03 \pm 0,38 мкМ, соответственно. Отношение $V_{\rm max}/K_{\rm M}$ было рассчитано как 0,033 мин-1 мкМ-1. Несмотря на то, что иммобилизация ферментов может приводить к значительным изменениям кинетических параметров, наши данные оказались сопоставимы с аналогичными параметрами стационарной кинетики, альтернативных полученными ранее c помощью СҮР2С9-содержащих ферментативных систем [253-257]. Для сравнения, в таблице 2 представлены кинетические параметры CYP2C9 по отношению к (S)-варфарину, полученные с помощью различных ферментативных систем.

Таблица 2. Сравнение кинетических параметров СҮР2С9 по отношению к (*S*)-варфарину, полученных с помощью различных ферментативных систем.

Ферментативная система	$V_{ m max}$, мин $^{ ext{-}1}$	Км, мкМ	$V_{ m max}/K_{ m M},$ мин $^{-1}$ мк ${ m M}^{-1}$	Ссылка
Реконструированная система	$0,25 \pm 0,004$	$4,1 \pm 0,3$	0,06	[253]
Микросомальная	$0,22 \pm 0,007$	18 ± 2	0,0122	[254]
Бакулосомы	0,0641 ± 0,0135	2,5 ± 1,1	0,0282	[255]
Клетки НерG2, экспрессирующие СҮР2С9 и его редокс-партнеры	$0,31 \pm 0,01$	$3,3 \pm 0,1$	0,0925	[256]

Продолжение таблицы 2

Клетки COS-7, экспрессирующие СҮР2С9 и его редокс-партнеры	1.8 ± 0.04	$2,92 \pm 0,25$	0,61	[257]
Электрохимическая система	$0,100 \pm 0,002$	$3,03 \pm 0,38$	0,033	Данная работа

Таким образом, продемонстрировали МЫ возможность оценки электрокаталитической активности CYP2C9 по отношению к (S)-варфарину путем электрохимического определения (S)-7-гидроксиварфарина, количественного являющегося продуктом ферментативной реакции. Мы предполагаем, что межлекарственных предложенный перспективен ДЛЯ выявления подход взаимодействий на уровне СҮР2С9. Дальнейшее улучшение аналитических характеристик предложенного подхода может быть направлено на увеличение чувствительности методики путем использования химических модификаторов электродов, служащих ДЛЯ количественного определения (S)-7гидроксиварфарина.

3.1.3. Биэлектродная электрохимическая система для определения каталитической активности СҮР2С9 по отношения к диклофенаку

Диклофенак часто используется как маркерный субстрат СҮР2С9 при оценке возможного возникновения межлекарственных взаимодействий на уровне этого фермента или для изучения взаимодействия продуктов растительного происхождения с СҮР2С9. Мы предположили, что различия в электрохимических свойствах диклофенака и 4'-гидроксидиклофенака, образующегося при участии СҮР2С9, могут быть использованы для разработки электрохимической системы для определения активности данного изофермента цитохрома Р450.

Электрохимические свойства 4'-гидроксидиклофенака были охарактеризованы нами на немодифицированных ПГЭ методом циклической вольтамперометрии в диапазоне от -0,7 до 1,2 В (отн. Ag/AgCl) (рисунок 33).

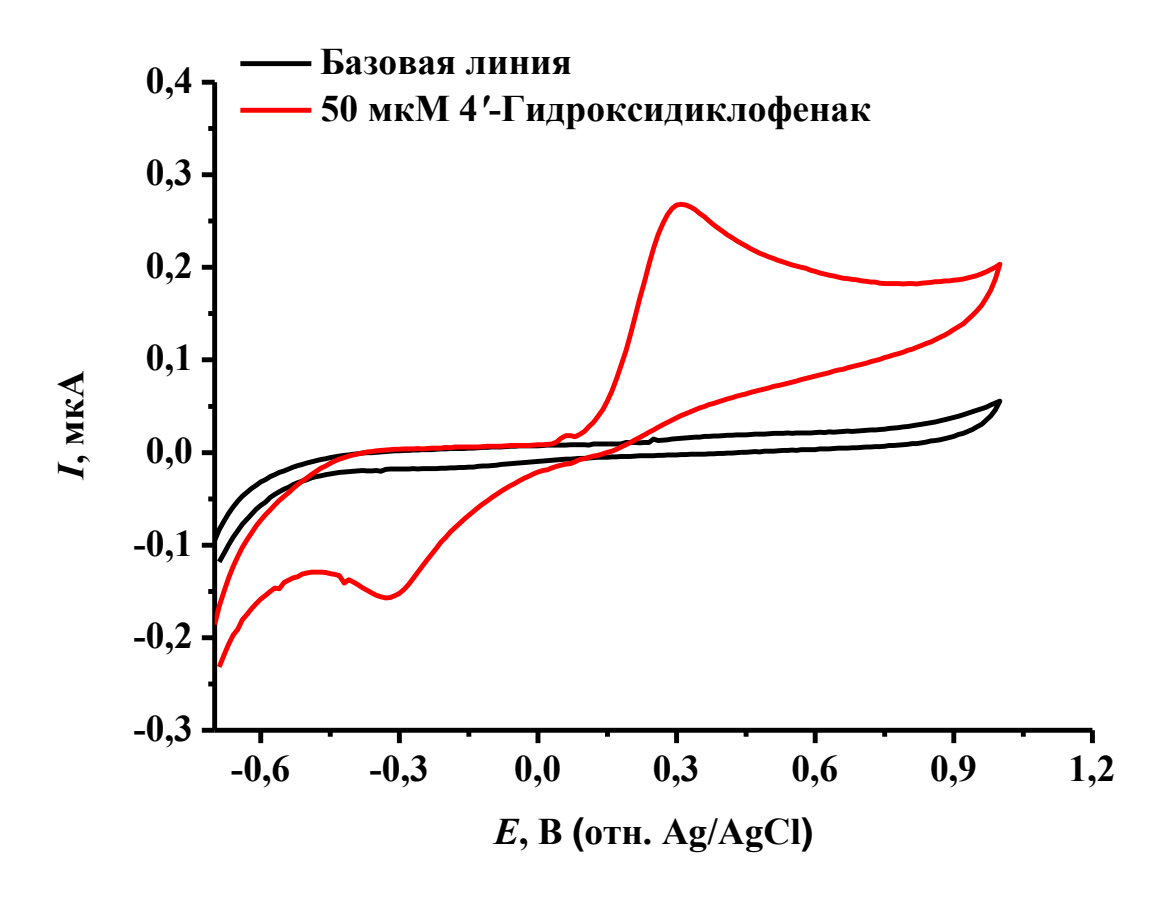


Рисунок 33. Циклические вольтамперограммы, зарегистрированные с помощью немодифицированных ПГЭ в 100 мМ калий-фосфатном буфере (рН 7,4), содержащем 50 мМ NaCl, 1% (по объему) метанол (—) и 50 мкМ 4′-гидроксидиклофенак (—). Скорость сканирования 100 мВ/с.

Циклическая вольтамперограмма 4'-гидроксидиклофенака характеризуется наличием пика окисления при 0.297 ± 0.012 B (отн. Ag/AgCl) и пика восстановления при -0.308 ± 0.018 В (отн. Ag/AgCl). Мы предположили, что соответствующие пики отражают процесс окисления 4'-гидроксидиклофенака, приводящий к образованию хинониминного производного, и его последующее восстановление (рисунок 34). Полученная c помощью немодифицированных ПГЭ характеристика 4'-гидроксидиклофенака согласуется электрохимического процесса ДЛЯ

характеристикой электрохимического процесса для этого соединения, полученной ранее с помощью СУЭ [187].

Рисунок 34. Предполагаемый механизм электрохимического окисления 4'-гидроксидиклофенака.

Мы сравнили электрохимические свойства диклофенака (50 мкМ), 4'-гидроксидиклофенака (50 мкМ) и их эквимолярной смеси в 100 мМ калийфосфатном буфере (рН 7,4), содержащем 50 мМ NaCl и 1% (по объему) метанол, в области потенциалов от 0 до 1,2 В (отн. Ag/AgCl) методом циклической вольтамперометрии (рисунок 35).

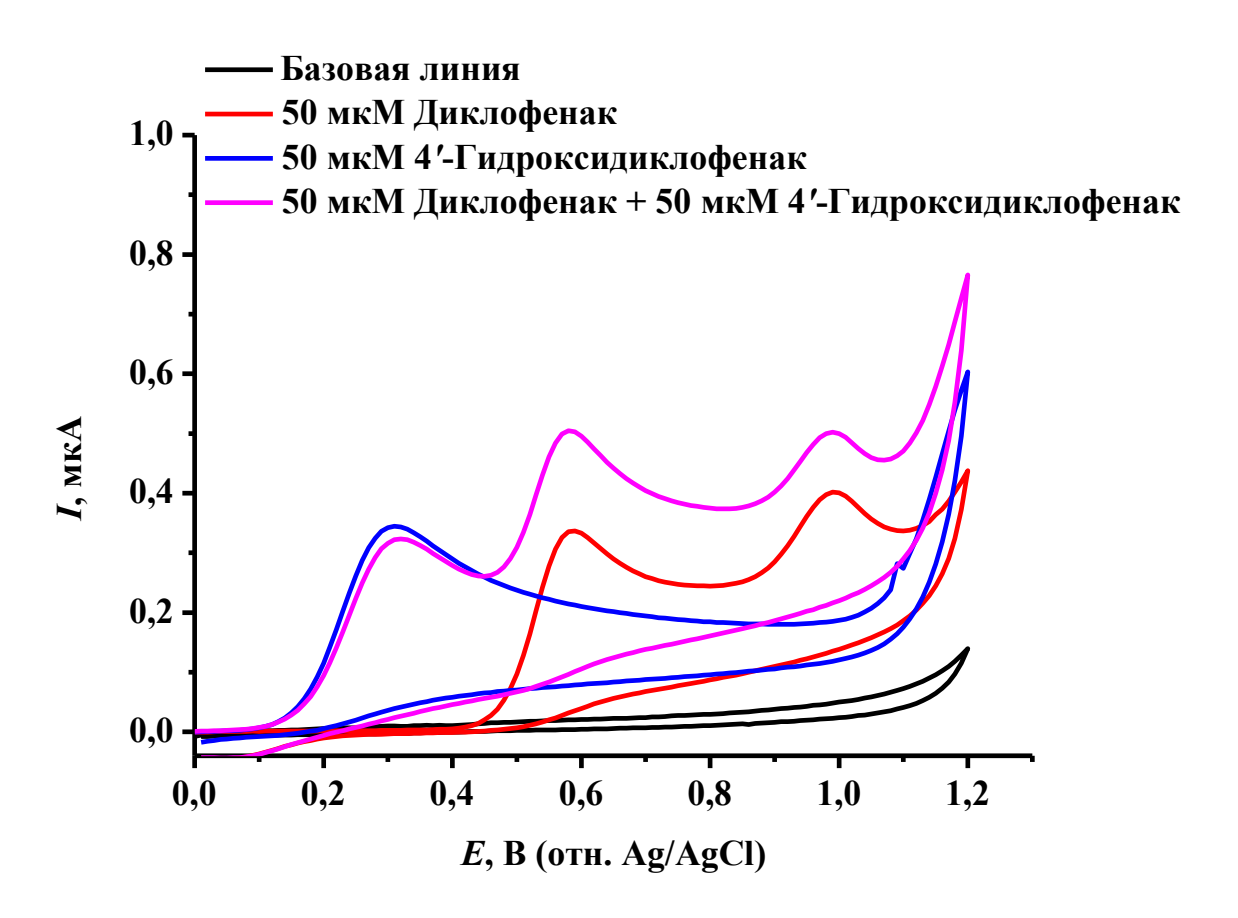


Рисунок 35. Циклические вольтамперограммы, зарегистрированные с помощью немодифицированных ПГЭ в 100 мМ калий-фосфатном буфере (рН 7,4), содержащем 50 мМ NaCl, 1% (по объему) метанол (—) и 50 мкМ диклофенак (—), 50 мкМ 4'-гидроксидиклофенак (—) или смесь 50 мкМ диклофенака и 50 мкМ 4'-гидроксидиклофенака (—). Скорость сканирования 100 мВ/с.

В данной области потенциалов для диклофенака были зарегистрированы два пика окисления — при 0.587 ± 0.013 В (отн. Ag/AgCl) и 0.992 ± 0.015 В (отн. Ag/AgCl). Пик в области 0.6 В (отн. Ag/AgCl), по-видимому, отражает процесс окисления диклофенака, протекающий по ранее установленному механизму при рН 7 [186] (рисунок 36).

Рисунок 36. Предполагаемый механизм электрохимического окисления диклофенака [186].

В эквимолярной смеси диклофенака и 4'-гидроксидиклофенака наблюдался пик окисления в области 0,3 В (отн. Ag/AgCl), аналогичный пику окисления 4'-гидроксидиклофенака, и пики в области 0,6 В (отн. Ag/AgCl) и 1 В (отн. Ag/AgCl), аналогичные пикам окисления диклофенака. Как показано на рисунке 36, в электрохимическом окислении диклофенака участвует иминогруппа. Повидимому, образующийся хинониминный продукт вследствие окисления 4'-гидроксидиклофенака не способен подвергаться дальнейшему окислению по механизму, характерному для диклофенака, о чем свидетельствует отсутствие пика окисления в области 0,6 В (отн. Ag/AgCl) и 1 В (отн. Ag/AgCl).

Таким образом, способность 4'-гидроксидиклофенака подвергаться электрохимическому окислению при потенциале, отличном от потенциалов окисления диклофенака, дает возможность их совместного определения в смеси.

4′-Для разработки методики количественного определения гидроксидиклофенака МЫ использовали квадратно-волновой метод вольтамперометрии. Одним эффективных способов увеличения ИЗ чувствительности электрохимического анализа И снижения пределов определяемых концентраций аналитов является модификация электродов углеродными наноматериалами [258]. С целью повышения чувствительности электрохимического определения 4'-гидроксидиклофенака и снижения предела определяемых концентраций этого аналита для модификации рабочих электродов мы использовали водную дисперсию коммерчески доступных ОУНТ TUBALLTM ВАТТ Н₂О. На квадратно-волновых вольтамперограммах, зарегистрированных в

100 мМ калий-фосфатном буфере (рН 7,4), содержащем 50 мМ NaCl, 1% (по объему) метанол и различные концентрации 4'-гидроксидиклофенака (от 0,1 до 1 мкМ), с помощью электродов, модифицированных ОУНТ, мы наблюдали концентрационно-зависимые пики окисления в области 0,110 ± 0,010 В (отн. Ag/AgCl) (рисунок 37 A). При этом, на немодифицированных электродах регистрируются аналогичные концентрационно-зависимые пики, НО потенциалами окисления 0.275 ± 0.025 B (отн. Ag/AgCl) (рисунок 37 B). Смещение потенциала пика окисления 4'-гидроксидиклофенака в сторону отрицательных значений на электродах, модифицированных ОУНТ, по сравнению с потенциалом аналогичного пика, регистрируемого на немодифицированных электродах, указывает на каталитические свойства ОУНТ и их способность облегчать процесс электрохимического окисления 4'-гидроксидиклофенака. Panee Salinas-Torres и существенное соавт. регистрировали смещение потенциалов окисления аскорбиновой кислоты, дофамина И гидрохинона электродах, на модифицированных ОУНТ, по сравнению с немодифицированными электродами, в сторону отрицательных значений вследствие каталитических свойств данного модификатора [259]. Аналогичное наблюдение было сделано Habibi и соавт. при исследовании процессов окисления кодеина и кофеина [260]. Амплитуда пиков окисления 4'-гидроксидиклофенака как на модифицированных, так и немодицированных электродах линейно зависела от концентрации этого аналита (рисунки 37 Б и 37 Г, соответственно).

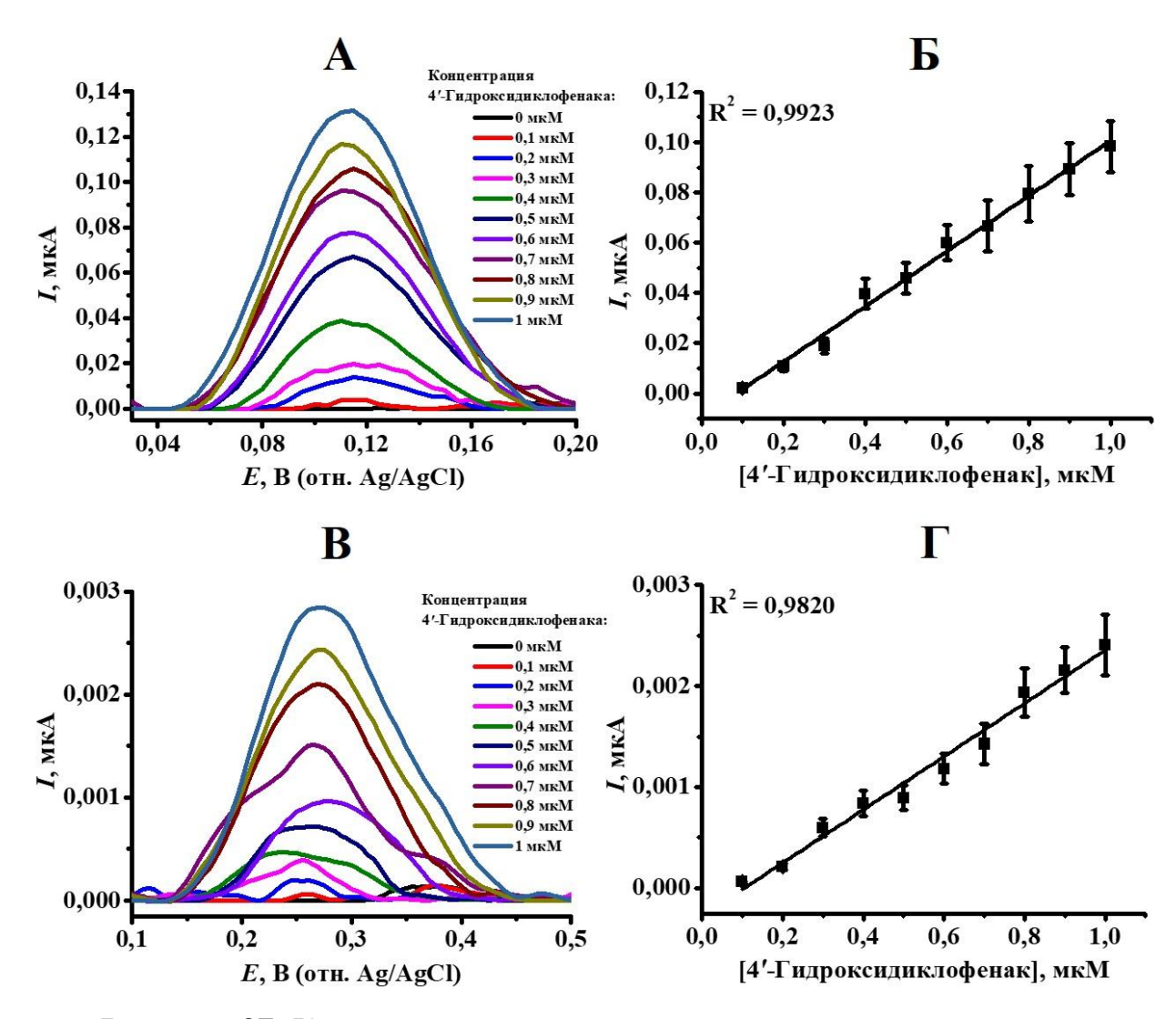


Рисунок 37. Квадратно-волновые вольтамперограммы, зарегистрированные с помощью ПГЭ, модифицированных ОУНТ (**A**), и немодифицированных ОУНТ (**B**) в 100 мМ калий-фосфатном буфере (рН 7,4), содержащем 50 мМ NaCl, 1% (по объему) метанол и различные концентрации 4'-гидроксидиклофенака (от 0 до 1 мкМ). Частота 25 Гц, амплитуда 40 мВ, шаг потенциала 5 мВ. Зависимости тока пика окисления на ПГЭ, модифицированных ОУНТ (**Б**), и немодифицированных ОУНТ (**Г**) от концентрации 4'-гидроксидиклофенака. Представлены средние значения из 3-5 независимых экспериментов ± стандартные отклонения.

Зависимость амплитуды пика окисления от концентрации 4′-гидроксидиклофенака в случае использования электродов, модифицированных ОУНТ, описывалась уравнением вида: I, мк $A = (0,11004 \pm 0,00324)$, мкA/мк $M \times [4′-Гидроксидиклофенак], мк<math>M - (0,00938 \pm 0,00201)$, мкA ($R^2 = 0,9923$); и в случае

использования немодифицированных электродов: I, мкА = $(0,00263 \pm 0,00012)$, мкА/мкМ × [4'-Гидроксидиклофенак], мкМ – $(0,00028 \pm 0,00007)$, мкА ($R^2 = 0,9820$). Из полученных зависимостей были определены значения чувствительности, которые составили 0,11 мкА/мкМ и 0,003 мкА/мкМ — в случае использования модифицированных и немодифицированных электродов, соответственно. Значения предела определяемых концентраций были определены как 85 нМ в случае использования модифицированных и 120 нМ в случае использования немодифицированных электродов.

Таким образом, модификация электродов ОУНТ значительно улучшает как электрокаталитические свойства электродов, так и аналитические характеристики определения 4'-гидроксидиклофенака.

В дальнейшем, мы оценили применимость электрохимического определения 4'-гидроксидиклофенака для исследования каталитической активности СҮР2С9, иммобилизованного на ПГЭ, модифицированных ДДАБ, по отношению к диклофенаку. Электрохимические свойства СҮР2С9, иммобилизованного на ПГЭ, модифицированных ДДАБ, были определены методом циклической вольтамперометрии (рисунок 38). Циклическая вольтамперограмма СҮР2С9, зарегистрированная анаэробных условиях, характеризуется пиком восстановления при $E_{\rm c}$ -0,383 \pm 0,010 В (отн. Ag/AgCl) и пиком окисления при - 0.252 ± 0.006 В (отн. Ag/AgCl). Значение $E_{\rm m}$ составило -0.318 ± 0.010 В (отн. Ag/AgCl). Значение ΔE рассчитано как 131 мВ. В соответствии с моделью Лавирона, значение k_s при скорости сканирования 100 мB/с и α 0,5 было определено как 0.64 ± 0.07 с⁻¹. В соответствии с уравнением 10, количество электроактивного СҮР2С9 на модифицированном электроде, потенциально способного участвовать в каталитическом процессе по отношению к диклофенаку, было определено как 0.18 ± 0.02 пмоль.

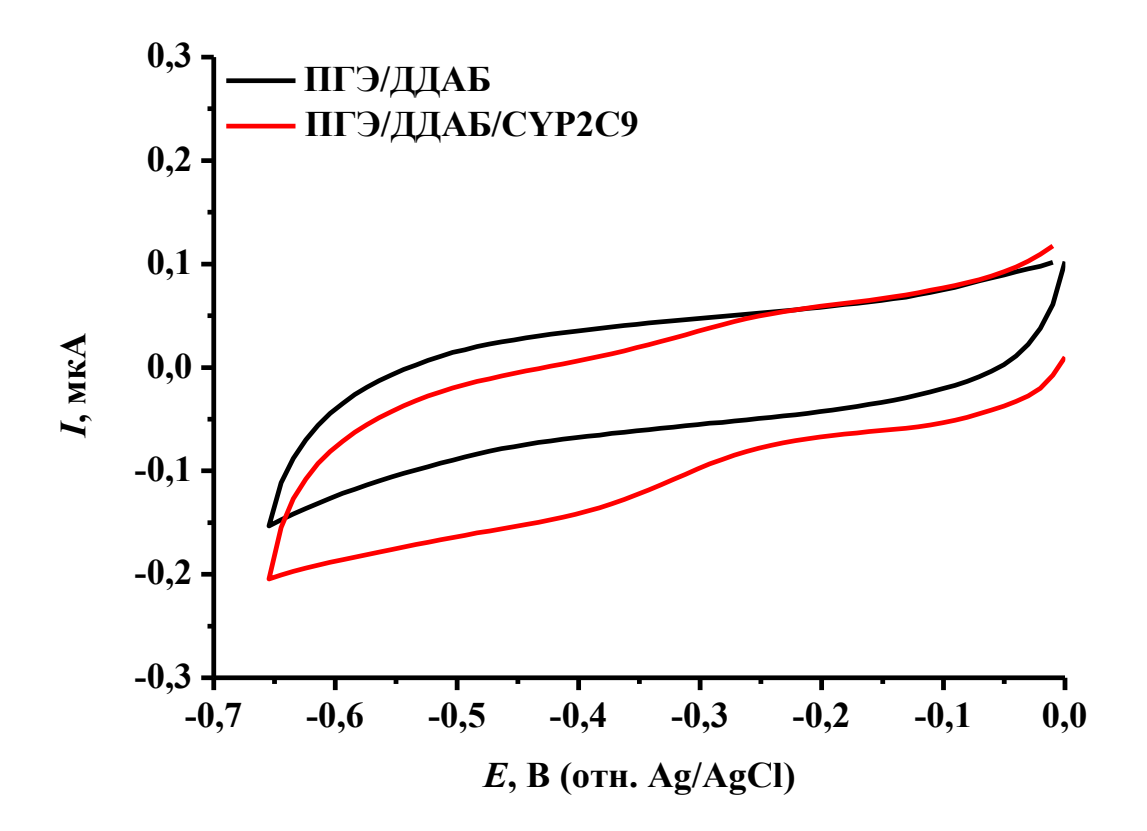


Рисунок 38. Циклические вольтамперограммы, зарегистрированные с помощью ПГЭ, модифицированного ДДАБ (—), и с иммобилизованным СҮР2С9 (—) в насыщенном аргоном 100 мМ калий-фосфатном буфере (рН 7,4), содержащем 50 мМ NaCl. Скорость сканирования 100 мВ/с.

Мы электрокаталитическую реакцию CYP2C9, провели иммобилизованным на ПГЭ, модифицированном ДДАБ, в присутствии 100 мкМ диклофенака при фиксированном потенциале рабочего электрода -0,6 В (отн. Ag/AgCl) в течение 90 мин. В качестве контроля электрокаталитическая реакция была проведена при тех же условиях и с той же концентрацией диклофенака с ПГЭ, После модифицированным ДДАБ, НО без фермента. окончания электрокаталитической реакции мы сравнили амплитуды окислительных пиков, зарегистрированных с помощью квадратно-волновой вольтамперометрии, в 4′электрохимическому области, соответствующей окислению гидроксидиклофенака (рисунок 39).

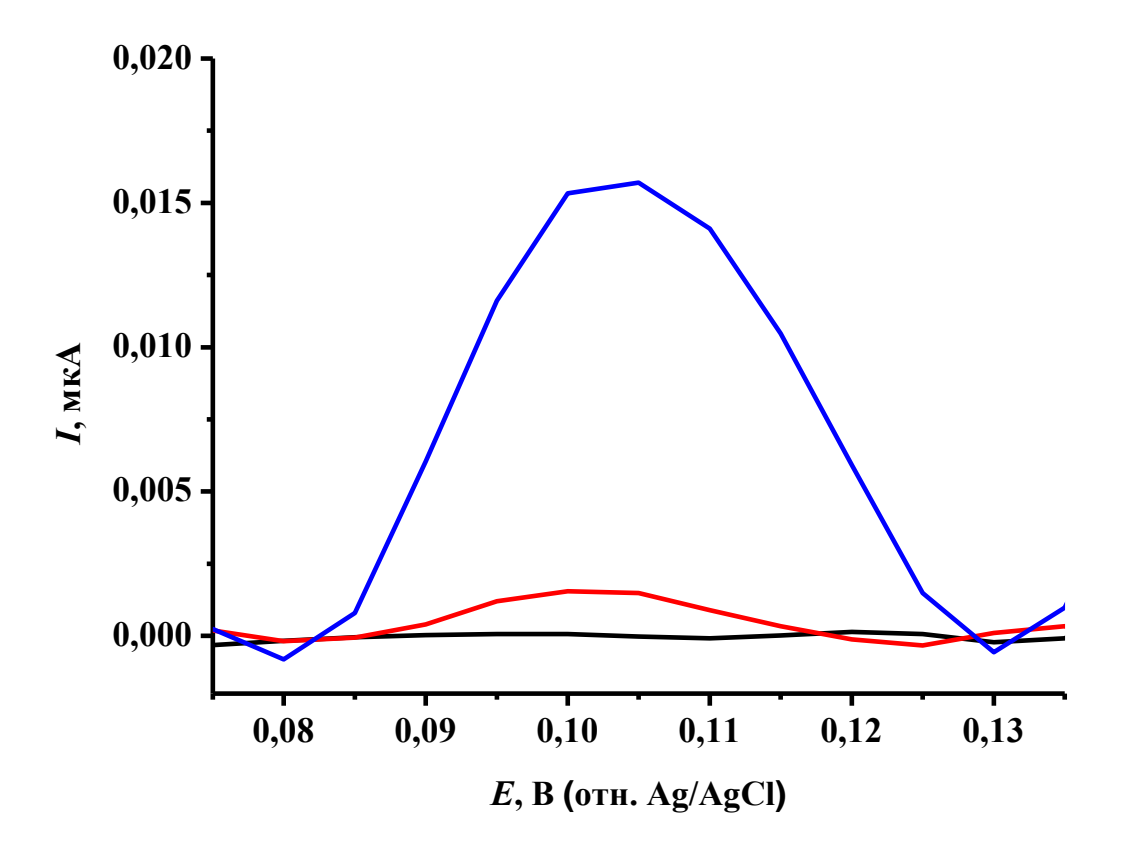


Рисунок 39. Квадратно-волновые вольтамперограммы, зарегистрированные с помощью ПГЭ, модифицированных ОУНТ, в 100 мМ калий-фосфатном буфере (рН 7,4), содержащем 50 мМ NaCl, 1% (по объему) метанол и 100 мкМ диклофенак, до (—) или после проведения электрокаталитической реакции в течение 90 мин при фиксированном потенциале -0,6 В (отн. Ag/AgCl) рабочего электрода, модифицированного ДДАБ (—) и с иммобилизованным СҮР2С9 (—). Частота 25 Гц, амплитуда 40 мВ, шаг потенциала 5 мВ.

Как видно на рисунке 39, после проведения электрокаталитической реакции области ферментным электродом регистрируется пик В потенциалов, соответствующей окислению 4'-гидроксидиклофенака. Из калибровочной зависимости, представленной на рисунке 37 Б, мы определили количество образующегося 4'-гидроксидиклофенака, которое соответствовало гидроксилирования диклофенака под действием CYP2C9 равной 4.74 ± 0.42 мин⁻¹. Ранее V гидроксилирования диклофенака под действием исследуемого нами СҮР2С9 при концентрации субстрата 100 мкМ была определена с помощью

реконструированной ферментативной системы как 4.25 ± 1.66 мин⁻¹ [211]. Таким образом, полученное нами значение V гидроксилирования диклофенака под действием СҮР2С9 в электрохимической системе хорошо согласуется со значением аналогичного параметра этого фермента, полученного с помощью альтернативной системы. В случае использования ПГЭ, модифицированного без ДДАБ, фермента, после электрокаталитической реакции также регистрируется пик в области потенциалов окисления 4'-гидроксидиклофенака, но со значительно меньшей амплитудой, по сравнению с амплитудой тока, регистрируемой после проведения электрокаталитической реакции с ферментом. Поскольку до электрокаталитической реакции не наблюдалось пика в данной области потенциалов, мы предположили, что данный пик может свидетельствовать о наличии гидроксилированных по различным положениям ароматических колец производных диклофенака, образующихся под действием АФК, формирование которых обусловлено электрокаталитическим восстановлением кислорода. Таким основной 4'образом, показали, что вклад В формирование МЫ CYP2C9, гидроксидиклофенака В электрохимической системе вносит иммобилизованный на электроде.

Следующим этапом работы было определение параметров стационарной кинетики СҮР2С9 в электрохимической системе по отношению к диклофенаку. Мы образования 4'определили начальных скоростей значения гидроксидиклофенака в электрохимической системе под действием СҮР2С9 при различных концентрациях диклофенака (10-100 мкМ) (рисунок 40). Отметим, что при меньшей концентрации диклофенака образующийся процессе 4'-гидроксидиклофенак ферментативной реакции не удается достоверно зафиксировать вследствие достижения предела определяемых концентраций. Зависимость начальной скорости СҮР2С9-зависимого образования гидроксидиклофенака от концентрации диклофенака имела гиперболический характер ($R^2 = 0.9939$) и описывалась уравнением вида: V, мин⁻¹ = ((5,3489 \pm 0,1253), мин $^{-1}$ × [Диклофенак], мкМ) / ((11,663 ± 0,917), мкМ + [Диклофенак], мкМ). Таким

образом, значение $V_{\rm max}$ было определено как 5,35 \pm 0,13 мин⁻¹, а значение $K_{\rm M}$ фермента по отношению к субстрату было определено как $11,66 \pm 0,92$ мкМ.

Значение $V_{\rm max}/K_{\rm M}$ СҮР2С9 в электрохимической системе по отношению к диклофенаку рассчитано как 0,46 мин $^{-1}$ мкМ $^{-1}$.

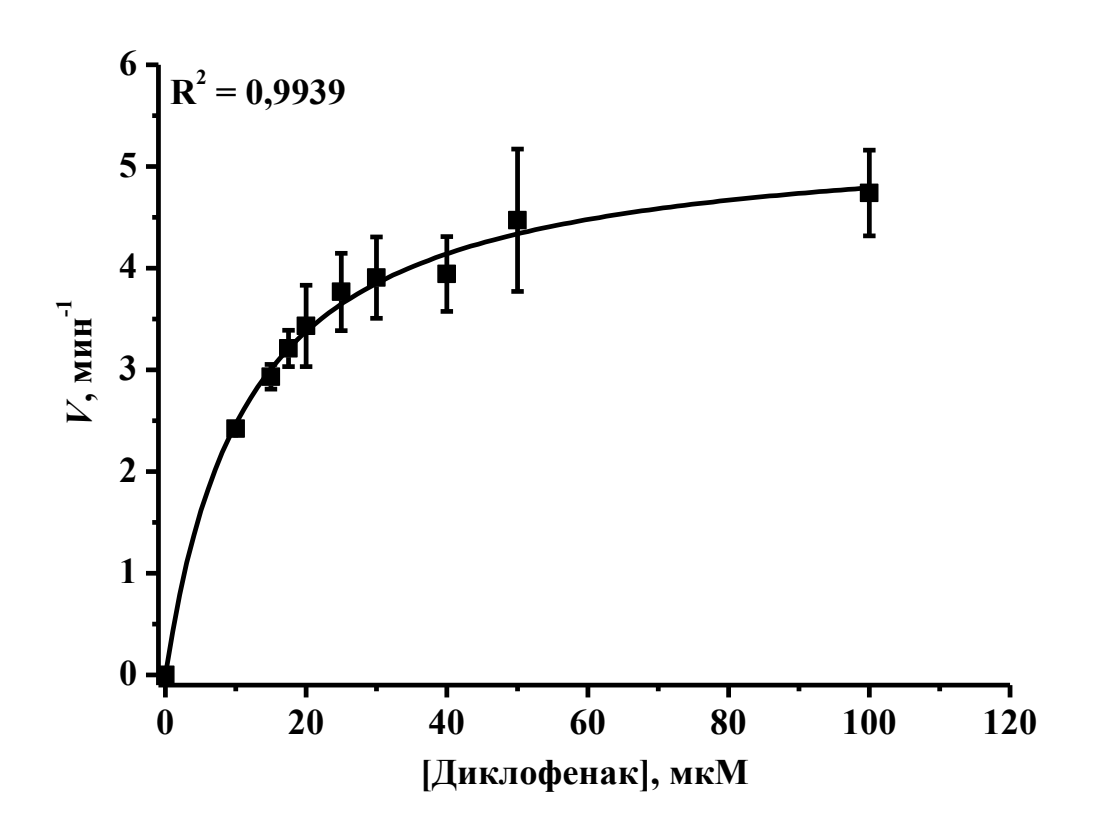


Рисунок 40. Зависимость начальной скорости СҮР2С9-зависимого образования 4'-гидроксидиклофенака от концентрации диклофенака в электрохимической системе. Представлены средние значения из 3-5 независимых экспериментов \pm стандартные отклонения.

Мы сравнили полученные нами с помощью электрохимической системы кинетические параметры СҮР2С9 по отношению к диклофенаку с кинетическими параметрами, полученными с помощью других СҮР2С9-содержащих ферментативных систем (таблица 3). Согласно данным других работ, значение $V_{\rm max}$ СҮР2С9 по отношению к диклофенаку находится в широком диапазоне — 14,8-37,2 мин⁻¹ и превышает аналогичный параметр, полученный нами. Значение $K_{\rm M}$ находится в диапазоне 2,33-30 мкМ, таким образом, данный параметр

стационарной кинетики, полученный нами, укладывается в указанный диапазон. При этом значение $V_{\rm max}/K_{\rm M}$ для электрохимической системы меньше данного значения, полученного с помощью других систем (0,9-11,71 мин⁻¹ мкМ⁻¹), что обусловлено вкладом $V_{\rm max}$, которая зависит, в том числе, и от условий проведения ферментативных реакций.

Таблица 3. Сравнение кинетических параметров СҮР2С9 по отношению к диклофенаку, полученных с помощью различных ферментативных систем.

Ферментативная	$V_{ m max}$, мин $^{ ext{-}1}$	<i>K</i> _м , мкМ	$V_{ m max}/K_{ m M},$	Ссылка
система			мин ⁻¹ мкМ ⁻¹	
Реконструированная	27 ± 1	30 ± 3	0,9	[261]
RECO®*	$16,8 \pm 0,9$	16 ± 2	1,1	[261]
Бакулосомы	29 ± 2	$5,1 \pm 0,9$	5,7	[261]
Суперсомы	14.8 ± 0.4	$2,6 \pm 0,3$	5,7	[261]
Микросомы с СҮР2С9	$37,2 \pm 3,7$	$5,5 \pm 0,4$	$6,9 \pm 0,8$	[188]
и CPR человека,				
коэкспрессированным				
и в дрожжах				
Клетки COS-7,	$27,15 \pm 0,94$	$2,33 \pm 0,17$	$11,71 \pm 0,56$	[147]
экспрессирующие				
CYP2C9				
Электрохимическая	$5,35 \pm 0,13$	$11,66 \pm 0,92$	0,46	Данная
				работа

Примечание: *Коммерчески доступная смесь компонентов для реконструирования цитохром Р450-содержащей системы.

Чтобы показать возможность применения разработанного нами подхода для исследования ингибиторов СҮР2С9, мы использовали в качестве хорошо известного ингибитора этого изофермента цитохрома Р450 сульфафеназол (4-

амино-N-(1-фенил-1*H*-пиразол-5-ил)бензолсульфонамид) [262, 263]. Предварительно мы исследовали электрохимическое окисление сульфафеназола на ПГЭ, модифицированных ОУНТ, методом квадратно-волновой вольтамперометрии (рисунок 41).

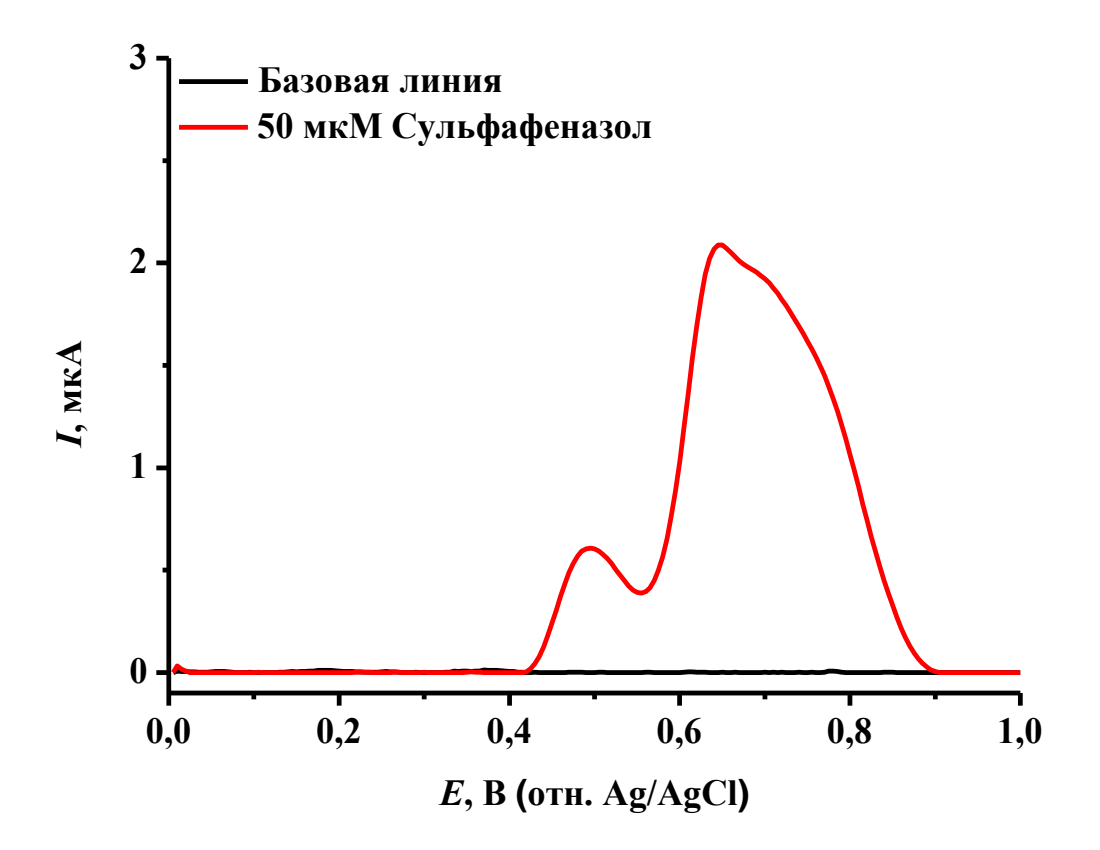


Рисунок 41. Квадратно-волновые вольтамперограммы, зарегистрированные с помощью ПГЭ, модифицированных ОУНТ, в 100 мМ калий-фосфатном буфере (рН 7,4), содержащем 50 мМ NaCl, 1% (по объему) метанол (—) и 50 мкМ сульфафеназол (—). Частота 25 Гц, амплитуда 40 мВ, шаг потенциала 5 мВ.

Квадратно-волновая вольтамперограмма сульфафеназола характеризуется пиком окисления в области 0,5 В (отн. Ag/AgCl) и двумя плохо разрешимыми пиками в области 0,65 В (отн. Ag/AgCl) и 0,7 В (отн. Ag/AgCl), соответственно. Таким образом, сульфафеназол не имеет пика электрохимического окисления в области 0,10-0,12 В (отн. Ag/AgCl), способного интерферировать с пиком

окисления 4'-гидроксидиклофенака и не мешает определению последнего при исследовании активности СҮР2С9.

Для определения типа ингибирования СҮР2С9 сульфафеназолом и константы ингибирования (K_i) мы использовали метод Диксона [264], в соответствии с которым определили обратные величины начальных скоростей 4′-гидроксилирования диклофенака при его концентрации, близкой к значению $K_{\rm M}$ (15 мкМ, 17,5 мкМ и 20 мкМ), в присутствии различных концентраций сульфафеназола (0 мкМ, 0,1 мкМ и 0,25 мкМ) (рисунок 42).

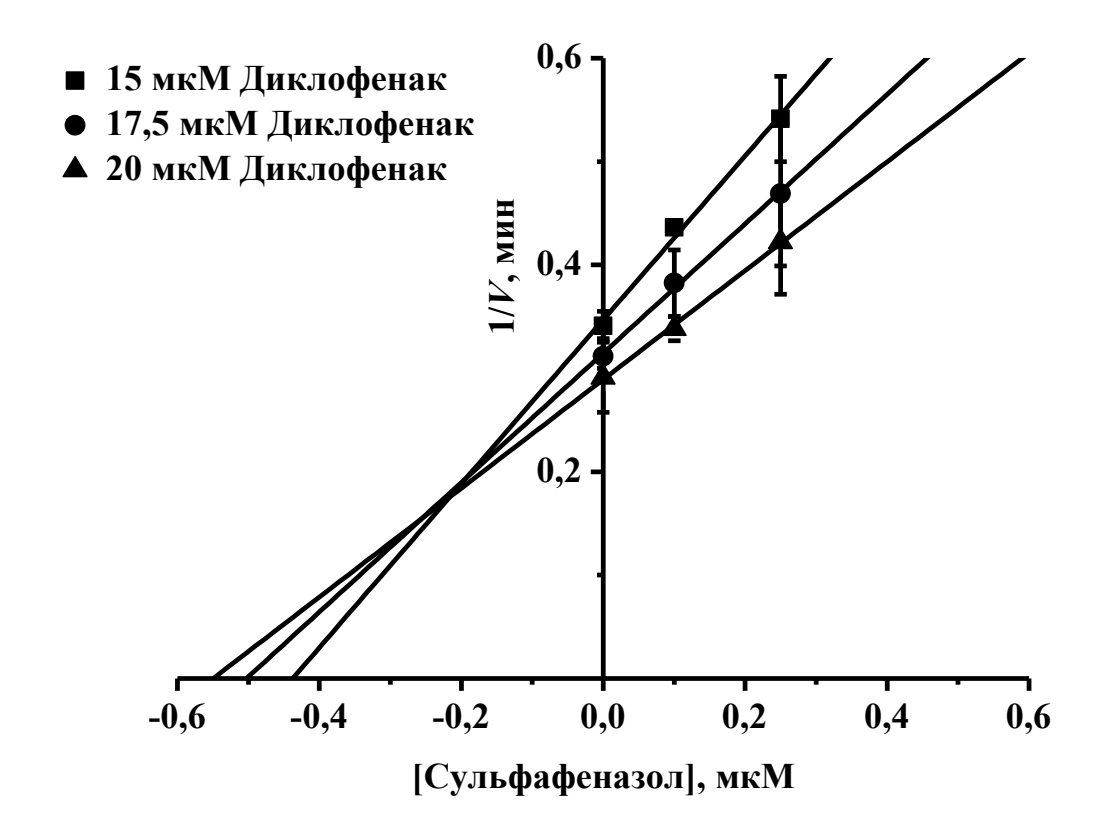


Рисунок 42. Зависимости обратных значений начальных скоростей СҮР2С9зависимого образования 4′-гидроксидиклофенака (при концентрациях диклофенака 15 мкМ (■), 17,5 мкМ (●) или 20 мкМ (▲)) от концентрации сульфафеназола в электрохимической системе. Представлены средние значения из 3-5 независимых экспериментов ± стандартные отклонения.

В присутствии различных концентраций сульфафеназола мы наблюдали концентрационно-зависимое снижение начальной скорости 4'-гидроксилирования диклофенака. Как видно на рисунке 42, зависимости обратных величин начальных скоростей 4'-гидроксилирования диклофенака от концентрации сульфафеназола линейны и имеют общую точку пересечения в отрицательной области над осью концентрации сульфафеназола. В соответствии с методом Диксона, данный зависимостей указывает на конкурентный или смешанный тип ингибирования фермента. Общая точка пересечения соответствует значению K_i 0.22 ± 0.03 мкМ. Ранее с помощью микросомальной системы было показано, что сульфафеназол ингибирует 4'-гидроксилирование диклофенака по конкурентному типу, а значение K_i было определено как 0.11 ± 0.08 мкМ [265]. Следовательно, полученные нами параметры ингибирования сульфафеназолом активности СҮР2С9 в электрохимической системе согласуются с аналогичными параметрами, полученными с помощью альтернативной ферментативной системы. Таким образом, разработанная электрохимическая система, основанная на электрохимическом определении 4'-гидроксидиклофенака, образующегося при участии иммобилизованного на электроде фермента, может применяться для выявления ингибиторов СҮР2С9.

3.1.4. Биэлектродная электрохимическая система для определения каталитической активности CYP2C9 по отношения к (S)-напроксену

Наряду с реакциями ароматического гидроксилирования большое количество субстратов цитохромов P450, содержащих ароматические группы, подвергается реакциям деалкилирования за счет окисления алкильных групп с последующим их отщеплением и образованием гидроксифенильных групп в составе метаболитов. При этом, образующиеся метаболиты с гидроксифенильной группой способны электрохимически окисляться при потенциалах, отличных от потенциалов окисления исходных субстратов. Электрохимический мониторинг образования продуктов, содержащих гидроксифенильные группы, образующихся в

результате реакций деалкилирования субстратов, может лежать в основе метода определения активности ряда цитохромов P450. Субстратами цитохромов P450, подвергающимися реакциям О-деалкилирования с образованием продуктов, содержащих гидроксифенильные группы, являются отдельные представители НПВС, антидепрессантов, противоопухолевых соединений, наркотических анальгетиков, антиаритмических и антигистаминных соединений, ингибиторов холинэстеразы [139]. Одним из таких препаратов является НПВС напроксен (6-метокси-α-метил-2-нафталенуксусная кислота), ингибирующий циклооксигеназу 1 и 2 [266].

В работах Rodrigues и соавт. [267], Miners и соавт. [268] и Тгасу и соавт. [269] было показано, что напроксен подвергается метаболизму главным образом при участии цитохрома P450 1A2 (CYP1A2) и цитохрома P450 2C9 (CYP2C9) (рисунок 43).

Рисунок 43. Реакция О-деметилирования (*S*)-напроксена при участии СҮР1А2 и СҮР2С9.

Напроксен может быть использован как субстрат для определения активности рекомбинантного CYP2C9 [270].

Мы предположили, что способность (S)-напроксена и продукта его биотрансформации (S)-О-десметилнапроксена электрохимически окисляться при различных потенциалах может лежать в основе подхода для определения О-деметилазной активности СҮР2С9, иммобилизованного на электроде.

Электрохимические свойства (S)-напроксена и (S)-О-десметилнапроксена были изучены нами методом циклической вольтамперометрии (рисунок 44 A).

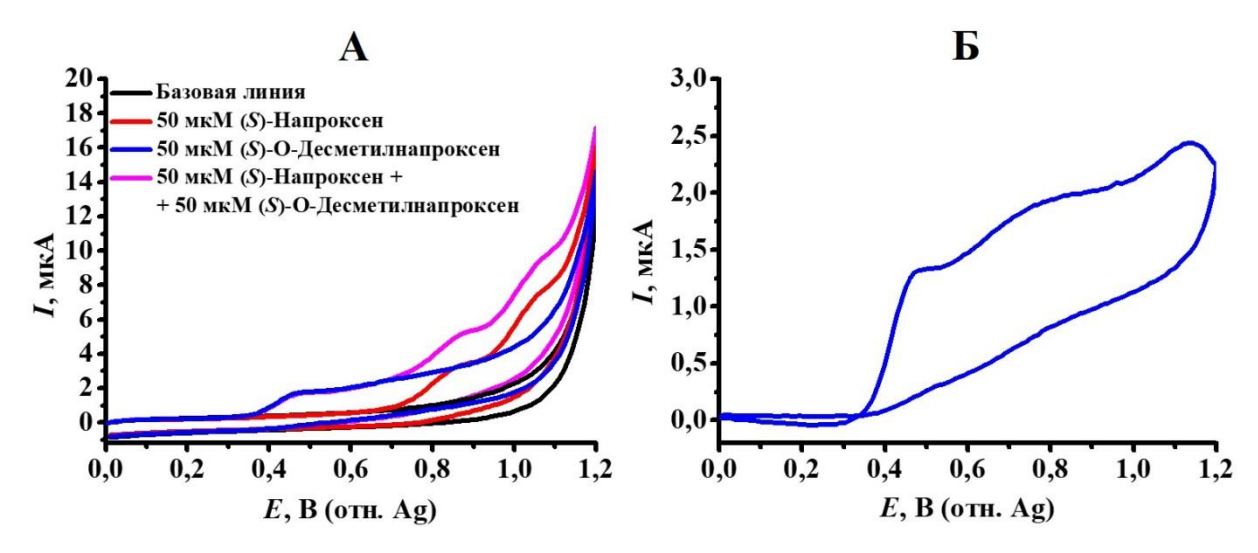


Рисунок 44. Циклические вольтамперограммы, зарегистрированные с помощью немодифицированных ПГЭ в 100 мМ калий-фосфатном буфере (рН 7,4) содержащем 50 мМ NaCl, 1% (по объему) метанол (—) и 50 мкМ (*S*)-напроксен (—), 50 мкМ (*S*)-О-десметилнапроксен (—) или смесь 50 мкМ (*S*)-напроксена и 50 мкМ (*S*)-О-десметилнапроксена (—), (А) и циклическая вольтамперограмма, полученная в результате вычитания базовой линии из циклической вольтамперограммы, зарегистрированной в буфере того же состава, содержащем 50 мкМ (*S*)-О-десметиланпроксен (Б). Скорость сканирования 100 мВ/с.

Как видно на рисунке 44 A, в диапазоне потенциалов от 0 до 1,2 B (отн. Ag) циклическая вольтамперограмма, зарегистрированная в 100 мМ калий-фосфатном буфере (рН 7,4), содержащем 50 мМ NaCl, 1% (по объему) метанол и 50 мкМ (S)напроксен, характеризуется наличием двух пиков окисления: в области 0,850 В (отн. Ад) и 1,035 В (отн. Ад). Ранее схожие электрохимические характеристики для напроксена были получены Qian и соавт. с помощью СУЭ в 100 мМ фосфатном буфере при рН 7,2 [271]. Первый пик характеризует процесс окисления карбоксильной группы напроксена до катион-радикала, а второй соответствует дальнейшему окислению напроксена до 2-ацетил-6-метоксинафталена [271, 272]. 50 Циклическая вольтамперограмма мкМ (S)-О-десметилнапроксена характеризовалась наличием пика окисления в области 0,475 В (отн. Ад), переходящего во второй нечетко визуализируемый пик окисления с максимумом

около 0,750 B (отн. Ag). Чтобы получить разрешимые пики окисления (S)-Oфоновой десметилнапроксена, МЫ провели вычитание циклической вольтамперограммы, зарегистрированной в буфере, не содержащем (S)-Одесметилнапроксен, из циклической вольтамперограммы, зарегистрированной в буфере, содержащем 50 мкМ (S)-О-десметилнапроксен (рисунок 44 Б). После циклической вычитания результирующей вольтамперограмме были на зарегистрированы три разрешимых пика окисления с потенциалами в области 0,492 В (отн. Ад), 0,762 В (отн. Ад) и 1,129 В (отн. Ад). По-видимому, первый пик процессу окисления гидроксифенильной (S)-Oсоответствует группы десметилнапроксена, а второй и третий пики – процессу окисления карбоксильной группы, аналогичному для (S)-напроксена. Поскольку в основе химического строения (S)-О-десметилнапроксена лежит бета-нафтол, можно предположить, что окисление гидроксифенильной группы (S)-О-десметилнапроксена протекает по механизму, схожему с механизмом электрохимического окисления гидроксильной группы у бета-нафтола [273-276]. Циклическая вольтамперограмма эквимолярной смеси (S)-напроксена (50 мкM) и (S)-О-десметилнапроксена характеризовалась тремя пиками окисления в области 0,475 В (отн. Ад), 0,870 В (отн. Ад) и 1,035 В (отн. Ад), соответствующими процессам окисления (S)-Одесметилнапроксена и (S)-напроксена, описанным выше. Таким образом, нами было показано, что (S)-О-десметилнапроксен в смеси с (S)-напроксеном может быть идентифицирован электрохимического ПО пику окисления гидроксифенильной группы, содержащейся в его структуре.

Для разработки методики количественного определения (S)-Oдесметилнапроксена нами использовался квадратно-волновой метод вольтамперометрии. Потенциал первого окисления (S)-Oпика десметилнапроксена при его концентрации 0.3-1 мкМ регистрировался при $0.400 \pm$ 0,020 В (отн. Ад) (рисунок 45 А). Нами была получена калибровочная зависимость тока окисления (S)-О-десметилнапроксена от концентрации этого соединения в диапазоне 0,3-1 мкМ в 100 мМ калий-фосфатном буфере (рН 7,4), содержащем 50 мМ NaCl и 1% (по объему) метанол (рисунок 45 Б).

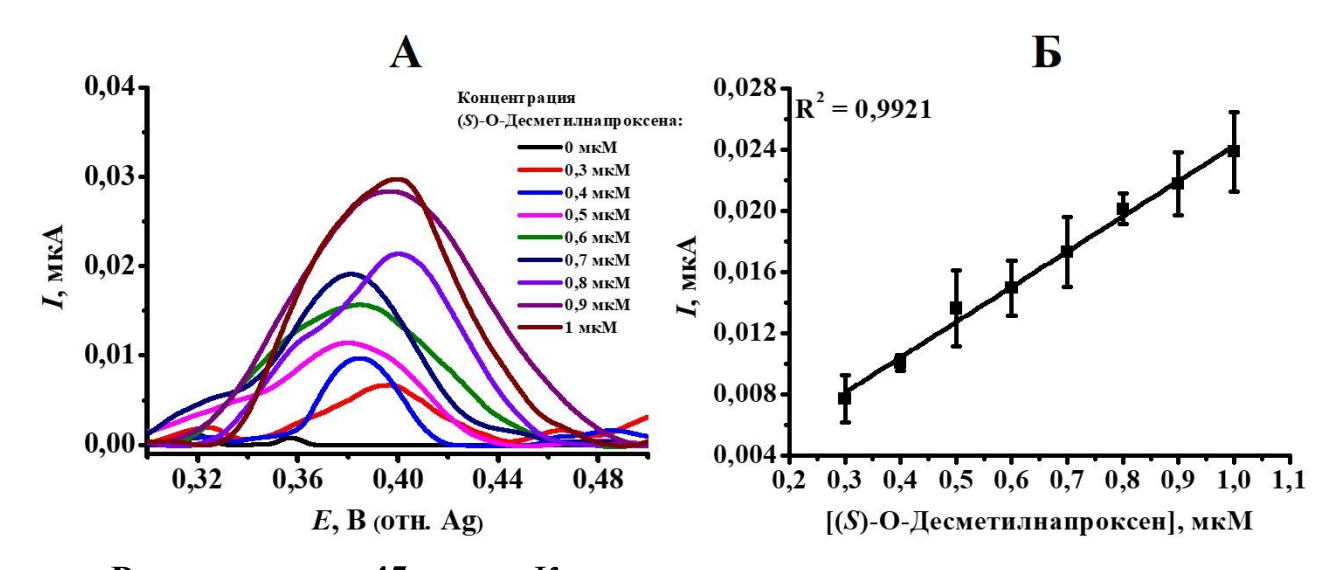


Рисунок 45. Квадратно-волновые вольтампрерограммы, зарегистрированные с помощью немодифицированных ПГЭ в 100 мМ калийфосфатном буфере (рН 7,4), содержащем 50 мМ NaCl, 1% (по объему) метанол и различные концентрации (S)-О-десметилнапроксена (от 0 до 1 мкМ) (A). Частота 25 Гц, амплитуда 40 мВ, шаг потенциала 5 мВ. Зависимость тока пика окисления от концентрации (S)-О-десметилнапроксена (Б). Представлены средние значения из 3-5 независимых экспериментов ± стандартные отклонения.

Как видно на рисунке 45 Б, зависимость тока окисления (S)-Одесметилнапроксена от концентрации этого соединения имеет линейный характер ($R^2 = 0.9921$) и описывается уравнением: I, мк $A = (0.02305 \pm 0.00078)$, мкA/мк $M \times [(S)$ -Одесметилнапроксен], мк $M + (0.00118 \pm 0.00053)$, мкA. Чувствительность определения (S)-Одесметилнапроксена составила 0.023 мкA/мкM. Предел определяемых концентраций (S)-Одесметилнапроксена, рассчитанный с учетом трехкратного стандартного отклонения среднего значения тока в области потенциала окисления (S)-Одесметилнапроксена, был определен как 290 нM.

Мы оценили возможность кинетического анализа О-деметилазной активности СҮР2С9, иммобилизованного на ПГЭ, модифицированного ДДАБ, по (S)-напроксену путем отношению К электрохимического определения образующегося (S)-О-десметилнапроксена. CYP2C9, Редокс-процесс иммобилизованного на электроде, был охарактеризован методом циклической

вольтамперометрии в анаэробных условиях в 100 мМ калий-фосфатном буфере (рН 7,4), содержащем 50 мМ NaCl, насыщенном аргоном (рисунок 46 A). После вычитания циклической вольтамперограммы, зарегистрированной для ПГЭ, модифицированного ДДАБ, без фермента из циклической вольтамперограммы ПГЭ, модифицированного ДДАБ, иммобилизованным ферментом регистрируются два пика: соответствующий восстановлению иона железа гема фермента при $E_{\rm c}$ -0,358 \pm 0,007 В (отн. Ag) и окислению иона железа гема при $E_{\rm a}$ - 0.242 ± 0.008 В (отн. Ag) (рисунок 46 Б). Значение $E_{\rm m}$ было определено как -0,300 \pm 0,015 В (отн. Ag). Значение ΔE рассчитано как 116 мВ. В соответствии с моделью Лавирона, значение k_s при скорости сканирования 100 мВ/с и α 0,5 было определено как 0.8 ± 0.1 с⁻¹. Количество электроактивного СҮР2С9, потенциально способного участвовать в каталитической реакции, было определено из циклических вольтамперограмм в соответствии с уравнением 10 и составило 9.4 ± 0.3 пмоль.

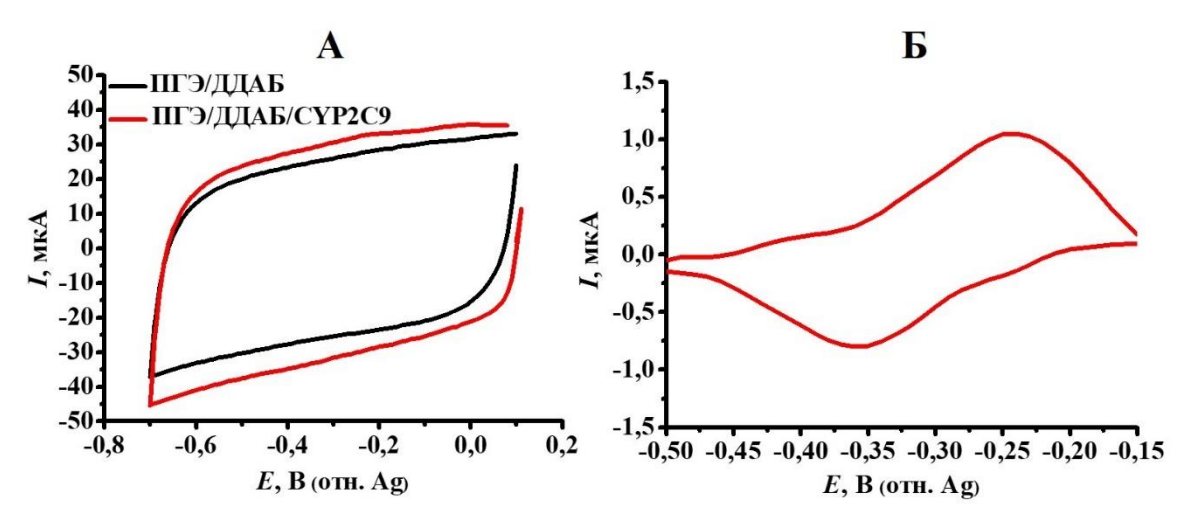


Рисунок 46. Циклические вольтамперограммы, зарегистрированные с помощью ПГЭ, модифицированного ДДАБ (—), и с иммобилизованным СҮР2С9 (—) в насыщенном аргоном 100 мМ калий-фосфатном буфере (рН 7,4), содержащем 50 мМ NaCl, (А) и циклическая вольтамперограмма, полученная после вычитания циклической вольтамперограммы ПГЭ, модифицированного ДДАБ, без фермента из циклической вольтамперограммы ПГЭ, модифицированного ДДАБ, с иммобилизованным ферментом (Б). Скорость сканирования 100 мВ/с.

Далее мы исследовали активность СҮР2С9, иммобилизованного на электроде, по отношению к 1500 мкМ (*S*)-напроксену путем электрохимической регистрации образующегося (*S*)-О-десметилнапроксена. СҮР2С9-зависимая электрокаталитическая реакция проводилась в течение 60 мин при фиксированном потенциале рабочего электрода -0,550 В (отн. Ag) в 100 мМ калий-фосфатном буфере (рН 7,4), содержащем 50 мМ NaCl и 1% (по объему) метанол (рисунок 47). В качестве контрольного эксперимента мы провели электрокаталитическую реакцию в присутствии 1500 мкМ (*S*)-напроксена при аналогичных условиях с электродом, модифицированным ДДАБ, но без иммобилизованного фермента.

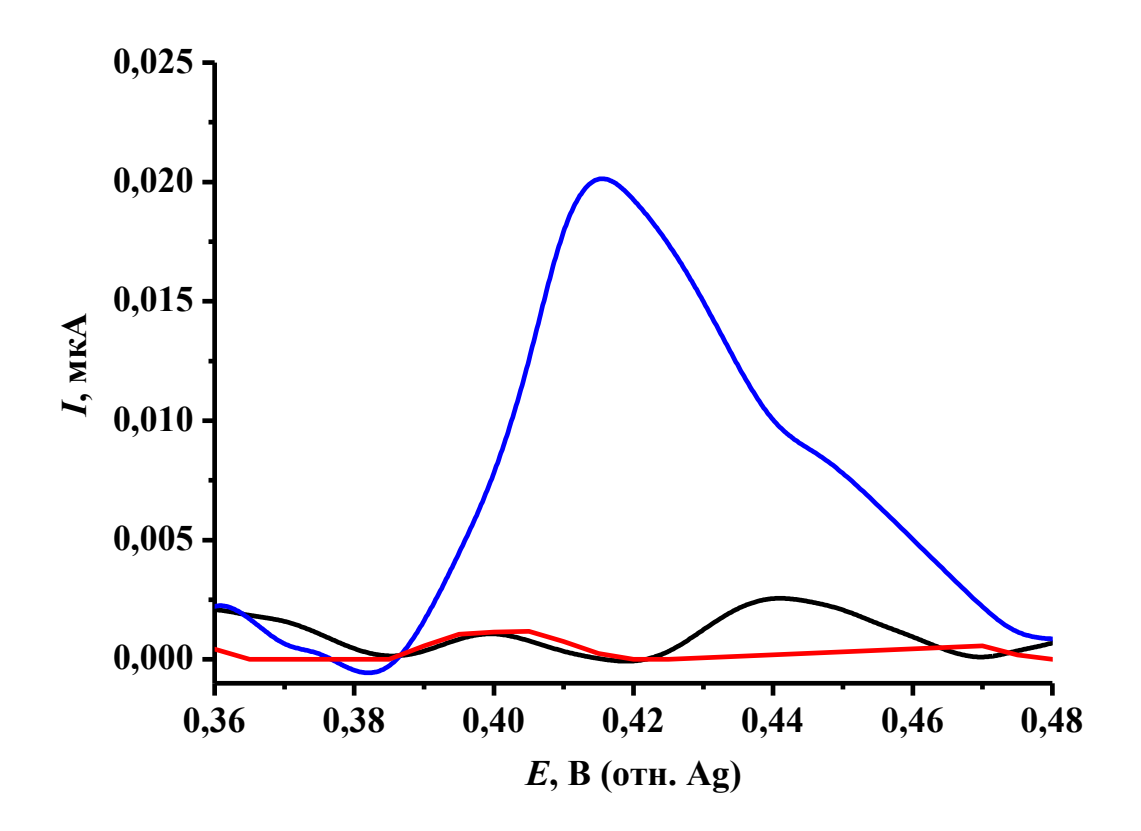


Рисунок 47. Квадратно-волновые вольтамперограммы, зарегистрированные с помощью ПГЭ в 100 мМ калий-фосфатном буфере (рН 7,4), содержащем 50 мМ NaCl, 1% (по объему) метанол и 1500 мкМ (*S*)-напроксен, до (—) или после проведения электрокаталитической реакции в течение 60 мин при фиксированном потенциале -0,550 В (отн. Ag) рабочего электрода, модифицированного ДДАБ (—) и с иммобилизованным СҮР2С9 (—). Частота 25 Гц, амплитуда 40 мВ, шаг потенциала 5 мВ.

Как видно на рисунке 47, после проведения электрокаталитической реакции с иммобилизованным на электроде СҮР2С9 по отношению к 1500 мкМ (S)области напроксену регистрируется пик окисления В потенциалов, соответствующих окислению (S)-О-десметилнапроксена. Также после проведения электрокаталитической реакции по отношению к 1500 мкМ (S)-напроксену с электродом без иммобилизованного фермента в области 0,4 В (отн. Ад), соответствующей окислению (S)-О-десметилнапроксена, наблюдается значение тока которого меньше значения предела определяемых концентраций для (S)-О-десметилнапроксена. Аналогичный пик присутствует и на квадратноволновой вольтамперограмме, зарегистрированной в инкубационной смеси, содержащей 1500 мкМ (S)-напроксен, до проведения электрокаталитической реакции. Таким образом, в отсутствие фермента на электроде, образование (S)-Одесметилнапроксена, количество которого превышало бы значение предела Это определяемых концентраций, не происходит. свидетельствует преимущественном вкладе СҮР2С9, иммобилизованного на электроде, образование (S)-О-десметилнапроксена. V О-деметилирования (S)-напроксена (1500 мкМ) под действием СҮР2С9 с учетом количества электроактивного фермента на электроде была определена как 0.79 ± 0.14 мин⁻¹.

Для определения параметров стационарной кинетики CYP2C9 по отношению к (S)-напроксену была определена начальная скорость реакции О-деметилирования при концентрации (S)-напроксена 200-1500 мкМ (рисунок 48 A). Зависимость начальной скорости реакции О-деметилирования (S)-напроксена от концентрации (S)-напроксена имела гиперболический характер ($R^2 = 0.9951$) и описывалась уравнением вида: V, мин⁻¹ = ((0.9778 ± 0.0281), мин⁻¹ × [(S)-Напроксен], мкМ) / ((330.8852 ± 30.2268), мкМ + [(S)-Напроксен], мкМ). Таким образом, значение V_{max} было определено как 0.98 ± 0.03 мин⁻¹, а значение $K_{\text{M}} - 331 \pm 30$ мкМ. Значение каталитической эффективности ($V_{\text{max}}/K_{\text{M}}$) рассчитано как 0.003 мин⁻¹ мкМ⁻¹.

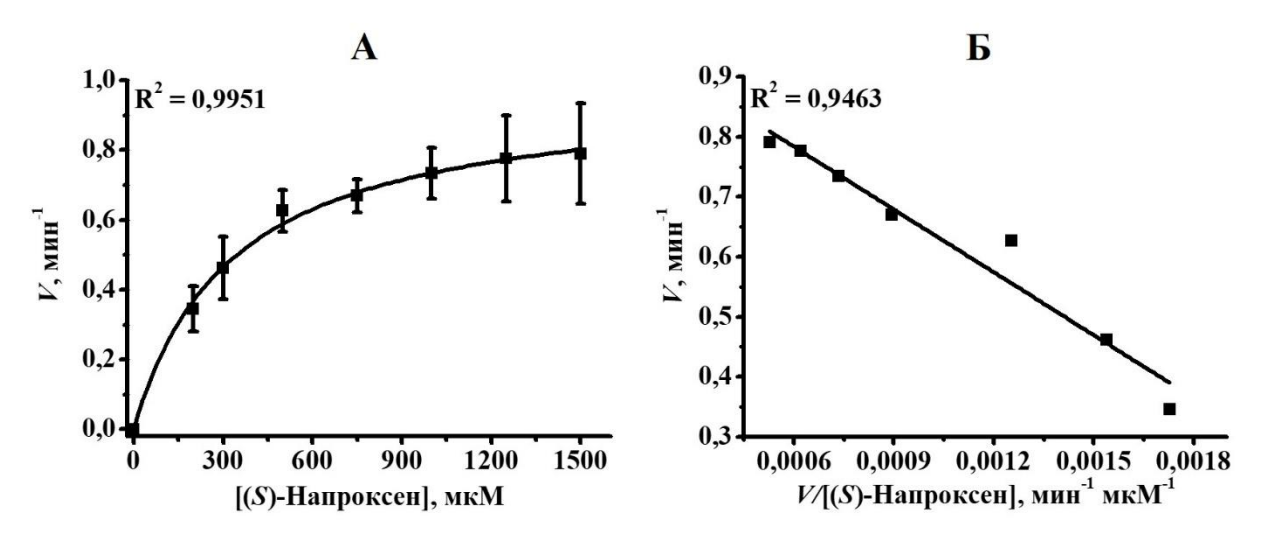
Детальное изучение кинетики метаболизма напроксена в работах Korzekwa и соавт. [277], Tracy и соавт. [192], Hummel и соавт. [278] и Kumar и соавт. [279]

зависимость начальной скорости СҮР2С9-зависимого показало, ЧТО деметилирования напроксена от его концентрации (кинетический профиль) имеет бифазный характер, свидетельствующий об одновременном взаимодействии двух молекул субстрата с активным центром фермента с различными значениями $V_{\rm max}$ и $K_{\rm M}$. С другой стороны, в работе Henderson и соавт. при исследовании Одеметилазной активности СҮР2С9 по отношению к (S)-напроксену с помощью суперсом были определены кинетические параметры фермента в соответствии с моделью Михаэлиса-Ментен: $V_{\rm max}-31.7\pm2.5~{\rm Muh}^{-1},~K_{\rm M}-280\pm8.9~{\rm MкM}$ и $V_{\rm max}/K_{\rm M}$ - 0,11 мин⁻¹ мкМ⁻¹ [280]. Также в работе McDonald и соавт. с помощью СҮР2С9реконструированной системы были определены значения V_{\max} и K_{M} фермента по отношению к напроксену как 15.3 ± 0.72 пмоль/мин/пмоль и 419 ± 59 мкМ, соответственно, при этом авторы не отмечали, что кинетический профиль фермента характеризовался бифазным характером [281]. В работе McGinnity и полученных соавт. исследована активность микросом, лимфобластоидных клеток человека, коэкспрессирующих рекомбинантный СҮР2С9 человека и цитохром Р450 редуктазу человека, а также СҮР2С9 человека, коэспрессированного с цитохром P450 редуктазой человека в Escherichia coli [270]. Значения V_{max} CYP2C9 в соответствующих системах были определены как 4,9 мин 1 и 6,7 \pm 0,9 мин $^{-1}$, а значения $K_{\rm M}-116$ мкМ и 307 ± 65 мкМ, соответственно.

Для Михаэлиса-Ментен, подтверждения кинетики описывающей биотрансформацию (S)-напроксена в электрохимической системе при участии СҮР2С9, мы провели линеаризацию зависимости начальной скорости реакции от концентрации субстрата, в соответствии с методом линеаризации в координатах Иди-Хофсти (V от V/[S]). Методы математического преобразования зависимости начальной скорости реакции от концентрации субстрата часто применяются в диагностического подтверждения отклонения качестве критерия ДЛЯ кинетической модели Михаэлиса-Ментен [282]. В соответствии с методом Иди-Хофсти, зависимость в координатах V от V/[S] является прямой и описывается уравнением 22 в случае гиперболической зависимости начальной скорости реакции от концентрации субстрата, т.е. протекания реакции в соответствии с моделью Михаэлиса-Ментен [283]:

$$V = V_{\text{max}} - K_{\text{M}} \frac{V}{[S]}. \tag{22}$$

Таким образом, полученная зависимость V от V/[S] имела линейный характер ($R^2 = 0.9463$), свидетельствующий о монофазном кинетическом профиле, то есть связывании одной молекулы субстрата с активным центром фермента (рисунок 48 Б).



48. скорости Рисунок Зависимость начальной СҮР2С9-зависимого образования (S)-О-десметилнапроксена от концентрации (S)-напроксена в электрохимической системе (A) и зависимость V от V/[(S)-напроксен] (координаты Иди-Хофсти) **(Б)**. Представлены средние значения 3-5 ИЗ независимых экспериментов \pm стандартные отклонения.

Стоит отметить низкое значение $V_{\rm max}$ СҮР2С9 по отношению к (S)напроксену, полученное с помощью электрохимической системы, по сравнению с
аналогичным параметром стационарной кинетики, полученным в работах,
упомянутых выше. Это может быть связано с менее выгодной для взаимодействия
с (S)-напроксеном конформацией фермента, иммобилизованного на электроде, по
сравнению с конформацией СҮР2С9 в растворе. При этом значение $K_{\rm M}$ СҮР2С9 по
отношению к (S)-напроксену в электрохимической системе сопоставимо с

аналогичным параметром, полученным с помощью других ферментативных систем.

Таким образом, разработана электрохимическая система для определения Одеметилазной активности CYP2C9 по отношению к (S)-напроксену.

3.1.5. Электрохимическая система для определения каталитической активности CYP2C19 по отношению к фенитоину

Хорошо известно, что иммобилизация ферментов может приводить к изменению их кинетических параметров, субстратной специфичности и других характеристик фермента вследствие его структурных изменений или изменений физико-химических свойств матрицы, используемой для иммобилизации [70, 71]. Для полноценного и стабильного функционирования цитохромов Р450 в иммобилизованном состоянии, в том числе в электрохимических системах, необходимо учитывать особенности этих ферментов, поскольку только правильная конформация и ориентация на матрице способствуют доступу к активному центру субстрата и кислорода (как косубстрата реакции), а также высвобождению продукта реакции [71]. Использование *in vitro* систем, TOM электрохимических, позволяет смоделировать цитохром Р450-зависимый метаболизм лекарственных препаратов. Корреляция между клиренсами in vitro и in vivo позволяет спрогнозировать фармакокинетику и оценить дозировку препарата, что особенно важно при исследовании новых соединений [284]. Применение неточных моделей вследствие ошибочного восприятия отклонения от модели экспериментального артефакта Михаэлиса-Ментен как при исследовании кинетических профилей цитохром Р450-зависимого метаболизма лекарственных препаратов приводит к неточностям в оценке фармакокинетики лекарственного препарата [284, 285]. Хорошо известно, что метаболизм ряда субстратов цитохромов Р450 характеризуется отклонением от гиперболического характера зависимости начальных скоростей реакции от концентрации субстрата (модели

Михаэлиса-Ментен), при этом регистрируемые атипичные кинетические профили выделяют в пять категорий: активация, автоактивация, ингибирование субстратом, частичное ингибирование и бифазный метаболизм [277, 286]. Однако атипичный характер зависимости начальной скорости реакции от концентрации субстрата может быть и артефактом, возникающим при значительном истощении субстрата, неспецифическом связывании субстрата компонентами инкубационной среды, активацией клеточных транспортерных систем, недостаточной аналитической чувствительности, низкой растворимости субстрата, использовании неподходящих буферов, превышении допустимого уровня органических растворителей и использовании мультиферментных систем (таких как микросомы печени человека), а также в случае отсутствия в системе сут b_5 , необходимого для нормального функционирования ряда изоферментов цитохрома P450 [284, 286].

Фенитоин — широко используемый противоэпилептический препарат, участвующий в большом количестве межлекарственных взаимодействий [287]. В большей степени метаболизм фенитоина осуществляется путем 4-гидроксилирования за счет СҮР2С9 и в меньшей степени за счет СҮР2С19 [287, 288] (рисунок 49). Фенитоин зачастую назначается в качестве одного из компонентов комплексной терапии эпилепсии, таким образом, представляет значительный интерес исследование межлекарственных взаимодействий как в случае его применения с другими противоэпилептическими препаратами, так и с лекарственными препаратами, принадлежащими к другим фармакологическим группам [289].

Рисунок 49. Реакция 4-гидроксилирования фенитоина при участии СҮР2С9 и СҮР2С19.

Ранее отмечалось, что метаболизм фенитоина в микросомальной системе с оверэкспрессированным СҮР2С9 или СҮР2С19 характеризуется отклонением от гиперболической зависимости начальной скорости образования 4-гидроксифенитоина от концентрации фенитоина, при этом данная зависимость хорошо описывается уравнением для двух ферментов или двух сайтов связывания субстратов [288].

В данной части работы МЫ оценили применения возможность электрохимической системы на основе иммобилизованных на электроде форм цитохрома P450 атипичных профилей для выявления кинетических биотрансформации лекарственных препаратов на примере реакции ароматического гидроксилирования фенитоина при участии СҮР2С19. С этой целью нами была разработана методика количественного электрохимического определения 4гидроксифенитоина, образующегося при участии иммобилизованного на электроде CYP2C19.

Мы предположили, что электрохимические свойства 4-гидроксифенитоина за счет гидроксифенильной группы в его структуре могут существенно отличаться от электрохимических свойств фенитоина, что может быть использовано для мониторинга образования 4-гидроксифенитоина в процессе ферментативной реакции. Электрохимические свойства фенитоина, 4-гидроксифенитоина и эквимолярной смеси этих соединений были изучены нами методом циклической вольтамперометрии на немодифицированных ПГЭ в 100 мМ калий-фосфатном буфере (рН 7,4), содержащем 50 мМ NaCl и 1% (по объему) метанол (рисунок 50).

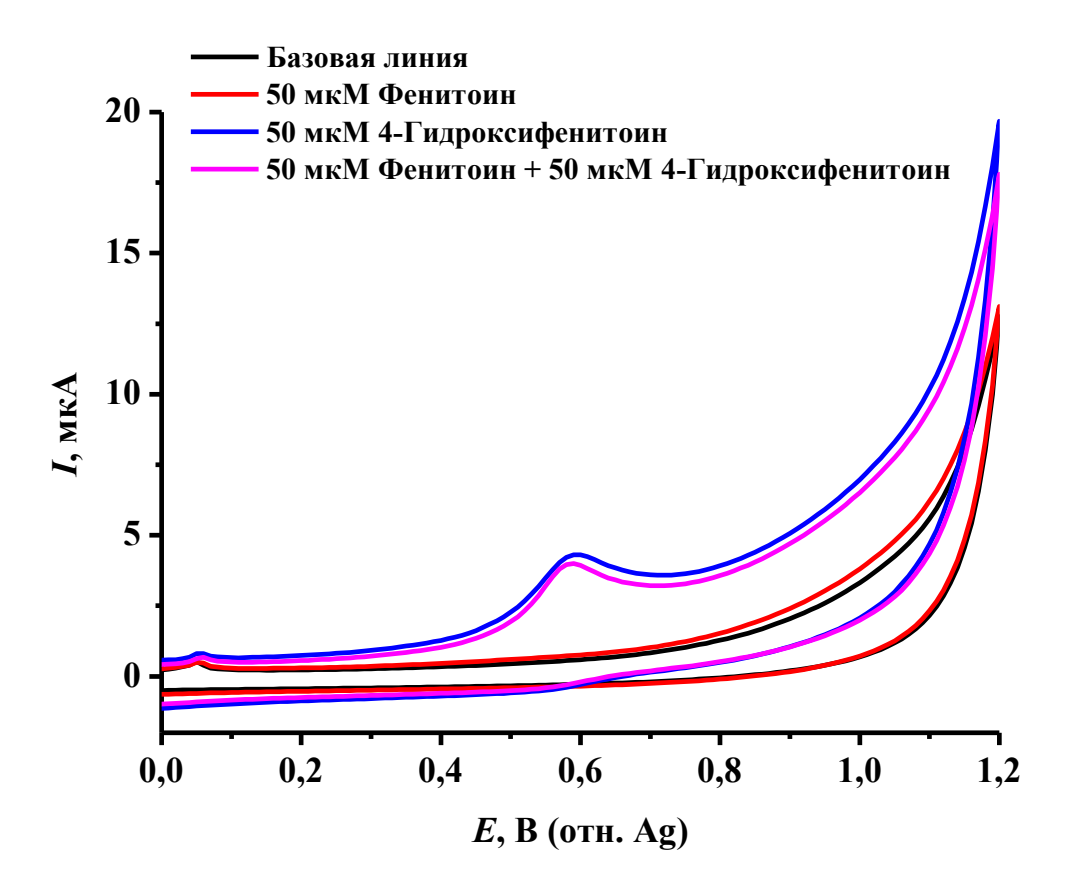


Рисунок 50. Циклические вольтамперограммы, зарегистрированные с помощью немодифицированных ПГЭ в 100 мМ калий-фосфатном буфере (рН 7,4), содержащем 50 мМ NaCl, 1% (по объему) метанол (—) и 50 мкМ фенитоин (—), 50 мкМ 4-гидроксифенитоин (—) или смесь 50 мкМ фенитоина и 50 мкМ 4-гидроксифенитоина (—). Скорость сканирования 100 мВ/с.

Как видно на рисунке 50, циклическая вольтамперограмма в диапазоне от 0 до 1,2 В (отн. Ад) для 50 мкМ фенитоина характеризуется отсутствием пиков окисления и восстановления, при этом характер кривой слабо отличается от базовой линии, зарегистрированной в буфере, не содержащем фенитоина. Ранее было показано, что фенитоин способен подвергаться прямому электрохимическому окислению на золотом электроде в 50 мM NaHCO₃, при этом в механизме электрохимического окисления участвует имино группа в первом положении гидантоинового фрагмента молекулы фенитоина [290]. Циклическая вольтамперограмма 4-гидроксифенитоина в указанной области потенциалов характеризуется наличием пика окисления при 0,595 В (отн. Ад). Поскольку 4гидроксифенитоин отличается от фенитоина наличием гидроксифенильной группы, очевидно, что единственный пик окисления в данном диапазоне потенциалов свидетельствует о вкладе в процесс окисления именно этой группы. В эквимолярной смеси фенитоина 4функциональной гидроксифенитоина регистрируется единственный пик окисления со значениями потенциала и тока, характерными для окисления 4-гидроксифенитоина. Таким свойствах 4образом, различия электрохимических фенитоина гидроксифенитоина обусловлены наличием у последнего гидроксифенильной группы. Различия в электрохимических свойствах этих соединений могут лежать в основе количественного определения 4-гидроксифенитоина характеристическому пику его окисления при проведении кинетических исследований ферментов, участвующих в биотрансформации фенитоина, без разделения реакционной смеси, содержащей одновременно субстрат и продукт реакции.

Для количественного определения 4-гидроксифенитоина мы использовали метод квадратно-волновой вольтамперометрии (рисунок 51 A). Данным методом был зарегистрирован пик окисления 4-гидроксифенитоина при $0,602\pm0,018$ В (отн. Ag). Зависимость тока пика окисления 4-гидроксифенитоина от концентрации этого соединения (от 0,1 до 1 мкМ) в 100 мМ калий-фосфатном буфере (рН 7,4), содержащем 50 мМ NaCl и 1% (по объему) метанол, имела линейный характер ($R^2=0,9913$) и описывалась уравнением вида: I, мкА = $(0,06215\pm0,00194)$, мкА/мкМ \times ([4-Гидроксифенитоин], мкМ - $(0,00069\pm0,00121)$, мкА (рисунок 51 Б). Чувствительность была определена как 0,062 мкА/мкМ. Предел определяемых концентраций, рассчитанный с учетом трехкратного стандартного отклонения средней величины тока в области 0,6 В (отн. Ag), регистрируемого в 100 мМ калий-фосфатном буфере (рН 7,4), содержащем 50 мМ NaCl и 1% (по объему) метанол и не содержащем 4-гидроксифенитоин, был определен как 40 нМ.

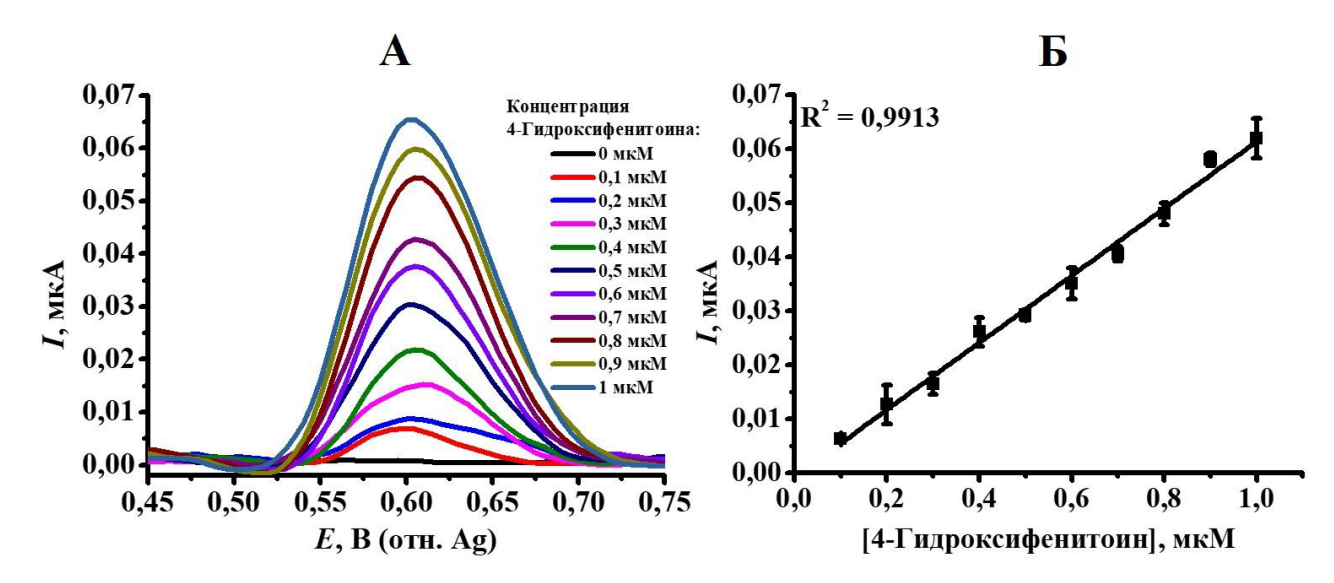


Рисунок 51. Квадратно-волновые вольтамперограммы, зарегистрированные с помощью немодифицированных ПГЭ в 100 мМ калий-фосфатном буфере (рН 7,4), содержащем 50 мМ NaCl, 1% (по объему) метанол и различные концентрации (от 0 до 1 мкМ) 4-гидроксифенитоина (A). Частота 25 Гц, амплитуда 40 мВ, шаг потенциала 5 мВ. Зависимость тока пика окисления от концентрации 4-гидроксифенитоина (Б). Представлены средние значения из 3-5 независимых экспериментов ± стандартные отклонения.

Разработанная методика количественного электрохимического определения 4-гидроксифенитоина применялась нами для исследования каталитической активности СҮР2С19, иммобилизованного на ПГЭ, модифицированных ДДАБ.

Иммобилизованный на электроде СҮР2С19 был охарактеризован методом циклической вольтамперометрии в насыщенном аргоном 100 мМ калийфосфатном буфере (рН 7,4), содержащем 50 мМ NaCl (анаэробные условия) при скорости сканирования 100 мВ/с (рисунок 52 A). После вычитания фоновой кривой, на разностной циклической вольтамперограмме электрода, модифицированного ДДАБ, с иммобилизованным СҮР2С19 регистрируются два пика: при $E_{\rm c}$ -0,286 \pm 0,004 B (отн. Ag), соответствующий восстановлению иона железа гема фермента, и при $E_{\rm a}$ -0,230 \pm 0 B (отн. Ag), соответствующий окислению иона железа гема фермента (рисунок 52 Б). Значение $E_{\rm m}$ определено как -0,258 \pm

0,004 В (отн. Ag), а $\Delta E - 56$ мВ. В соответствии с моделью Лавирона, значение $k_{\rm s}$ при скорости сканирования 100 мВ/с и α 0,5 было определено как 2,2 \pm 0,2 с⁻¹.

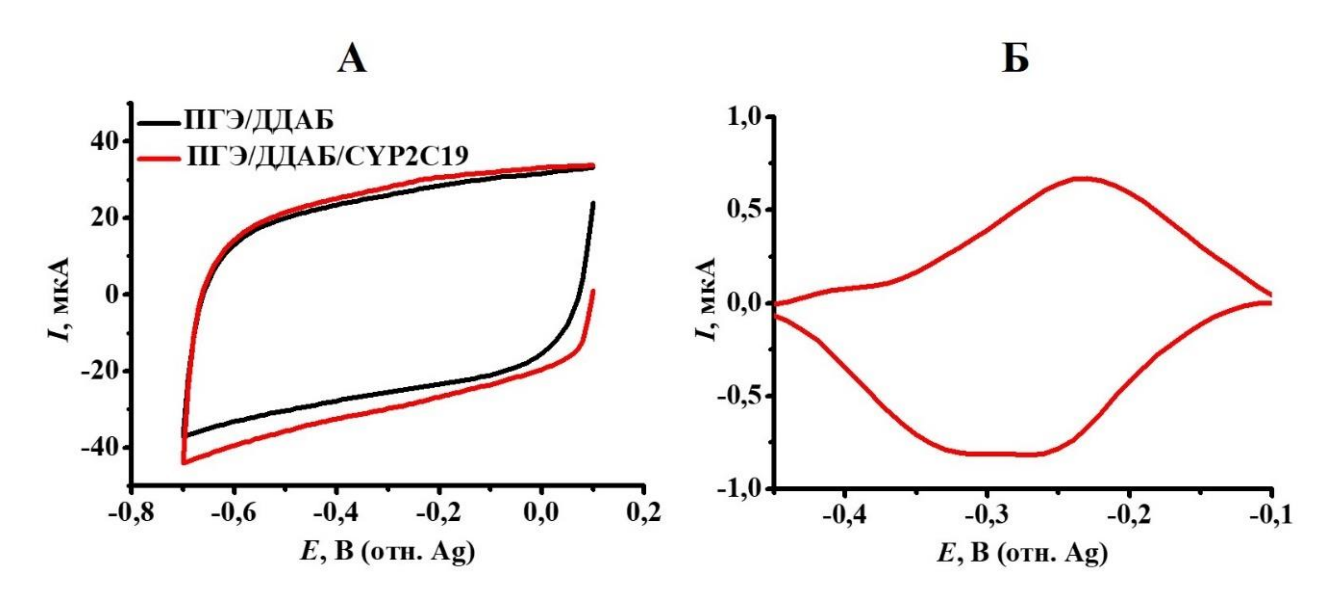


Рисунок 52. Циклические вольтамперограммы, зарегистрированные с помощью ПГЭ, модифицированного ДДАБ (—), и с иммобилизованным СҮР2С19 (—) в насыщенном аргоном 100 мМ калий-фосфатном буфере (рН 7,4), содержащем 50 мМ NaCl (A). Циклическая вольтамперограмма, полученная после вычитания циклической вольтамперограммы ПГЭ, модифицированного ДДАБ, без фермента из циклической вольтамперограммы ПГЭ, модифицированного ДДАБ, с иммобилизованным ферментом (Б). Скорость сканирования 100 мВ/с.

В соответствии с уравнением 10, из циклических вольтамперограмм было определено количество электроактивного СҮР2С19, иммобилизованного на электроде и потенциально способного участвовать в каталитической реакции по отношению к субстрату, которое составило 7,9 ± 0,6 пмоль. С помощью количественного электрохимического определения 4-гидроксифенитоина мы оценили способность иммобилизованного на электроде СҮР2С19 катализировать реакцию гидроксилирования фенитоина. Электрокаталитическая реакция проводилась в 100 мМ калий-фосфатном буфере (рН 7,4), содержащем 50 мМ NaCl, 1% (по объему) метанол и 150 мкМ фенитоин, при фиксированном потенциале

рабочего электрода, равном -0,550 В (отн. Ад), в течение 90 мин. В качестве эксперимента при аналогичных была условиях проведена модифицированным без электрокаталитическая реакция cэлектродом иммобилизованного фермента. После проведения электрокаталитической реакции с ферментным электродом на квадратно-волновой вольтамперограмме был области 0,6 В зарегистрирован пик (отн. Ag), соответствующий электрохимическому окислению 4-гидроксифенитоина, при этом после проведения электрокаталитической реакции модифицированным без c электродом иммобилизованного фермента пиков в области окисления 4-гидроксифенитоина, значение токов которых было бы выше значения тока, соответствующего пределу определяемых концентраций 4-гидроксифенитоина, не наблюдалось (рисунок 53). показали, что основной образование 4образом, МЫ вклад гидроксифенитоина В электрокаталитической системе вносит CYP2C19, иммобилизованный на электроде. У гидроксилирования фенитоина под действием СҮР2С19 при данных условиях проведения электрокаталитической реакции была определена как 0.14 ± 0.03 мин⁻¹. Мы также оценили влияние ингибитора CYP2C19 флуконазола (2-(2,4-дифлюорофенил)-1,3-бис(1,2,4-триазол-1-ил)пропан-2-ол) на активность фермента по отношению к 150 мкМ фенитоину, регистрируемую по области 0,6 В (отн. Ag) амплитуде тока пика после проведения электрокаталитической реакции (рисунок 53). Флуконазол является противогрибковым препаратом и сильным ингибитором СҮР2С19 [291, 292]. При концентрации флуконазола 1 мкМ и вышеуказанных условиях проведения электрокаталитической реакции наблюдалось уменьшение тока пика окисления в области 0,6 В (отн. Ag). V гидроксилирования фенитоина (150 мкМ) под действием СҮР2С19 в присутствии 1 мкМ флуконазола была определена как 0.05 ± 0.01 мин⁻¹. Таким образом, в присутствии 1 мкМ флуконазола активность фермента снижалась в 2,8 раз, по сравнению с активностью в отсутствие флуконазола.

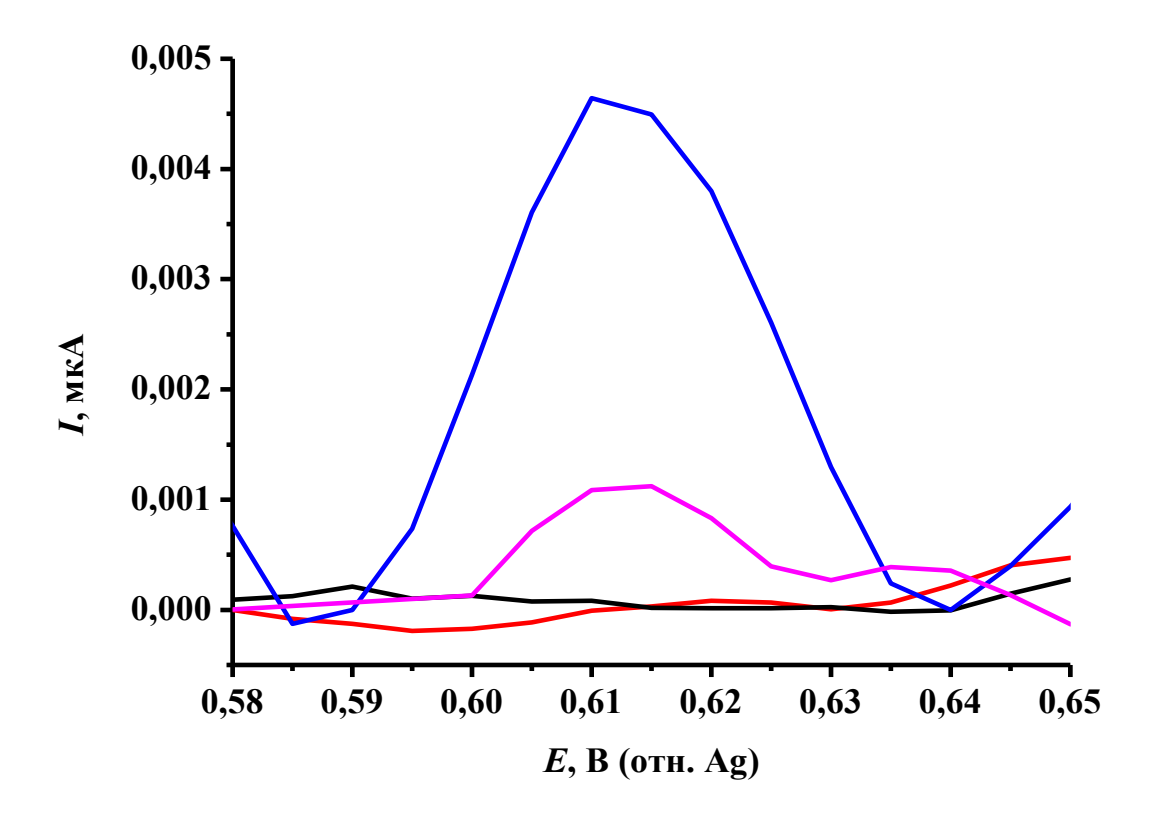


Рисунок 53. Квадратно-волновые вольтамперограммы, зарегистрированные с помощью немодифицированных ПГЭ в 100 мМ калий-фосфатном буфере (рН 7,4), содержащем 50 мМ NaCl, 1% (по объему) метанол и 150 мкМ фенитоин, до (—) или после проведения электрокаталитической реакции в течение 90 мин при фиксированном потенциале -0,6 В (отн. Ад) рабочего электрода, модифицированного ДДАБ (—) и с иммобилизованным СҮР2С19, в отсутствие (—) или в присутствии 1 мкМ флуконазола (—). Частота 25 Гц, амплитуда 40 мВ, шаг потенциала 5 мВ.

Мы исследовали зависимость начальной скорости реакции CYP2C19зависимого гидроксилирования фенитоина от его концентрации в электрохимической системе (рисунок 54 A).

Зависимость, представленная на рисунке 54 A, могла быть аппроксимирована гиперболической функцией, описываемой уравнением Михаэлиса-Ментен ($R^2 = 0.9774$), однако более удовлетворительно ($R^2 = 0.9987$) данная зависимость описывалась уравнением 17 для кинетики двух ферментов, метаболизирующих

один субстрат, или для двух сайтов связывания субстрата (бифазный кинетический профиль). Уравнение 17 включает в себя два компонента, характеризующие способность фермента образовывать с субстратом комплексы с высокой и низкой аффинностью. Для подтверждения отклонения от модели Михаэлиса-Ментен кинетического профиля биотрансформации фенитоина под действием СҮР2С19 в электрохимической системе мы провели линеаризацию зависимости начальной скорости реакции образования 4-гидроксифенитоина от концентрации фенитоина, в соответствии с методом Иди-Хофсти. Зависимость V от V/[S] имела два линейных участка, что указывает на бифазную кинетику гидроксилирования фенитоина в электрохимической системе при участии СҮР2С19 (рисунок 54 Б). Ранее аналогичный характер зависимости скорости образования 4-гидроксифенитоина от концентрации фенитоина наблюдался в микросомах, содержащих СҮР2С19, экспрессированный путем кДНК-трансфекции [288].

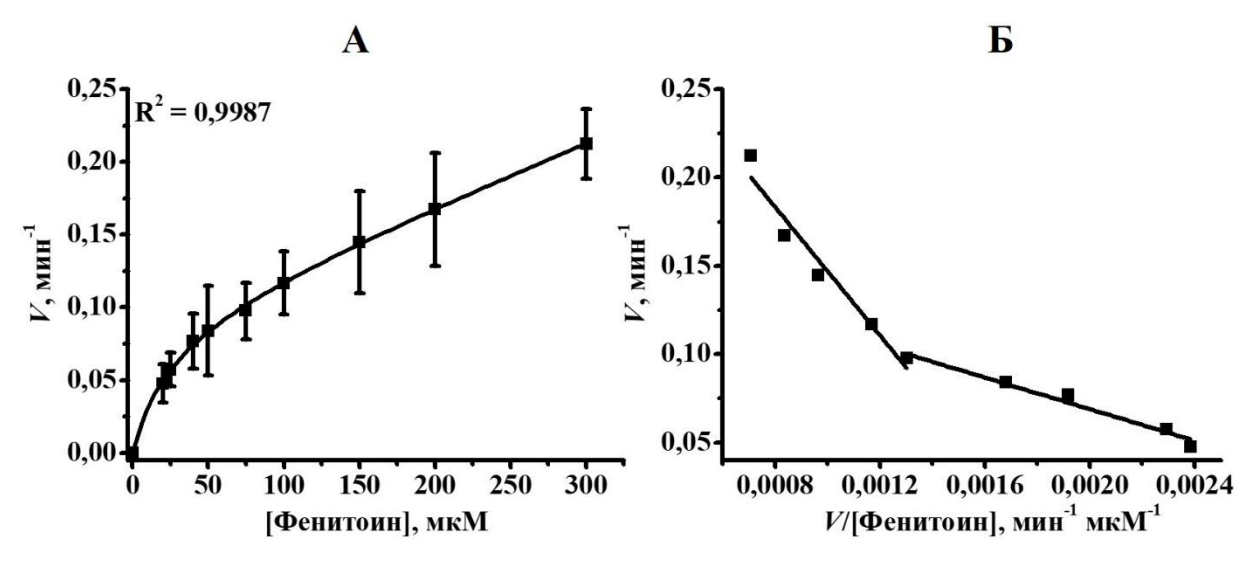


Рисунок **54.** Зависимость начальной скорости СҮР2С19-зависимого образования 4-гидроксифенитоина концентрации фенитоина OT электрохимической системе (A) и зависимость V от $V/[\Phi]$ (координаты Иди-Хофсти) (Б). Представлены средние значения из 3-5 независимых экспериментов ± стандартные отклонения.

Первый компонент уравнения 17 был аппроксимирован моделью Михаэлиса-Ментен и описывался уравнением вида: V, мин⁻¹ = ((0,09405 \pm 0,00191), мин⁻¹ × [Фенитоин], мкМ) / ((25,76139 \pm 2,01094), мкМ + [Фенитоин], мкМ). Таким образом, значения $V_{\text{max}1}$ и K_{M1} СҮР2С19 по отношению к фенитоину в электрохимической системе были определены нами как 0,094 \pm 0,002 мин⁻¹ и 25,8 \pm 2,0 мкМ, соответственно. Отношение $V_{\text{max}1}/K_{\text{M1}}$, характеризующее эффективность катализа или внутренний клиренс для формы фермента, образующей с субстратом комплекс с высокой аффинностью, было определено как 0,0036 мин⁻¹ мкМ⁻¹. Второй компонент уравнения 17 может быть аппроксимирован линейной зависимостью, наклон которой характеризует внутренний клиренс формы фермента, образующей с субстратом комплекс с высокой аффинностью, $(V_{\text{max}2}/K_{\text{M2}})$. Значение $V_{\text{max}2}/K_{\text{M2}}$ для СҮР2С19 по отношению к фенитоину в электрохимической системе было определено как 0,00042 мин⁻¹ мкМ⁻¹.

Несмотря на то, что в иммобилизованном состоянии ферменты могут существенно изменять свои свойства и кинетические параметры, мы обнаружили, что СҮР2С19, иммобилизованный на электроде, имеет схожие свойства, проявляемые им в альтернативной ферментативной системе, что было исследовано ранее Giancarlo и соавт. [288]. Это отражается в атипичном характере кинетического профиля гидроксилирования фенитоина и количественных параметрах, характеризующих ферментативный процесс (таблица 4).

Таблица 4. Сравнение кинетических параметров CYP2C19 по отношению к фенитоину, полученных с помощью микросомальной и электрохимической систем.

Ферментативная	$V_{\mathrm{max}1}$,	K_{M1} ,	$V_{\mathrm{max}1}/K_{\mathrm{M1}}^{**},$	$V_{ m max2}/K_{ m M2}^{***},$	Ссылка
система	мин ⁻¹	мкМ	мин ⁻¹ мкМ ⁻¹	мин ⁻¹ мкМ ⁻¹	
Микросо-	0,085	24,1	0,0035	0,00029	[288]
мальная*					
Электро-	0,094 ±	25,8 ±	0,0036	0,00042	Данная
химическая	0,002	2,0			работа

Продолжение таблицы 4

Примечание: *Микросомы, содержащие CYP2C19 человека, экспрессированный путем кДНК-трансфекции.

**Значение для формы фермента, образующей с субстратом комплекс с высокой аффинностью.

***Значение получено как тангенс угла наклона линейной зависимости для формы фермента, образующей с субстратом комплекс с низкой аффинностью.

Суммируя полученные данные, на примере гидроксилирования фенитоина при участии СҮР2С19 и разработанного нами метода количественного электрохимического определения 4-гидроксифенитоина мы показали, что иммобилизованные на электроде рекомбинантные формы цитохрома Р450 могут иметь атипичный профиль биотрансформации и кинетические параметры, аналогичные полученным для фермента, находящегося в растворе. Однако это все же не может исключать вероятность, что при иммобилизации на электроде других изоферментов цитохромов Р450, демонстрирующих атипичные кинетические свойства в других ферментативных системах, их кинетические профили, не говоря уже о кинетических параметрах, могут существенно изменяться.

3.1.6. Биэлектродная электрохимическая система для определения каталитической активности СҮР2Е1 по отношению к хлорзоксазону

Как отмечалось выше, наряду с созданием электрохимических систем на основе рекомбинантных цитохромов P450, интенсивное развитие получили электрохимические системы на основе адсорбированных (иммобилизованных) на электродах мембраносвязанных цитохромов P450. Преимуществом таких систем является отсутствие необходимости выделения цитохрома P450 из мембранного микроокружения, что позволяет избежать инактивации фермента. В отличие от рекомбинантных форм ферментов, которые при адсорбции на немодифицированных электродах могут терять стабильность и активность,

иммобилизация мембраносвязанных цитохромов Р450 может препятствовать потере каталитической активности [140, 141].

СҮР2Е1 наряду с алкогольдегидрогеназой участвует в окислении этанола [293-296]. Метаболизм ряда лекарственных препаратов, осуществляемый при участии этого фермента, приводит к образованию токсичных соединений [297, 298]. СҮР2Е1 рассматривается как фармакологическая мишень для снижения токсичности, вызванной метаболизмом алкоголя, а также взаимодействиями между лекарствами и алкоголем, что вызывает интерес поиска селективных ингибиторов этого фермента [299]. Одним из субстратов СҮР2Е1 является хлорзоксазон — миорелаксант центрального действия, метаболизм которого при участии этого фермента происходит с образованием 6-гидроксихлорзоксазона [300] (рисунок 55), при этом хлорзоксазон является маркерным субстратом СҮР2Е1 и широко используется для определения активности этого фермента [301].

Рисунок 55. Реакция 6-гидроксилирования хлорзоксазона при участии CYP2E1.

В данной части работы мы предприняли попытку создать удобную в практическом применении электрохимическую систему ДЛЯ определения активности мембраносвязанного CYP2E1. Для этого использовалась биэлектродная стратегия, в которой один из электродов использовался для иммобилизации бактосом, содержащих СҮР2Е1 человека, СРR и сут b_5 человека, а другой электрод – для количественного определения 6-гидроксихлорзоксазона путем его электрохимического окисления на электроде. В данной системе электрод, использующийся для иммобилизации бактосом, выступает источником электронов для восстановления СҮР2Е1 и инициирования каталитической

реакции, при этом СҮР2Е1 находится в мембранном окружении и в присутствии своих природных редокс партнерных белков (CPR и сут b_5), что позволяет достичь максимальной стабильности фермента. Наличие в системе сут b_5 позволяет получить ферментативную систему с максимальной активностью, поскольку известно, что данный гемопротеин активирует каталитическую функцию СҮР2Е1 302, 303]. [32,Количественное вольтамперометрическое определение образующегося метаболита реакции (6-гидроксихлорзоксазона) за счет его прямого электрохимического окисления при потенциалах, отличных от потенциала субстрата (хлорзоксазона), бы избежать окисления могло позволить дополнительных стадий выделения метаболита при исследовании каталитической активности СҮР2Е1.

Мы исследовали электрохимические свойства хлорзоксазона и 6-гидроксихлорзоксазона и их эквимолярной смеси методом циклической вольтамперометрии в 100 мМ калий-фосфатном буфере (рН 7,4), содержащем 50 мМ NaCl (рисунок 56).

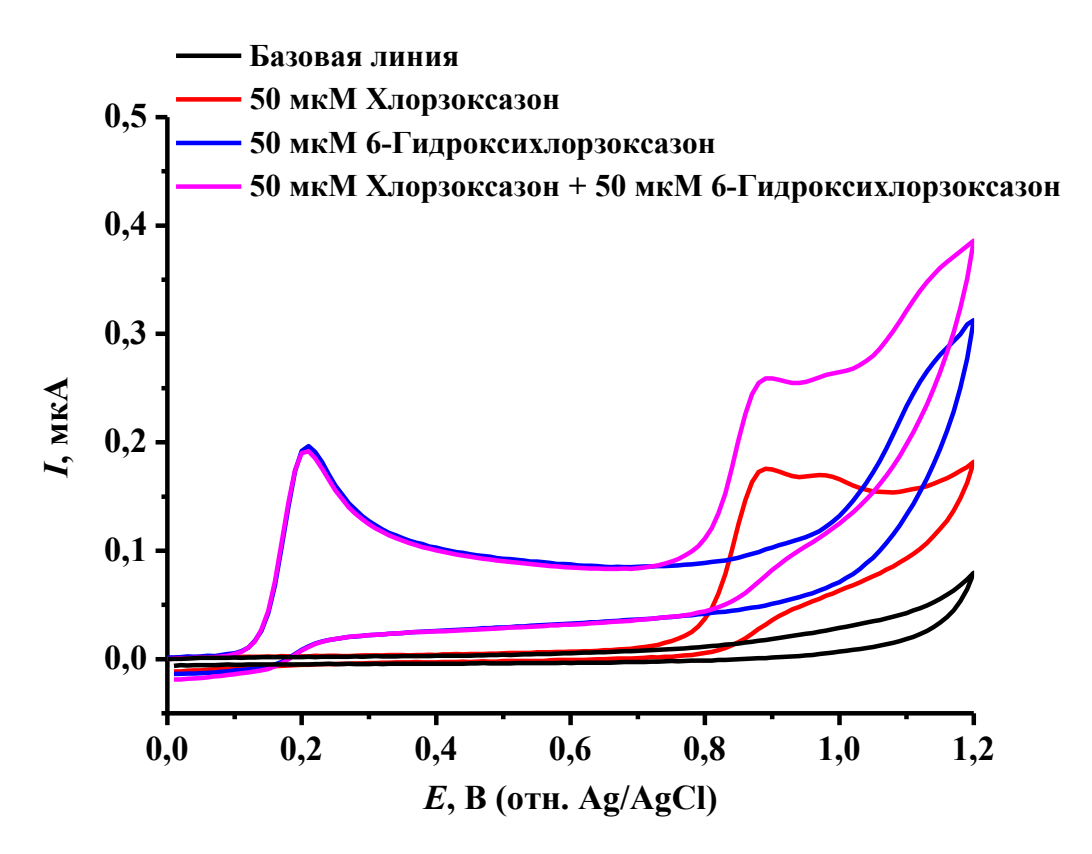


Рисунок 56. Циклические вольтамперограммы, зарегистрированные с помощью немодифицированных ПГЭ в 100 мМ калий-фосфатном буфере (рН 7,4), содержащем 50 мМ NaCl (—) и 50 мкМ хлорзоксазон (—), 50 мкМ 6-гидроксихлорзоксазон (—) или смесь 50 мкМ хлорзоксазона и 50 мкМ 6-гидроксихлорзоксазона (—). Скорость сканирования 100 мВ/с.

Как видно на рисунке 56, хлорзоксазон при концентрации 50 мкМ имеет пик окисления в области 0,892 В (отн. Ag/AgCl) и пик в области 0,972 В (отн. Ag/AgCl). Ранее в работе Abbar и соавт. были исследованы электрохимические свойства хлорзоксазона с помощью СУЭ [304]. Авторы зарегистрировали пик окисления хлорзоксазона в 200 мМ фосфатном буфере (рН 7,0) при 0,9072 В (отн. Ag/AgCl), а также показали, что процесс электрохимического окисления хлорзоксазона происходит с участием количества электронов, эквивалентного количеству протонов. На основании экспериментальных данных, авторы предположили механизм электрохимического окисления хлорзоксазона, сопровождаемый отщеплением одного протона и одного электрона с последующим присоединением воды, декарбоксилированием и формированием конечного продукта 2-амино-4-

хлорфенола. Позже полученные Baniahmad и соавт. данные по исследованию электрохимического окисления хлорзоксазона подтвердили предположенный ранее механизм электрохимического окисления этого соединения [305]. Для 6гидроксихлорзоксазона при концентрации 50 мкМ мы зарегистрировали пик окисления в области 0,207 В (отн. Ag/AgCl), пик с небольшой амплитудой в области 0,891 В (отн. Ag/AgCl) и пик в области 1,114 В (отн. Ag/AgCl). Мы предположили, что пик окисления в области 0,207 В (отн. Ag/AgCl) может 6отражать процесс окисления гидроксифенильной группы гидроксихлорзоксазона, при этом пики в области 0,891 B (отн. Ag/AgCl) и 1,114 B (отн. Ag/AgCl), по-видимому, отражают процесс окисления молекулы по механизму, схожему с механизмом окисления хлорзоксазона.

Чтобы предположить механизм электрохимического окисления 6-гидроксихлорзоксазона, мы зарегистрировали циклические вольтамперограммы при различных значениях рН 100 мМ калий-фосфатного фонового электролита, содержащего 50 мМ NaCl (рисунок 57 A).

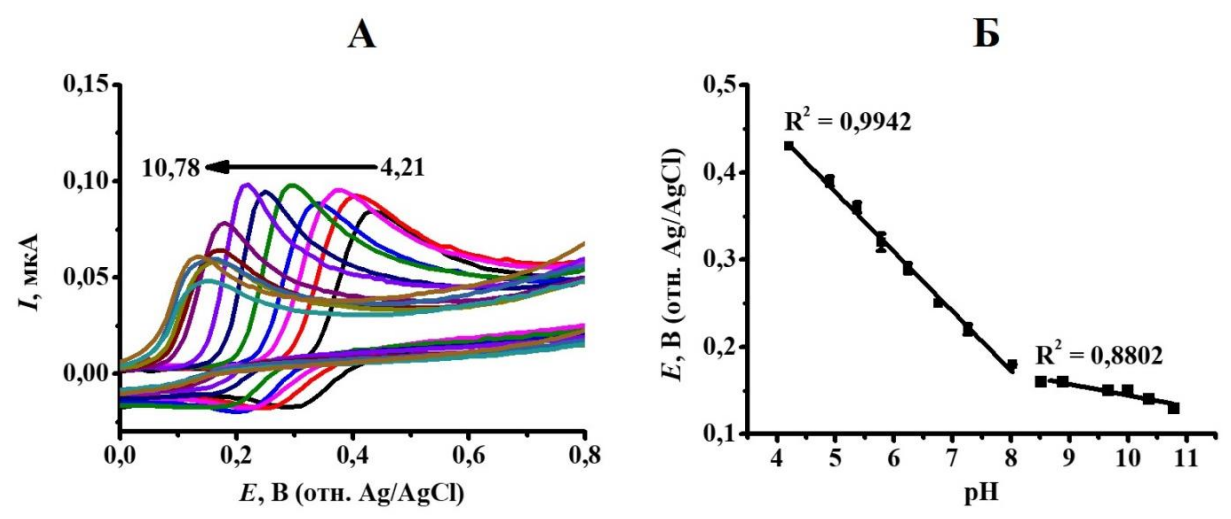


Рисунок 57. Циклические вольтамперограммы, зарегистрированные с помощью немодифицированных ПГЭ в 100 мМ калий-фосфатном фоновом электролите, содержащем 50 мМ NaCl и 50 мкМ 6-гидроксихлорзоксазон, при различных значениях рН (4,21-10,78) (**A**) и зависимость потенциала пика окисления 6-гидроксихлорзоксазона от рН (**Б**). Скорость сканирования 100 мВ/с. Представлены средние значения из 3-5 независимых экспериментов \pm стандартные отклонения.

Как видно на рисунке 57 А, при увеличении рН пик окисления 6гидроксихлорзоксазона смещается в область с меньшим значением потенциалов. При этом в диапазоне потенциалов от 0,1 до 0,3 В (отн. Ag/AgCl) регистрируется пик восстановления, значение тока которого примерно в 5,5 раз меньше, по сравнению со значением тока окислительного пика. При рН больше 8,02 восстановительный ток практически исчезает. Зависимость потенциала окисления 6-гидроксихлорзоксазона от pH в диапазоне 4,21-8,02 имела линейный характер (\mathbb{R}^2 = 0,9942) и описывалась уравнением: E, B = -(0,06833 \pm 0,00197), $B/pH \times pH +$ (0.71957 ± 0.01217) , В (рисунок 57 Б). Таким образом, полученное значение наклона прямой 0,068 В/рН близко к теоретически рассчитанному значению 0,059 В/рН, которое свидетельствует об участии в электрохимическом процессе одинакового количества электронов и протонов [77]. В диапазоне рН 8,52-10,78 потенциал пика окисления 6-гидроксихлорзоксазона изменялся незначительно, и полученная зависимость была аппроксимирована прямой ($R^2 = 0.8802$), описываемой уравнением: E, $B = -(0.01285 \pm 0.00209)$, $B/pH \times pH + (0.27299 \pm 0.02036)$, B(рисунок 57 Б). Излом прямого участка зависимости потенциала окисления 6гидроксихлорзоксазона от рН указывает на достижение значений рН (8,02-8,89), близких К значению pK_a гидроксифенильной группы молекулы гидроксихлорзоксазона. Это хорошо согласуется со значением р $K_{\rm a}$, равным 8,55 для молекулы 2-хлорфенола [306], фрагмент которой имеется в структуре 6гидроксихлорзоксазона. Кроме того, значение pH 8,3 соответствует значению р $K_{\rm a}$ хлорзоксазона [307], и, по-видимому, близко к значению рН иминогруппы в молекуле 6-гидроксихлорзоксазона. Таким образом, при достижении рН 8,02-8,89 количество протонов, участвующих в окислении 6-гидроксихлорзоксазона уменьшается, на что указывает слабое изменение потенциала окисления 6гидроксихлорзоксазона. Количество электронов, участвующих в окислении 6гидроксихлорзоксазона, может быть рассчитано по уравнению 23 [77]:

$$E_{\rm p} - E_{\rm p} = \frac{1,857RT}{\alpha nF},$$
 (23)

где $E_{\rm p}$ – потенциал пика, B, $E_{\rm p/2}$ – потенциал полупика, B.

Приняв значение α равным 0,5, мы определили среднее значение *п* в диапазоне pH 4,21-10,78 как 1,9, при этом среднее количество протонов, участвующих в реакции окисления 6-гидроксихлорзоксазона в диапазоне pH 4,21-8,02, с учетом полученного наклона зависимости потенциала пика от pH, было определено как 2,3. Таким образом, мы предположили, что механизм окисления 6-гидроксихлорзоксазона связан с отщеплением двух электронов и двух протонов и образованием конечного продукта 5-хлорбензоксазол-2,6-диона (рисунок 58).

Рисунок 58. Предполагаемый механизм электрохимического окисления 6-гидроксихлорзоксазона.

В эквимолярной смеси хлорзоксазона и 6-гидроксихлорзоксазона были зарегистрированы пики окисления в области 0,207 B (отн. Ag/AgCl), 0,896 B (отн. Ag/AgCl), 0,980 B (отн. Ag/AgCl) и 1,120 B (отн. Ag/AgCl). Пик в области 0,207 B (отн. Ag/AgCl) имеет значения потенциала и тока, аналогичные соответствующим гидроксифенильной характеристикам окисления группы пика гидроксихлорзоксазона в отсутствие хлорзоксазона. Пики в области 0,896 В (отн. Ag/AgCl), 0,980 В (отн. Ag/AgCl) и 1,120 В (отн. Ag/AgCl) отражают процессы окисления 6-гидроксихлорзоксазона и хлорзоксазона. Таким образом, мы показали определения 6-гидроксихлорзоксазона возможность пику ПО его электрохимического окисления в области 0,207 В (отн. Ag/AgCl) в смеси, содержащей хлорзоксазон.

Для количественного определения 6-гидроксихлорзоксазона нами использовался метод квадратно-волновой вольтамперометрии. Пик окисления гидроксифенильной группы 6-гидроксихлорзоксазона был зарегистрирован в области 0.203 ± 0.022 В (отн. Ag/AgCl) (рисунок 59 A).

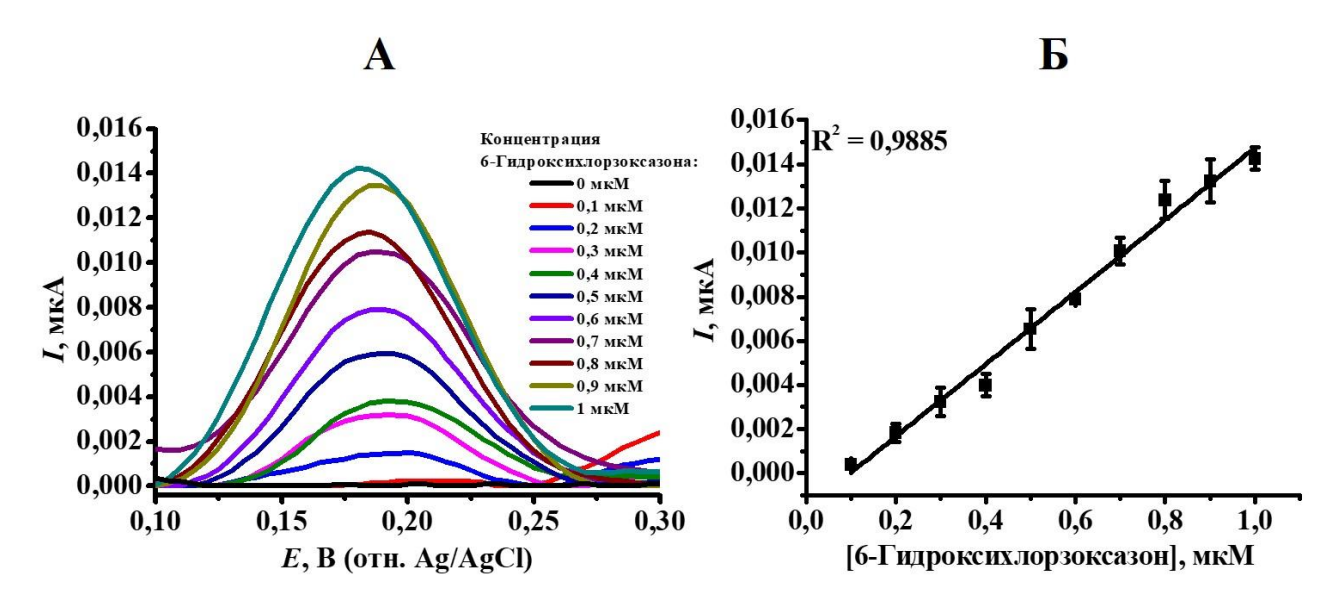


Рисунок 59. Квадратно-волновые вольтамперограммы, зарегистрированные с помощью немодифицированных ПГЭ в 100 мМ калий-фосфатном буфере (рН 7,4), содержащем 50 мМ NaCl и различные концентрации (от 0 до 1 мкМ) 6-гидроксихлорзоксазона (**A**). Частота 25 Гц, амплитуда 40 мВ, шаг потенциала 5 мВ. Зависимость тока пика окисления от концентрации 6-гидроксихлорзоксазона (**Б**). Представлены средние значения из 3-5 независимых экспериментов \pm стандартные отклонения.

Зависимость тока пика окисления от концентрации 6-гидроксихлорзоксазона (в диапазоне 0,1-1 мкМ) в 100 мМ калий-фосфатном буфере (рН 7,4), содержащем 50 мМ NaCl, имела линейный характер ($R^2 = 0,9885$) и описывалась уравнением прямой: I, мкА = $(0,01635 \pm 0,00059)$, мкА/мкМ × [6-Гидроксихлорзоксазон], мкМ – $(0,00161 \pm 0,00036)$, мкА (рисунок 59 Б). Чувствительность была определена как 0,016 мкА/мкМ. Предел определяемых концентраций, рассчитанный с учетом трехкратного стандартного отклонения среднего значения тока в области потенциала окисления 6-гидроксихлорзоксазона, был определен как 110 нМ.

Таким образом, разработана методика идентификации и количественного определения 6-гидроксихлорзоксазона за счет его прямого электрохимического окисления на немодифицированных ПГЭ, которая применялась нами в дальнейшем

для оценки каталитической активности СҮР2Е1-содержащих бактосом по отношению к хлорзоксазону.

Для иммобилизации бактосом на электроде в качестве модификатора электродной поверхности мы использовали ДДАБ. Мы предполагаем, что взаимодействие бактосом с электродом, модифицированным ДДАБ, происходит за счет гидрофобных взаимодействий компонентов бактосом и алифатических цепей ДДАБ, а также за счет электростатических взаимодействий отрицательно заряженных фосфатных групп фосфолипидов мембран бактосом и положительно заряженного атома азота молекулы ДДАБ.

зарегистрировали циклическую вольтамперограмму электрода иммобилизованными бактосомами в 100 мМ калий-фосфатном буфере (рН 7,4), содержащем 50 мМ NaCl, насыщенном аргоном (рисунок 60 A). После вычитания фоновой кривой циклическая вольтамперограмма электрода иммобилизованными бактосомами характеризовалась пиком восстановления при $E_{\rm c}$ -0,345 ± 0,006 B (отн. Ag/AgCl) и пиком окисления при $E_{\rm a}$ -0,251 ± 0,013 B (отн. Ag/AgCl) (рисунок 60 Б). Значение $E_{\rm m}$ было определено как -0,298 \pm 0,010 В (отн. Ag/AgCl). Поскольку исследуемые бактосомы содержат в своем составе гемопротеины CYP2E1 и суt b_5 , мы предположили, что полученная редокс пара пиков соответствует одновременно процессам восстановления и окисления как иона железа гема СҮР2Е1, так и иона железа гема сут b_5 .

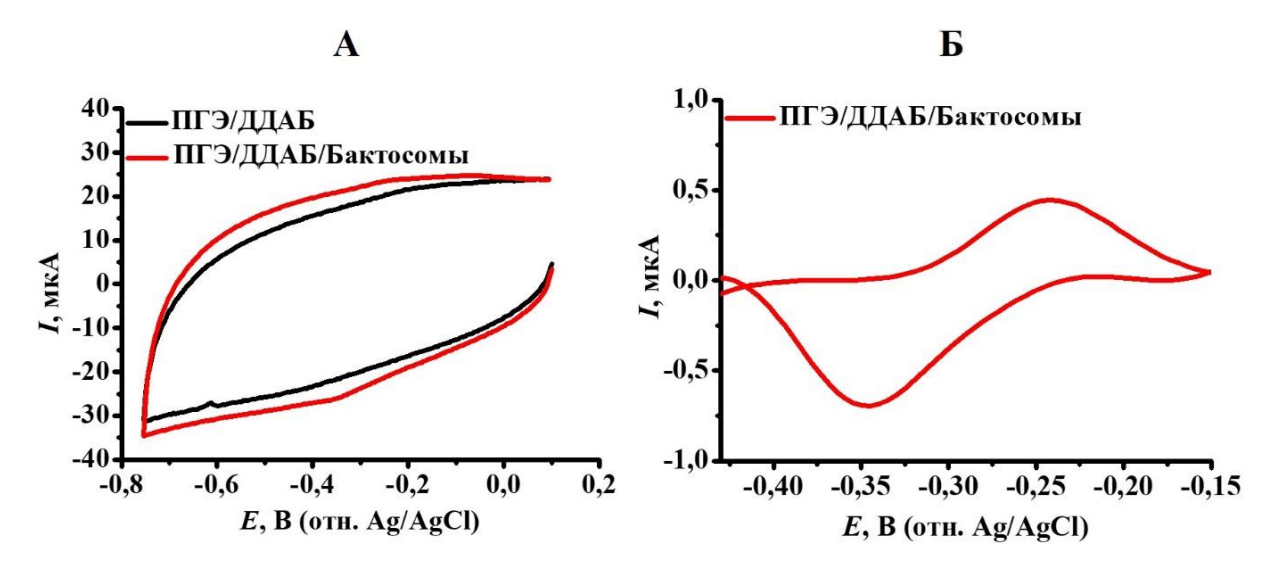


Рисунок 60. Циклические вольтамперограммы, зарегистрированные с помощью ПГЭ, модифицированного ДДАБ (—), и с иммобилизованными бактосомами (—) в насыщенном аргоном 100 мМ калий-фосфатном буфере (рН 7,4), содержащем 50 мМ NaCl (A). Циклическая вольтамперограмма, полученная после вычитания циклической вольтамперограммы ПГЭ, модифицированного ДДАБ, без бактосом из циклической вольтамперограммы ПГЭ, модифицированного ДДАБ, с иммобилизованными бактосомами (Б). Скорость сканирования 50 мВ/с.

В соответствии с уравнением 10 и молярным отношением CYP2E1 и сут b_5 в бактосомах, заявленным производителем, количества электроактивных CYP2E1 и сут b_5 были рассчитаны как 9 ± 1 пмоль и 45 ± 5 пмоль, соответственно.

Поскольку нам не удалось зафиксировать редокс процесс для флавиновых кофакторов CPR, входящей в состав бактосом, по-видимому, из-за относительно невысокой чувствительности циклической вольтамперометрии, для идентификации пиков восстановления и окисления флавинов CPR бактосом мы использовали метод дифференциально-импульсной вольтамперометрии (рисунок 61).

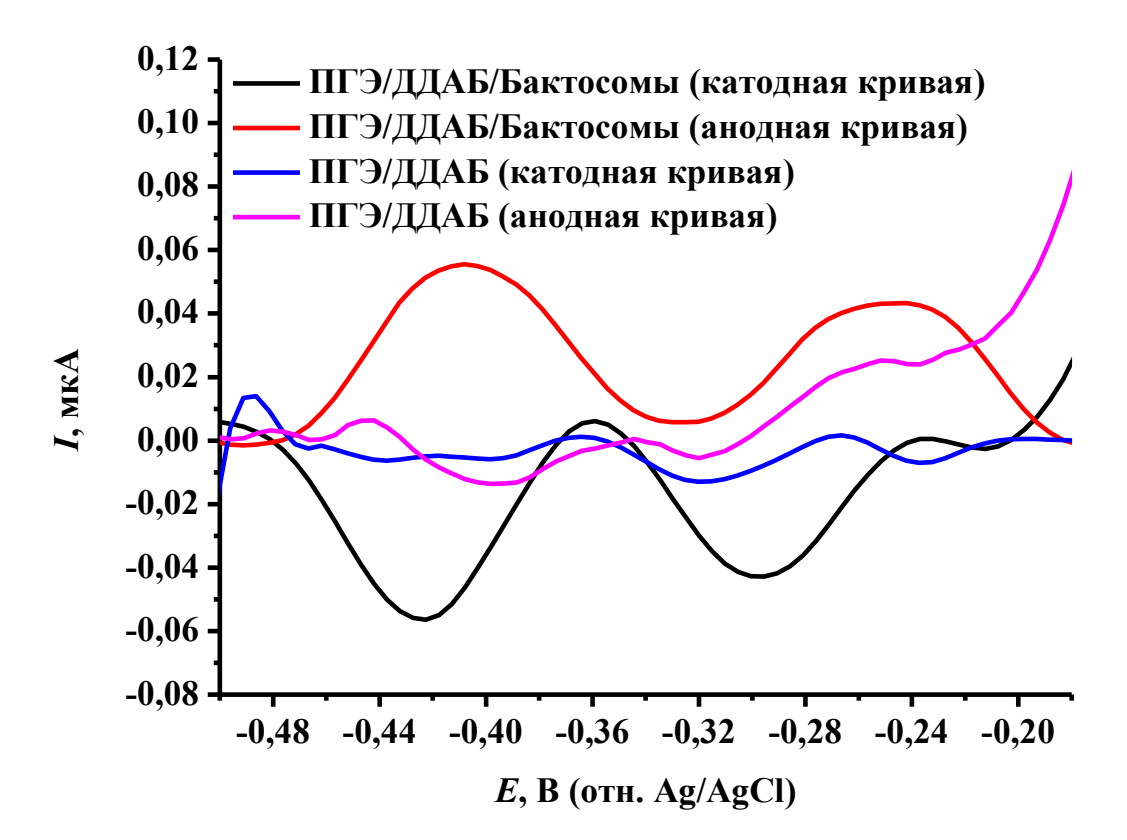


Рисунок 61. Дифференциально-импульсные вольтамперограммы, зарегистрированные с помощью ПГЭ, модифицированного ДДАБ (катодная кривая (—) и анодная кривая (—)), и с иммобилизованными бактосомами (катодная кривая (—)) и анодная кривая (—)) в насыщенном аргоном 100 мМ калий-фосфатном буфере (рН 7,4), содержащем 50 мМ NaCl. Амплитуда модуляции 20 мВ, шаг потенциала 5 мВ, интервал 500 мс, время модуляции 50 мс.

Как видно на рисунке 61, дифференциально-импульсные вольтамперограммы характеризуются пиком восстановления при $E_{\rm c}$ -0,307 \pm 0,012 В (отн. Ag/AgCl) и пиком окисления при $E_{\rm a}$ -0,261 \pm 0,020 В (отн. Ag/AgCl), а рассчитанное значение $E_{\rm m}$, -0,284 \pm 0,011 В (отн. Ag/AgCl), близко к аналогичному параметру, полученному с помощью метода циклической вольтамперометрии. Таким образом, данная пара пиков характеризует редокс процесс для иона железа гемовых групп CYP2E1 и сут b_5 . Также на дифференциально-импульсной вольтамперограмме наблюдается пара пиков при $E_{\rm c}$ -0,454 \pm 0,038 В (отн. Ag/AgCl) и при $E_{\rm a}$ -0,410 \pm 0,023 В (отн. Ag/AgCl) со значением $E_{\rm m}$ -0,432 \pm 0,026 В (отн.

Ag/AgCl). Ранее в работах Nerimetla и соавт. для бактосом, содержащих только CPR, электростатически адсорбированных на цистеаминовом монослое кварцевых кристаллов с золотым напылением или электростатически иммобилизованных на электродах из плоского пиролитического графита с функционализированными амином магнитными наночастицами, $E^{0'}$ при pH 7,0 был определен как -0,450 \pm 0,038 B (отн. Ag/AgCl) [148] или -0,47 \pm 0,02 B (отн. Ag/AgCl) [95], соответственно. Таким образом, полученное нами значение $E_{\rm m}$ для второй пары пиков бактосом хорошо согласуется с аналогичным параметром, полученным ранее другими авторами для CPR.

Мы также исследовали электрохимические свойства рекомбинантных СҮР2Е1 (рисунок 62) и сут b_5 (рисунок 63) и их смеси (в молярном отношении 1:5) (рисунок 64), иммобилизованных на электродах, модифицированных ДДАБ.

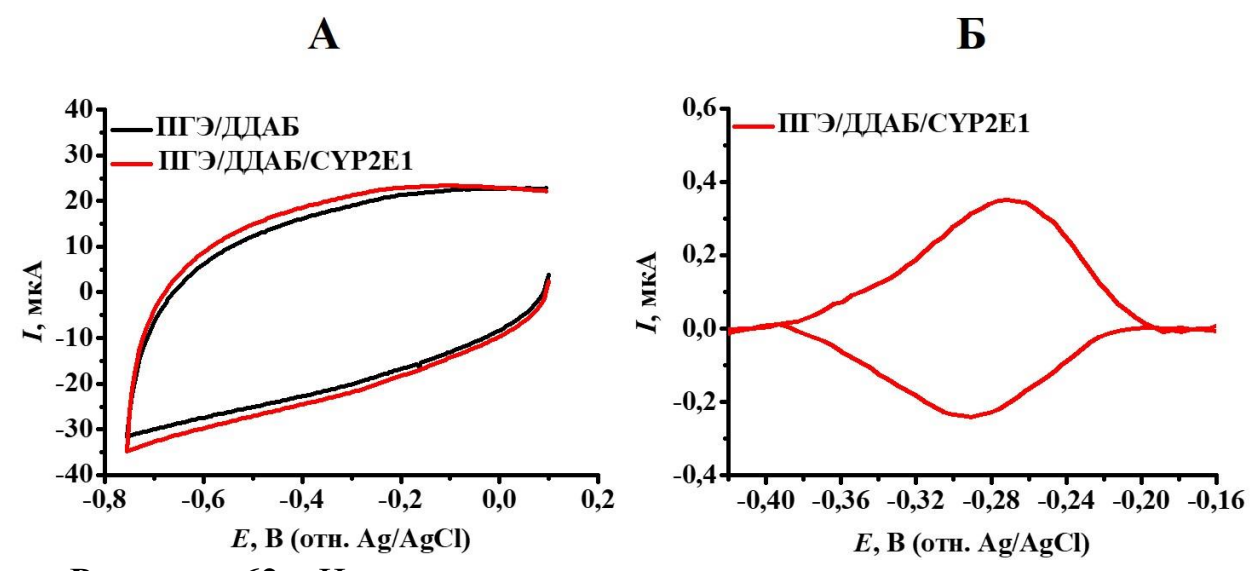


Рисунок 62. Циклические вольтамперограммы, зарегистрированные с помощью ПГЭ, модифицированного ДДАБ (—), и с иммобилизованным СҮР2Е1 (—) в насыщенном аргоном 100 мМ калий-фосфатном буфере (рН 7,4), содержащем 50 мМ NaCl (A). Циклическая вольтамперограмма, полученная после вычитания циклической вольтамперограммы ПГЭ, модифицированного ДДАБ, без СҮР2Е1 из циклической вольтамперограммы ПГЭ, модифицированного ДДАБ, с иммобилизованным СҮР2Е1 (Б). Скорость сканирования 50 мВ/с.

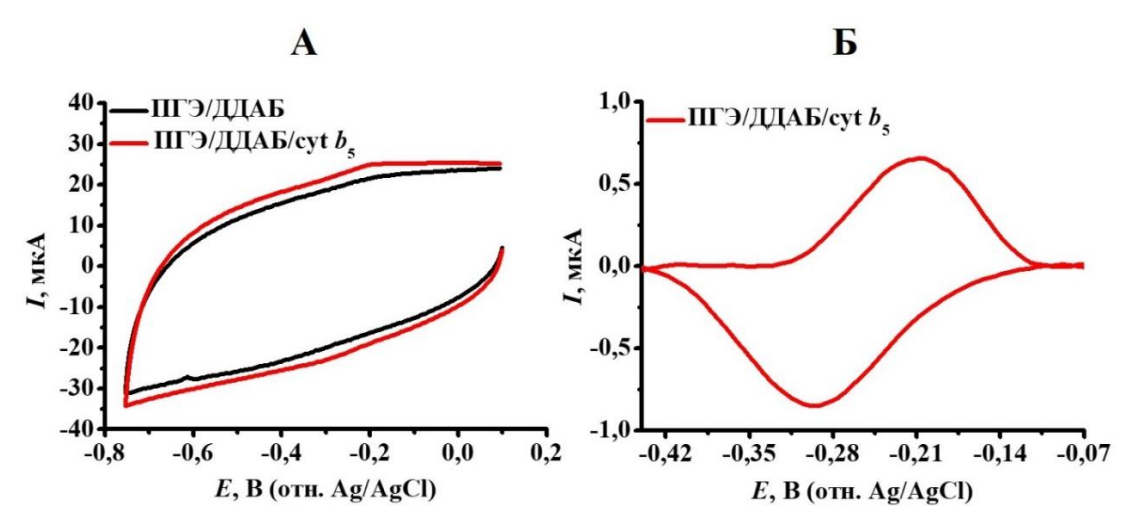


Рисунок 63. Циклические вольтамперограммы, зарегистрированные с помощью ПГЭ, модифицированного ДДАБ (—), и с иммобилизованным сут b_5 (—) в насыщенном аргоном 100 мМ калий-фосфатном буфере (рН 7,4), содержащем 50 мМ NaCl (**A**). Циклическая вольтамперограмма, полученная после вычитания циклической вольтамперограммы ПГЭ, модифицированного ДДАБ, без сут b_5 из циклической вольтамперограммы ПГЭ, модифицированного ДДАБ, с иммобилизованным сут b_5 (**Б**). Скорость сканирования 50 мВ/с.

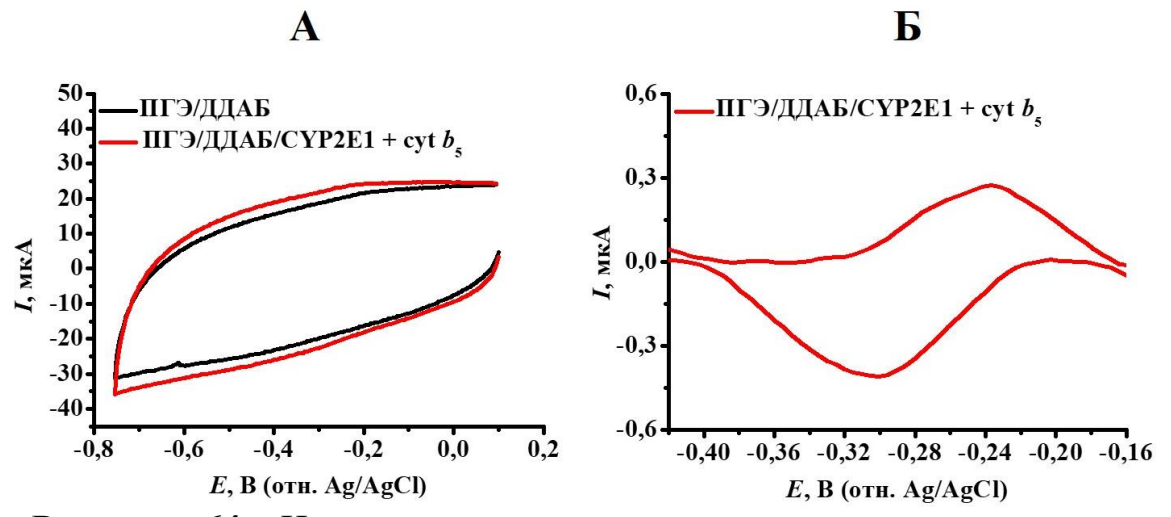


Рисунок 64. Циклические вольтамперограммы, зарегистрированные с помощью ПГЭ, модифицированного ДДАБ (—), и с иммобилизованными СҮР2Е1 и сут b_5 (—) в насыщенном аргоном 100 мМ калий-фосфатном буфере (рН 7,4), содержащем 50 мМ NaCl (**A**). Циклическая вольтамперограмма, полученная после вычитания циклической вольтамперограммы ПГЭ, модифицированного ДДАБ, без СҮР2Е1 и сут b_5 из циклической вольтамперограммы ПГЭ, модифицированного ДДАБ, с иммобилизованными СҮР2Е1 и сут b_5 (**Б**). Скорость сканирования 50 мВ/с.

После вычитания фоновых кривых для СҮР2Е1 значения $E_{\rm c}$ и $E_{\rm a}$ были зарегистрированы при -0.301 ± 0.007 В (отн. Ag/AgCl) и -0.263 ± 0.008 В (отн. Ag/AgCl), соответственно, а значение $E_{\rm m}$ рассчитано как -0,282 \pm 0,005 B (отн. Ag/AgCl). Таким образом, $E_{\rm m}$ для CYP2E1 на 16 мВ больше, по сравнению с $E_{\rm m}$ для бактосом. Для сут b_5 значения $E_{\rm c}$ и $E_{\rm a}$ были зарегистрированы при $-0.288 \pm 0.009~{
m B}$ (отн. Ag/AgCl) и -0,222 \pm 0,017 В (отн. Ag/AgCl), соответственно, и $E_{\rm m}$ определено как -0.255 ± 0.005 В (отн. Ag/AgCl), что на 43 мВ больше, по сравнению с $E_{\rm m}$ для бактосом, и на 27 мВ больше, по сравнению с $E_{\rm m}$ для СҮР2Е1. Редокс пара также наблюдается для смеси рекомбинантных CYP2E1 и суt b_5 при потенциалах -0,310 \pm $0,014~{\rm B}$ (отн. Ag/AgCl) и $-0,242\pm0,007~{\rm B}$ (отн. Ag/AgCl), а значение $E_{\rm m}$ рассчитано как -0.276 ± 0.011 В (отн. Ag/AgCl). Таким образом, $E_{\rm m}$ для смеси CYP2E1 и суt b_5 находится между значениями аналогичного параметра для рекомбинантных CYP2E1 и сут b_5 . Также мы исследовали рекомбинантную CPR крысы, иммобилизованную на электроде, методом дифференциально-импульсной вольтамперометрии (рисунок 65).

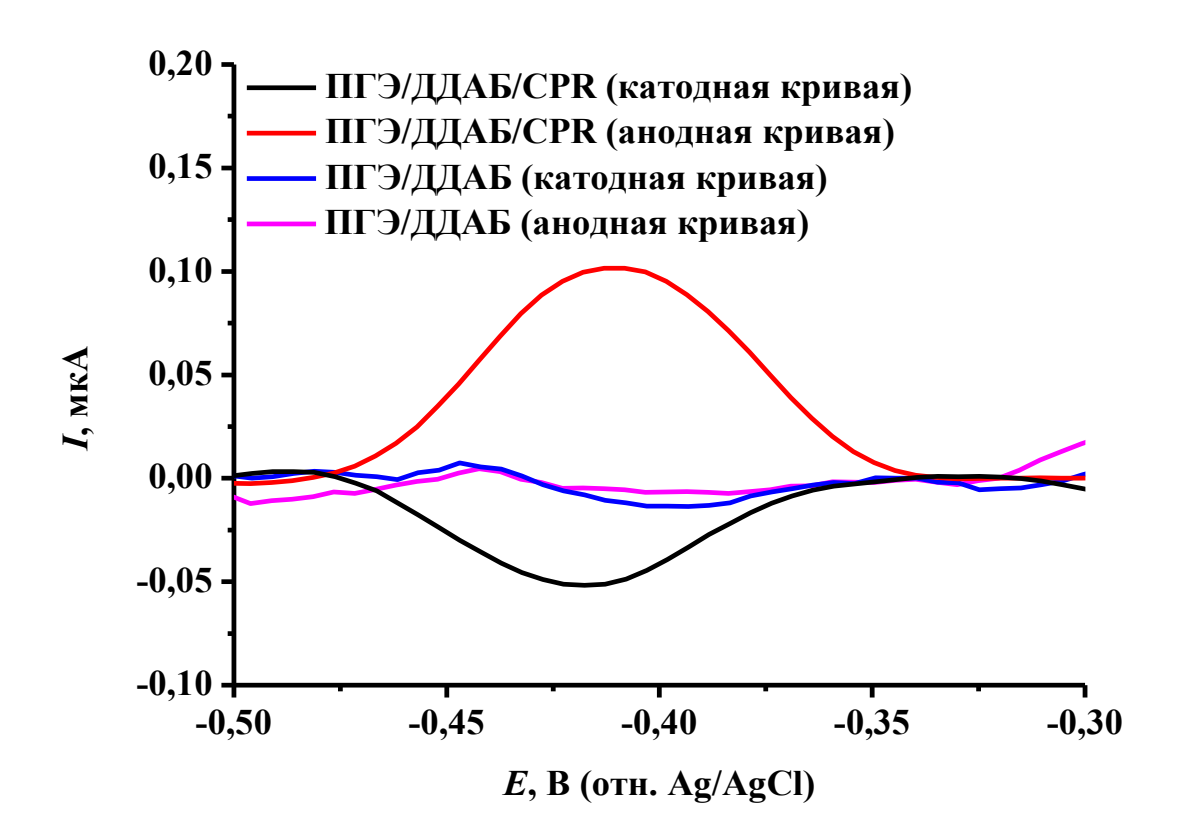


Рисунок 65. Дифференциально-импульсные вольтамперограммы, зарегистрированные с помощью ПГЭ, модифицированного ДДАБ (катодная кривая (—) и анодная кривая (—)), и с иммобилизованной СРК (катодная кривая (—) и анодная кривая (—)) в насыщенном аргоном 100 мМ калий-фосфатном буфере (рН 7,4), содержащем 50 мМ NaCl. Амплитуда модуляции 20 мВ, шаг потенциала 5 мВ, интервал 500 мс, время модуляции 50 мс.

Как видно на рисунке 65, на катодной ветви наблюдается пик восстановления при $E_{\rm c}$ -0,421 ± 0,003 В (отн. Ag/AgCl), при этом на анодной ветви наблюдается пик окисления при $E_{\rm a}$ -0,402 ± 0,012 В (отн. Ag/AgCl), значение $E_{\rm m}$ было определено как -0,412 ± 0,005 В (отн. Ag/AgCl), что близко к аналогичным параметрам, полученным нами с помощью дифференциально-импульсной вольтамперометрии для второй пары пиков, отражающих редокс процесс для флавиновых кофакторов СРR бактосом.

Анализ полученных данных наводит на мысль, что более отрицательное значение $E_{\rm m}$ для пары пиков, полученных методом циклической

вольтамперометрии для бактосом, по сравнению с аналогичным параметром для рекомбинантных CYP2E1, сут b_5 и их смеси, может являться следствием влияния на перенос электронов CPR, входящей в состав бактосом. Вероятно, что акцептором электронов от электрода является как CPR, так и CYP2E1 и сут b_5 .

Электрохимические характеристики бактосом, CYP2E1, сут b_5 , смеси CYP2E1 + сут b_5 и CPR, зарегистрированные в анаэробных условиях, представлены в таблице 5.

Таблица 5. Электрохимические характеристики бактосом, сут b_5 , смеси СҮР2Е1 + сут b_5 и СРR, зарегистрированные в анаэробных условиях.

Иммобилизованный	$E_{\rm c},{ m B}$	$E_{\mathrm{a}},\mathrm{B}$	E _m , B	
компонент	(отн. Ag/AgCl)	(отн. Ag/AgCl)	(отн. Ag/AgCl)	
	-0.345 ± 0.006	$-0,251 \pm 0,013$	$-0,298 \pm 0,010$	
Бактосомы	$-0,307 \pm 0,012^*$	$-0,261 \pm 0,020^*$	$-0,284 \pm 0,011^*$	
	$-0,454 \pm 0,038^*$	$-0,410 \pm 0,023^*$	$-0,432 \pm 0,026^*$	
CYP2E1	-0.301 ± 0.007	$-0,263 \pm 0,008$	$-0,282 \pm 0,005$	
cyt b ₅	$-0,288 \pm 0,009$	$-0,222 \pm 0,017$	$-0,255 \pm 0,005$	
CYP2E1 + cyt b_5	-0.310 ± 0.014	$-0,242 \pm 0,007$	$-0,276 \pm 0,011$	
CPR	$-0.421 \pm 0.003^*$	$-0,402 \pm 0,012^*$	$-0,412 \pm 0,005^*$	

Примечание: Значения потенциалов, отмеченные знаком «*», зарегистрированы дифференциально-импульсной вольтамперометрией, остальные значения потенциалов зарегистрированы циклической вольтамперометрией.

Стоит отметить, что в пионерских работах по исследованию электрохимических свойств мембраносвязанных компонентов монооксигеназной системы авторы регистрировали редокс активность только СРR. Так, например, Sultana и соавт. наблюдали пару пиков со значением $E_{\rm m}$ -0,49 В (отн. НКЭ) для СҮР1А2- и СҮР3А4-содержащих микросом, адсорбированных на электродах, модифицированных последовательным нанесением полимерных пленок на основе

полиэтиленимина полистиролсульфоната, что, как И полагают авторы, характеризует редокс процесс для CPR [150]. При этом для рекомбинантных СҮР1А2 и СҮР3А4 значения $E_{\rm m}$ были определены как -0,31 В (отн. НКЭ) и -0,32 В (отн. НКЭ), соответственно. На основании этих результатов авторами было сделано предположение, что в микросомах CPR является первичным акцептором электронов от электрода. Кроме того, авторы наблюдали конверсию стирола до оксида стирола при проведении электрокаталитической реакции при потенциале, при котором происходит восстановление CPR. Nerimetla и соавт. также наблюдали пару пиков со значением $E^{0'}$ -450 ± 40 мB (отн. Ag/AgCl) для бактосом, содержащих CYP2C9 и CPR, электростатически адсорбированных на золотом кварцевом кристалле, модифицированном самоорганизующимися монослоями на основе цистеинамина, при этом значения $E^{0'}$ для рекомбинантных форм CYP2C9 и CPR были определены как -310 ± 20 мB (отн. Ag/AgCl) и -450 ± 38 мB (отн. Ag/AgCl), соответственно [148]. Кроме того, Walgama и соавт. при адсорбции микросом человека на различные электроды из углеродных материалов регистрировали пару пиков со значениями $E^{0'}$ в области от -0,450 В (отн. Ag/AgCl) до -0,470 В (отн. Ag/AgCl), что соответствует $E^{0'}$, характерному для CPR [140]. Перенос электронов системе, содержащей одновременно CPR CYP1A2 ИЛИ CYP2E1, последовательно нанесенные на полиионные подложки, от электрохимически восстановленной формы CPR на цитохромы P450, а не напрямую от электрода, также подтверждался Krishnan и соавт. [308].

С другой стороны, в работе Xu и соавт. при иммобилизации микросом, содержащих СYP2С9 и CPR, на СУЭ, модифицированный нанокомпозитным материалом на основе наночастиц оксида титана и хитозана, при рН 7,4 авторы наблюдали пару пиков при $E_{\rm c}$ -0,404 В (отн. НКЭ) и $E_{\rm a}$ -0,382 В (отн. НКЭ), при этом авторы заключили, что данная пара отражает редокс процесс, в который вовлечены гем СYP2С9 и флавиновые кофакторы CPR [94].

Мы полагаем, что такая разница в наблюдаемых механизмах переноса электронов в различных системах, одновременно содержащих СРR и цитохромы P450, может объясняться использованием различных типов и модификаций

электродов для иммобилизации ферментов и, следовательно, доступностью активных центров для прямого электрохимического восстановления их кофакторов.

Далее мы проанализировали электрохимические характеристики бактосом, рекомбинантных CYP2E1, сут b_5 , их смеси (CYP2E1 + сут b_5) и CPR в аэробных условиях. Циклическая вольтамперограмма электрода с иммобилизованными бактосомами характеризовалась двумя пиками восстановления: -0.262 ± 0.007 В (отн. Ag/AgCl) и -0.418 ± 0.017 В (отн. Ag/AgCl) (рисунок 66).

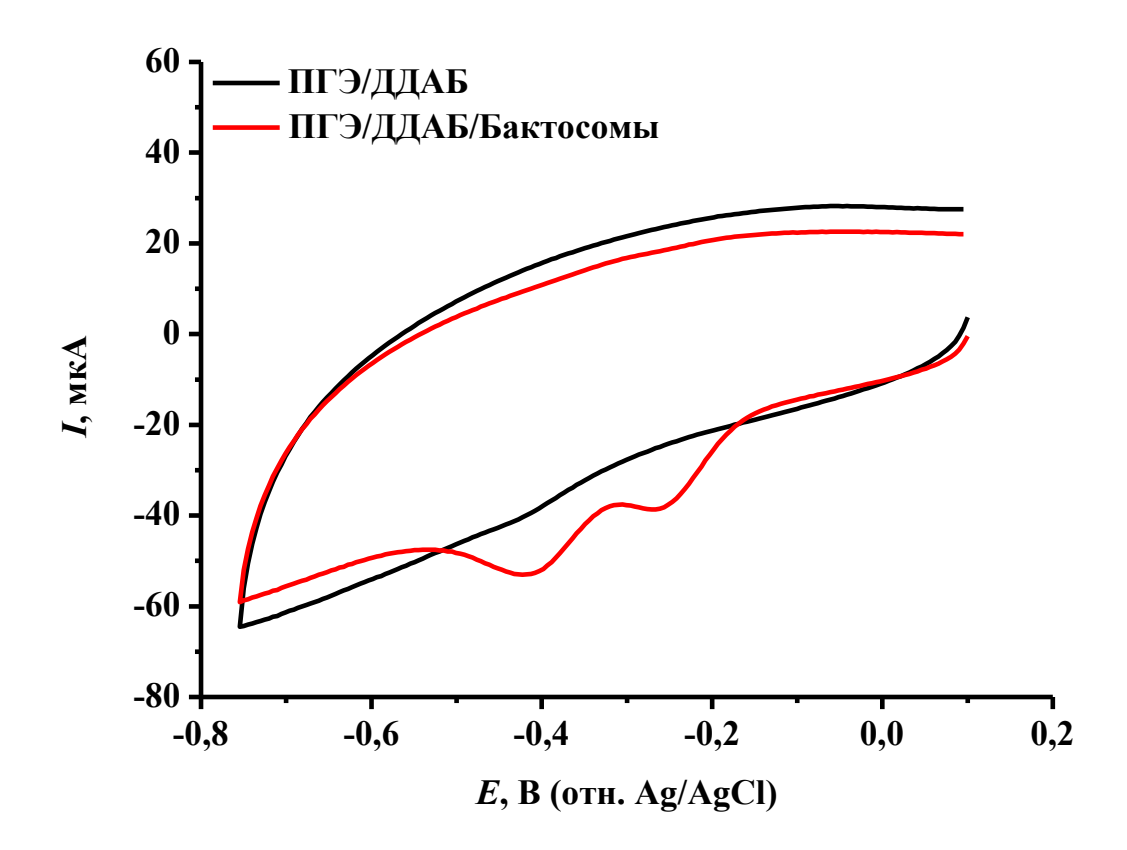


Рисунок 66. Циклические вольтамперограммы, зарегистрированные с помощью ПГЭ, модифицированного ДДАБ (—), и с иммобилизованными бактосомами (—) в 100 мМ калий-фосфатном буфере (рН 7,4), содержащем 50 мМ NaCl. Скорость сканирования 50 мВ/с.

Ранее Carrara и соавт. обнаруживали расщепление восстановительного пика при исследовании электрохимических свойств СҮР1А2-содержащих микросом, при этом после математической обработки авторам удалось получить два пика

восстановления: при -0,380 В (отн. Ag/AgCl) и при -0,560 В (отн. Ag/AgCl), как полагают авторы, соответствующие процессам восстановления CYP1A2 и CPR [163].

Мы предположили, что зарегистрированные нами в аэробных условиях пики восстановления соответствуют восстановлению также иона железа гемопротеинов СҮР2Е1 и сут b_5 , входящих в состав бактосом (-0,262 ± 0,007 В (отн. Ag/AgCl)), и флавиновых кофакторов CPR (-0,418 \pm 0,017 B (отн. Ag/AgCl)). Для τοΓο, чтобы проверить ЭТО предположение, МЫ проанализировали электрохимические свойства рекомбинантных CYP2E1, сут b_5 и CPR в аэробных условиях. Для СҮР2Е1 циклическая вольтамперограмма, зарегистрированная в аэробных условиях, характеризовалась пиком восстановления при $E_{\rm c}$ -0,228 \pm 0,005 B (отн. Ag/AgCl) (рисунок 67).

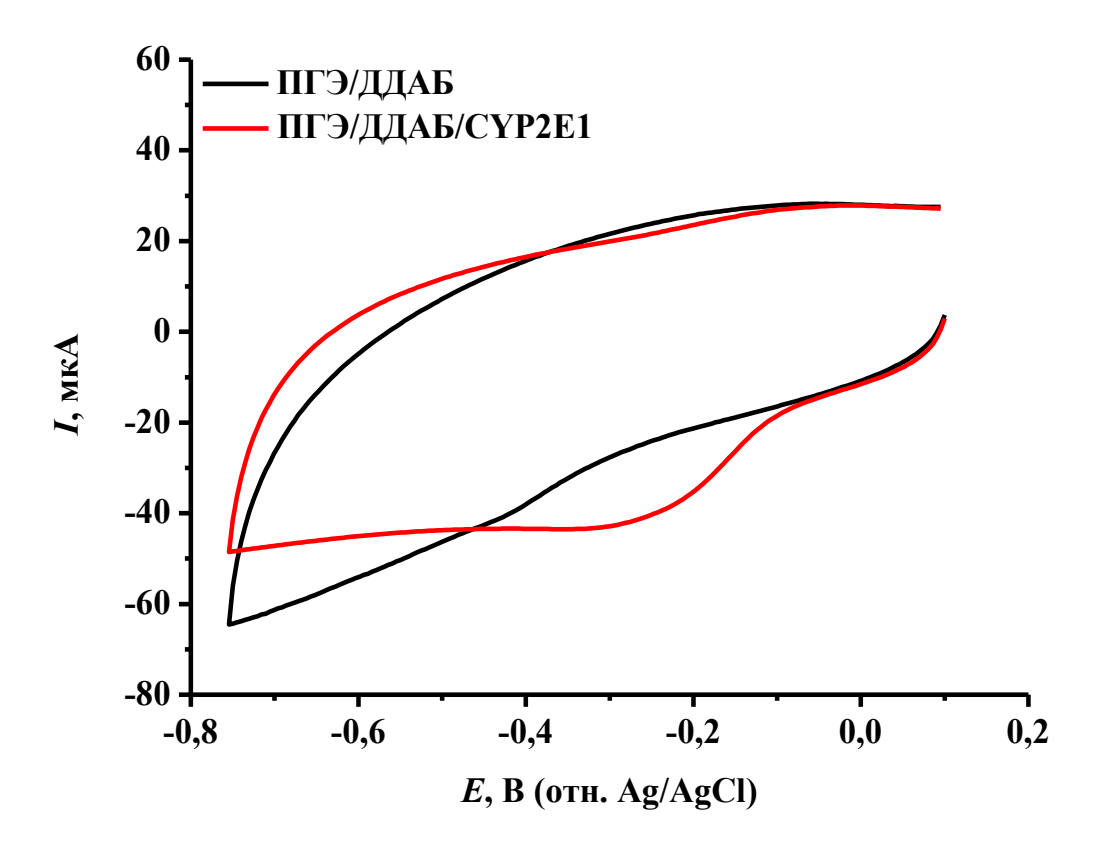


Рисунок 67. Циклические вольтамперограммы, зарегистрированные с помощью ПГЭ, модифицированного ДДАБ (—), и с иммобилизованным СҮР2Е1 (—) в 100 мМ калий-фосфатном буфере (рН 7,4), содержащем 50 мМ NaCl. Скорость сканирования 50 мВ/с.

Таким образом, потенциал пика восстановления иона железа гема СҮР2Е1 в аэробных условиях на 73 мВ больше, по сравнению с потенциалом пика восстановления, зарегистрированным для СҮР2Е1 в анаэробных условиях. Циклическая вольтамперограмма для сут b_5 в аэробных условиях характеризовалась пиком восстановления при $E_{\rm c}$ -0,200 \pm 0,007 В (рисунок 68), что имеет на 88 мВ более положительное значение, по сравнению с потенциалом восстановления данного белка в анаэробных условиях.

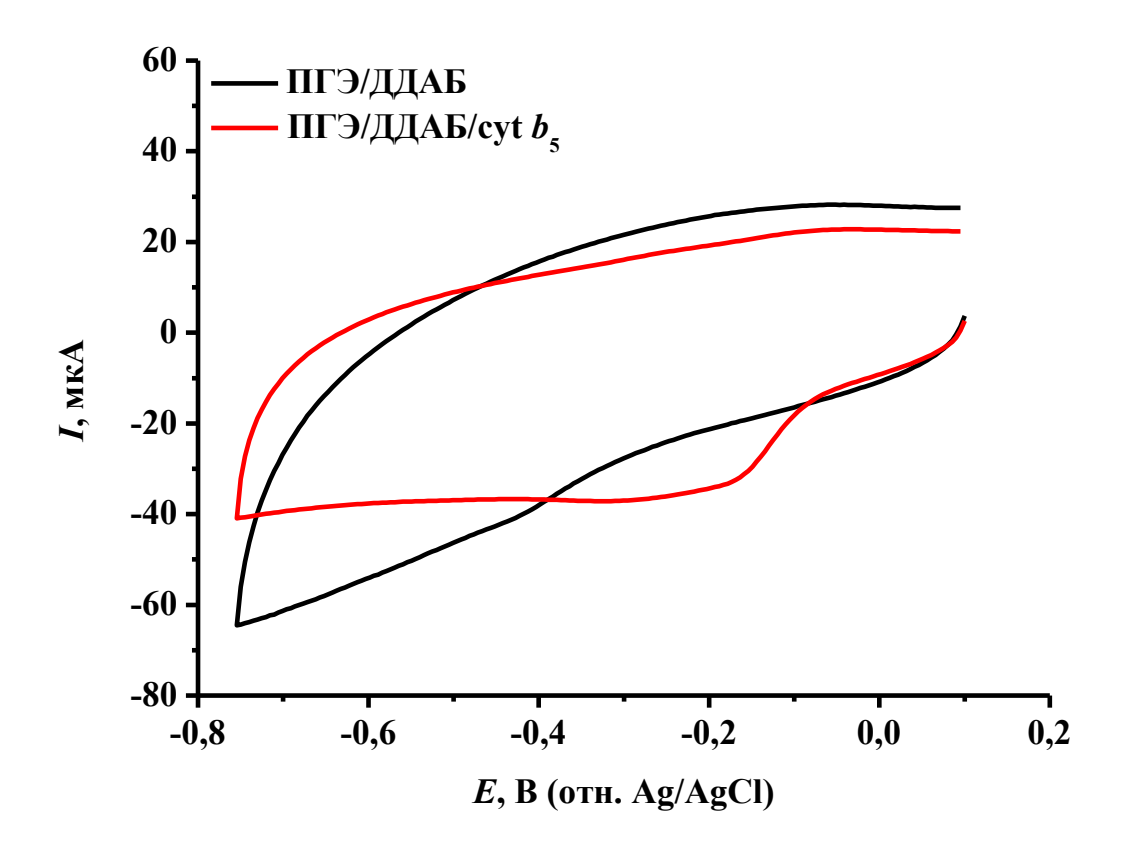


Рисунок 68. Циклические вольтамперограммы, зарегистрированные с помощью ПГЭ, модифицированного ДДАБ (—), и с иммобилизованным сут b_5 (—) в 100 мМ калий-фосфатном буфере (рН 7,4), содержащем 50 мМ NaCl. Скорость сканирования 50 мВ/с.

Для смеси CYP2E1 + cyt b_5 значение E_c пика восстановления было определено как -0,214 \pm 0,023 (отн. Ag/AgCl) (рисунок 69), что на 96 мВ больше, по

сравнению со значением $E_{\rm c}$ пика восстановления, зарегистрированного в анаэробных условиях.

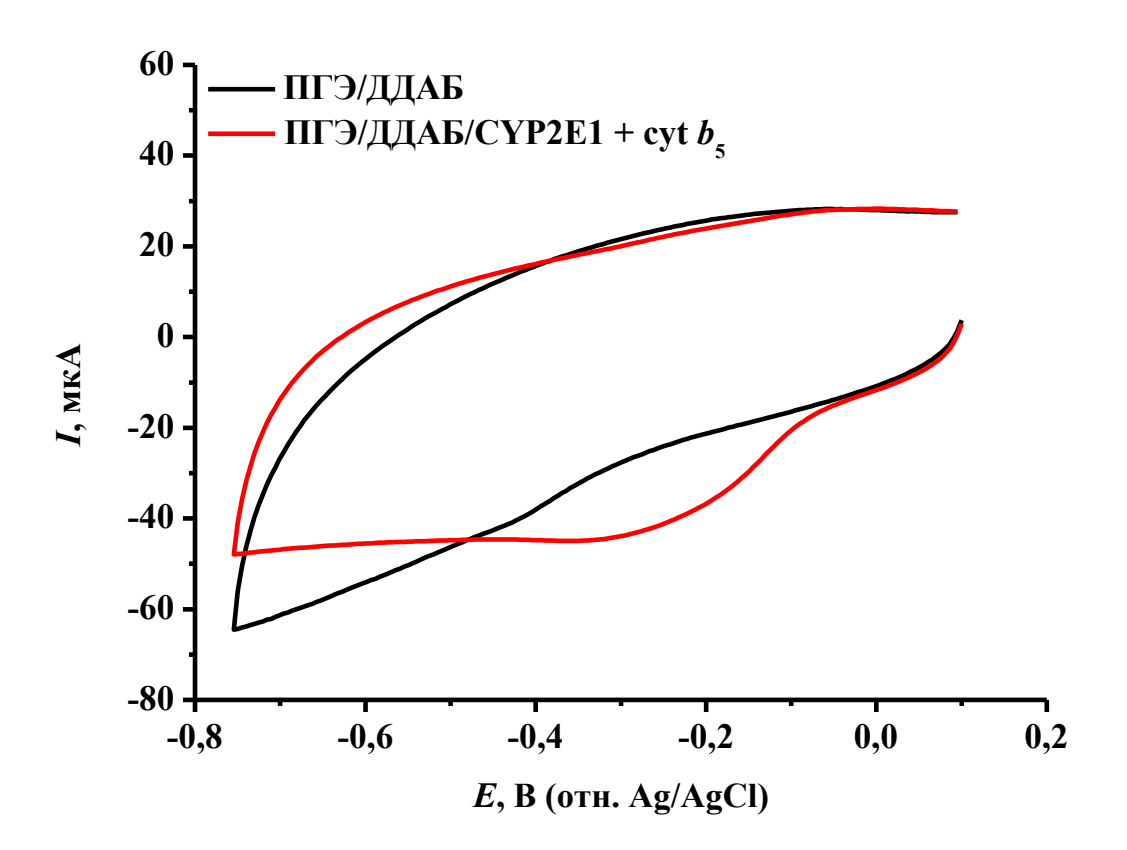


Рисунок 69. Циклические вольтамперограммы, зарегистрированные с помощью ПГЭ, модифицированного ДДАБ (—), и с иммобилизованными СҮР2Е1 и сут b_5 (—) в 100 мМ калий-фосфатном буфере (рН 7,4), содержащем 50 мМ NaCl. Скорость сканирования 50 мВ/с.

Несмотря на то, что для CPR в анаэробных условиях методом циклической вольтамперометрии не удалось зафиксировать редокс процесс, в аэробных условиях на циклической вольтамперограмме был зарегистрирован пик восстановления при $E_{\rm c}$ -0,429 \pm 0,024 B (отн. Ag/AgCl) и пик окисления при $E_{\rm a}$ - 0,396 \pm 0,006 B (отн. Ag/AgCl) (рисунок 70), характеризующие, соответственно, процесс восстановления и окисления флавиновых простетических групп CPR. При этом, полученные значения потенциалов близки к соответствующим значениям

потенциалов, зарегистрированных методом дифференциально-импульсной вольтамперометрии для CPR в анаэробных условиях.

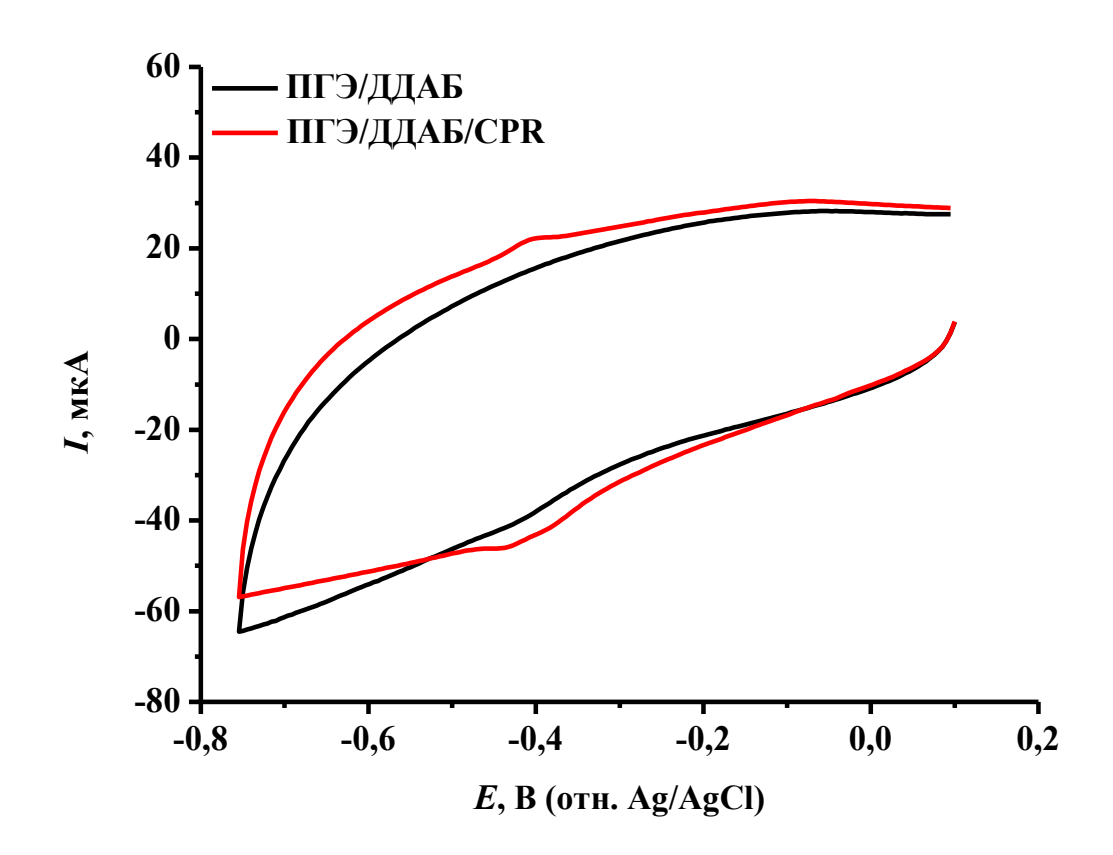


Рисунок 70. Циклические вольтамперограммы, зарегистрированные с помощью ПГЭ, модифицированного ДДАБ (—), и с иммобилизованной СРК (—) в 100 мМ калий-фосфатном буфере (рН 7,4), содержащем 50 мМ NaCl. Скорость сканирования 50 мВ/с.

Таким образом, анализируя полученные характеристики, можно говорить о том, что восстановительный пик при $E_{\rm c}$ -0,262 \pm 0,007 B (отн. Ag/AgCl), зарегистрированный для бактосом в аэробных условиях, скорее всего, соответствует процессу восстановления иона железа гема как CYP2E1, так и сут b_5 , при этом пик восстановления при $E_{\rm c}$ -0,418 \pm 0,017 B (отн. Ag/AgCl) соответствует восстановлению флавиновых кофакторов CPR. Кроме того, можно объяснить и наличие двух пиков восстановления для бактосом в аэробных условиях и один пик восстановления в анаэробных. Сдвиг потенциалов восстановления

рекомбинантных СҮР2Е1 и сут b_5 в более положительную область в присутствии кислорода объясняет и тот факт, что в аэробных условиях, по сравнению с анаэробными, пики восстановления иона железа гема этих двух гемопротеинов и флавиновых простетических групп СРR становятся разрешимыми. Также стоит обратить внимание на отсутствие пика окисления СРR в составе бактосом в аэробных условиях, в то время как рекомбинантная СРR имеет пик окисления. Повидимому, это связано с тем, что в составе бактосом после электрохимического восстановления флавиновых простетических групп электроны с СРR переносятся на СҮР2Е1 и/или на сут b_5 , имеющие более положительные, по сравнению с СРR, значения потенциалов, т.е. реализуется механизм межмолекулярного переноса электронов, аналогичный природным цитохром Р450-содержащим системам (донор электронов \rightarrow СРR \rightarrow цитохром Р450/сут b_5).

Мы оценили возможность определения каталитической активности СҮР2Е1 в бактосомах с помощью разработанной биэлектродной системы. Каталитическая активность бактосом, иммобилизованных на электродах, модифицированных ДДАБ, по отношению к хлорзоксазону определялась с помощью определения образующегося 6-гидроксихлорзоксазона квадратно-волновой методом вольтамперометрии. Электрокаталитическая реакция проводилась в течение 60 мин в 100 мМ калий-фосфатном буфере (рН 7,4), содержащем 50 мМ NaCl и 500 мкМ хлорзоксазон при фиксированном значении потенциала рабочего электрода -0,550 Ag/AgCl), происходит (отн. при котором электрохимическое восстановление компонентов бактосом. В качестве контрольного эксперимента мы провели электрокаталитическую реакцию в присутствии 500 мкМ хлорзоксазона при аналогичных условиях с электродом, модифицированным ДДАБ, но без иммобилизованных бактосом. Как видно на рисунке 71, после проведения электрокаталитической реакции с иммобилизованными на электроде бактосомами в области потенциалов, соответствующей электрохимическому окислению 6-При этом после проведения гидроксихлорзоксазона, регистрируется пик. электрокаталитической реакции с электродом без бактосом в области потенциалов, соответствующей электрохимическому окислению 6-гидроксихлорзоксазона,

регистрируется пик со значением тока примерно в 6 раз меньше, по сравнению со значением тока, регистрируемого после проведения электрокаталитической реакции по отношению к хлорзоксазону с иммобилизованными на электроде бактосомами. Это свидетельствует о преимущественном вкладе иммобилизованных бактосом в образование 6-гидроксихлорзоксазона.

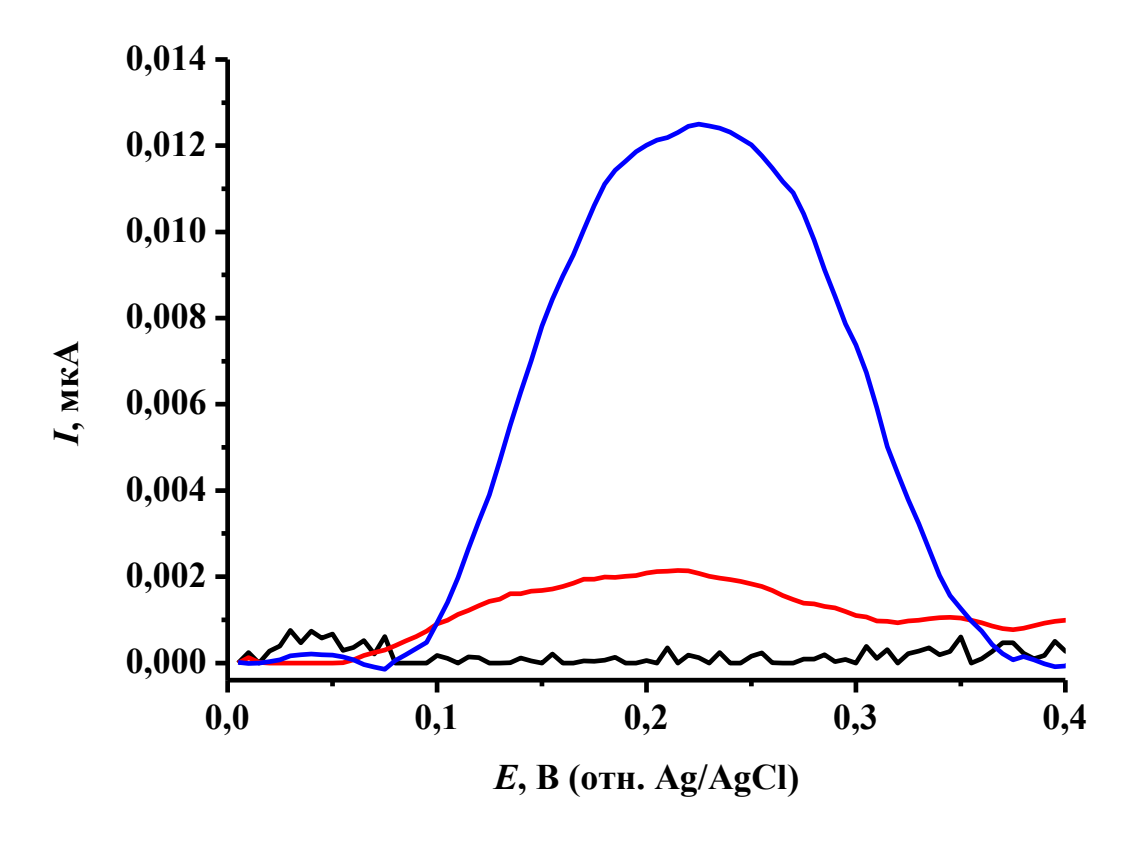


Рисунок 71. Квадратно-волновые вольтамперограммы, зарегистрированные с помощью немодифицированных ПГЭ в 100 мМ калий-фосфатном буфере (рН 7,4), содержащем 50 мМ NaCl и 500 мкМ хлорзоксазон, до (—) или после проведения электрокаталитической реакции в течение 60 мин при фиксированном потенциале -0,550 В (отн. Ag/AgCl) рабочего электрода, модифицированного ДДАБ (—) и с иммобилизованными бактосомами, содержащими СҮР2Е1 (—). Частота 25 Гц, амплитуда 40 мВ, шаг потенциала 5 мВ.

Как видно на рисунке 72, при концентрации хлорзоксазона, равной 500 мкМ, количество 6-гидроксихлорзоксазона, образующегося в процессе электрокаталитической реакции с иммобилизованными на электроде бактосомами,

линейно зависело от времени электрокаталитической реакции в диапазоне 30-90 мин ($R^2 = 0.9938$).

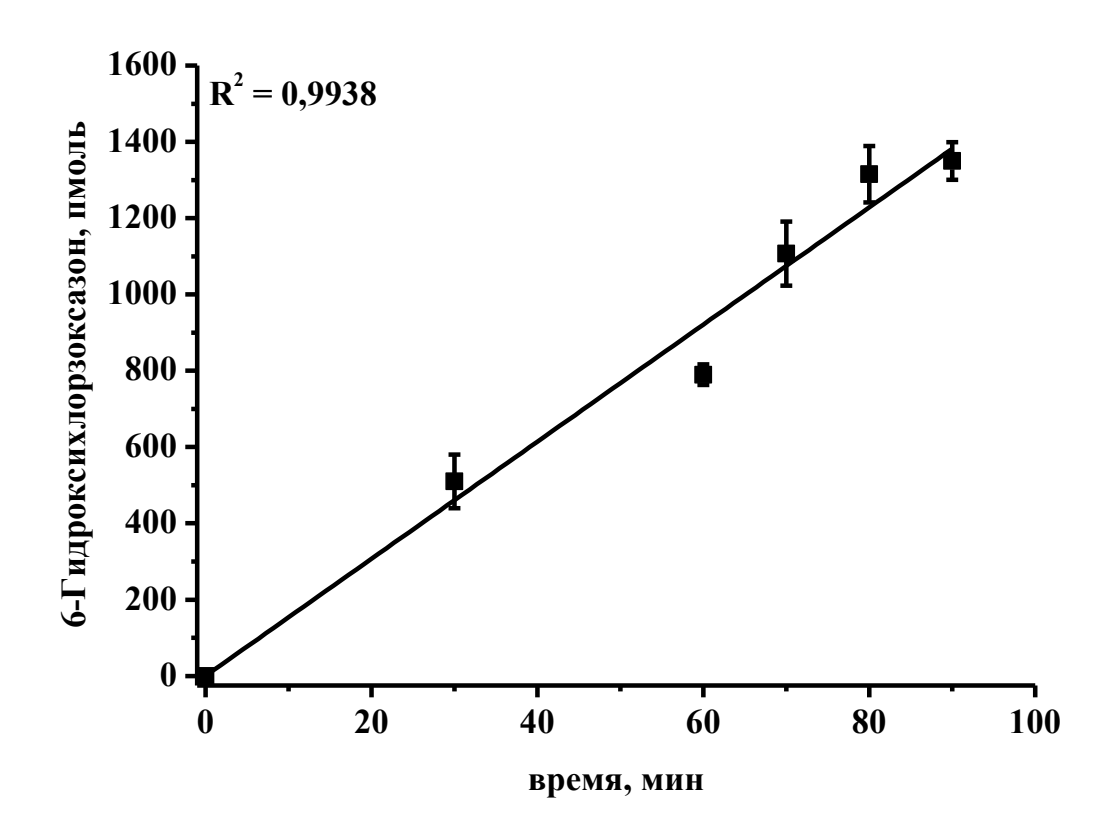


Рисунок 72. Зависимость количества образующегося 6-гидроксихлорзоксазона от времени проведения электрокаталитической реакции с ПГЭ, модифицированными ДДАБ и с иммобилизованными бактосомами. Представлены средние значения из 3-5 независимых экспериментов \pm стандартные отклонения.

V гидроксилирования хлорзоксазона (500 мкМ) под действием CYP2E1 в бактосомах, иммобилизованных на электроде, была определена как $1,47 \pm 0,05$ мин⁻¹.

Мы сравнили полученную с помощью электрохимического определения 6-гидроксихлорзоксазона V гидроксилирования хлорзоксазона под действием бактосом на электроде с таковой, полученной при определении 6-гидроксихлорзоксазона с помощью тонкослойной хроматографии с последующим количественным спектрофотометрическим анализом (рисунок 73).

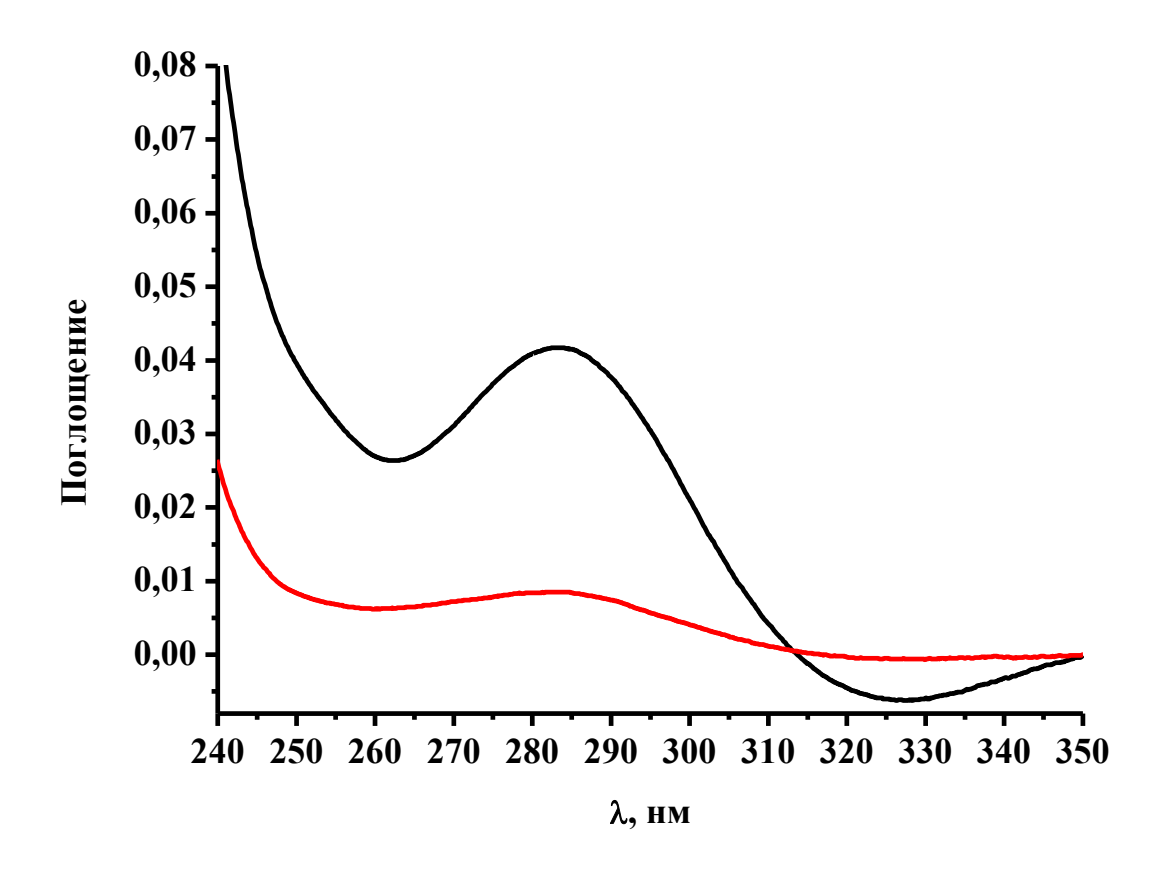


Рисунок 73. Спектры поглощения 6-гидроксихлорзоксазона, полученные после тонкослойной хроматографии и элюции в 600 мкл этанола пятна, соответствующего 2,5 нмоль 6-гидроксихлорзоксазона (контроль, —), и элюции в таком же объеме этанола пятна, соответствующего 6-гидроксихлорзоксазону, идентифицированного после тонкослойной хроматографии инкубационной смеси, полученной после проведения электрокаталитической реакции в 100 мМ калийфосфатного буфере (рН 7,4), содержащего 50 мМ NaCl и 500 мкМ хлорзоксазон, в течение 90 мин при фиксированном потенциале -0,550 В (отн. Ag/AgCl) рабочего электрода, модифицированного ДДАБ и с иммобилизованными бактосомами (—). Спектры поглощения были зарегистрированы после прописывания базовой линии с этанолом.

На рисунке 73 видно, что в области 285 нм регистрируются пики поглощения 6-гидроксихлорзоксазона, полученного при элюции пятна, соответствующего 2,5 нмоль 6-гидроксихлорзоксазона, нанесенного на пластину в качестве контроля, и

соответствующего 6-гидроксихлорзоксазону, полученного пятна, путем хроматографического разделения инкубационной смеси после проведения электрокаталитической реакции в 100 мМ калий-фосфатном буфере (рН 7,4), содержащем 50 мМ NaCl и 500 мкМ хлорзоксазон, в течение 90 мин при фиксированном потенциале -0,550 B (отн. Ag/AgCl) рабочего электрода, иммобилизованными модифицированного ДДАБ бактосомами. Из калибровочной зависимости оптической плотности в максимуме поглощения 6гидроксихлорзоксазона от концентрации этого соединения в стандартных определено количество образующегося растворах было В процессе электрокаталитической реакции 6-гидроксихлорзоксазона, которое соответствовало V гидроксилирования хлорзоксазона под действием бактосом, иммобилизованных на электроде, равной $1,50 \pm 0,61$ мин⁻¹. Таким образом, значения V гидроксилирования хлорзоксазона, полученные с помощью двух различных методов количественного определения образующегося гидроксихлорзоксазона в процессе электрокаталитической реакции, хорошо сопоставимы между собой.

Для определения параметров стационарной кинетики СҮР2Е1 в составе бактосом, иммобилизованных на электроде, по отношению к хлорзоксазону, мы исследовали начальную скорость образования 6-гидроксихлорзоксазона от концентрации хлорзоксазона В электрохимической При системе. ЭТОМ образующийся 6-гидроксихлорзоксазон определялся методом квадратно-волновой вольтамперометрии. Полученная зависимость начальной скорости образования 6гидроксихлорзоксазона от концентрации хлорзоксазона (рисунок 74) имела гиперболический характер ($R^2 = 0.9819$) и описывалась уравнением: V, мин⁻¹ = $((1,64331 \pm 0,07501), \text{ мин}^{-1} \times [\text{Хлорзоксазон}], \text{мкМ}) / ((77,72608 \pm 9,21225), \text{мкМ} +$ [Хлорзоксазон], мкМ).

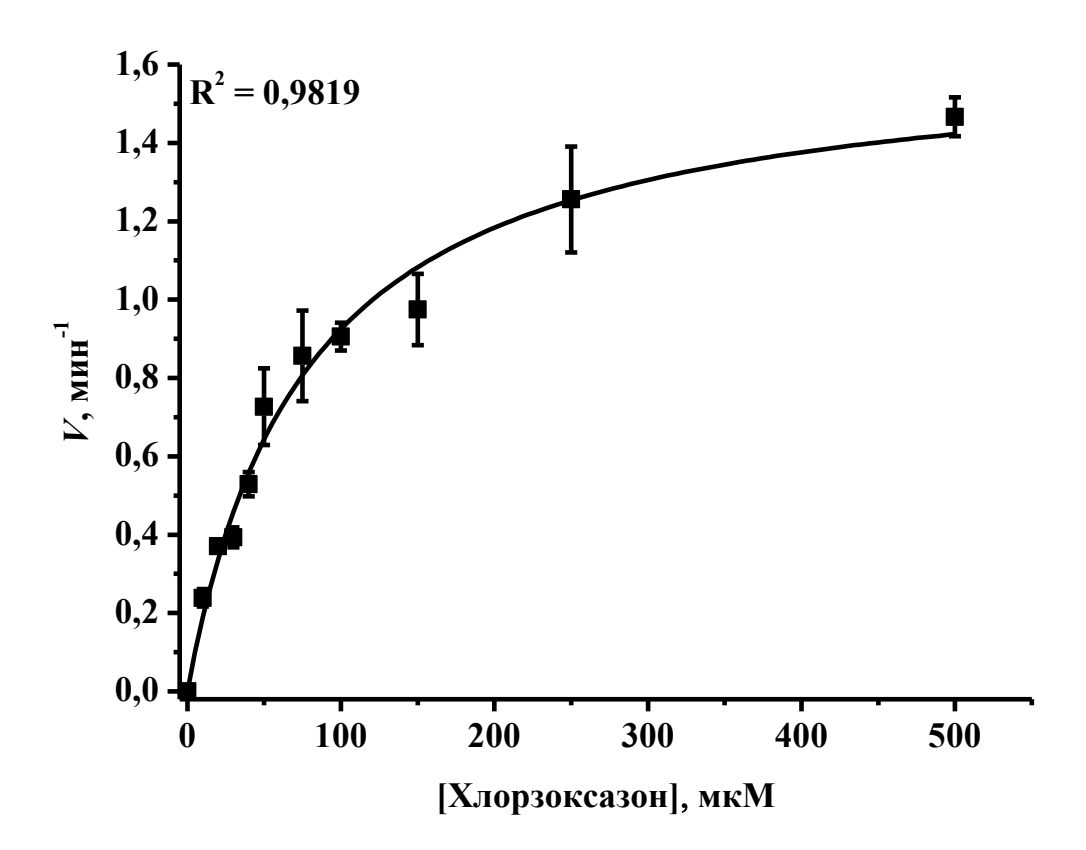


Рисунок 74. Зависимость начальной скорости CYP2E1-зависимого образования 6-гидроксихлорзоксазона от концентрации хлорзоксазона в электрохимической системе. Представлены средние значения из 3-5 независимых экспериментов \pm стандартные отклонения.

Значения V_{max} и K_{M} были определены как 1,64 ± 0,08 мин⁻¹ и 78 ± 9 мкМ. Значение $V_{\text{max}}/K_{\text{M}}$ было рассчитано как 0,021 мин⁻¹ мкМ⁻¹. Полученное значение V_{max} примерно в 5,7 раз меньше аналогичного параметра, заявленного производителем бактосом, при этом полученное с помощью электрохимической системы значение K_{M} хорошо согласуется с аналогичным параметром, заявленным производителем (75 мкМ). Таким образом, каталитическая эффективность бактосом по отношению к хлорзоксазону в электрохимической системе примерно в 6 раз меньше, по сравнению с аналогичной характеристикой, заявленной производителем и полученной с помощью альтернативной системы. По-видимому, это является следствием изменений ориентации и/или конформации фермента, возникающих при иммобилизации бактосом на электроде, например, приводящих

к менее эффективному восстановлению электронами от электрода, по сравнению с восстановлением в реконструированной системе электронами от NADPH. В таблице 6 приводится сравнение кинетических параметров 6-гидроксилирования хлорзоксазона в NADPH-зависимой и электрохимической системах.

Таблица 6. Параметры стационарной кинетики 6-гидроксилирования хлорзоксазона при участии бактосом в NADPH-зависимой и электрохимической системах.

Ферментативная	$V_{ m max}$, мин $^{ ext{-}1}$	<i>K</i> м, мкМ	$V_{ m max}/K_{ m M}$, мин $^{-1}$ мк ${ m M}^{-1}$			
система						
NADPH-зависимая*	9,3	75	0,124			
Электрохимическая	$1,64 \pm 0,08$	78 ± 9	0,021			

Примечание: *Представлены параметры, заявленные производителем бактосом.

Ранее Реter и соавт. исследовали хлорзоксазон 6-гидроксилазную активность микросом человека от различных доноров и получили среднее значение $K_{\rm M}$ 39 \pm 7 мкМ [300]. Eagling и соавт. и Lucas и соавт. получили значения $K_{\rm M}$ для 6-гидроксилирования хлорзоксазона при участии микросом человека 59,2 \pm 5,7 мкМ [309] и 53-74 мкМ [310], соответственно. Сравнительно большее значение $K_{\rm M}$ (232 мкМ) было получено Опо и соавт. при исследовании хлорзоксазон 6-гидроксилазной активности микросом человека, трансфицированных рекомбинантным вирусом коровьей оспы, содержащим кДНК СҮР2Е1 [311].

Для установления механизма переноса электронов от электрода к СҮР2Е1 нами была поставлена задача исследовать влияние СРR на V гидроксилирования хлорзоксазона под действием бактосом в электрохимической системе. Мы предположили, что в случае переноса электронов от электрода на СРR и далее с СРR на СҮР2Е1/суt b_5 начальная скорость гидроксилирования хлорзоксазона будет больше, чем начальная скорость гидроксилирования хлорзоксазона при восстановлении только СҮР2Е1/суt b_5 . Для этого мы провели электрокаталитические реакции с иммобилизованными на электроде бактосомами

в 100 мМ калий-фосфатном буфере (рН 7,4), содержащем 50 мМ NaCl, 280 Ед/мл каталазы и 150 мкМ хлорзоксазон при потенциалах восстановления -0,550 В (отн. Ag/AgCl) и -0,350 В (отн. Ag/AgCl).

Потенциал восстановления -0,550 В (отн. Ag/AgCl) более имеет отрицательное значение, по сравнению со значениями потенциалов пиков восстановления на циклической вольтамперограмме, зарегистрированной для бактосом в аэробных условиях. Поэтому мы предположили, что при проведении электрокаталитической реакции при данном фиксированном потенциале поток электронов от электрода будет восстанавливать как CPR, так и CYP2E1/cyt b_5 . При потенциале -0,350 В (отн. Ag/AgCl), который находится положительнее пика восстановления CPR, но отрицательнее пика восстановления CYP2E1/cyt b_5 , электроны с электрода должны переноситься преимущественно на CYP2E1/cyt b_5 . Для наглядности на рисунке 75 проиллюстрированы потенциалы восстановления компонентов бактосом, рекомбинантных CYP2E1, суt b_5 и CPR, а также значения приложенных потенциалов к рабочим электродам с иммобилизованными бактосомами, при которых проводились CPR/CYP2E1/cyt b_5 -опосредованная и CYP2E1/cyt b_5 -опосредованная электрокаталитические реакции по отношению к хлорзоксазону.

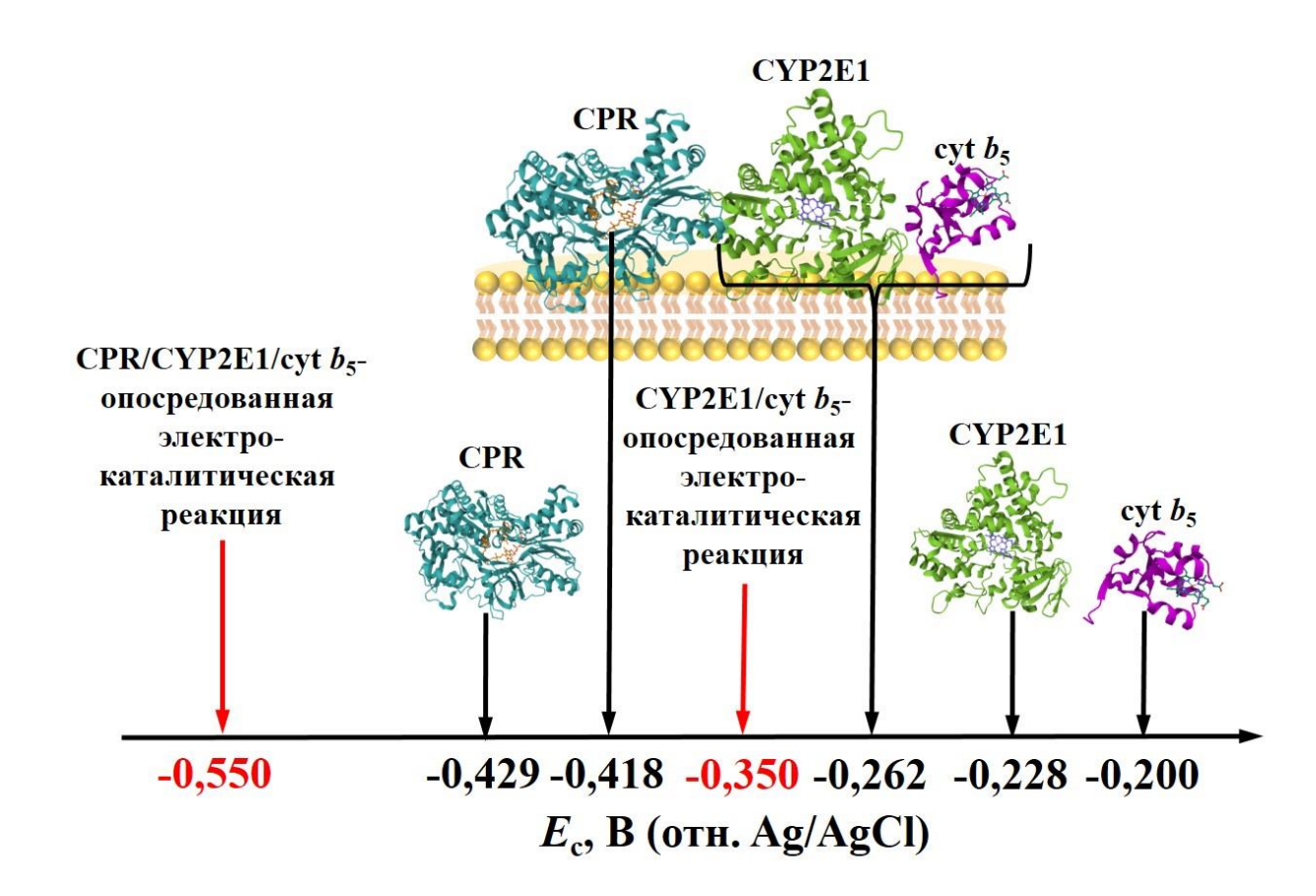


Рисунок 75. Потенциалы восстановления компонентов бактосом, рекомбинантных CYP2E1, сут b_5 и CPR (показаны черным цветом), а также значения приложенных потенциалов к рабочим электродам с иммобилизованными бактосомами, при которых проводились CPR/CYP2E1/сут b_5 -опосредованная и CYP2E1/сут b_5 -опосредованная электрокаталитические реакции по отношению к хлорзоксазону (показаны красным цветом).

Как и ожидалось, начальная скорость образования 6-гидроксихлорзоксазона была больше примерно в 1,5 раза в случае проведения электрокаталитической реакции при потенциале -0,550 В (отн. Ag/AgCl), по сравнению со значением начальной скорости образования 6-гидроксихлорзоксазона при проведении электрокаталитической реакции при потенциале -0,350 В (отн. Ag/AgCl) (рисунок 76).

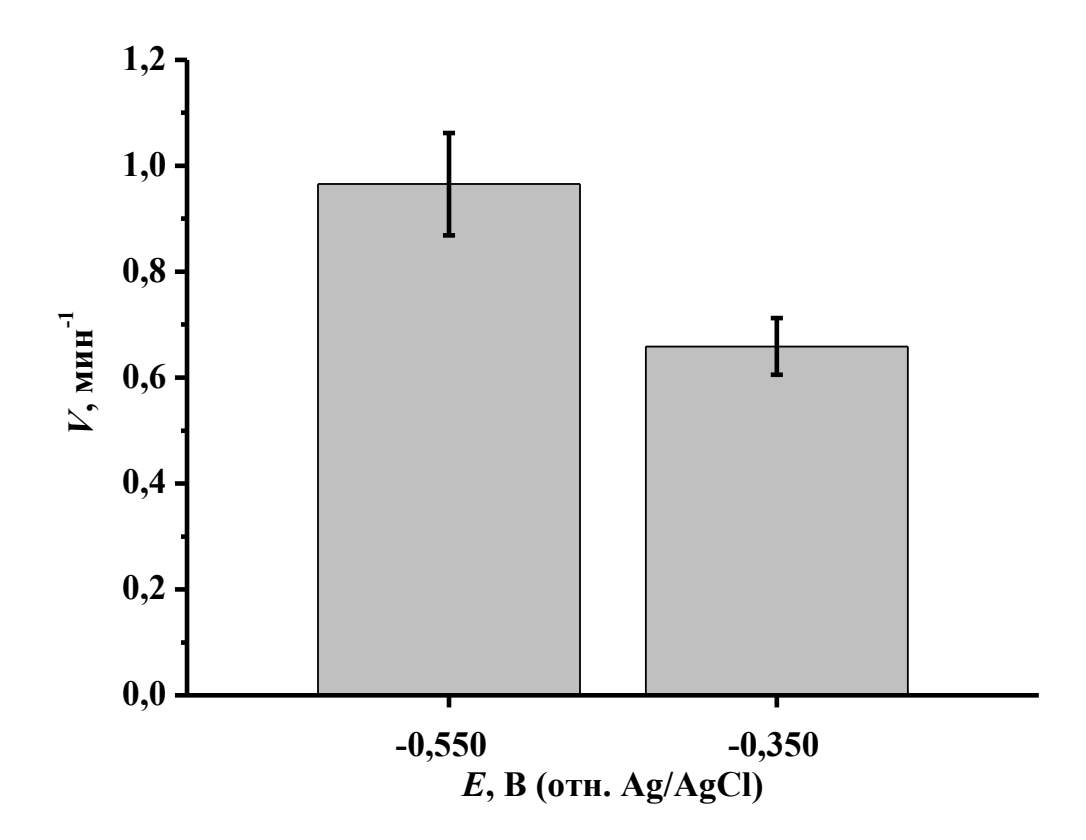


Рисунок 76. Начальные скорости реакции образования 6-гидроксихлорзоксазона при различных значениях приложенных потенциалов к рабочим электродам с иммобилизованными бактосомами, при которых проводились электрокаталитические реакции по отношению к хлорзоксазону.

Полученные результаты могут указывать на активирующую роль CPR по отношению к CYP2E1 за счет того, что последний одновременно получает электроны как от электрода, так и от CPR.

Отметим, что *V* гидроксилирования хлорзоксазона под действием бактосом в электрохимической системе в присутствии каталазы при потенциале восстановления -0,550 В (отн. Ag/AgCl) была 0,97 мин⁻¹ и практически не отличалась от аналогичного параметра в отсутствие каталазы. Это обстоятельство указывает на то, что пероксид водорода не вносит значительного вклада в скорость образования 6-гидроксихлорзоксазона. Однако Nerimetla и соавт. регистрировали значительное увеличение активности СҮР2С9- и СҮР3А4-содержащих бактосом в присутствии каталазы, что, по мнению авторов, могло быть связано с

предотвращением повреждения мембраносвязанного цитохрома P450 и/или CPR образующимися АФК [148]. По-видимому, в нашем случае электрохимическое образование АФК не вносит значительного вклада в повреждение мембраносвязанных CYP2E1 и CPR в составе бактосом.

Таким образом, разработана биэлектродная система для определения активности CYP2E1 по отношению к маркерному субстрату этого фермента хлорзоксазону. Принцип функционирования разработанной системы показан на рисунке 77.

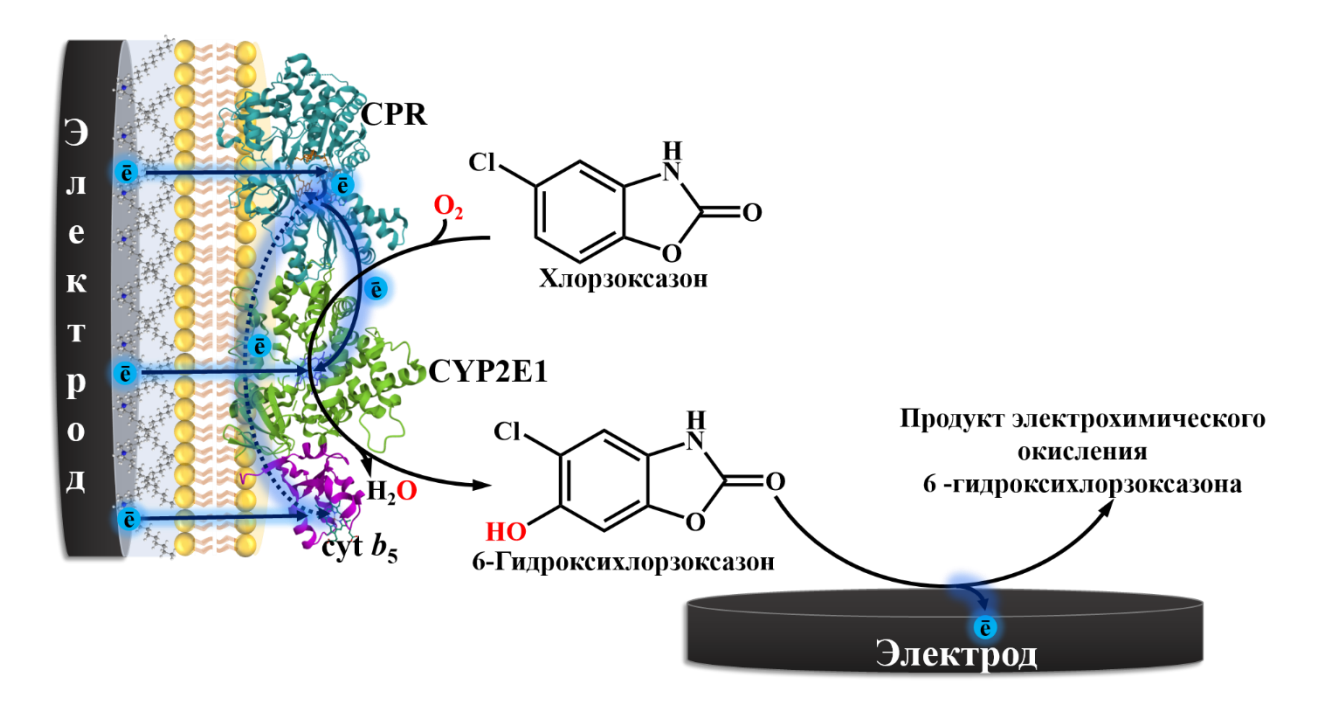


Рисунок 77. Принцип функционирования электрохимической системы для определения активности CYP2E1 в составе бактосом. Один из электродов (на рисунке слева) модифицирован ДДАБ и служит для иммобилизации бактосом и электрохимического восстановления иона железа гема CYP2E1, сут b_5 и флавиновых кофакторов CPR, второй электрод (на рисунке справа) служит для регистрации образующегося из хлорзоксазона в процессе ферментативной реакции 6-гидроксихлорзоксазона путем его прямого электрохимического окисления.

Разработанная биэлектродная система может использоваться при решении задач фармакологии, связанных с определением активности CYP2E1. Также стоит

отметить, что существенным преимуществом разработанного подхода для определения активности бактосом, иммобилизованных на электроде, основанного на использовании биэлектродной стратегии, является отсутствие необходимости многоэтапного процесса выделения образующихся продуктов каталитической реакции. Кроме того, иммобилизация мембраносвязанных ферментов системы цитохрома P450 на электроде позволяет получить более стабильную электрохимическую систему.

3.2. Методы определения метаболитов электрокаталитических цитохром P450-зависимых реакций, основанные на флуоресцентной спектроскопии: электрохимическая система для определения активности CYP3A4 по отношению к гидрокортизону

Несмотря на то, что синтетические флуорогенные субстраты широко используются при решении задач фармакологии, связанных с выявлением ингибиторов цитохромов Р450, представляется целесообразным поиск эндогенных соединений как более специфических субстратов, цитохром Р450-зависимая биотрансформация которых приводила бы к образованию метаболитов с флуоресцентными свойствами.

В данной части работы нами выявлены различия во флуоресцентных свойствах гидрокортизона и его метаболита 6β-гидроксикортизола, образующегося при участии СҮРЗА4. Нами также показана возможность количественного флуоресцентного определения 6β-гидроксикортизола при исследовании активности СҮРЗА4, иммобилизованного на электроде.

СҮРЗА4 участвует в метаболизме примерно 50% всех лекарственных препаратов, что обуславливает особую важность выявления межлекарственных взаимодействий на уровне этого изофермента цитохрома Р450 [312]. Ингибирование СҮРЗА4 может приводить к лекарственной токсичности и возникновению межлекарственных взаимодействий [313]. С другой стороны, снижение активности СҮРЗА4 может иметь и положительное значение, поскольку

в ряде случаев таким образом можно снизить инактивацию быстро метаболизирующихся препаратов или биологически активных соединений [313, 314]. Следовательно, определение активности СҮРЗА4 имеет большое значение в фармакологических исследованиях.

СҮРЗА4 также участвует в метаболизме ряда эндогенных соединений, таких как гидрокортизон, тестостерон, β-эстрадиол и прогестерон [315]. Эндогенные соединения, метаболизм которых осуществляется при участии СҮРЗА4, могут использоваться как маркерные субстраты при проведении ингибиторного анализа [316].

СҮРЗА4 катализирует реакцию гидроксилирования гидрокортизона с образованием 6β-гидроксикортизола (рисунок 78) [317].

Рисунок 78. Реакция 6β-гидроксилирования гидрокортизона при участии СҮРЗА4.

Определение отношения концентрации 6β-гидроксикортизола к концентрации гидрокортизона в моче используется для оценки функциональной активности СҮРЗА4 *in vivo* [318] и исследования активности микросом человека [319]. Для количественного определения 6β-гидроксикортизола и гидрокортизона разработан ряд подходов, основанных на иммуноферментном анализе [320], радиоиммунном анализе [321], ВЭЖХ [322-328] и жидкостной хроматографии, сопряженной с масс-спектрометрией [329, 330]. Определение стероидов с помощью хромато-масс-спектрометрических методов осложняется низкой

ионизацией этих соединений, что в ряде случаев требует проведения дополнительных этапов химической дериватизации [331, 332].

Хорошо известно, что обработка кортикостероидов сильными кислотами индуцирует реакции протонирования с последующим элиминированием гидроксильных групп и карбокатионные перегруппировки [333, 334], приводящие к образованию флуоресцентных производных, при этом спектры флуоресценции и интенсивность эмиссии зависят от химического строения кортикостероидов [333].

Нами обработки 6βобнаружено, ЧТО после гидрокортизона гидроксикортизола смесью 98% серной кислоты и 96% этанола (3:1 по объему) образуются производные, которые при λ_{ex} 365 нм имеют различные спектры флуоресценции. При смешивании 300 мкл 100 мМ калий-фосфатного буфера (рН 7,4), содержащего 50 мМ NaCl, 1% (по объему) метанол и 100 мкМ гидрокортизон или 100 мкМ 6β-гидроксикортизол, с двойным объемом смеси серной кислоты и этанола после 10-минутной инкубации полученных растворов при комнатной температуре спектр флуоресценции раствора, содержащего гидрокортизон, в диапазоне 400-600 нм при λ_{ex} 365 нм характеризуется наличием пика эмиссии при $\lambda_{\rm em}$ 525 \pm 2 нм, а спектр флуоресценции раствора, содержащего гидроксикортизол, при аналогичных условиях регистрации спектра флуоресценции характеризуется наличием пика эмиссии при λ_{em} 427 \pm 2 нм (рисунок 79).

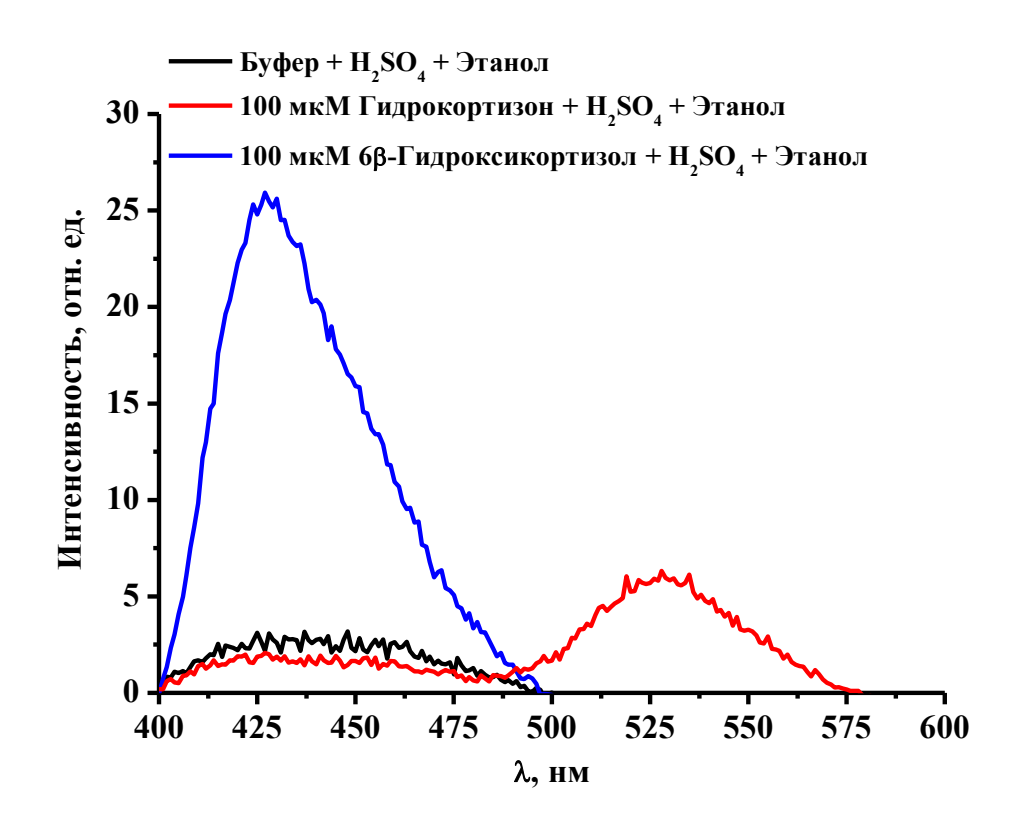


Рисунок 79. Спектры флуоресценции 100 мМ калий-фосфатного буфера (рН 7,4), содержащего 50 мМ NaCl, 1% (по объему) метанол (—) и 100 мкМ гидрокортизон (—) или 100 мкМ 6 β -гидроксикортизол (—), смешанного с двойным объемом смеси 98% серной кислоты и 96% этанола (3:1 по объему). Спектры были зарегистрированы при $\lambda_{\rm ex}$ 365 нм.

Мы проанализировали зависимость интенсивности пика эмиссии при λ_{em} 427 нм от концентрации 6 β -гидроксикортизола в 100 мМ калий-фосфатном буфере (рН 7,4), содержащем 50 мМ NaCl и 1% (по объему) метанол, после обработки смесью серной кислоты и этанола (рисунок 80 A). Зависимость интенсивности пика эмиссии при λ_{em} 427 нм и λ_{ex} 365 нм от концентрации 6 β -гидроксикортизола (в диапазоне от 0 до 10 мкМ) имела линейный характер и описывалась уравнением вида: *Интенсивность флуоресценции*, отн. ед. = 2,0828, отн. ед./мкМ × [6 β -гидроксикортизол], мкМ ($R^2 = 0,9954$, рисунок 80 Б). Предел определяемых концентраций 6 β -гидроксикортизола данным методом был рассчитан как 320 нМ.

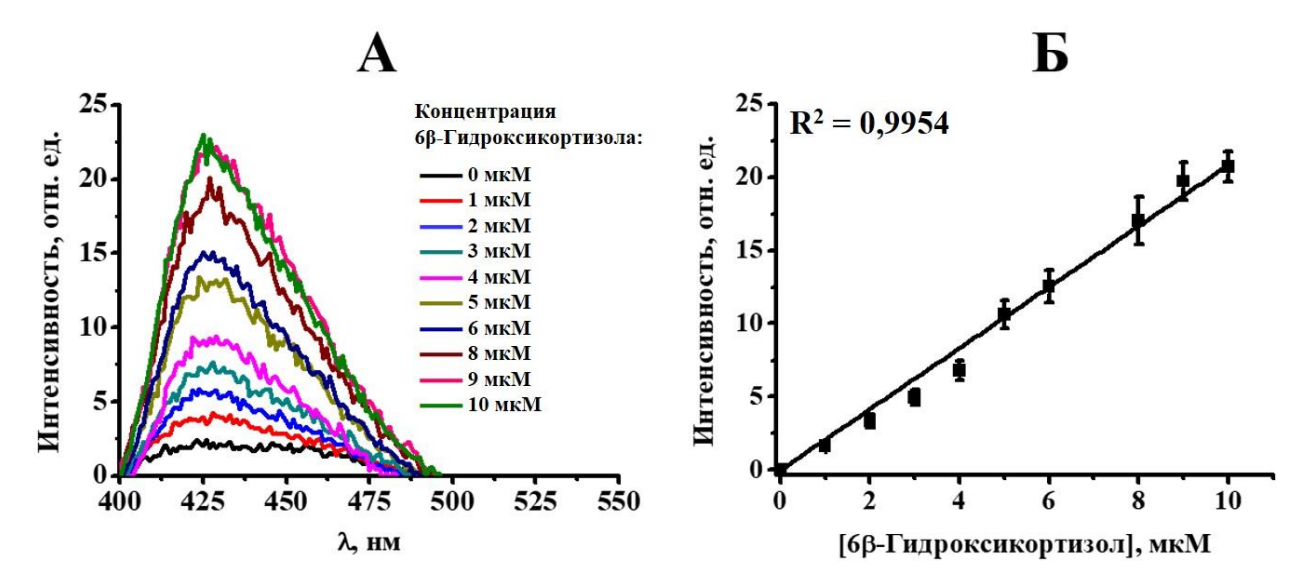


Рисунок 80. Спектры флуоресценции 100 мкМ калий-фосфатного буфера (рН 7,4), содержащего 50 мМ NaCl, 1% (по объему) метанол и различные концентрации 6 β -гидроксикортизола (от 0 до 10 мкМ), смешанного с двойным объемом смеси серной кислоты и этанола (3:1 по объему) (**A**). Спектры были зарегистрированы при λ_{ex} 365 нм. Зависимость интенсивности пика эмиссии при λ_{em} 427 нм от концентрации 6 β -гидроксикортизола (**Б**).

Основываясь на возможности флуоресцентного определения 6β-гидроксикортизола, мы предложили метод исследования активности рекомбинантного СҮРЗА4, иммобилизованного на ПГЭ, модифицированном ДДАБ, по отношению к гидрокортизону.

СҮРЗА4, иммобилизованный на ПГЭ, модифицированных ДДАБ, был охарактеризован в 100 мМ калий-фосфатном буфере (рН 7,4), содержащем 50 мМ NaCl и 1% (по объему) метанол, методом циклической вольтамперометрии (рисунок 81). Как видно на рисунке 81, циклические вольтамперограммы характеризуются наличием пика восстановления и пика окисления иона железа гема фермента. При скорости сканирования 100 мВ/с значения E_c и E_a были определены как -0,396 \pm 0,007 B (отн. Ag/AgCl) и -0,234 \pm 0,004 B (отн. Ag/AgCl), соответственно. Значение E_m было определено как -0,315 \pm 0,011 B (отн. Ag/AgCl). Количество электроактивного СҮРЗА4, иммобилизованного на электроде и

потенциально способного участвовать в электрокаталитической реакции было определено в соответствии с уравнением 10 как 0.7 ± 0.1 пмоль.

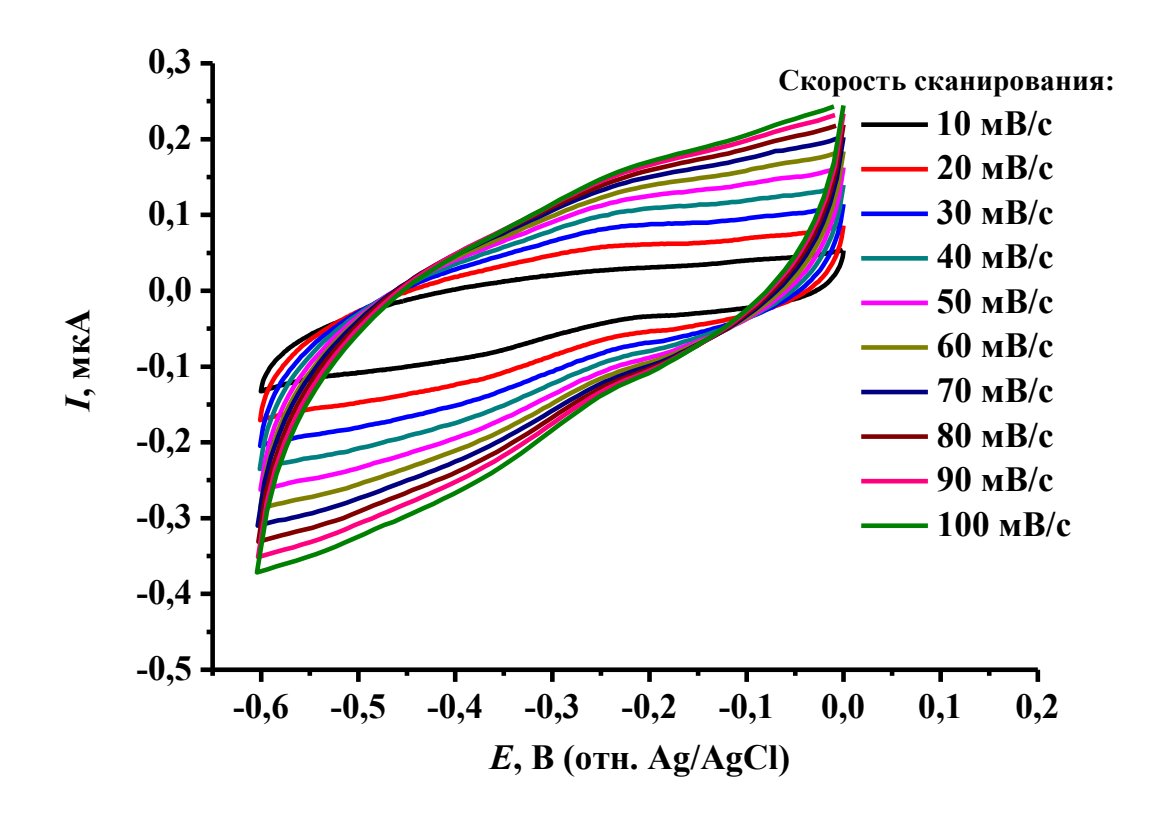


Рисунок 81. Циклические вольтамперограммы, зарегистрированные с помощью ПГЭ, модифицированного ДДАБ, и с иммобилизованным СҮРЗА4 в насыщенном аргоном 100 мМ калий-фосфатном буфере (рН 7,4), содержащем 50 мМ NaCl. Скорость сканирования от 10 до 100 мВ/с.

После проведения электрокаталитической реакции по отношению к 100 мкМ гидрокортизону в диапазоне 5-60 мин с ПГЭ, модифицированными ДДАБ и с иммобилизованным СҮРЗА4, мы зарегистрировали спектр флуоресценции полученной инкубационной смеси после дериватизации раствором серной кислоты и этанола. В качестве контрольного эксперимента была проведена электрокаталитическая реакция по отношению к 100 мкМ гидрокортизону в течение 60 мин с ПГЭ, модифицированным ДДАБ, без иммобилизованного фермента с последующей регистрацией спектра флуоресценции полученной

инкубационной смеси, обработанной раствором серной кислоты и этанола. Как видно на рисунке 82 А, при λ_{ex} 365 нм спектр флуоресценции инкубационной смеси, обработанной раствором серной кислоты и этанола после проведения СҮРЗА4-зависимой электрокаталитической реакции отношению ПО гидрокортизону, характеризуется пиком эмиссии при λ_{em} 427 нм, интенсивность которого возрастает от времени электрокаталитической реакции (рисунок 82 А). Данный пик свидетельствует об образовании 6β-гидроксикортизола. Зависимость образующегося 6β-гидроксикортизола количества otвремени электрокаталитической реакции описывается гиперболой (рисунок 82 Б). При этом, при проведении электрокаталитической реакции без фермента в течение 60 мин интенсивность пика эмиссии при λ_{em} 427 нм значительно меньше интенсивности пика эмиссии при проведении электрокаталитической реакции в течение 60 мин с иммобилизованным на электроде СҮРЗА4 (рисунок 82 В).

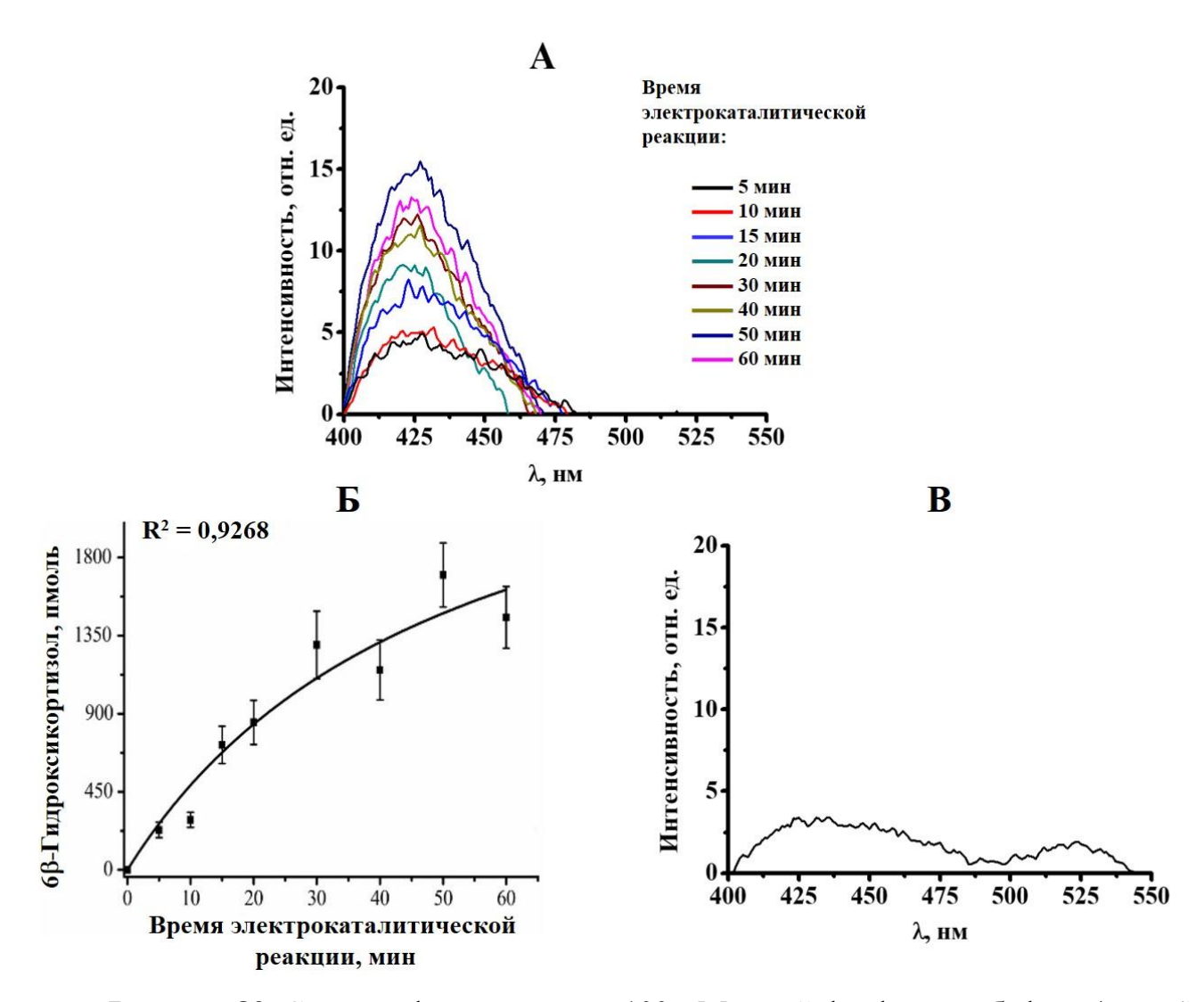


Рисунок 82. Спектры флуоресценции 100 мМ калий-фосфатного буфера (рН 7,4), содержащего 50 мМ NaCl, 1% (по объему) метанол и 100 мкМ гидрокортизон, смешанного с двойным объемом смеси серной кислоты и этанола (3:1 по объему), зарегистрированные после проведения электрокаталитической реакции в течение 5-60 мин при фиксированном потенциале -0,6 В (отн. Ag/AgCl) рабочего электрода, модифицированного ДДАБ и с иммобилизованным СҮРЗА4 (A). Зависимость количества образующегося 6β-гидроксикортизола от времени электрокаталитической реакции (Б). Спектр флуоресценции 100 мМ калий-фосфатного буфера (рН 7,4), содержащего 50 мМ NaCl, 1% (по объему) метанол и 100 мкМ гидрокортизон, смешанного с двойным объемом смеси серной кислоты и этанола (3:1 по объему), зарегистрированный после проведения электрокаталитической реакции в течение 60 мин при фиксированном потенциале -0,6 В (отн. Ag/AgCl) рабочего электрода, модифицированного ДДАБ без иммобилизованного СҮРЗА4 (В). Спектры были зарегистрированы при λ_{ех} 365 нм.

Мы получили зависимость начальной скорости реакции гидроксилирования гидрокортизона от его концентрации в электрохимической системе при участии СҮРЗА4, иммобилизованного на ПГЭ, путем определения 6 β -гидроксикортизола с помощью флуоресценции (рисунок 83). Указанная зависимость имела гиперболический характер ($R^2 = 0.9691$) и описывалась уравнением вида: V, мин⁻¹ = ((89,01241 \pm 5,11452), мин⁻¹ \times [Гидрокортизон], мкМ) / ((10,02418 \pm 2,02645), мкМ + [Гидрокортизон], мкМ). Значения V_{max} , K_{M} и V_{max} / K_{M} СҮРЗА4 по отношению к гидрокортизону были определены как 89 \pm 5 мин⁻¹, 10 \pm 2 мкМ и 8,9 мин⁻¹ мкМ⁻¹, соответственно.

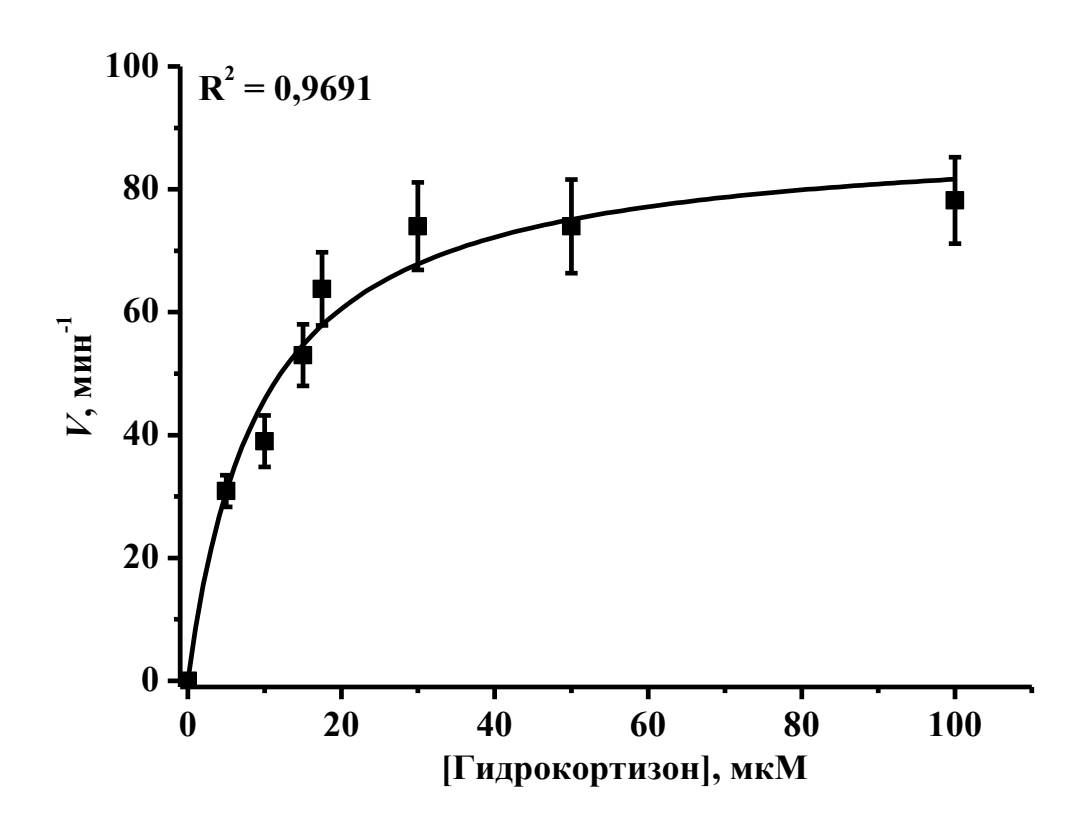


Рисунок 83. Зависимость начальной скорости СҮРЗА4-зависимого образования 6β -гидроксикортизола от концентрации гидрокортизона в электрохимической системе. Представлены средние значения из 3-5 независимых экспериментов \pm стандартные отклонения.

Ранее в работе Peng и соавт. с помощью суперсом, экспрессирующих СҮРЗА4 человека, были определены значения $V_{\rm max}$ и $K_{\rm M}$ СҮРЗА4 по отношению к гидрокортизону как 27 мин⁻¹ и 148 ± 25 мкМ, соответственно [319]. Однако в работе Abel и соавт. с помощью микросом человека было определено значение $K_{\rm M}$ реакции 6β-гидроксилирования гидрокортизона, которое составило $15,2\pm2,1$ мкМ [335], что близко к полученному нами значению этого параметра.

Чтобы продемонстрировать применимость разработанного нами подхода к определению электрокаталитической активности СҮРЗА4 путем количественного определения 6 β -гидроксикортизола для скрининга ингибиторов, мы оценили V гидроксилирования гидрокортизона (100 мкМ) под действием СҮРЗА4 в присутствии различных концентраций кетоконазола (0-10000 нМ), являющегося известным ингибитором СҮРЗА4. Из зависимости остаточной активности СҮРЗА4 по отношению к гидрокортизону от концентрации кетоконазола, представленной на рисунке 84, было определено значение IC_{50} , составившее 70 ± 5 нМ.

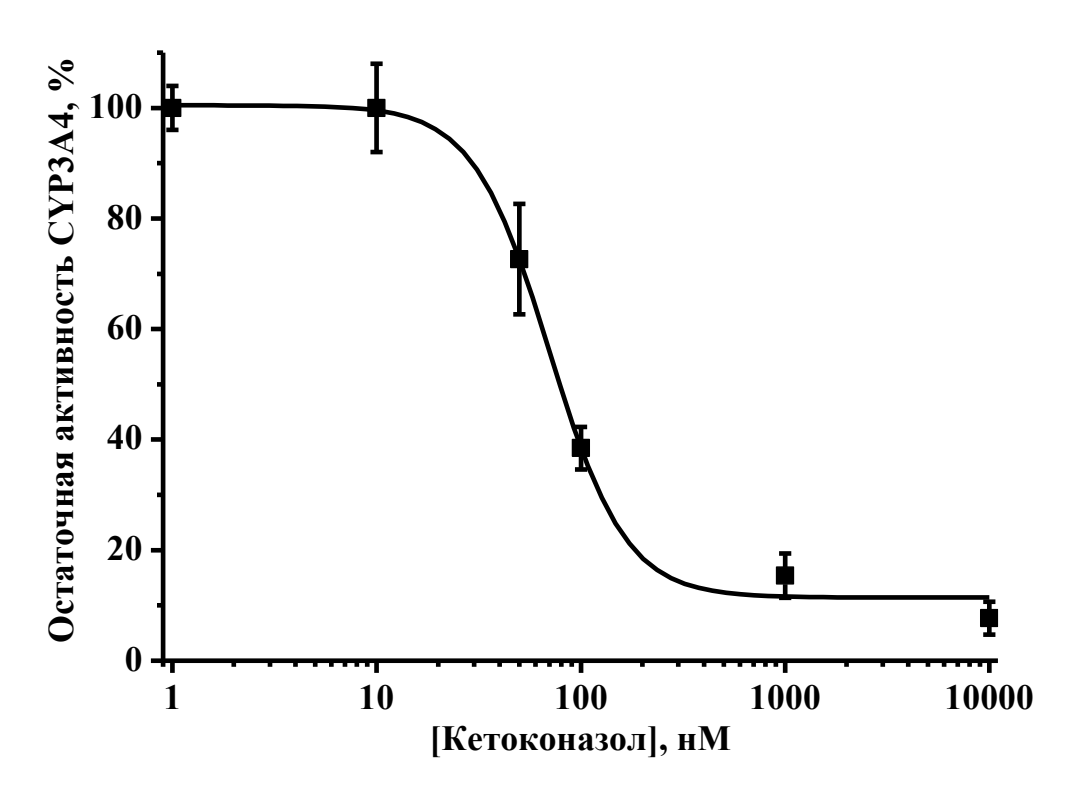


Рисунок 84. Зависимость остаточной активности СҮРЗА4 по отношению к 100 мкМ гидрокортизону от концентрации кетоконазола (0-10000 нМ). Представлены средние значения из 3-5 независимых экспериментов \pm стандартные отклонения.

Ранее было показано, что кетоконазол является ингибитором смешанного типа 6 β -гидроксилазной активности ферментов подсемейства CYP3A [336]. Для ингибиторов смешанного типа значение IC₅₀ зависит от концентрации субстрата. В работе Abel и соавт. с помощью микросом человека было показано, что при концентрации гидрокортизона 1 мкМ, кетоконазол ингибирует 6 β -гидроксилазную активность со значением IC₅₀ 0,8 \pm 0,4 мкМ [335]. В работе Greenblatt и соавт. значения IC₅₀ кетоконазола, ингибирующего 6 β -гидроксилазную активность по отношению к 50 мкМ и 500 мкМ тестостерону, были определены как 0,03 и 0,056 мкМ, соответственно [336], что сопоставимо с установленным нами аналогичным параметром ингибирующей активности кетоконазола по отношению к 100 мкМ гидрокортизону.

Таким образом, мы показали, что разработанный нами подход к определению электрокаталитической активности СҮРЗА4 путем количественного определения 6β-гидроксикортизола может использоваться для выявления ингибиторов данного фермента.

Перспективным является развитие принципиально схожих систем, в которых цитохром Р450 иммобилизован на электроде, а образующиеся в результате биотрансформации субстратов метаболиты могут быть определены методом флуоресцентной спектроскопии. Достоинством таких систем является, прежде всего, отсутствие необходимости реконструирования цитохром Р450-содержащей системы и, в идеале, разделения компонентов инкубационной смеси, а также высокая чувствительность определения образующихся метаболитов за счет применения флуоресцентной спектроскопии. Исследования в этой области должны быть субстратов направлены на изучение флуоресцентных свойств индивидуальных изоферментов цитохрома Р450 и их метаболитов.

ЗАКЛЮЧЕНИЕ

В работе предложены и развиты новые методологические подходы для идентификации и количественного определения продуктов цитохром Р450зависимых реакций. Первый подход основан на электрохимическом определении ферментативных реакций ароматического продуктов гидроксилирования, деалкилирования ароматических соединений и ароматизации за счет их прямого электрохимического окисления при потенциалах, отличных от потенциалов окисления субстратов (таблица 7). Основываясь на данном подходе, в работе были получены биэлектродные системы, в которых один из электродов служит для иммобилизации и инициирования каталитической реакции индивидуальных рекомбинантных или мембраносвязанных цитохромов Р450, а другой электрод служит для количественного определения образующихся продуктов за счет их прямого электрохимического окисления. Показана возможность успешного такой проведении ингибиторного применения системы при Разработанный подход позволяет избежать определения параметров стационарной кинетики цитохромов Р450, иммобилизованных на электроде, с помощью регистрации каталитического тока, на величину которого могут влиять как концентрация кислорода в системе, так и вносимых в систему органических соединений, использующихся в качестве растворителей для субстратов. Таким образом, разработанный подход определения активности цитохромов Р450 с помощью биэлектродных систем является более совершенными, по сравнению с регистрацией каталитического тока, как описано в работах Рапіссо и соавт. [7], Міе и соавт. [8, 142], Fantuzzi и соавт. [92, 93, 120, 122], Xu и соавт. [94, 136, 160], Wu и соавт. [106, 118], Sun и Wu [118], Yang и соавт. [121], Huang и соавт. [160] и др. Кроме того, существенным преимуществом использования биэлектродной электрохимической системы является отсутствие необходимости проведения многоэтапного процесса разделения компонентов инкубационной среды и проведения ВЭЖХ (и/или масс-спектрометрии) с целью количественного определения образующихся продуктов реакций как это осуществлялось ранее в работах Рапіссо и соавт. [7, 99], Міе и соавт. [8, 142], Хи и соавт. [94, 136, 160], Nerimetla и соавт. [95, 148], Walgama и соавт. [140], Walker и соавт. [141], Di Nardo и соавт. [225] и др. Показано преимущество использования мембраносвязанных ферментов при конструировании электрохимической системы для определения активности цитохромов P450. Кроме того, установлено, что при иммобилизации CYP2E1-содержащих бактосом на электроде, акцептором электронов от электрода является как CPR, так и CYP2E1 и сут b_5 , при этом после электрохимического восстановления флавиновых простетических групп электроны с CPR переносятся на CYP2E1 и/или на сут b_5 . Данный механизм переноса электронов отличается от предложенного ранее в работах Sultana и соавт., Nerimetla и соавт., Walgama и соавт., Krishnan и соавт. и др., но согласуется с механизмом, описанным в работе Хи и соавт. Также установлена стимулирующая роль CPR на активность монооксигеназы, по-видимому, реализуемая за счет межмолекулярного переноса электронов.

Второй подход был разработан в диссертационной работе для определения гидроксилазной активности иммобилизованного на электроде СҮРЗА4 по отношению к маркерному субстрату этого фермента – гидрокортизону. Нами установлено, что 6β-гидроксикортизол, образующийся в результате СҮРЗА4зависимой биотрансформации гидрокортизона, после обработки смесью серной кислоты и этанола имеет характеристический пик флуоресценции, отличный от пика флуоресценции гидрокортизона, и, таким образом, может быть количественно определен методом флуоресцентной спектроскопии. Данный подход является важной альтернативой подходу, основанному на использовании биэлектродной системы, поскольку для СҮРЗА4 имеется ограниченное число субстратов, подвергающихся реакциям ароматического гидроксилирования образованию деалкилирования, приводящих К продуктов, содержащих электроактивные гидроксифенильные группы, что затрудняет применение электрохимических подходов для идентификации и количественного определения образующихся продуктов.

Все разработанные в настоящей работе подходы могут использоваться для решения задач фармакологии, связанных с выявлением межлекарственных взаимодействий, обусловленных ингибированием изоферментов цитохрома Р450.

Изучение электрохимических свойств других субстратов и метаболитов цитохром Р450-зависимых реакций, повышение чувствительности электрохимического определения метаболитов c помощью современных материалов для модификации электродов, в том числе на основе углерода, а также позволяющих в автоматическом режиме проводить создание устройств, регистрацию образующихся метаболитов, являются перспективными задачами дальнейшего развития биэлектродных систем для исследования механизмов и кинетики реакций, катализируемых цитохромами Р450.

Таблица 7. Электрохимические характеристики субстратов и метаболитов, образующихся в цитохром Р450зависимых реакциях, зарегистрированные при рН 7,4.

Xap	актеристики, полученные	из циклической вольтампер	Характеристики аналитического пика окисления метаболита, полученные из квадратно-волновой вольтамперометрии				
Субстрат	Ea, B	Метаболит	Ea, B	Ea, B	Предел определяемых концентраций, нМ	Чувствительность, мкА/мкМ	
Андростендион	_*	Эстрон	0,546 (отн. Ag/AgCl)	0,497 ± 0,014 (отн. Ag/AgCl)	11	0,010	
Тестостерон	_*	β-Эстрадиол	0,517 (отн. Ag/AgCl)	0,483 ± 0,017 (отн. Ag/AgCl)	3,4	0,012	
(S)-Варфарин	0,820 (отн. Ag/AgCl)	(S)-7-Гидроксиварфарин	0,600 (отн. Ag/AgCl) 0,900 (отн. Ag/AgCl)	0,590 ± 0,020 (отн. Ag/AgCl)	91	0,0075	
Диклофенак	0,587 (отн. Ag/AgCl)	4'-Гидроксидиклофенак	0,320 (отн. Ag/AgCl)	$0,275 \pm 0,025$ (отн. Ag/AgCl)	120	0,003	
	0,992 (отн. Ag/AgCl)			0.110 ± 0.010 (отн. Ag/AgCl) **	85	0,11	
(S)-Напроксен	0,850 (отн. Ад)	(S)-Десметилнапроксен	0,492 (отн. Ад)	$0,400 \pm 0,020$ (отн. Ag)	290	0,023	
	1,035 (отн. Ад)		0,762 (отн. Ад)				
			1,129 (отн. Ag)				
Фенитоин	_*	4-Гидроксифенитоин	0,595 (отн. Ад)	$0,602 \pm 0,018 \text{ (отн. Ag)}$	40	0,062	
Хлорзоксазон	0,892 B (отн. Ag/AgCl)	6-Гидроксихлорзоксазон	0,207 (отн. Ag/AgCl)	$0,203 \pm 0,022$ (отн. Ag/AgCl)	110	0,016	
	0,972 B (отн. Ag/AgCl)		0,891 B (отн. Ag/AgCl) 1,114 B (отн. Ag/AgCl)				

Примечание: * Не зарегистрировано пика окисления в диапазоне потенциалов от 0 до 1,2 В.

^{**} Потенциалы зарегистрированы с помощью ПГЭ, модифицированных ОУНТ.

Таблица 8. Параметры стационарной кинетики исследуемых цитохромов P450, полученные с помощью разработанных биэлектродных и альтернативных ферментативных систем.

Цитохром	Субстрат	Электрохимическая система				Альтернативные системы*					
P450		Характер	$V_{\max 1}$,	<i>K</i> _{M1} ,	$V_{\text{max}1}/K_{\text{M1}}$,	$V_{\text{max}2}/K_{\text{M2}}$,	Характер	V_{max1} ,	<i>K</i> _{M1} ,	$V_{\text{max1}}/K_{\text{M1}}$,	$V_{\text{max}2}/K_{\text{M2}}$,
		зависимости	мин ⁻¹	мкМ	мин ⁻¹ мкМ ⁻¹	мин ⁻¹ мкМ ⁻¹	зависимости	мин-1	мкМ	мин-1 мкМ-1	мин ⁻¹ мкМ ⁻¹
		начальной					начальной				
		скорости от					скорости от				
		концентрации					концентрации				
		субстрата					субстрата				
		(кинетический					(кинетический				
		профиль)					профиль)				
CYP19A1	Андростен-	Гиперболический	$51,6 \pm 7,2$	4,2 ± 1,5	12,29	-	Гиперболический	$3,6 \pm 0,18$	0,044 ±	81,82	-
	дион								0,006		
	Тестостерон	Гиперболический	$10,2 \pm 1,2$	3,8 ± 1,3	2,68	-	Гиперболический	н.о.	0,023 ±	н.о.	-
									0,004		
CYP2C9	(S)-Варфарин	Гиперболический	0,100 ±	$3,03 \pm 0,38$	0,033	-	Гиперболический	0,0641-1,8	2,5-18	0,0122-0,61	-
			0,002								
	Диклофенак	Гиперболический	$5,35 \pm 0,13$	$11,66 \pm 0,92$	0,46	-	Гиперболический	14,8-37,2	2,33-30	0,9-11,71	-
	(S)-	Гиперболический	0.98 ± 0.03	331 ± 30	0,003	-	Бифазный	1,39-12,03	56-248	0,01-0,215	0,002-0,05
	Напроксен						Гиперболический	4,9-31,7	116-419	0,022-0,11	-
CYP2C19	Фенитоин	Бифазный	0,094 ±	$25,8 \pm 2,0$	0,0036	0,00042	Бифазный	0,085	24,1	0,0035	0,00029
			0,002								
CYP2E1	Хлорзо-	Гиперболический	$1,64 \pm 0,08$	78 ± 9	0,021	-	Гиперболический	9,3**	75**	0,124**	-
	ксазон										

Продолжение таблицы 8

Примечание: *Диапазон значений указан в соответствии с данными, представленными в литературе. Ссылки приведены в тексте.

**Параметры заявлены производителем бактосом, содержащих СҮР2Е1, СРR и суt b_5 .

н.о. – параметр не определялся.

Полужирным отмечены значения параметров стационарной кинетики, полученные с помощью биэлектродной электрохимической системы, попадающие в диапазон значений аналогичных параметров, полученных ранее с помощью альтернативных ферментативных систем.

ВЫВОДЫ

- 1. Проведено исследование электрохимических свойств андростендиона, тестостерона, (S)-варфарина, диклофенака, (S)-напроксена, фенитоина и хлорзоксазона и продуктов их соответствующих цитохром Р450-зависимых 4'реакций: эстрона, β-эстрадиола, (S)-7-гидроксиварфарина, гидроксидиклофенака, (S)-О-десметилнапроксена, гидроксифенитоина и 6гидроксихлорзоксазона. Показано, электрохимическое окисление ЧТО субстратов происходит при потенциалах, указанных отличных потенциалов электрохимического окисления соответствующих продуктов.
- Разработана биэлектродная система, в которой один из электродов модифицирован ДДАБ и служит для иммобилизации и электрохимического восстановления рекомбинантных или мембраносвязанных цитохромов Р450, а другой электрод служит для идентификации и количественного определения образующихся эстрона и β-эстрадиола под действием СҮР19А1, (S)-7-гидроксиварфарина, 4'-гидроксидиклофенака и (S)-Одесметилнапроксена под действием СҮР2С9, гидроксифенитоина под действием СҮР2С19 и 6-гидроксихлорзоксазона под действием СҮР2Е1 из соответствующих субстратов.
- 3. Кинетические профили реакций ароматизации андростендиона и тестостерона, протекающих под действием иммобилизованного на электроде СҮР19А1, подчинялись кинетике Михаэлиса-Ментен. Значения V_{max} , K_{M} и $V_{\text{max}}/K_{\text{M}}$ фермента по отношению к андростендиону были определены как 51,6 ± 7,2 мин⁻¹, 4,2 ± 1,5 мкМ и 12,29 мин⁻¹ мкМ⁻¹, а по отношению к тестостерону как $10,2 \pm 1,2$ мин⁻¹, $3,8 \pm 1,3$ мкМ и 2,68 мин⁻¹ мкМ⁻¹, соответственно.
- 4. Кинетические профили реакций гидроксилирования (S)-варфарина и диклофенака, осуществляемые под действием иммобилизованного на электроде СҮР2С9, подчинялись кинетике Михаэлиса-Ментен. Значения $V_{\rm max}$, $K_{\rm M}$ и $V_{\rm max}$ / $K_{\rm M}$ фермента по отношению к (S)-варфарину были определены

- как $0,100\pm0,002$ мин⁻¹, $3,03\pm0,38$ мкМ и 0,033 мин⁻¹ мкМ⁻¹, а к диклофенаку как $5,35\pm0,13$ мин⁻¹, $11,66\pm0,92$ мкМ и 0,46 мин⁻¹ мкМ⁻¹, соответственно. Кинетический профиль реакции О-деметилирования (*S*)-напроксена также подчинялся кинетике Михаэлиса-Ментен. Значения V_{max} , K_{M} и $V_{\text{max}}/K_{\text{M}}$ фермента по отношению к (*S*)-напроксену были определены как $0,98\pm0,03$ мин⁻¹, 331 ± 30 мкМ и 0,003 мин⁻¹ мкМ⁻¹, соответственно.
- 5. Кинетический профиль реакции гидроксилирования фенитоина, протекающей под действием иммобилизованного на электроде СҮР2С19, имел бифазный характер, свидетельствующий об образовании ферментом с субстратом комплексов с высокой и низкой аффинностью. Значения $V_{\rm max1}$, $K_{\rm M1}$, $V_{\rm max1}/K_{\rm M1}$ и $V_{\rm max2}/K_{\rm M2}$ СҮР2С19 по отношению к фенитоину в электрохимической системе были определены как $0,094 \pm 0,002$ мин⁻¹, $25,8 \pm 2,0$ мкМ, 0,0036 мин⁻¹ мкМ⁻¹ и 0,00042 мин⁻¹ мкМ⁻¹, соответственно.
- 6. Кинетический профиль реакции гидроксилирования хлорзоксазона, протекающей под действием иммобилизованного на электроде СҮР2Е1, подчинялся кинетике Михаэлиса-Ментен. Определены параметры стационарной кинетики СҮР2Е1 в составе иммобилизованных на электроде бактосом по отношению к хлорзоксазону: V_{max} 1,64 ± 0,08 мин⁻¹, K_{M} 78 ± 9 мкМ и $V_{\rm max}/K_{\rm M}$ 0,021 мин⁻¹ мкМ⁻¹. Кроме того, показана стимулирующая роль CPR в составе бактосом на электрокаталитическую активность CYP2E1 по отношению к хлорзоксазону, по-видимому, за счет межмолекулярного переноса электронов.
- 7. Показано, что 6β-гидроксикортизол, являющийся продуктом СҮРЗА4-зависимого гидроксилирования гидрокортизона, после обработки смесью серной кислоты и этанола имеет характеристический пик флуоресценции при $\lambda_{\rm em}$ 427 ± 2 нм (при $\lambda_{\rm ex}$ 365 нм), что было использовано для разработки системы для определения гидроксилазной активности иммобилизованного на электроде СҮРЗА4 по отношению к гидрокортизону. Значения $V_{\rm max}$, $K_{\rm M}$ и $V_{\rm max}/K_{\rm M}$ были определены как 89 ± 5 мин⁻¹, 10 ± 2 мкМ и 8,9 мин⁻¹ мкМ⁻¹, соответственно.

8. На примере ингибирования СҮР19А1 экземестаном, СҮР2С9 сульфафеназолом, СҮР2С19 флуконазолом и СҮР3А4 кетоконазолом показана возможность применения разработанных систем для исследования ингибиторов указанных цитохромов Р450.

СПИСОК СОКРАЩЕНИЙ И УСЛОВНЫХ ОБОЗНАЧЕНИЙ

АТХ – Анатомо-Терапевтически-Химическая классификация

АФК – активные формы кислорода

ВЭЖХ – высокоэффективная жидкостная хроматорафия

ДДАБ – дидодецилдиметиламмония бромид

ДНК – дезоксирибонуклеиновая кислота

кДНК – комплементарная ДНК

МУНТ – многостенные углеродные нанотрубки

НВЭ – нормальный водородный электрод

НКЭ – насыщенный каломельный электрод

НПВП – нестероидные противовоспалительные препараты

НПВС – нестероидные противовоспалительные соединения

Отн. – относительно

Отн. ед. – относительные единицы

ОУНТ – одностенные углеродные нанотрубки

ПГЭ – печатный графитовый электрод

ПДДА – поли(диаллилдиметиламмония хлорид)

ПСС – полистиролсульфонат

СУЭ – стеклоуглеродный электрод

СЭМ – сканирующая электронная микроскопия

ЭДТА – этилендиаминтетрауксусная кислота

CHAPS – 3-[(3-холамидопропил)диметиламмонио]пропан-1-

сульфонат

СРR – цитохром P450 редуктаза

СҮР – цитохром P450

СҮР1А2 – цитохром Р450 1А2

СҮР2А6 – цитохром Р450 2А6

СҮР2В4 – цитохром Р450 2В4

СҮР2В6 – цитохром Р450 2В6

СҮР2С9 – цитохром Р450 2С9

СҮР2С9*1 – дикий тип цитохрома Р450 2С9

СҮР2С9*2 – мутантная форма цитохрома Р450 2С9 с аминокислотной

заменой R144C

СҮР2С9*3 - мутантная форма цитохрома Р450 2С9 с аминокислотной

заменой I359L

CYP2D6 – цитохром P450 2D6

CYP2D6*1 – дикий тип цитохрома P450 2D6

CYP2D6*17 — мутантная форма цитохрома P450 2D6 с аминокислотными

заменами T107I, R296C и S486T

СҮР2D6*2 − мутантная форма цитохрома P450 2D6 с аминокислотными

заменами R296C и S486T

СҮР2Е1 – цитохром Р450 2Е1

СҮР2J2 – цитохром Р450 2J2

СҮРЗА4 – цитохром Р450 3A4

СҮРЗА5 – цитохром Р450 3А5

СҮР5А1 – цитохром Р450 5А1, тромбоксан синтаза

СҮР6А1 – цитохром Р450 6А1

 $\mathrm{cyt}\ b_5$ — цитохром b_5

D – коэффициент диффузии

е – основание натурального логарифма

Е – приложенный потенциал

Е – фермент

ē – электрон

 $E^{0\prime}$ — формальный потенциал

 $E_{\rm a}$ — потенциал пика окисления (анодного пика)

 $E_{\rm c}$ — потенциал пика восстановления (катодного пика)

 $E_{\rm eq}$ — равновесный потенциал

EI – фермент-ингибиторный комплекс

Е-І* – прочный комплекс ингибитора с ферментом

 $E_{\rm m}$ — средний потенциал или полупотенциал пиков

 $E_{
m onset}$ — потенциал начала катализа

 $E_{\rm p}$ — потенциал пика

 $E_{\rm p/2}$ — потенциал полупика

ES – фермент-субстратный комплекс

F – постоянная Фарадея

FAD – флавинадениндинуклеотид

FMN – флавинмононуклеотид

FMO – флавинсодержащая монооксигеназа

FMO1 – флавинсодержащая монооксигеназа, изоформа 1

FMO3 – флавинсодержащая монооксигеназа, изоформа 3

g — относительное центробежное ускорение

I – ингибитор

I — ток

I* – высокореакционный продукт реакции ингибитора с

ферментом

 IC_{50} — концентрация ингибитора, при которой активность

фермента уменьшается на 50%

 $I_{\rm cat}$ — каталитический ток

 $I_{\rm E}$ — ток, связанный с межфазным переносом электронов

 $I_{\rm L}$ — предельный ток

 I_{Lev} — ток Левича

 I_{\max} — максимальный каталитический ток

*I*_p — ток пика восстановления или окисления вещества

 k_1 — константа скорости прямой реакции

 k_{-1} — константа скорости обратной реакции

 k_2 константа скорости превращение фермент-ингибиторного комплекса в интермедиат k_3 константа скорости распада интермедиата ферментфермента ингибиторного комплекса ДО И высокореакционного продукта – константа скорости образования прочного комплекса k_4 ингибитора с ферментом $k_{\rm a}$ гетерогенная константа скорости переноса электронов для окислительного процесса $k_{\rm c}$ гетерогенная константа скорости переноса электронов для восстановительного процесса $k_{\rm cat}$ константа каталитическая $K_{\rm i}$ константа ингибирования $K_{\rm I}$ концентрация ингибитора, необходимая для инактивации фермента на 50% k_{inact} максимальное значение константы скорости инактивации фермента K_{M} константа Михаэлиса $K_{\rm M1}$ высокоаффинной константа Михаэлиса ДЛЯ формы фермента $K_{\rm M2}$ константа Михаэлиса для никзоаффинной формы фермента $k_{\rm obs}$ наблюдаемая константа скорости инактивации фермента при определенной концентрации ингибитора $k_{\rm s}$ стандартная гетерогенная константа скорости переноса электронов натуральный логарифм ln log логарифм **MUT261** мутантная форма цитохрома P450 2E1 с аминокислотными заменами C268S, C480S, C488S

MUT268 — мутантная форма цитохрома P450 2E1 с аминокислотными

заменами C261S, C480S, C488S

n – число электронов, участвующих в электрохимической

реакции

NADP⁺ – никотинамидадениндинуклеотидфосфат окисленный

NADPH – никотинамидадениндинуклеотидфосфат восстановленный

Ох – окисленная форма вещества

Р – продукт реакции

PEG – полиэтиленгликоль

pH – отрицательный десятичный логарифм активности H₃O⁺

ионов

 pK_a — отрицательный десятичный логарифм константы

кислотности

Q — заряд

QCM – quartz crystal microbalance, кварцевые кристаллические

микровесы

R – универсальная газовая постоянная

R² — коэффициент детерминации

Red – восстановленная форма вещества

RH – субстрат реакции

ROH – продукт реакции

S – субстрат

Т – абсолютная температура

 $t_{1/2}$ — время полуинактивации

V – начальная скорость реакции

 $V_{\rm max}$ — максимальная скорость реакции

 $V_{
m max}/K_{
m M}$ — эффективность катализа

 $V_{
m max1}$ — максимальная скорость реакции для высокоаффинной

формы фермента

 $V_{\rm max2}$ максимальная скорость реакции для низкоаффинной формы фермента коэффициент переноса (доля перенапряжения) α Γ_0 - поверхностная концентрация электроактивного вещества на электроде $\Gamma_{\rm ox}$ поверхностная концентрация окисленной формы вещества $\Gamma_{\rm red}$ поверхностная концентрация восстановленной вещества коэффициент поглощения 3 перенапряжение η λ длина волны λ_{em} длина волны пика эмиссии $\lambda_{\rm ex}$ длина волны возбуждения ν скорость сканирования кинематическая вязкость раствора стандартное отклонение σ частота вращения дискового электрода ω [EI] фермент-ингибиторного интермедиат превращения комплекса [I]концентрация ингибитора [S]концентрация субстрата

концентрация вещества Х

[X]

СПИСОК ЛИТЕРАТУРЫ

- 1. Gilardi G. Cytochromes P450 redox activity // Encyclopedia of interfacial chemistry / edited by Wandelt K. Elsevier, The Netherlands, 2018. V. 7.1. P. 90–109.
- 2. Sadeghi S.J., Fantuzzi A., Gilardi G. Breakthrough in P450 bioelectrochemistry and future perspectives // Biochim. Biophys. Acta, Proteins Proteomics. -2011.-V. 1814. -N0. 1.-P. 237-248.
- 3. Li Z., Jiang Y., Guengerich F.P., Ma L., Li S., Zhang W. Engineering cytochrome P450 enzyme systems for biomedical and biotechnological applications // J. Biol. Chem. $-2020. V.\ 295. No.\ 3. P.\ 833-849.$
- 4. Krishnan S. Bioelectrodes for evaluating molecular therapeutic and toxicity properties // Curr. Opin. Electrochem. 2020. V. 19. P. 20-26.
- 5. Kumar N., He J., Rusling J.F. Electrochemical transformations catalyzed by cytochrome P450s and peroxidases // Chem. Soc. Rev. 2023. V. 52. P. 5135-5171.
- 6. Schneider E., Clark D.S. Cytochrome P450 (CYP) enzymes and the development of CYP biosensors // Biosens. Bioelectron. − 2013. − V. 39. − №. 1. − P. 1-13.
- 7. Panicco P., Dodhia V.R., Fantuzzi A., Gilardi G. Enzyme-based amperometric platform to determine the polymorphic response in drug metabolism by cytochromes P450 // Anal. Chem. $-2011.-V.83.-N_{\odot}.6.-P.2179-2186.$
- 8. Mie Y., Tateyama E., Komatsu Y. p-Aminothiophenol modification on gold surface improves stability for electrochemically driven cytochrome P450 microsome activity // Electrochim Acta. -2014.-V.~115.-P.~364-369.
- 9. de Rond T., Gao J., Zargar A., de Raad M., Cunha J., Northen T.R., Keasling J.D. A high-throughput mass spectrometric enzyme activity assay enabling the discovery of cytochrome P450 biocatalysts // Angew. Chem. − 2019. − V. 131. − №. 30. − P. 10220-10225.

- 10. Lim K.B., Özbal C.C., Kassel D.B. Development of a high-throughput online solid-phase extraction/tandem mass spectrometry method for cytochrome P450 inhibition screening // J. Biomol. Screening. − 2010. − V. 15. − №. 4. − P. 447-452.
- 11. Hrycay E.G., Bandiera S.M. Monooxygenase, peroxidase and peroxygenase properties and reaction mechanisms of cytochrome P450 enzymes // Monooxygenase, peroxidase and peroxygenase properties and mechanisms of cytochrome P450 / edited by Hrycay E.G., Bandiera S.M. Springer International Publishing, Switzerland, 2015. Ch. 1. P. 1-61.
- 12. Minerdi D., Savoi S., Sabbatini P. Role of cytochrome P450 enzyme in plant microorganisms' communication: a focus on grapevine // Int. J. Mol. Sci. − 2023. − V. 24. − №. 5. − P. 4695.
- 13. Lynch T., Price A.M.Y. The effect of cytochrome P450 metabolism on drug response, interactions, and adverse effects // Am. Fam. Physician. $-2007. V. 76. N_{\odot}$. 3. -P. 391-396.
- 14. Baston E., Leroux F.R. Inhibitors of steroidal cytochrome P450 enzymes as targets for drug development // Recent Pat. Anti-Cancer Drug Discovery. $-2007. V. 2. N_{\odot}. 1. P. 31-58.$
- 15. Spinello A., Ritacco I., Magistrato A. The catalytic mechanism of steroidogenic cytochromes P450 from all-atom simulations: entwinement with membrane environment, redox partners, and post-transcriptional regulation // Catalysts. -2019. V. $9. N_{\odot}$. 1. P. 81.
- 16. Karimaa M., Riikonen R., Kettunen H., Taavitsainen P., Ramela M., Chrusciel M., Karlsson S., Rummakko P., Simola O., Wohlfahrt G., Hakulinen P., Vuorela A., Joensuu H., Utriainen T., Fizazi K., Oksala R.. First-in-class small molecule to inhibit CYP11a1 and steroid hormone biosynthesis // Mol. Cancer Ther. -2022. V. 21. No. 12. P. 1765-1776.
- 17. Brixius-Anderko S., Scott E.E. Structure of human cortisol-producing cytochrome P450 11B1 bound to the breast cancer drug fadrozole provides insights for drug design // J. Biol. Chem. − 2019. − V. 294. − №. 2. − P. 453-460.

- 18. Hoyt S.B., Taylor J., London C., Ali A., Ujjainwalla F., Tata J., Struthers M., Cully D., Wisniewski T., Ren N., Bopp Ch., Sok A., Verras A., McMasters D., Chen Q., Tung E., Tang W., Salituro G., Clemas J., Zhou G., MacNeil D., Duffy R., Xiong Y. Discovery of indazole aldosterone synthase (CYP11B2) inhibitors as potential treatments for hypertension // Bioorg. Med. Chem. Lett. − 2017. − V. 27. − №. 11. − P. 2384-2388.
- 19. Meguro M., Miyauchi S., Kanao Y., Naito S., Suzuki K., Inoue S., Yamada K., Homma T., Chiba K., Nara F., Furuzono S. 4-Anilino-pyrimidine, novel aldosterone synthase (CYP11B2) inhibitors bearing pyrimidine structures // Bioorg. Med. Chem. Lett. -2017. V. 27. No. 9. P. 1902-1906.
- 20. Guengerich F.P. Cytochrome P450 enzymes as drug targets in human disease // Drug Metab. Dispos. 2023. P. DMD-MR-2023-001431.
- 21. Abuhammad A. Cholesterol metabolism: a potential therapeutic target in Mycobacteria // Br. J. Pharmacol. 2017. V. 174. №. 14. P. 2194-2208.
- 22. Singh A., Swapnil S., Kanika V., Sarvesh P. CYP51: a potential target // Nov. Approaches Drug Des. Dev. − 2017. − V. 2. − №. 1. − P. 6-9.
- 23. Kaluzhskiy L.A., Ershov P.V., Yablokov E.O. Mezentsev Y.V., Gnedenko O.V., Shkel T.V., Gilep A.A., Usanov S.A., Ivanov A.S. Screening of potential non-azole inhibitors of lanosterol 14-alpha demethylase (CYP51) of the *Candida* fungi // Biochem. Moscow Suppl. Ser. B. − 2021. − V. 15. − № 3. − P. 215–223.
- 24. Machalz D., Pach S., Bermudez M., Bureik M., Wolber G. Structural insights into understudied human cytochrome P450 enzymes // Drug Discovery Today. -2021.- V. 26.- No. 10.- P. 2456-2464.
- 25. Li Z., Jiang Y., Guengerich F.P., Ma L., Li S., Zhang W. Engineering cytochrome P450 enzyme systems for biomedical and biotechnological applications // J. Biol. Chem. − 2020. − V. 295. − №. 3. − P. 833-849.
- 26. Rao Gajula S.N., Pillai M.S., Samanthula G., Sonti R. Cytochrome P450 enzymes: a review on drug metabolizing enzyme inhibition studies in drug discovery and development // Bioanalysis. − 2021. − V. 13. − №. 17. − P. 1355-1378.
- 27. Li S., Du L., Bernhardt R. Redox partners: function modulators of bacterial P450 enzymes // Trends Microbiol. − 2020. − V. 28. − №. 6. − P. 445-454.

- 28. Chen C.C., Min J., Zhang L., Yang Y., Yu X., Guo R.T. Advanced understanding of the electron transfer pathway of cytochrome P450s // ChemBioChem. $2021. V. 22. N_{\odot}. 8. P. 1317-1328.$
- 29. Waskell L., Kim J.-J.P. Electron transfer partners of cytochrome P450 // Cytochrome P450. Structure, mechanism, and biochemistry / edited by Ortiz de Montellano P.R. 4th edition. University of California, San Francisco California, USA, 2015. Part I, V. 1, Ch. 2. P. 33-68.
- 30. Schenkman J.B., Jansson I. Interactions between cytochrome P450 and cytochrome b_5 // Drug Metab. Rev. 1999. V. 31. №. 2. P. 351-364.
- 31. Porter T.D. The roles of cytochrome b_5 in cytochrome P450 reactions // J. Biochem. Mol. Toxicol. $-2002. V. 16. N_{\odot}. 6. P. 311-316.$
- 32. Schenkman J.B., Jansson I. The many roles of cytochrome b_5 // Pharmacol. Ther. -2003. V. 97. No. 2. P. 139-152.
- 33. Estrada D.F., Laurence J.S., Scott E.E. Substrate-modulated cytochrome P450 17A1 and cytochrome b_5 interactions revealed by NMR // J. Biol. Chem. 2013. V. 288. \mathbb{N}_{2} . 23. P. 17008-17018.
- 34. Imaoka S., Imai Y., Shimada T., Funae Y. Role of phospholipids in reconstituted cytochrome P 450 3A form and mechanism of their activation of catalytic activity // Biochemistry. − 1992. − V. 31. − №. 26. − P. 6063-6069.
- 35. Park J.W., Reed J.R., Brignac-Huber L.M., Backes W.L. Cytochrome P450 system proteins reside in different regions of the endoplasmic reticulum // Biochem. J. − 2014. − V. 464. − №. 2. − P. 241-249.
- 36. Zhang M., Huang R., Im S.C., Waskell L., Ramamoorthy A. Effects of membrane mimetics on cytochrome P450-cytochrome b_5 interactions characterized by NMR spectroscopy // J. Biol. Chem. 2015. V. 290. N_2 . 20. P. 12705-12718.
- 37. Brignac-Huber L.M., Park J.W., Reed J.R., Backes W.L. Cytochrome P450 organization and function are modulated by endoplasmic reticulum phospholipid heterogeneity // Drug Metab. Dispos. − 2016. − V. 44. − №. 12. − P. 1859-1866.
- 38. Chefson A., Auclair K. Progress towards the easier use of P450 enzymes // Mol. BioSyst. − 2006. − V. 2. − №. 10. − P. 462-469.

- 39. Hrycay E.G., Bandiera S.M. Involvement of cytochrome P450 in reactive oxygen species formation and cancer // Adv. Pharmacol. 2015. V. 74. P. 35-84.
- 40. Ortiz de Montellano P.R. Substrate oxidation by cytochrome P450 enzymes // Cytochrome P450. Structure, mechanism, and biochemistry / 4th edition. University of California, San Francisco California, USA, 2015. Part I, V. 1, Ch. 4. P. 111-176.
- 41. Mak P.J., Denisov I.G. Spectroscopic studies of the cytochrome P450 reaction mechanisms // Biochim. Biophys. Acta, Proteins Proteomics. − 2018. − V. 1866. − №. 1. − P. 178-204.
- 42. Guengerich F.P., Yoshimoto F.K. Formation and cleavage of C–C bonds by enzymatic oxidation–reduction reactions // Chem. Rev. $-2018. V. 118. N_{\odot}. 14. P.$ 6573-6655.
- 43. Guengerich F.P. Mechanisms of cytochrome P450-catalyzed oxidations // ACS Catal. 2018. V. 8. №. 12. P. 10964-10976.
- 44. Rabe K.S., Gandubert V.J., Spengler M., Erkelenz M., Niemeyer C.M. Engineering and assaying of cytochrome P450 biocatalysts // Anal. Bioanal. Chem. 2008. V. 392. P. 1059-1073.
- 45. Ung Y.T., Ong C.E., Pan Y. Current high-throughput approaches of screening modulatory effects of xenobiotics on cytochrome P450 (CYP) enzymes // High-Throughput. $-2018. V. 7. N_{\odot}. 4. P. 29.$
- 46. Li H., Sheng Y., Li W., Yuan L. Recent advances in molecular fluorescent probes for CYP450 sensing and imaging // Chemosensors. − 2022. − V. 10. − №. 8. − P. 304.
- 47. De Bock L., Casteele S.R.V., Mulliez S.M., Boussery K., Van Bocxlaer J.F. *In vitro* cytochrome P450 activity: development and validation of a sensitive high performance liquid chromatography–tandem mass spectrometry method for the quantification of six probe metabolites after derivatization with pyridine-3-sulfonyl chloride in an aqueous environment // J. Chromatogr. A. -2011.-V. 1218. $-N_{\odot}$. 6. -P. 793-801.

- 48. Deng P., Zhan Y., Chen X., Zhong D. Derivatization methods for quantitative bioanalysis by LC–MS/MS // Bioanalysis. 2012. V. 4. №. 1. P. 49-69.
- 49. Nash T. The colorimetric estimation of formaldehyde by means of the Hantzsch reaction // Biochem. J. -1953. V.55. N = 3. P.416-421.
- 50. Kobayashi K., Yamamoto T., Taguchi M., Chiba K. High-performance liquid chromatography determination of N-and O-demethylase activities of chemicals in human liver microsomes: application of postcolumn fluorescence derivatization using Nash reagent // Anal. Biochem. -2000. V. 284. No. 2. P. 342-347.
- 51. Davydova N.Y., Hutner D.A., Gaither K.A., Singh D.K., Prasad B., Davydov D.R. High-throughput assay of cytochrome P450-dependent drug demethylation reactions and its use to re-evaluate the pathways of ketamine metabolism // Biology. -2023. V. 12. No. 8. P. 1055.
- 52. Shumyantseva V.V., Bulko T.V., Usanov S.A., Schmid R.D., Nicolini C., Archakov A.I. Construction and characterization of bioelectrocatalytic sensors based on cytochromes P450 // J. Inorg. Biochem. − 2001. − V. 87. − №. 4. − P. 185-190.
- 53. Donato M.T., Jiménez N., Castell J.V., Gómez-Lechón M.J. Fluorescence-based assays for screening nine cytochrome P450 (P450) activities in intact cells expressing individual human P450 enzymes // Drug Metab. Dispos. − 2004. − V. 32. − № 7. − P. 699-706.
- 54. Kenaan C., Zhang H., Hollenberg P.F. High-throughput fluorescence assay for cytochrome P450 mechanism-based inactivators // Cytochrome P450 Protocols / edited by Phillips I.R., Shephard E.A., Ortiz de Montellano P.R. 3rd edition. Springer Science+Business Media New York, USA, 2013. Ch. 5. P. 61-69.
- 55. Donato M.T., Gómez-Lechón M.J. Fluorescence-based screening of cytochrome P450 activities in intact cells // Cytochrome Protocols / edited by Phillips I.R., Shephard E.A., Ortiz de Montellano P.R. 3rd edition. Springer Science+Business Media New York, USA, 2013. Ch. 12. P. 135-148.
- 56. Cheng Q., Guengerich F.P. High-throughput fluorescence assay of cytochrome P450 3A4 // Cytochrome P450 Protocols / edited by Phillips I.R., Shephard

- E.A., Ortiz de Montellano P.R. 3rd edition. Springer Science+Business Media New York, USA, 2013. Ch. 14. P. 157-162.
- 57. Burke M.D., Thompson S., Elcombe C.R., Halpert J., Haaparanta T., Mayer R.T. Ethoxy-, pentoxy-and benzyloxyphenoxazones and homologues: a series of substrates to distinguish between different induced cytochromes P-450 // Biochem. Pharmacol. $-1985. V. 34. N_{\odot}. 18. P. 3337-3345.$
- 58. Stresser D.M., Turner S.D., Blanchard A.P., Miller V.P., Crespi C.L. Cytochrome P450 fluorometric substrates: identification of isoform-selective probes for rat CYP2D2 and human CYP3A4 // Drug Metab. Dispos. − 2002. − V. 30. − №. 7. − P. 845-852.
- 59. White I.N.H. A continuous fluorometric assay for cytochrome P-450-dependent mixed function oxidases using 3-cyano-7-ethoxycoumarin // Anal. Biochem. 1988. V. 172. № 2. P. 304-310.
- 60. Venhorst J., Onderwater R.C., Meerman J.H., Vermeulen N.P., Commandeur J.N. Evaluation of a novel high-throughput assay for cytochrome P450 2D6 using 7-methoxy-4-(aminomethyl)-coumarin // Eur. J. Pharm. Sci. $-2000. V. 12. N_{\odot}.$ 2. -P. 151-158.
- 61. Chauret N., Dobbs B., Lackman R.L., Bateman K., Nicoll-Griffith D.A., Stresser D.M., Ackermann J.M., Turner S.D., Miller V.P., Crespi C.L. The use of 3-[2-(N, N-diethyl-N-methylammonium) ethyl]-7-methoxy-4-methylcoumarin (AMMC) as a specific CYP2D6 probe in human liver microsomes // Drug Metab. Dispos. -2001.-V. $29.-N_{\odot}.$ 9.-P. 1196-1200.
- 62. Kumar S. Identification of a novel laser dye substrate of mammalian cytochromes P450: Application in rapid kinetic analysis, inhibitor screening, and directed evolution // J. Biomol. Screening. $-2007. V. 12. N_{\odot}. 5. P. 677-682.$
- 63. Takahashi R.H., Achour B., Prasad B. Quantitative determination of cytochrome P450 using LC-MS/MS // Cytochrome P450: *In Vitro* methods and protocols / edited by Yan Z., Caldwell G.W. –Humana New York, USA, 2021. P. 55-69.
- 64. Lahoz A., Donato M.T., Picazo L., Gómez-Lechón M.J., Castell J.V. Determination of major human cytochrome P450s activities in 96-well plates using liquid

- chromatography tandem mass spectrometry // Toxicol. In Vitro. $-2007. V. 21. N_{\odot}. 7. P. 1247-1252.$
- 65. Scheller F. Renneberg R., Strnad G., Pommerening K., Mohr P. Electrochemical aspects of cytochrome P-450 system from liver microsomes // Bioelectrochem. Bioenerg. -1977. V. 4. No. 4. P. 500-507.
- 66. Faulkner K.M., Shet M.S., Fisher C.W., Estabrook R.W. Electrocatalytically driven omega-hydroxylation of fatty acids using cytochrome P450 4A1 // Proc. Natl. Acad. Sci. − 1995. − V. 92. − №. 17. − P. 7705-7709.
- 67. Estabrook R.W., Faulkner K.M., Shet M.S., Fisher C.W. Application of electrochemistry for P450-catalyzed reactions // Methods in enzymology / edited by Johnson E.F., Waterman M.R. Academic Press, 1996. V. 272, Ch. 5. P. 44-51.
- 68. Estabrook R.W., Shet M.S., Fisher C.W., Jenkins C.M., Waterman M.R. The interaction of NADPH-P450 reductase with P450: an electrochemical study of the role of the flavin mononucleotide-binding domain // Archives of biochemistry and biophysics. 1996. V. 333. No. 1. P. 308-315.
- 69. Yarman A., Wollenberger U., Scheller F. W. Sensors based on cytochrome P450 and CYP mimicking systems // Electrochim. Acta. 2013. V. 110. P. 63-72.
- 70. Khan M.R. Immobilized enzymes: a comprehensive review // Bulletin of the National Research Centre. 2021. V. 45. P. 1-13.
- 71. Valikhani D., Bolivar J.M., Pelletier J.N. An overview of cytochrome P450 immobilization strategies for drug metabolism studies, biosensing, and biocatalytic applications: challenges and opportunities // ACS Catal. − 2021. − V. 11. − №. 15. − P. 9418-9434.
- 72. Udit A.K., Hill M.G., Gray H.B. Electrochemical Activation of Cytochrome P450 // Electrochem. Processes Biol. Syst. 2015. P. 133-167.
- 73. Полярография и вольтамперометрия. Теоретические основы и аналитическая практика / Хенце Г., пер. с нем. Гармаша А.В., Каменева А.И. БИНОМ. Лаборатория знаний, Москва, 2010. 284 С.
- 74. Электроаналитические методы. Теория и практика / Пер. с англ., редактор Шольц Ф. БИНОМ. Лаборатория знаний, Москва, 2006. 326 С.

- 75. Brett C.M.A., Brett O. Electrochemistry: principles, methods, and applications // Oxford University Press, New York, USA, 1993. 444 P.
- 76. Dutton P.L. Redox potentiometry: Determination of midpoint potentials of oxidation-reduction components of biological electron-transfer systems // Methods in enzymology / edited by Johnson E.F., Waterman M.R. Academic Press, 1978. V. 54, Ch. 23. P. 411-435.
- 77. Bard A.J., Faulkner L.R. Electrochemical methods: fundamentals and applications / 2nd edition. John Wiley & Sons, 2001. 833 P.
- 78. Wang J. Study of electrode reactions and interfacial properties // Analytical Electrochemistry 3rd edition. John Wiley & Sons, 2006, Ch. 2. P. 29-66.
- 79. Bartlett P.N. Bioelectrochemistry: fundamentals, experimental techniques and applications. John Wiley & Sons, 2008.
- 80. Laviron E. General expression of the linear potential sweep voltammogram in the case of diffusionless electrochemical systems // J. Electroanal. Chem. -1979.-V. 101.-P. 19-28.
- 81. Krishnan S., Abeykoon A., Schenkman J.B., Rusling J.F. Control of electrochemical and ferryloxy formation kinetics of cyt P450s in polyion films by heme iron spin state and secondary structure // J. Am. Chem. Soc. − 2009. − V. 131. − №. 44. − P. 16215-16224.
- 82. Sucheta A., Cammack R., Weiner J., Armstrong F.A. Reversible electrochemistry of fumarate reductase immobilized on an electrode surface. Direct voltammetric observations of redox centers and their participation in rapid catalytic electron transport // Biochemistry. -1993. V. 32. No. 20. P. 5455-5465.
- 83. Guto P.M., Rusling J.F. Enzyme-like kinetics of ferryloxy myoglobin formation in films on electrodes in microemulsions // J. Phys. Chem. B. -2005. V. 109. $N_{\odot}. 51. P. 24457-24464.$
- 84. Krishnan S., Schenkman J.B., Rusling J.F. Bioelectronic delivery of electrons to cytochrome P450 enzymes // J. Phys. Chem. B. − 2011. − V. 115. − №. 26. − P. 8371-8380.

- 85. Léger C., Bertrand P. Direct electrochemistry of redox enzymes as a tool for mechanistic studies // Chem. Rev. 2008. V. 108. №. 7. P. 2379-2438.
- 86. Lim J., Hoffmann M.R. Substrate oxidation enhances the electrochemical production of hydrogen peroxide // Chem. Eng. J. 2019. V. 374. P. 958-964.
- 87. Albertolle M.E., Guengerich F.P. The relationships between cytochromes P450 and H2O2: production, reaction, and inhibition $/\!/$ J. Inorg. Biochem. 2018. V. 186. P. 228-234.
- 88. Quaranta M., Murkovic M., Klimant I. A new method to measure oxygen solubility in organic solvents through optical oxygen sensing // Analyst. -2013. V.138. No. 21. P. 6243-6245.
- 89. Dvoranová D., Barbieriková Z., Brezová V. Radical intermediates in photoinduced reactions on TiO₂ (an EPR spin trapping study) // Molecules. 2014. V. 19. №. 11. P. 17279-17304.
- 90. Kostin V.A., Zolottsev V.A., Kuzikov A.V., Masamrekh R. A., Shumyantseva V.V., Veselovsky A.V., Stulov S.V., Novikov R.A, Timofeev V.P., Misharin A.Y. Oxazolinyl derivatives of [17(20)E]-21-norpregnene differing in the structure of A and B rings. Facile synthesis and inhibition of CYP17A1 catalytic activity // Steroids. 2016. V. 115. P. 114-122.
- 91. Honeychurch M.J. The electrochemistry of cytochrome P450. What are we actually measuring? // J. Inorg. Biochem. $-2003. V. 1. N_{\odot}. 96. P. 151.$
- 92. Fantuzzi A., Capria E., Mak, L.H., Dodhia V.R., Sadeghi S.J., Collins S., Somers G., Huq E., Gilardi G. An electrochemical microfluidic platform for human P450 drug metabolism profiling // Anal. Chem. − 2010. − V. 82. − №. 24. − P. 10222-10227.
- 93. Fantuzzi A., Mak L.H., Capria E., Dodhia V., Panicco P., Collins S., Gilardi G. A new standardized electrochemical array for drug metabolic profiling with human cytochromes P450 // Anal. Chem. − 2011. − V. 83. − №. 10. − P. 3831-3839.
- 94. Xu X., Wei W., Huang M., Yao L., Liu S. Electrochemically driven drug metabolism via cytochrome P450 2C9 isozyme microsomes with cytochrome P450 reductase and indium tin oxide nanoparticle composites // Chem. Commun. $-2012.-V.48.-N_{\odot}.63.-P.7802-7804.$

- 95. Nerimetla R., Premaratne G., Liu H., Krishnan S. Improved electrocatalytic metabolite production and drug biosensing by human liver microsomes immobilized on amine-functionalized magnetic nanoparticles // Electrochim. Acta. 2018. V. 280. P. 101-107.
- 96. Fleming B.D., Bell S.G., Wong L.L., Bond A.M. The electrochemistry of a heme-containing enzyme, CYP199A2, adsorbed directly onto a pyrolytic graphite electrode // J. Electroanal. Chem. -2007. V.611. No.1-2. P.149-154.
- 97. Kazlauskaite Ju., Westlake A.C.G., Wong L.L., Hill H.A.O. Direct electrochemistry of cytochrome P450cam // Chem. Commun. − 1996. − №. 18. − P. 2189-2190.
- 98. Zhe Z., Nassar A.E.F., Lu Z., Schenkman J., Rusling J. Direct electron injection from electrodes to cytochrome P450cam in biomembrane-like films // J. Chem. Soc., Faraday Trans. 1997. V. 93. №. 9. P. 1769-1774.
- 99. Panicco P., Castrignanò S., Sadeghi S.J., Di Nardo G., Gilardi G. Engineered human CYP2C9 and its main polymorphic variants for bioelectrochemical measurements of catalytic response // Bioelectrochemistry. 2021. V. 138. P. 107729.
- 100. Fleming B.D., Tian Y., Bell S.G., Wong L.L., Urlacher V., Hill H.A.O. Redox properties of cytochrome P450BM3 measured by direct methods // Eur. J. Biochem. 2003. V. 270. №. 20. P. 4082-4088.
- 101. Johnson D.L., Lewis B.C., Elliot D.J., Miners J.O., Martin L.L. Electrochemical characterisation of the human cytochrome P450 CYP2C9 // Biochem. Pharmacol. -2005.-V.69.-N0.10.-P.1533-1541.
- 102. Sligar S.G. Coupling of spin, substrate, and redox equilibriums in cytochrome P450 // Biochemistry. 1976. V. 15. №. 24. P. 5399-5406.
- 103. Sligar S.G., Gunsalus I.C. A thermodynamic model of regulation: modulation of redox equilibria in camphor monoxygenase // Proc. Natl. Acad. Sci. $1976. V. 73. N_{\odot}. 4. P. 1078-1082.$
- 104. Light D.R., Orme-Johnson N.R. Beef adrenal cortical cytochrome P-450 which catalyzes the conversion of cholesterol to pregnenolone. Oxidation-reduction

- potentials of the free, steroid-complexed, and adrenodoxin-complexed P-450 // J. Biol. Chem. $-1981. V. 256. N_{\odot}. 1. P. 343-350.$
- 105. Fisher M.T., Sligar S.G. Control of heme protein redox potential and reduction rate: linear free energy relation between potential and ferric spin state equilibrium // J. Am. Chem. Soc. -1985. V. 107. No. 17. P. 5018-5019.
- 106. Wu Y. Direct electrochemistry of cytochrome P450 6A1 in mimic biomembrane and its application for pesticides sensing // Sens. Actuators, B. -2011. V. 156. N_{\odot} . 2. P. 773-778.
- 107. Zhang J., Huang X., Zhang L., Si Y., Guo S., Su H., Liu J. Layer-by-layer assembly for immobilizing enzymes in enzymatic biofuel cells // Sustainable. Energy. Fuels. -2020. V. 4. No. 1. P. 68-79.
- 108. Lvov Y. M., Lu Z., Schenkman J.B., Zu X., Rusling J.F. Direct electrochemistry of myoglobin and cytochrome P450cam in alternate layer-by-layer films with DNA and other polyions // J. Am. Chem. Soc. − 1998. − V. 120. − №. 17. − P. 4073-4080.
- 109. Zu X., Lu Z., Zhang Z., Schenkman J.B., Rusling J.F. Electroenzyme-catalyzed oxidation of styrene and cis- β -methylstyrene using thin films of cytochrome P450cam and myoglobin // Langmuir. − 1999. − V. 15. − №. 21. − P. 7372-7377.
- 110. Sadeghi S.J., Ferrero S., Di Nardo G., Gilardi G. Drug–drug interactions and cooperative effects detected in electrochemically driven human cytochrome P450 3A4 // Bioelectrochemistry. 2012. V. 86. P. 87-91.
- 111. Riley R.J., Howbrook D. *In vitro* analysis of the activity of the major human hepatic CYP enzyme (CYP3A4) using [N-methyl-14C]-erythromycin // J. Pharmacol. Toxicol. Methods. 1997. V. 38. №. 4. P. 189-193.
- 112. Maurice M., Pichard L., Daujat M., Fabre I., Joyeux H., Domergue J., Maurel P. Effects of imidazole derivatives on cytochromes P450 from human hepatocytes in primary culture // FASEB J. − 1992. − V. 6. − №. 2. − P. 752-758.
- 113. Moody G.C. Fully automated analysis of activities catalysed by the major human liver cytochrome P450 (CYP) enzymes: assessment of human CYP inhibition potential // Xenobiotica. -1999. V. 29. No. 1. P. 53-75.

- 114. Masubuchi Y., Ose A., Horie T. Diclofenac-induced inactivation of CYP3A4 and its stimulation by quinidine // Drug Metab. Dispos. − 2002. − V. 30. − №. 10. − P. 1143-1148.
- 115. Haehner T., Refaie M.O.I., Müller-Enoch D. Drug-drug interactions evaluated by a highly active reconstituted native human cytochrome P4503A4 and human NADPH-cytochrome P450 reductase system // Arzneim. Forsch. -2004. -V. 54. $-N_{\odot}$. 01. -P. 78-83.
- 116. Munge B., Estavillo C., Schenkman J.B., Rusling J.F. Optimization of electrochemical and peroxide-driven oxidation of styrene with ultrathin polyion films containing cytochrome P450cam and myoglobin // ChemBioChem. $-2003. V. 4. N_{\odot}$. 1. P. 82-89.
- 117. Estavillo C., Lu Z., Jansson I., Schenkman J.B., Rusling J.F. Epoxidation of styrene by human cyt P450 1A2 by thin film electrolysis and peroxide activation compared to solution reactions // Biophys. Chem. − 2003. − V. 104. − №. 1. − P. 291-296.
- 118. Sun P., Wu Y. An amperometric biosensor based on human cytochrome P450 2C9 in polyacrylamide hydrogel films for bisphenol A determination // Sens. Actuators B. 2013. V. 178. P. 113-118.
- 119. Silveira C.M., Rodrigues P.R., Ghach W., Pereira S.A., Esteves F., Kranendonk M., Etienne M., Almeida M.G. Electrochemical activity of cytochrome P450 1A2: the relevance of O_2 control and the natural electron donor // ChemElectroChem. $2021. V. \ 8. N . 3. P. 500-507.$
- 120. Fantuzzi A., Fairhead M., Gilardi G. Direct electrochemistry of immobilized human cytochrome P450 2E1 // J. Am. Chem. Soc. 2004. V. 126. №. 16. P. 5040-5041.
- 121. Yang M., Kabulski J.L., Wollenberg L., Chen X., Subramanian M., Tracy T.S., Lederman D., Gannett P.M., Wu N. Electrocatalytic drug metabolism by CYP2C9 bonded to a self-assembled monolayer-modified electrode // Drug Metab. Dispos. -2009. -V. 37. -N0. 4. -P. 892-899.

- 122. Fantuzzi A., Capria E., Mak L.H., Dodhia V.R., Sadeghi S.J., Collins S., Somers G., Huq E., Gilardi G. An electrochemical microfluidic platform for human P450 drug metabolism profiling // Anal. Chem. − 2010. − V. 82. − №. 24. − P. 10222-10227.
- 123. Ngui J.S., Tang W., Stearns R.A., Shou M., Miller R.R., Zhang Y., Lin J.H., Baillie T.A. Cytochrome P450 3A4-mediated interaction of diclofenac and quinidine // Drug Metab. Dispos. 2000. V. 28. №. 9. P. 1043-1050.
- 124. Niwa T. Shiraga T., Yamasaki S., Ishibashi K., Ohno Y., Kagayama A. *In vitro* activation of 7-benzyloxyresorufin O-debenzylation and nifedipine oxidation in human liver microsomes // Xenobiotica. − 2003. − V. 33. − №. 7. − P. 717-729.
- 125. Somers G.I., Harris A.J., Bayliss M.K., Houston J.B. The metabolism of the $5HT_3$ antagonists ondansetron, alosetron and GR87442 I: a comparison of *in vitro* and *in vivo* metabolism and *in vitro* enzyme kinetics in rat, dog and human hepatocytes, microsomes and recombinant human enzymes // Xenobiotica. 2007. V. 37. N_2 . 8. P. 832-854.
- 126. Evert B., Eichelbaum M., Haubruck H., Zanger U.M. Functional properties of CYP2D6 1 (wild-type) and CYP2D6 7 (His324Pro) expressed by recombinant baculovirus in insect cells // Naunyn-Schmiedeberg's Arch. Pharmacol. 1997. V. 355. P. 309-318.
- 127. Bapiro T.E., Hasler J.A., Ridderström M., Masimirembwa C.M. The molecular and enzyme kinetic basis for the diminished activity of the cytochrome P450 2D6. 17 (CYP2D6. 17) variant: potential implications for CYP2D6 phenotyping studies and the clinical use of CYP2D6 substrate drugs in some African populations // Biochem. Pharmacol. − 2002. − V. 64. − №. 9. − P. 1387-1398.
- 128. Guengerich F.P., Miller G.P., Hanna I.H., Martin M.V., Léger S., Black C., Chauret N, Silva J.M., Trimble L.A., Yergey J.A., Nicoll-Griffith D.A. Diversity in the oxidation of substrates by cytochrome P450 2D6: lack of an obligatory role of aspartate 301− substrate electrostatic bonding // Biochemistry. − 2002. − V. 41. − №. 36. − P. 11025-11034.
- 129. Marcucci K.A., Pearce R.E., Crespi C., Steimel D.T., Leeder J.S., Gaedigk A. Characterization of cytochrome P450 2D6. 1 (CYP2D6. 1), CYP2D6. 2, and CYP2D6.

- 17 activities toward model CYP2D6 substrates dextromethorphan, bufuralol, and debrisoquine // Drug Metab. Dispos. $-2002. V. 30. N_{\odot}. 5. P. 595-601.$
- 130. Shen H., He M.M., Liu H., Wrighton S.A., Wang L., Guo B., Li C. Comparative metabolic capabilities and inhibitory profiles of CYP2D6.1, CYP2D6.10, and CYP2D6.17 // Drug Metab. Dispos. − 2007. − V. 35. − № 8. − P. 1292-1300.
- 131. Sakuyama K., Sasaki T., Ujiie S., Obata K., Mizugaki M., Ishikawa M., Hiratsuka M. Functional characterization of 17 CYP2D6 allelic variants (CYP2D6.2, 10, 14A–B, 18, 27, 36, 39, 47–51, 53–55, and 57) // Drug Metab. Dispos. − 2008. − V. 36. − №. 12. − P. 2460-2467.
- 132. Mak L.H., Sadeghi S.J., Fantuzzi A., Gilardi G. Control of human cytochrome P450 2E1 electrocatalytic response as a result of unique orientation on gold electrodes // Anal. Chem. 2010. V. 82. №. 12. P. 5357-5362.
- 133. Ray M., Mhaske S.D., Haram S.K., Mazumdar S. Covalent conjugation of single-walled carbon nanotube with CYP101 mutant for direct electrocatalysis // Anal. Biochem. 2021. V. 626. P. 114204.
- 134. Peng L., Yang X., Zhang Q., Liu S. Electrochemistry of cytochrome P450 2B6 on electrodes modified with zirconium dioxide nanoparticles and platin components // Electroanalysis. -2008. V. 20. No. 7. P. 803-807.
- 135. Liu S., Peng L., Yang X., Wu Y., He L. Electrochemistry of cytochrome P450 enzyme on nanoparticle-containing membrane-coated electrode and its applications for drug sensing // Anal. Biochem. − 2008. − V. 375. − №. 2. − P. 209-216.
- 136. Xu X., Zheng Q., Bai G., Dai Q., Cao X., Yao Y., Liu S., Yao C. Polydopamine functionalized nanoporous graphene foam as nanoreactor for efficient electrode-driven metabolism of steroid hormones // Biosens. Bioelectron. 2018. V. 119. P. 182-190.
- 137. Shumyantseva V.V., Bulko T.V., Bachmann T.T., Bilitewski U., Schmid R.D., Archakov A.I. Electrochemical reduction of flavocytochromes 2B4 and 1A2 and their catalytic activity // Arch. Biochem. Biophys. − 2000. − V. 377. − № 1. − P. 43-48.
- 138. Dodhia V.R., Sassone C., Fantuzzi A., Di Nardo G., Sadeghi S.J., Gilardi G. Modulating the coupling efficiency of human cytochrome P450 CYP3A4 at electrode

- surfaces through protein engineering // Electrochem. Commun. $-2008. V. 10. N_{\odot}. 11.$ -P. 1744-1747.
- 139. Zanger U.M., Schwab M. Cytochrome P450 enzymes in drug metabolism: regulation of gene expression, enzyme activities, and impact of genetic variation // Pharmacol. Ther. $-2013. V. 138. N_{\odot}. 1. P. 103-141.$
- 140. Walgama C., Nerimetla R., Materer N.F., Schildkraut D., Elman J.F., Krishnan S. A simple construction of electrochemical liver microsomal bioreactor for rapid drug metabolism and inhibition assays // Anal. Chem. − 2015. − V. 87. − №. 9. − P. 4712-4718.
- 141. Walker A., Walgama C., Nerimetla R., Alavi S.H., Echeverria E., Harimkar S.P., McIlroy D.N., Krishnan S. Roughened graphite biointerfaced with P450 liver microsomes: surface and electrochemical characterizations // Colloids. Surf. B. 2020. V. 189. P. 110790.
- 142. Mie Y., Suzuki M., Komatsu Y. Electrochemically driven drug metabolism by membranes containing human cytochrome P450 // J. Am. Chem. Soc. -2009. V. 131. N_{\odot} . 19. P. 6646-6647.
- 143. Iwata H., Fujita K.I., Kushida H., Suzuki A., Konno Y., Nakamura K., Fujino A., Kamataki T. High catalytic activity of human cytochrome P450 co-expressed with human NADPH-cytochrome P450 reductase in *Escherichia coli* // Biochem. Pharmacol. − 1998. − V. 55. − № 8. − P. 1315-1325.
- 144. Sullivan-Klose T.H., Ghanayem B.I., Bell D.A., Zhang Z.Y., Kaminsky L.S., Shenfleld G.M., Miners J.O.; Birkett D.J., Goldstein J.A. The role of the CFP2C9-Leu 359 allelic variant in the tolbutamide polymorphism // Pharmacogenet. Genomics. 1996. V. 6. No. 4. P. 341-349.
- 145. Takanashi K., Tainaka H., Kobayashi K., Yasumori T., Hosakawa M., Chiba K. CYP2C9 Ile359 and Leu359 variants: enzyme kinetic study with seven substrates // Pharmacogenet. Genomics. 2000. V. 10. №. 2. P. 95-104.
- 146. Hanatani T., Fukuda T., Onishi S., Funae Y., Azuma J. No major difference in inhibitory susceptibility between CYP2C9.1 and CYP2C9.3 // Eur. J. Clin. Pharmacol. 2003. V. 59. P. 233-235.

- 147. Guo Y., Wang Y., Si D., Fawcett P.J., Zhong D., Zhou H. Catalytic activities of human cytochrome P450 2C9*1, 2C9*3 and 2C9*13 // Xenobiotica. $-2005. V.35. N_{\odot}.9. P.853-861.$
- 148. Nerimetla R., Walgama C., Singh V., Hartson S.D., Krishnan S. Mechanistic insights into voltage-driven biocatalysis of a cytochrome P450 bactosomal film on a self-assembled monolayer // ACS Catal. -2017. V. 7. No. 5. P. 3446-3453.
- 149. Joseph S., Rusling J.F., Lvov Y.M., Friedberg T., Fuhr U. An amperometric biosensor with human CYP3A4 as a novel drug screening tool // Biochem. Pharmacol. 2003. V. 65. №. 11. P. 1817-1826.
- 150. Sultana N., Schenkman J.B., Rusling J.F. Protein film electrochemistry of microsomes genetically enriched in human cytochrome P450 monooxygenases // J. Am. Chem. Soc. -2005. -V. 127. -N0. 39. -P. 13460-13461.
- 151. Wasalathanthri D.P., Mani V., Tang C.K., Rusling J.F. Microfluidic electrochemical array for detection of reactive metabolites formed by cytochrome P450 enzymes // Anal. Chem. 2011. V. 83. №. 24. P. 9499-9506.
- 152. Hecht S. S., Hoffmann D. Tobacco-specific nitrosamines, an important group of carcinogens in tobacco and tobacco smoke // Carcinogenesis. $-1988. V. 9. N_{\odot}. 6. P. 875-884.$
- 153. Wang M., Hecht S.S. A cyclic N^7 , C-8 guanine adduct of *N*-nitrosopyrrolidine (NPYR): formation in nucleic acids and excretion in the urine of NPYR-treated rats // Chem. Res.Toxicol. 1997. V. 10. N_{\odot} . 7. P. 772-778.
- 154. Hecht S.S. Biochemistry, biology, and carcinogenicity of tobacco-specific N-nitrosamines // Chem. Res. Toxicol. 1998. V. 11. №. 6. P. 559-603.
- 155. Hvastkovs E.G., So M., Krishnan S., Bajrami B., Tarun M., Jansson I., Schenkman J.B., Rusling J.F. Electrochemiluminescent arrays for cytochrome P450-activated genotoxicity screening. DNA damage from benzo [a] pyrene metabolites // Anal. Chem. -2007. -V. 79. -N0. 5. -P. 1897-1906.
- 156. Zhao L., Schenkman J.B., Rusling J.F. High-throughput metabolic toxicity screening using magnetic biocolloid reactors and LC- MS/MS // Anal. Chemistry. $2010. V. 82. N_{\odot}. 24. P. 10172-10178.$

- 157. Yuan R., Madani S., Wei X.X., Reynolds K., Huang S.M. Evaluation of cytochrome P450 probe substrates commonly used by the pharmaceutical industry to study *in vitro* drug interactions // Drug Metab. Dispos. − 2002. − V. 30. − №. 12. − P. 1311-1319.
- 158. Pelkonen O., Turpeinen M., Hakkola J., Honkakoski P., Hukkanen J., Raunio, H. Inhibition and induction of human cytochrome P450 enzymes: current status // Arch. Toxicol. 2008. V. 82. P. 667-715.
- 159. Dierks E.A., Stams K.R., Lim H.K., Cornelius G., Zhang H., Ball S.E. A method for the simultaneous evaluation of the activities of seven major human drugmetabolizing cytochrome P450s using an *in vitro* cocktail of probe substrates and fast gradient liquid chromatography tandem mass spectrometry // Drug Metab. Dispos. $-2001.-V.\ 29.-No.\ 1.-P.\ 23-29$.
- 160. Xu X., Bai G., Song L., Zheng Q., Yao Y., Liu S., Yao C. Fast steroid hormone metabolism assays with electrochemical liver microsomal bioreactor based on polydopamine encapsulated gold-graphene nanocomposite // Electrochim. Acta. 2017. V. 258. P. 1365-1374.
- 161. Huang M., Xu X., Yang H., Liu S. Electrochemically-driven and dynamic enhancement of drug metabolism via cytochrome P450 microsomes on colloidal gold/graphene nanocomposites // RSC Adv. − 2012. − V. 2. − №. 33. − P. 12844-12850.
- 162. Jiang J., Wang J., Cai H., Li K., Deng Y. CYP3As catalyze nifedipine oxidation in pig liver microsomes: enzyme kinetics, inhibition and functional expression // Catal. Commun. $-2011. V. 12. N_{\odot}. 8. P. 694-697.$
- 163. Baj-Rossi C., Jost T.R., Cavallini A., Grassi F., De Micheli G., Carrara S. Continuous monitoring of Naproxen by a cytochrome P450-based electrochemical sensor // Biosens. Bioelectron. 2014. V. 53. P. 283-287.
- 164. Baj-Rossi C., Müller C., von Mandach U., De Micheli G., Carrara S. Faradic peaks enhanced by carbon nanotubes in microsomal cytochrome P450 electrodes // Electroanalysis. 2015. V. 27. №. 6. P. 1507-1515.

- 165. Eswaramoorthy S., Bonanno J.B., Burley S. K., Swaminathan S. Mechanism of action of a flavin-containing monooxygenase // Proc. Natl. Acad. Sci. -2006. V. 103. No. 26. P. 9832-9837.
- 166. Başaran R., Benay C.A.N. Flavin containing monooxygenases and metabolism of xenobiotics // Turk. J. Pharm. Sci. 2017. V. 14. №. 1. P. 90.
- 167. Huang S., Howington M.B., Dobry C.J., Evans C.R., Leiser S.F. Flavin-containing monooxygenases are conserved regulators of stress resistance and metabolism // Front. Cell Dev. Biol. 2021. V. 9. P. 630188.
- 168. Ikegami M., Mie Y., Hirano Y., Komatsu Y. Direct electrochemistry of microsomal human flavin-containing monooxygenases 1 and 3 on naphthalenethiol thin films // ECS Electrochem. Lett. $-2013. V. 2. N_{\odot}$. 12. -P. G5- G7.
- 169. Shumyantseva V.V., Bulko T.V., Suprun E.V., Chalenko Y.M., Vagin Yu.M., Rudakov Y.O., Shatskaya M.A., Archakov A.I. Electrochemical investigations of cytochrome P450 // Biochim. Biophys. Acta, Proteins Proteomics. − 2011. − V. 1814. − №. 1. − P. 94-101.
- 170. Khushvakov J., Nussbaum R., Cadoux C., Duan J., Stripp S.T., Milton R.D. Following electroenzymatic hydrogen production by rotating ring—disk electrochemistry and mass spectrometry // Angew. Chem., Int. Ed. − 2021. − V. 60. − №. 18. − P. 10001-10006.
- 171. Chen Z.P., Jiang J.H., Zhang X.B., Shen G.L., Yu R.Q. An electrochemical amplification immunoassay using bi-electrode signal transduction system // Talanta. -2007. V.71. No.5. P. 2029-2033.
- 172. Ramašauskas L., Meškys R., Ratautas D. Real-time glucose monitoring system containing enzymatic sensor and enzymatic reference electrodes // Biosens. Bioelectron. -2020.-V.164.-P.112338.
- 173. Chansaenpak K., Kamkaew A., Lisnund S., Prachai P., Ratwirunkit P., Jingpho T., Blay V., Pinyou P. Development of a sensitive self-powered glucose biosensor based on an enzymatic biofuel cell // Biosensors. $-2021. V. 11. N_{\odot}. 1. P.$ 16.

- 174. Jurva U., Wikström H.V., Weidolf L., Bruins A.P. Comparison between electrochemistry/mass spectrometry and cytochrome P450 catalyzed oxidation reactions // Rapid Commun. Mass Spectrom. − 2003. − V. 17. − №. 8. − P. 800-810.
- 175. Nouri-Nigjeh E., Bischoff R., P. Bruins A., P. Permentier H. Electrochemistry in the mimicry of oxidative drug metabolism by cytochrome P450s // Curr. Drug Metab. -2011.-V. 12.-No. 4.-P. 359-371.
- 176. Yoshihiko F., Wataru K., Toshio C., Toshiro N., Toyoko H. CYP2D in the Brain // Drug Metab. Pharmacokinet. 2003. V. 18. №. 6. P. 337-349.
- 177. Protti M., Mandrioli R., Marasca C., Cavalli A., Serretti A., Mercolini L. New-generation, non-SSRI antidepressants: Drug-drug interactions and therapeutic drug monitoring. Part 2: NaSSAs, NRIs, SNDRIs, MASSAs, NDRIs, and others // Med. Res. Rev. -2020. V. 40. No. 5. P. 1794-1832.
- 178. Suckow R.F., Cooper T.B., Quitkin F.M., Stewart J.W. Determination of mianserin and metabolites in plasma by liquid chromatography with electrochemical detection // J. Pharm. Sci. -1982. V. 71. No. 8. P. 889-892.
- 179. Nguyen H.Q., Callegari E., Obach R.S. The use of *in vitro* data and physiologically-based pharmacokinetic modeling to predict drug metabolite exposure: desipramine exposure in cytochrome P4502D6 extensive and poor metabolizers following administration of imipramine // Drug Metab. Dispos. -2016. -V. 44. -N0. 10. -P. 1569-1578.
- 180. Koyama E., Kikuchi Y., Echizen H., Chiba K., Ishizaki T. Simultaneous high-performance liquid chromatography-electrochemical detection determination of imipramine, desipramine, their 2-hydroxylated metabolites, and imipramine N-oxide in human plasma and urine: preliminary application to oxidation pharmacogenetics // Ther. Drug Monit. -1993. V. 15. No. 3. P. 224-235.
- 181. Bogni A., Monshouwer M., Moscone A., Hidestrand M., Ingelman-Sundberg M., Hartung T., Coecke S. Substrate specific metabolism by polymorphic cytochrome P450 2D6 alleles // Toxicol. In Vitro. − 2005. − V. 19. − №. 5. − P. 621-629.

- 182. DeVane C.L. Antidepressant–drug interactions are potentially but rarely clinically significant // Neuropsychopharmacology. − 2006. − V. 31. − №. 8. − P. 1594-1604.
- 183. Tang W. The metabolism of diclofenac-enzymology and toxicology perspectives // Curr. Drug Metab. -2003. V. 4. No. 4. P. 319-329.
- 184. Goyal R. N., Chatterjee S., Agrawal B. Electrochemical investigations of diclofenac at edge plane pyrolytic graphite electrode and its determination in human urine // Sens. Actuators, B. -2010.-V. 145. $-N_{\odot}.$ 2. -P. 743-748.
- 185. Cid-Cerón M.M., Guzmán-Hernández D.S., Ramírez-Silva M.T., Galano A., Romero-Romo M., Palomar-Pardavé M. New insigths on the kinetics and mechanism of the electrochemical oxidation of diclofenac in neutral aqueous medium // Electrochim. Acta. 2016. V. 199. P. 92-98.
- 186. Aguilar-Lira G.Y., Álvarez-Romero G.A., Zamora-Suárez A., Palomar-Pardavé M., Rojas-Hernández A., Rodríguez-Ávila J.A., Páez-Hernández M.E. New insights on diclofenac electrochemistry using graphite as working electrode // J. Electroanal. Chem. 2017. V. 794. P. 182-188.
- 187. Madsen K.G., Skonberg C., Jurva U., Cornett C., Hansen S.H., Johansen T.N., Olsen J. Bioactivation of diclofenac *in vitro* and *in vivo*: correlation to electrochemical studies // Chem. Res. Toxicol. − 2008. − V. 21. − №. 5. − P. 1107-1119.
- 188. Zi J., Liu D., Ma P., Huang H., Zhu J., Wei D., Yang J., Chen C. Effects of CYP2C9* 3 and CYP2C9* 13 on diclofenac metabolism and inhibition-based drug-drug interactions // Drug Metab. Pharmacokinet. − 2010. − V. 25. − №. 4. − P. 343-350.
- 189. Sodhi J.K., Halladay J.S. Case study 9: Probe-dependent binding explains lack of CYP2C9 inactivation by 1-aminobenzotriazole (ABT) // Enzyme kinetics in drug metabolism: fundamentals and applications / edited by Nagar S., Argikar U.A., Tweedie D.J. Springer International Publishing, Switzerland, 2014. P. 765-779.
- 190. Klammers F., Goetschi A., Ekiciler A., Walter I., Parrott N., Fowler S., Umehara K. Estimation of fraction metabolized by cytochrome P450 enzymes using long-term cocultured human hepatocytes // Drug Metab. Dispos. -2022. V. 50. No. 5. P. 566-575.

- 191. Kohl C., Steinkellner M. Prediction of pharmacokinetic drug/drug interactions from *in vitro* data: interactions of the nonsteroidal anti-inflammatory drug lornoxicam with oral anticoagulants // Drug Metab. Dispos. -2000. -V. 28. -N. 2. -P. 161-168.
- 192. Tracy T.S., Hutzler J.M., Haining R.L., Rettie A.E., Hummel M.A., Dickmann L.J. Polymorphic variants (CYP2C9*3 and CYP2C9*5) and the F114L active site mutation of CYP2C9: effect on atypical kinetic metabolism profiles // Drug Metab. Dispos. − 2002. − V. 30. − №. 4. − P. 385-390.
- 193. Suwa T., Urano H., Shinohara Y., Kokatsu J. Simultaneous high-performance liquid chromatographic determination of lornoxicam and its 5′-hydroxy metabolite in human plasma using electrochemical detection // J. Chromatogr. B: Biomed. Sci. Appl. − 1993. − V. 617. − №. 1. − P. 105-110.
- 194. Beloti L.G.M., Miranda L.F.C., Queiroz M.E.C. Butyl methacrylate-coethylene glycol dimethacrylate monolith for online in-tube SPME-UHPLC-MS/MS to determine chlopromazine, clozapine, quetiapine, olanzapine, and their metabolites in plasma samples // Molecules. -2019.-V.24.-N0. 2.-P.310.
- 195. McCreery R.L. Oxidative reactions of hydroxylated chlorpromazine metabolites // J. Pharm. Sci. − 1977. − V. 66. − №. 3. − P. 357-361.
- 196. Neptune M., McCreery R.L. Chemical and electrochemical oxidation of 7-hydroxychlorpromazine // J. Med. Chem. − 1978. − V. 21. − №. 4. − P. 362-368.
- 197. Upthagrove A.L., Nelson W.L. Importance of amine pK_a and distribution coefficient in the metabolism of fluorinated propranolol derivatives. Preparation, identification of metabolite regioisomers, and metabolism by CYP2D6 // Drug Metab. Dispos. $-2001. V. 29. N_2. 11. P. 1377-1388$.
- 198. Baranowska I., Koper M. Electrochemical behavior of propranolol and its major metabolites, 4'-hydroxypropranolol and 4'-hydroxypropranolol sulfate, on glassy carbon electrode // J. Braz. Chem. Soc. 2011. V. 22. P. 1601-1609.
- 199. Santos S.X., Cavalheiro É.T.G., Brett C.M.A. Analytical potentialities of carbon nanotube/silicone rubber composite electrodes: determination of propranolol // Electroanalysis. 2010. V. 22. №. 23. P. 2776-2783.

- 200. dos Santos S.X., Gomes Cavalheiro E.T. The potentialities of using a graphite-silicone rubber composite electrode in the determination of propranolol // Anal. Lett. -2011.-V.44.-N2. 5.-P.850-862.
- 201. Stoian I.A., Iacob B.C., Ramalho J.P.P., Marian I.O., Chiş V., Bodoki E., Oprean R. A chiral electrochemical system based on 1-cysteine modified gold nanoparticles for propranolol enantiodiscrimination: electroanalysis and computational modelling // Electrochim. Acta. 2019. V. 326. P. 134961.
- 202. Taxak N., Prasad K.C., Bharatam P.V. Mechanistic insights into the bioactivation of phenacetin to reactive metabolites: a DFT study // Comput. Theor. Chem. 2013. V. 1007. P. 48-56.
- 203. Yin H., Meng X., Xu Z., Chen L., Ai S. Electrochemical behavior of phenacetin on CdSe microspheres modified glassy carbon electrode and its simultaneous determination with paracetamol and 4-aminophenol // Anal. Methods. $-2012. V. 4. N_{\odot}. 5. P. 1445-1451.$
- 204. Smith H. S. Opioid metabolism //Mayo Clin. Proc. −2009. − V. 84. − №. 7. − P. 613-624.
- 205. Shord S.S., Cavallari L.H., Gao W., Jeong H.Y., Deyo K., Patel S.R., Camp J.R., Labott S.M., Molokie R.E. The pharmacokinetics of codeine and its metabolites in Blacks with sickle cell disease // Eur. J. Clin. Pharmacol. 2009. V. 65. P. 651-658.
- 206. Wester N., Mynttinen E., Etula J., Lilius T., Kalso E., Kauppinen E.I., Laurila T., Koskinen J. Simultaneous detection of morphine and codeine in the presence of ascorbic acid and uric acid and in human plasma at nafion single-walled carbon nanotube thin-film electrode // ACS Omega. − 2019. − V. 4. − №. 18. − P. 17726-17734.
- 207. Jimenez T.E.P., Mealey K.L., Grubb T.L., Greene S.A. Tramadol metabolism to O-desmethyl tramadol (M1) and N-desmethyl tramadol (M2) by dog liver microsomes: species comparison and identification of responsible canine cytochrome P-450s (CYPs) // Drug Metab. Dispos. -2016. -V. 44. -N0. 12. -P. 1963-1972.
- 208. Mynttinen E., Wester N., Lilius T., Kalso E., Koskinen J., Laurila T. Simultaneous electrochemical detection of tramadol and O-desmethyltramadol with

- Nafion-coated tetrahedral amorphous carbon electrode // Electrochim. Acta. -2019. V. 295. P. 347-353.
- 209. Lotfy H.M., Monir H.H., El-Aleem A.B.D., El-Azizel-Bayoumi A.B.D. Novel spectrophotometric methods for the determination of fluconazole in the presence of its oxidative degradation product // J. Chil. Chem. Soc. − 2012. − V. 57. − №. 4. − P. 1447-1455.
- 210. Pechurskaya T.A., Harnastai I.N., Grabovec I.P., Gilep A.A., Usanov S.A. Adrenodoxin supports reactions catalyzed by microsomal steroidogenic cytochrome P450s // Biochem. Biophys. Res. Commun. − 2007. − V. 353. − № 3. − P. 598-604.
- 211. Haidukevich I.V., Sushko T.A., Tumilovich A.M., Grabovec I.P., Usanov S.A., Gilep A.A. Different inhibitory effects of azole-containing drugs and pesticides on CYP2C9 polymorphic forms: an *in vitro* study // Toxicol. In Vitro. 2018. V. 50. P. 249-256.
- 212. Svirid A.V., Ershov P.V., Yablokov E.O., Kaluzhskiy L.A., Florinskaya A.V., Sushko T.A., Strushkevich N.V., Gilep A.A., Usanov S.A., Medvedev A.E., Ivanov A.S. Direct molecular fishing of new protein partners for human thromboxane synthase // Acta Naturae. -2017. V. 9. No. 4. P. 92-100.
- 213. Gilep A.A., Guryev O.L., Usanov S.A., Estabrook R.W. Apo-cytochrome b_5 as an indicator of changes in heme accessability: preliminary studies with cytochrome P450 3A4 // J. Inorg. Biochem. 2001. V. 87. \mathbb{N}_{2} . 4. P. 237-244.
- 214. Ershov P.V., Yablokov E.O., Florinskaya A.V., Mezentsev Y.V., Kaluzhskiy L.A., Tumilovich A. M., Gilep A.A., Usanov S.A., Ivanov A.S. SPR—Based study of affinity of cytochrome P450s/redox partners interactions modulated by steroidal substrates // J. Steroid Biochem. Mol. Biol. 2019. V. 187. P. 124-129.
- 215. Holmans P.L., Shet M.S., Martinwixtrom C.A., Fisher C.W., Estabrook R.W. The high-level expression in *Escherichia coli* of the membrane-bound form of human and rat cytochrome b_5 and studies on their mechanism of function // Arch. Biochem. Biophys. 1994. V. 312. \mathbb{N} 2. P. 554-565.

- 216. Bonina T.A., Gilep A.A., Estabrook R.W., Usanov S.A. Engineering of proteolytically stable NADPH-cytochrome P450 reductase // Biochemistry (Moscow). 2005. V. 70. P. 357-365.
- 217. Omura T., Sato R. The carbon monoxide-binding pigment of liver microsomes. I. Evidence for its hemoprotein nature // J. Biol. Chem. -1964. V. 239. No. 7. P. 2370-2378.
- 218. Laviron E. General expression of the linear potential sweep voltammogram in the case of diffusionless electrochemical systems // J. Electroanal. Chem. Interfacial Electrochem. 1979. V. $101. N_{\odot}$. 1. P. 19-28.
- 219. Lin X., Li Y. A sensitive determination of estrogens with a Pt nanoclusters/multi-walled carbon nanotubes modified glassy carbon electrode // Biosens. Bioelectron. -2006. V. 22. No. 2. P. 253-259.
- 220. Zhu Y., Liu X., Jia J. Electrochemical detection of natural estrogens using a graphene/ordered mesoporous carbon modified carbon paste electrode // Anal. Methods. 2015. V. 7. №. 20. P. 8626-8631.
- 221. Moraes F.C., Rossi B., Donatoni M.C., de Oliveira K.T., Pereira E.C. Sensitive determination of 17β -estradiol in river water using a graphene based electrochemical sensor // Anal. Chim. Acta. -2015.-V.881.-P.37-43.
- 222. Sohl C.D., Guengerich F.P. Kinetic analysis of the three-step steroid aromatase reaction of human cytochrome P450 19A1 // J. Biol. Chem. $-2010. V. 285. N_{\odot}. 23. P. 17734-17743.$
- 223. Hamadeh I.S., Patel J.N., Rusin S., Tan A.R. Personalizing aromatase inhibitor therapy in patients with breast cancer // Cancer Treat. Rev. -2018.-V.70.-P.47-55.
- 224. Denver N., Khan S., Stasinopoulos I., Church C., Homer N.Z., MacLean M.R., Andrew R. Derivatization enhances analysis of estrogens and their bioactive metabolites in human plasma by liquid chromatography tandem mass spectrometry // Anal. Chim. Acta. -2019.-V.1054.-P.84-94.

- 225. Di Nardo G., Castrignanò S., Sadeghi S.J., Baravalle R., Gilardi G. Bioelectrochemistry as a tool for the study of aromatization of steroids by human aromatase // Electrochem. Commun. 2015. V. 52. P. 25-28.
- 226. Ngundi M.M., Sadik O.A., Yamaguchi T., Suye S.I. First comparative reaction mechanisms of β -estradiol and selected environmental hormones in a redox environment // Electrochem. Commun. 2003. V. 5. N2. 1. P. 61-67. (2003).
- 227. Hu S., Wu K., Yi H., Cui D. Voltammetric behavior and determination of estrogens at Nafion-modified glassy carbon electrode in the presence of cetyltrimethylammonium bromide // Anal. Chim. Acta. − 2002. − V. 464. − №. 2. − P. 209-216.
- 228. Akhtar M., Njar V.C.O., Wright J.N. Mechanistic studies on aromatase and related C-C bond cleaving P-450 enzymes // J. Steroid Biochem. Mol. Biol. -1993. V. 44. $-N_{\odot}$. 4-6. -P. 375-387.
- 229. Ji J.Z., Lao K.J., Hu J., Pang T., Jiang Z.Z., Yuan H.L., Miao J.S., Chen X., Ning S.S., Xiang H., Guo Y.M., Yan M., Zhang L.Y. Discovery of novel aromatase inhibitors using a homogeneous time-resolved fluorescence assay // Acta Pharmacol. Sin. -2014.-V.35.-N 0.8.-P.1082-1092.
- 230. Lombardi P. Exemestane, a new steroidal aromatase inhibitor of clinical relevance // Biochim. Biophys. Acta, Mol. Basis Dis. − 2002. − V. 1587. − №. 2-3. − P. 326-337.
- 231. Tipton K.F., Boyce S., O'Sullivan J., Davey, G.P., Healy J. Monoamine oxidases: certainties and uncertainties // Curr. Med. Chem. -2004. V. 11. No. 15. P. 1965-1982.
- 232. Mohutsky M., Hall S.D. Irreversible enzyme inhibition kinetics and drug–drug interactions // Enzyme kinetics in drug metabolism: fundamentals and applications / edited by Nagar S., Argikar U.A., Tweedie D.J. Springer International Publishing, Switzerland, 2014. P. 57-91.
- 233. Zhang Z.Y., Wong Y.N. Enzyme kinetics for clinically relevant CYP inhibition // Curr. Drug Metab. − 2005. − V. 6. − №. 3. − P. 241-257.

- 234. Ghanbari F., Rowland-Yeo K., Bloomer J.C., Clarke S.E., Lennard M.S., Tucker G.T., Rostami-Hodjegan A. A critical evaluation of the experimental design of studies of mechanism based enzyme inhibition, with implications for *in vitro in vivo* extrapolation // Curr. Drug Metab. -2006. -V. 7. -N0. 3. -P. 315-334.
- 235. Di Salle E., Giudici D., Briatico G., Ornati G. Novel irreversible aromatase inhibitors // Ann. N. Y. Acad. Sci. 1990. V. 595. №. 1. P. 357-367.
- 236. Kocael A., Eronat A.P., Tüzüner M.B., Ekmekçi A., Orhan A.L., İkizceli İ., Yılmaz-Aydoğan H., Öztürk O. Interpretation of the effect of CYP2C9, VKORC1 and CYP4F2 variants on warfarin dosing adjustment in Turkey // Mol. Biol. Rep. − 2019. − V. 46. − №. 2. − P. 1825-1833.
- 237. Kaminsky L.S., Zhang Z.Y. Human P450 metabolism of warfarin // Pharmacol. Ther. -1997. V. 73. No. 1. P. 67-74.
- 238. Silverman R.B., Holladay M.W. Drug metabolism // The organic chemistry of drug design and drug action. 3rd edition. Academic Press. 2014, P. 357-422.
- 239. Samardzija M., Topić E., Štefanović M., Zibar L., Samardžija G., Balen S., Včev A., Domanović D., Mirat J., Barbić J. Association of CYP2C9 gene polymorphism with bleeding as a complication of warfarin therapy // Coll. Antropol. − 2008. − V. 32. − № 2. − P. 557-564.
- 240. Liedtke M.D., Rathbun R.C. Drug interactions with antiretrovirals and warfarin // Expert Opin. Drug Saf. -2010. V. 9. No. 2. P. 215-223.
- 241. Gholivand M.B., Torkashvand M., Yavari E. Electrooxidation behavior of warfarin in Fe_3O_4 nanoparticles modified carbon paste electrode and its determination in real samples // Mater. Sci. Eng., C. -2015. -V. 48. -P. 235-242.
- 242. Gholivand M. B., Mohammadi-Behzad L. An electrochemical sensor for warfarin determination based on covalent immobilization of quantum dots onto carboxylated multiwalled carbon nanotubes and chitosan composite film modified electrode // Mater. Sci. Eng., C. 2015. V. 57. P. 77-87.
- 243. Taei M., Abedi F. New modified multiwalled carbon nanotubes paste electrode for electrocatalytic oxidation and determination of warfarin in biological and pharmaceutical samples // Chin. J. Catal. -2016. -V. 37. -N₂. 3. -P. 436-445.

- 244. Molaakbari E., Mostafavi A., Beitollahi H., Tohidiyan Z. Synthesis of conductive polymeric ionic liquid/Ni nanocomposite and its application to construct a nanostructure based electrochemical sensor for determination of warfarin in the presence of tramadol // Talanta. 2017. V. 171. P. 25-31.
- 245. de Jesus Guedes T., Antônio Reis Andrade G., Barbosa Lima A., Amorim Bezerra da Silva R., Torres Pio dos Santos W. Simple and fast determination of warfarin in pharmaceutical samples using boron-doped diamond electrode in BIA and FIA systems with multiple pulse amperometric detection // Electroanalysis. − 2017. − V. 29. − №. 10. − P. 2340-2347.
- 246. Yawari I., Kaykhaii M. Determination of (*S*)-warfarin using an activated screen printed gold electrode modified with gold nanoparticles and an enantioselective molecularly imprinted polymer // Anal. Methods. -2017. V. 9. No. 46. P. 6583-6589.
- 247. Gholivand M.B., Solgi M. Simultaneous electrochemical sensing of warfarin and maycophenolic acid in biological samples // Anal. Chim. Acta. 2018. V. 1034. P. 46-55.
- 248. Zilberg R.A., Maistrenko V.N., Zagitova L.R., Guskov V.Y., Dubrovsky D.I. Chiral voltammetric sensor for warfarin enantiomers based on carbon black paste electrode modified by 3, 4, 9, 10-perylenetetracarboxylic acid // J. Electroanal. Chem. 2020. V. 861. P. 113986.
- 249. Nowak P., Olechowska P., Mitoraj M., Woźniakiewicz M., Kościelniak P. Determination of acid dissociation constants of warfarin and hydroxywarfarins by capillary electrophoresis // J. Pharm. Biomed. Anal. 2015. V. 112. P. 89-97.
- 250. Naidong W., Ring P.R., Midtlien C., Jiang X. Development and validation of a sensitive and robust LC–tandem MS method for the analysis of warfarin enantiomers in human plasma // J. Pharm. Biomed. Anal. -2001. V.25. No.2. P.219-226.
- 251. Hu X.R., He J.B., Wang Y., Zhu Y.W., Tian J.J. Oxidative spectroelectrochemistry of two representative coumarins // Electrochim. Acta. $-2011. V.56. N_{\odot}.7. P.2919-2925.$

- 252. Brito R.E., Capote F.P., Escobar C.L., Montoya M.R., Mellado J.R. Electrochemical oxidation pathways of hydroxycoumarins on carbon electrodes examined by LSCV and LC–MS/MS // J. Electrochem. Soc. − 2019. − V. 166. − №. 8. − P. H331.
- 253. Mosher C.M., Hummel M.A., Tracy T.S., Rettie A.E. Functional analysis of phenylalanine residues in the active site of cytochrome P450 2C9 // Biochemistry. -2008. -V. 47. -N0. 45. -P. 11725-11734.
- 254. Yamazaki H., Inoue K., Chiba K., Ozawa N., Kawai T., Suzuki Y., Goldstein J.A., Guengerich F.P., Shimada T. Comparative studies on the catalytic roles of cytochrome P450 2C9 and its Cys-and Leu-variants in the oxidation of warfarin, flurbiprofen, and diclofenac by human liver microsomes // Biochem. Pharmacol. 1998. V. $56. N_{\odot}. 2. P. 243-251.$
- 255. Tatsumi A., Ikegami Y., Morii R., Sugiyama M., Kadobayashi M., Iwakawa S. Effect of ethanol on S-warfarin and diclofenac metabolism by recombinant human CYP2C9 1 // Biol. Pharm. Bull. − 2009. − V. 32. − №. 3. − P. 517-519.
- 256. Liu Y., Jeong H., Takahashi H., Drozda K., Patel S.R., Shapiro N.L., Nutescu E.A., Cavallari L.H. Decreased warfarin clearance associated with the *CYP2C9* R150H (*8) polymorphism // Clin. Pharmacol. Ther. − 2012. − V. 91. − №. 4. − P. 660-665.
- 257. Du H., Wei Z., Yan Y., Xiong Y., Zhang X., Shen L., Ruan Y., Wu X., Xu Q., He L., Qin S. Functional characterization of human CYP2C9 allelic variants in COS-7 cells //Frontiers in pharmacology. 2016. V. 7. P. 98.
- 258. Michalkiewicz S., Skorupa A., Jakubczyk M. Carbon materials in electroanalysis of preservatives: a review // Materials. − 2021. − V. 14. − №. 24. − P. 7630.
- 259. Salinas-Torres D., Huerta F., Montilla F., Morallón E. Study on electroactive and electrocatalytic surfaces of single walled carbon nanotube-modified electrodes // Electrochim. Acta. − 2011. − V. 56. − №. 5. − P. 2464-2470.
- 260. Habibi B., Abazari M., Pournaghi-Azar M.H. Simultaneous determination of codeine and caffeine using single-walled carbon nanotubes modified carbon-ceramic electrode // Colloids Surf., B. 2014. V. 114. P. 89-95.

- 261. Kumar V., Rock D.A., Warren C.J., Tracy T.S., Wahlstrom J.L. Enzyme source effects on CYP2C9 kinetics and inhibition // Drug Metab. Dispos. -2006. V. 34. No. 11. P. 1903-1908.
- 262. Bourrié M., Meunier V., Berger Y., Fabre G. Cytochrome P450 isoform inhibitors as a tool for the investigation of metabolic reactions catalyzed by human liver microsomes // J. Pharmacol. Exp. Ther. − 1996. − V. 277. − №. 1. − P. 321-332.
- 263. Zheng Y.F., Bae S.H., Huang Z., Chae S.U., Jo S.J., Shim H.J., Lee C.B., Kim D., Yoo H., Bae S.K. Lack of correlation between *in vitro* and *in vivo* studies on the inhibitory effects of (–)-sophoranone on CYP2C9 is attributable to low oral absorption and extensive plasma protein binding of (–)-sophoranone // Pharmaceutics. 2020. V. $12. N_{\odot}$. 4. P. 328.
- 264. Dixon M. The determination of enzyme inhibitor constants // Biochem. J. 1953. V. 55. №. 1. P. 170.
- 265. Leemann T., Transon C., Dayer P. Cytochrome P450TB (CYP2C): a major monooxygenase catalyzing diclofenac 4′-hydroxylation in human liver // Life Sci. 1993. V. 52. №. 1. P. 29-34.
- 266. Kim M.S., Kim J.E., Lim D.Y., Huang Z., Chen H., Langfald A., Lubet R.A., Grubbs C.J., Dong Z., Bode A.M. Naproxen induces cell-cycle arrest and apoptosis in human urinary bladder cancer cell lines and chemically induced cancers by targeting PI3K // Cancer Prev. Res. $-2014. V. 7. N_{\odot}. 2. P. 236-245.$
- 267. Rodrigues A.D., Kukulka M.J., Roberts E.M., Ouellet D., Rodgers T.R. [Omethyl 14C] naproxen O-demethylase activity in human liver microsomes: evidence for the involvement of cytochrome P4501A2 and P4502C9/10 // Drug Metab. Dispos. 1996. V. 24. No. 1. P. 126-136.
- 268. Miners J.O., Coulter S., Tukey R.H., Veronese M.E., Birkett D.J. Cytochromes P450, 1A2, and 2C9 are responsible for the human hepatic O-demethylation of R-and S-naproxen // Biochem. Pharmacol. -1996. V. 51. No. 8. P. 1003-1008.
- 269. Tracy T.S., Marra C., Wrighton S.A., Gonzalez F.J., Korzekwa K.R. Involvement of multiple cytochrome P450 isoforms in naproxen O-demethylation // Eur. J. Clin. Pharmacol. 1997. V. 52. P. 293-298.

- 270. McGinnity D.F., Griffin S.J., Moody G.C., Voice M., Hanlon S., Friedberg T., Riley R.J. Rapid characterization of the major drug-metabolizing human hepatic cytochrome P-450 enzymes expressed in *Escherichia coli* // Drug Metab. Dispos. 1999. V. 27. \mathbb{N}_{2} 9. P. 1017-1023.
- 271. Qian L., Thiruppathi A.R., Elmahdy R., van der Zalm J., Chen A. Graphene-oxide-based electrochemical sensors for the sensitive detection of pharmaceutical drug naproxen // Sensors. $-2020. V.\ 20. No.\ 5. P.\ 1252.$
- 272. Hendawy H.A., Salem W.M., Abd-Elmonem M.S., Khaled E. Nanomaterial-based carbon paste electrodes for voltammetric determination of naproxen in presence of its degradation products // J. Anal. Methods Chem. 2019. V. 2019. P. 5381031-5381031.
- 273. Panizza M., Michaud P.A., Cerisola G., Comninellis C. Anodic oxidation of 2-naphthol at boron-doped diamond electrodes // J. Electroanal. Chem. -2001. V.507. N_{\odot} . 1-2. P. 206-214.
- 274. Tsai M.C., Chen P.Y. Electrochemical detection of 2-naphthol at a glassy carbon electrode modified with tosflex film // Electroanalysis. − 2007. − V. 19. − №. 12. − P. 1315-1321.
- 275. Zajkoska S.P., Mulone A., Hansal W.E., Klement U., Mann R., Kautek W. Alkoxylated β -naphthol as an additive for tin plating from chloride and methane sulfonic acid electrolytes // Coatings. $-2018.-V.8.-N_{\odot}.2.-P.79.$
- 276. Chen W., Dong J., Zhou S., Zhang C., Fu D. Electrochemical mineralization of 1-naphthol and 2-naphthol using boron-doped diamond anodes: factor analysis and mechanisms study // J. Electroanal. Chem. 2019. V. 850. P. 113399.
- 277. Korzekwa K.R., Krishnamachary N., Shou M., Ogai A., Parise R.A., Rettie A.E., Gonzalez F.J., Tracy T.S. Evaluation of atypical cytochrome P450 kinetics with two-substrate models: evidence that multiple substrates can simultaneously bind to cytochrome P450 active sites // Biochemistry. − 1998. − V. 37. − №. 12. − P. 4137-4147.
- 278. Hummel M.A., Dickmann L.J., Rettie A.E., Haining R.L., Tracy T.S. Differential activation of CYP2C9 variants by dapsone // Biochem. Pharmacol. -2004. V. 67. No. 10. P. 1831-1841.

- 279. Kumar V., Locuson C.W., Sham Y.Y., Tracy T.S. Amiodarone analog-dependent effects on CYP2C9-mediated metabolism and kinetic profiles // Drug Metab. Dispos. -2006. -V. 34. -N0. 10. -P. 1688-1696.
- 280. Henderson L.M., Hopkins S.E., Boyer B.B., Thornton T.A., Rettie A.E., Thummel K.E. *In vivo* functional effects of CYP2C9 M1L, a novel and common variant in the Yup'ik Alaska Native population // Drug Metab. Dispos. -2021. V.49. No.5. P.345-352.
- 281. McDonald M.G., Henderson L.M., Ray S., Yeung C.K., Johnson A.L., Kowalski J.P., Hanenberg H., Wiek C., Thummel K.E., Rettie A.E. Heterologous expression and functional characterization of novel CYP2C9 variants identified in the Alaska native people // J. Pharmacol. Exp. Ther. − 2020. − V. 374. − №. 2. − P. 233-240.
- 282. Leow J.W.H., Tang L.W.T., Chan E.C.Y. Atypical kinetics of cytochrome P450 enzymes in pharmacology and toxicology // Adv. Pharmacol. 2022. V. 95. P. 131-176.
- 283. Bisswanger H. Enzyme kinetics: principles and methods / 3rd edition. John Wiley & Sons, Weinheim, Germany, 2017.
- 284. Tracy T.S. Atypical cytochrome P450 kinetics: implications for drug discovery // Drugs in R & D. -2006. V. 7. P. 349-363.
- 285. Leow J.W.H., Chan E.C.Y. Atypical Michaelis-Menten kinetics in cytochrome P450 enzymes: a focus on substrate inhibition // Biochem. Pharmacol. 2019. V. 169. P. 113615.
- 286. Hutzler J.M., Tracy T.S. Atypical kinetic profiles in drug metabolism reactions // Drug Metab. Dispos. 2002. V. 30. №. 4. P. 355-362.
- 287. Nakajima M., Sakata N., Ohashi N., Kume T., Yokoi T. Involvement of multiple UDP-glucuronosyltransferase 1A isoforms in glucuronidation of 5-(4′-hydroxyphenyl)-5-phenylhydantoin in human liver microsomes // Drug Metab. Dispos. − 2002. − V. 30. − №. 11. − P. 1250-1256.
- 288. Giancarlo G.M., Venkatakrishnan K., Granda B.W., von Moltke L.L., Greenblatt D.J. Relative contributions of CYP2C9 and 2C19 to phenytoin 4-

- hydroxylation *in vitro*: inhibition by sulfaphenazole, omeprazole, and ticlopidine // Eur. J. Clin. Pharmacol. 2001. V. 57. P. 31-36.
- 289. Verrotti A., Lattanzi S., Brigo F., Zaccara G. Pharmacodynamic interactions of antiepileptic drugs: from bench to clinical practice // Epilepsy Behav. 2020. V. 104. P. 106939.
- 290. Trišović N.P., Božić B.D., Lović J.D., Vitnik V.D., Vitnik Ž.J., Petrović S.D., Ivić M.L.A. Electrochemical characterization of phenytoin and its derivatives on bare gold electrode // Electrochim. Acta. 2015. V. 161. P. 378-387.
- 291. Venkatakrishnan K., Von Moltke L.L., Greenblatt D.J. Effects of the antifungal agents on oxidative drug metabolism: clinical relevance // Clin. Pharmacokinet. 2000. V. 38. P. 111-180.
- 292. Pea F., Furlanut M. Pharmacokinetic aspects of treating infections in the intensive care unit: focus on drug interactions // Clin. Pharmacokinet. 2001. V. 40. P. 833-868.
- 293. Cederbaum A. I. CYP2E1--biochemical and toxicological aspects and role in alcohol-induced liver injury // Mt. Sinai J. Med. -2006. V. 73. No. 4. P. 657-672.
- 294. Doody E.E., Groebner J.L., Walker J.R., Frizol B.M., Tuma D.J., Fernandez D.J., Tuma P.L. Liver and biliary tract physiology/pathophysiology: Ethanol metabolism by alcohol dehydrogenase or cytochrome P450 2E1 differentially impairs hepatic protein trafficking and growth hormone signaling // Am. J. Physiol. Gastrointest. Liver Physiol. -2017. V.313. No.6. P.G558.
- 295. Jiang Y., Zhang T., Kusumanchi P., Han S., Yang Z., Liangpunsakul S. Alcohol metabolizing enzymes, microsomal ethanol oxidizing system, cytochrome P450 2E1, catalase, and aldehyde dehydrogenase in alcohol-associated liver disease // Biomedicines. − 2020. − V. 8. − №. 3. − P. 50.
- 296. Guengerich F.P. Cytochrome P450 2E1 and its roles in disease // Chem.-Biol. Interact. 2020. V. 322. P. 109056.
- 297. Chen J., Jiang S., Wang J., Renukuntla J., Sirimulla S., Chen J. A comprehensive review of cytochrome P450 2E1 for xenobiotic metabolism // Drug Metab. Rev. -2019.-V.51.-N2. -2.-P.178-195.

- 298. Urquhart B.L., Nolin T.D. Drug metabolism in chronic kidney disease // Chronic Renal Disease. 2nd edition. Academic Press, 2020. Ch. 63. –P. 1035-1051.
- 299. Kumar S., Singla B., Singh A.K., Thomas-Gooch S.M., Zhi K., Singh U.P. Hepatic, extrahepatic and extracellular vesicle cytochrome p450 2E1 in alcohol and acetaminophen-mediated adverse interactions and potential treatment options // Cells. 2022. V. 11. No. 17. P. 2620.
- 300. Peter R., Boecker R., Beaune P.H., Iwasaki M., Guengerich F.P., Yang C.S. Hydroxylation of chlorzoxazone as a specific probe for human liver cytochrome P-450IIE1 // Chem. Res. Toxicol. − 1990. − V. 3. − № 6. − P. 566-573.
- 301. Mehvar R., Vuppugalla R. Hepatic disposition of the cytochrome P450 2E1 marker chlorzoxazone and its hydroxylated metabolite in isolated perfused rat livers // J. Pharm. Sci. -2006. -V. 95. -N0. 7. -P. 1414-1424.
- 302. Vergeres G., Waskell L. Cytochrome b_5 , its functions, structure and membrane topology // Biochimie. 1995. V. 77. N_2 . 7-8. P. 604-620.
- 303. Zhang H., Gao N., Liu T., Fang Y., Qi B., Wen Q., Zhou J., Jia L., Qiao H. Effect of cytochrome b_5 content on the activity of polymorphic CYP1A2, 2B6, and 2E1 in human liver microsomes // PloS one. -2015. V. 10. No. 6. P. e0128547.
- 304. Abbar J.C., Nandibewoor S.T. Development of electrochemical method for the determination of chlorzoxazone drug and its analytical applications to pharmaceutical dosage form and human biological fluids // Ind. Eng. Chem. Res. $-2012. V. 51. N_{\odot}$. 1. P. 111-118.
- 305. Baniahmad B., Hassani Nadiki H., Jahani S., Nezamabadi-Pour N., Toolabi A., Foroughi M.M. Simultaneous electrochemical determination of chlorzoxazone and diclofenac on an efficient modified glassy carbon electrode by lanthanum oxide@ copper (I) sulfide composite // Front. Chem. 2022. V. 10. P. 889590.
- 306. Langes Handbook of Chemistry / edited by Dean J.A. –11th edition. McGraw–Hill, New York, USA, 1999. –V. 8. P. 24.
- 307. Stewart J.T., Janicki C.A. Chlorzoxazone // Analytical profiles of drug substances. Academic Press, 1987. V. 16. P. 119-144.

- 308. Krishnan S., Wasalathanthri D., Zhao L., Schenkman J.B., Rusling J.F. Efficient bioelectronic actuation of the natural catalytic pathway of human metabolic cytochrome P450s // J. Am. Chem. Soc. − 2011. − V. 133. − №. 5. − P. 1459-1465.
- 309. Eagling V.A., Tjia J.F., Back D.J. Differential selectivity of cytochrome P450 inhibitors against probe substrates in human and rat liver microsomes // Br. J. Clin. Pharmacol. 1998. V. 45. №. 2. P. 107-114.
- 310. Lucas D., Ferrara R., Gonzalez E., Bodenez P., Albores A., Manno M., Berthou F. Chlorzoxazone, a selective probe for phenotyping CYP2E1 in humans // Pharmacogenet. Genomics. 1999. V. 9. №. 3. P. 377-388.
- 311. Ono S., Hatanaka T., Hotta H., Tsutsui M., Satoh T., Gonzalez F.J. Chlorzoxazone is metabolized by human CYP1A2 as well as by human CYP2E1 // Pharmacogenet. Genomics. 1995. V. 5. №. 3. P. 143-150.
- 312. Fu T., Zheng Q., Zhang H. Investigation of the molecular and mechanistic basis for the regioselective metabolism of midazolam by cytochrome P450 3A4 // Phys. Chem. Chem. Phys. $-2022. V. 24. N_{\odot}$. 14. P. 8104-8112.
- 313. Samuels E.R., Sevrioukova I. Inhibition of human CYP3A4 by rationally designed ritonavir-like compounds: impact and interplay of the side group functionalities // Mol. Pharmaceutics. -2018.-V. 15. N0. 1. P. 279-288.
- 314. Deb S., Chin M.Y., Adomat H., Guns E.S.T. Abiraterone inhibits 1α , 25-dihydroxyvitamin D3 metabolism by CYP3A4 in human liver and intestine *in vitro* // J. Steroid Biochem. Mol. Biol. 2014. V. 144. P. 50-58.
- 315. Torimoto N., Ishii I., Hata M., Nakamura H., Imada H., Ariyoshi N., Ohmori S., Igarashi T., Kitada M. Direct interaction between substrates and endogenous steroids in the active site may change the activity of cytochrome P450 3A4 // Biochemistry. -2003. V. 42. No. 51. P. 15068-15077.
- 316. Lee S., Kim A.H., Yoon S., Lee J., Lee Y., Ji S.C., Yoon S.H., Lee S., Yu K.S., Jang I.J., Cho J.Y. The utility of CYP3A activity endogenous markers for evaluating drug-drug interaction between sildenafil and CYP3A inhibitors in healthy subjects // Drug Metab. Pharmacokinet. 2021. V. 36. P. 100368.

- 317. Brian W.R., Sari M.A., Iwasaki M., Shimada T., Kaminsky L.S., Guengerich F.P. Catalytic activities of human liver cytochrome P-450 IIIA4 expressed in Saccharomyces cerevisiae // Biochemistry. − 1990. − V. 29. − №. 51. − P. 11280-11292.
- 318. Ged C., Rouillon J.M., Pichard L., Combalbert J., Bressot N., Bories P., Michel H., Beaune P., Maurel P. The increase in urinary excretion of 6 beta-hydroxycortisol as a marker of human hepatic cytochrome P450IIIA induction // Br. J. Clin. Pharmacol. $-1989. V. 28. N_{\odot}. 4. P. 373-387.$
- 319. Peng C.C., Templeton I., Thummel K.E., Davis C., Kunze K.L., Isoherranen N. Evaluation of 6β -hydroxycortisol, 6β -hydroxycortisone, and a combination of the two as endogenous probes for inhibition of CYP3A4 *in vivo* // Clin. Pharmacol. Ther. 2011. V. 89. N0. 6. P. 888-895.
- 320. Zhiri A., Wellman-Bednawska M., Siest G. ELISA of 6-beta-hydroxycortisol in human urine: diurnal variations and effects of antiepileptic therapy // Clin. Chim. Acta. -1986. V. 157. N₂. 3. P. 267-276.
- 321. Manz B., Grill H.J., Pollow K. Steroid side-chain modification and receptor affinity: binding of synthetic derivatives of corticoids to human spleen tumor and rat liver glucocorticoid receptors // J. Steroid Biochem. -1982. V. 17. No. 3. P. 335-342.
- 322. Roots I., Holbe R., Hövermann W., Nigam S., Heinemeyer G., Hildebrandt A.G. Quantitative determination by HPLC of urinary 6β -hydroxycortisol, an indicator of enzyme induction by rifampicin and antiepileptic drugs // Eur. J. Clin. Pharmacol. 1979. V. 16. P. 63-71.
- 323. Nakamura J., Yakata M. Age-and sex-related differences in urinary excretion of 6β-hydroxycortisol in humans // Clin. Chim. Acta. − 1985. − V. 152. − №. 1-2. − P. 193-197.
- 324. Ono T., Tanida K., Shibata H., Konishi H., Shimakawa, H. High-performance liquid chromatographic determination of 6β -hydroxycortisol in urine // Chem. Pharm. Bull. 1986. V. 34. No. 6. P. 2522-2527.
- 325. Inoue S., Inokuma, M. Harada T., Shibutani Y., Yoshitake T., Charles B., Ishida J., Yamaguchi M. Simultaneous high-performance liquid chromatographic determination of 6β-hydroxycortisol and cortisol in urine with fluorescence detection and

- its application for estimating hepatic drug-metabolizing enzyme induction // J. Chromatogr. B: Biomed. Sci. Appl. -1994. V. 661. No. 1. P. 15-23.
- 326. Lykkesfeldt J., Loft S., Poulsen H.E. Simultaneous determination of urinary free cortisol and 6β -hydroxycortisol by high-performance liquid chromatography to measure human CYP3A activity // J. Chromatogr. B: Biomed. Sci. Appl. 1994. V. 660. N0. 1. P. 23-29.
- 327. Doležalová M. Routine high-performance liquid chromatographic determination of urinary unconjugated cortisol using solid-phase extraction and ultraviolet detection // Clin. Chim. Acta. − 1994. − V. 231. − №. 2. − P. 129-137.
- 328. Ohno M., Yamaguchi I., Ito T., Saiki K., Yamamoto I., Azuma J. Circadian variation of the urinary 6β-hydroxycortisol to cortisol ratio that would reflect hepatic CYP3A activity // Eur. J. Clin. Pharmacol. 2000. V. 55. P. 861-865.
- 329. Ohno M., Yamaguchi I., Saiki K., Yamamoto I., Azuma J. Specific determination of urinary 6β -hydroxycortisol and cortisol by liquid chromatography–atmospheric pressure chemical ionization mass spectrometry // J. Chromatogr. B: Biomed. Sci. Appl. 2000. V. 746. N0. 1. P. 95-101.
- 330. Barrett Y.C., Akinsanya B., Chang S.Y., Vesterqvist O. Automated on-line SPE LC–MS/MS method to quantitate 6beta-hydroxycortisol and cortisol in human urine: use of the 6beta-hydroxycortisol to cortisol ratio as an indicator of CYP3A4 activity // J. Chromatogr. B: Anal. Technol. Biomed. Life Sci. − 2005. − V. 821. − №. 2. − P. 159-165.
- 331. Ma Y.C., Kim H.Y. Determination of steroids by liquid chromatography/mass spectrometry // J. Am. Soc. Mass Spectrom. 1997. V. 8. №. 9. P. 1010-1020.
- 332. Yoshimoto F.K., Auchus R.J. The diverse chemistry of cytochrome P450 17A1 (P450c17, CYP17A1) // J. Steroid Biochem. Mol. Biol. 2015. V. 151. P. 52-65.
- 333. Monder C., Kendall J. Sulfuric acid-induced fluorescence of corticosteroids: effects of position substituents on fluorescence // Anal. Biochem. − 1975. − V. 68. − №. 1. − P. 248-254.

- 334. James V.H.T., Honour J.W., Fraser R. Analysis of corticosteroids, corticosteroid metabolites and related compounds in body fluids and tissues // Steroid analysis. –Springer Netherlands, 1995. P. 229-267.
- 335. Abel S.M., Back D.J. Cortisol metabolism *in vitro* III. Inhibition of microsomal 6β -hydroxylase and cytosolic 4-ene-reductase // J. Steroid Biochem. Mol. Biol. 1993. V. 46. N₂. 6. P. 827-832.
- 336. Greenblatt D.J., Zhao Y., Venkatakrishnan K., Duan S.X., Harmatz J.S., Parent S.J., Court M.H., von Moltke L.L. Mechanism of cytochrome P450-3A inhibition by ketoconazole // J. Pharm. Pharmacol. − 2011. − V. 63. − №. 2. − P. 214-221.
- 337. Jiki Z., Lecour S., Nduhirabandi F. Cardiovascular benefits of dietary melatonin: a myth or a reality? // Front. Physiol. 2018. V. 9. P. 357016.
- 338. Cheng Z.N., Shu Y., Liu Z.Q., Wang L.S., Ou-Yang D.S., Zhou H.H. Role of cytochrome P450 in estradiol metabolism *in vitro* // Acta Pharmacolio Sin. 2001. V. 22. №. 2. P. 148-154.
- 339. Ogburn E.T., Jones D.R., Masters A.R., Xu C., Guo Y., Desta Z. Efavirenz primary and secondary metabolism *in vitro* and *in vivo*: identification of novel metabolic pathways and cytochrome P450 2A6 as the principal catalyst of efavirenz 7-hydroxylation // Drug Metab. Dispos. -2010. V.38. No.7. P.1218-1229.
- 340. Restrepo J.G., Garcia-Martin E., Martinez C., Agundez J.A. Polymorphic drug metabolism in anaesthesia // Curr. Drug Metab. − 2009. − V. 10. − №. 3. − P. 236-246.
- 341. Baldwin S.J., Clarke S.E., Chenery R.J. Characterization of the cytochrome P450 enzymes involved in the *in vitro* metabolism of rosiglitazone // Br. J. Clin. Pharmacol. 1999. V. 48. N_2 . 3. P. 424-432.
- 342. Ufer M. Comparative pharmacokinetics of vitamin K antagonists: warfarin, phenprocoumon and acenocoumarol // Clin. Pharmacokinet. 2005. V. 44. P. 1227-1246.
- 343. Bort R., Macé K., Boobis A., Gómez-Lechón M.J., Pfeifer A., Castell J. Hepatic metabolism of diclofenac: role of human CYP in the minor oxidative pathways // Biochem. Pharmacol. − 1999. − V. 58. − №. 5. − P. 787-796.

- 344. Yamanaka H., Nakajima M., Hara Y., Katoh M., Tachibana O., Yamashita J., Yokoi T. Urinary excretion of phenytoin metabolites, 5-(4′-hydroxyphenyl)-5-phenylhydantoin and its O-glucuronide in humans and analysis of genetic polymorphisms of UDP-glucuronosyltransferases // Drug Metab. Pharmacokinet. − 2005. − V. 20. − №. 2. − P. 135-143.
- 345. Vogl S., Lutz R.W., Schönfelder G., Lutz W.K. CYP2C9 genotype vs. metabolic phenotype for individual drug dosing a correlation analysis using flurbiprofen as probe drug // PLoS One. 2015. V. 10. N_2 . 3. P. e0120403.
- 346. Piatkov I., Rochester C., Jones T., Boyages S. Warfarin toxicity and individual variability clinical case // Toxins. 2010. V. 2. N_{\odot} . 11. P. 2584-2592.
- 347. Miura M., Tada H., Yasui-Furukori N., Uno T., Sugawara K., Tateishi T., Suzuki T. Pharmacokinetic differences between the enantiomers of lansoprazole and its metabolite, 5-hydroxylansoprazole, in relation to CYP2C19 genotypes // Eur. J. Clin. Pharmacol. 2004. V. 60. P. 623-628.
- 348. Wienkers L.C., Wurden C.J., Storch E., Kunze K.L., Rettie A.E., Trager W.F. Formation of (R)-8-hydroxywarfarin in human liver microsomes. A new metabolic marker for the (S)-mephenytoin hydroxylase, P4502C19 // Drug Metab. Dispos. 1996. V. 24. \mathbb{N}_{2} . 5. P. 610-614.
- 349. Klaassen T., Jetter A., Tomalik-Scharte D., Kasel D., Kirchheiner J., Jaehde U., Fuhr U. Assessment of urinary mephenytoin metrics to phenotype for CYP2C19 and CYP2B6 activity // Eur. J. Clin. Pharmacol. 2008. V. 64. P. 387-398.
- 350. Ebner T., Eichelbaum M. The metabolism of aprindine in relation to the sparteine/debrisoquine polymorphism // Br. J. Clin. Pharmacol. $-1993. V. 35. N_{\odot}. 4. P. 426-430.$
- 351. Dinh J.C., Pearce R.E., Van Haandel L., Gaedigk A., Leeder J.S. Characterization of atomoxetine biotransformation and implications for development of PBPK models for dose individualization in children // Drug Metab. Dispos. $-2016. V.44. N_{\odot}.7. P. 1070-1079.$

- 352. Lantz R.J., Gillespie T.A., Rash T.J., Kuo F., Skinner M., Kuan H.Y., Knadler M.P. Metabolism, excretion, and pharmacokinetics of duloxetine in healthy human subjects // Drug Metab. Dispos. − 2003. − V. 31. − №. 9. − P. 1142-1150.
- 353. Wang Z., Wang L., Xu R.A., Zhan Y.Y., Huang C.K., Dai D.P., Cai J.P., Hu G.X. Role of cytochrome P450 2D6 genetic polymorphism in carvedilol hydroxylation *in vitro* // Drug Des., Dev. Ther. 2016. V. 10. P. 1909-1916.
- 354. Bakken G.V., Rudberg I., Christensen H., Molden E., Refsum H., Hermann M. Metabolism of quetiapine by CYP3A4 and CYP3A5 in presence or absence of cytochrome b_5 // Drug Metab. Dispos. 2009. V. 37. No. 2. P. 254-258.
- 355. Okubo M., Murayama N., Miura J., Chiba Y., Yamazaki H. Effects of cytochrome P450 2D6 and 3A5 genotypes and possible coadministered medicines on the metabolic clearance of antidepressant mirtazapine in Japanese patients // Biochem. Pharmacol. -2015. -V. 93. -N0. 1. -P. 104-109.
- 356. Nakamura K., Yokoi T., Inoue K., Shimada N., Ohashi N., Kume T., Kamataki T. CYP2D6 is the principal cytochrome P450 responsible for metabolism of the histamine 111 antagonist promethazine in human liver microsomes // Pharmacogenet. Genomics. -1996. V. 6. No. 5. P. 449-457.
- 357. Afshar M., Rouini M. A rapid HPLC assay for the simultaneous determination of propafenone and its major metabolites in human serum // Anal. Sci. $2004. V. 20. N_{\odot}. 9. P. 1307-1311.$
- 358. Upthagrove A.L., Nelson W.L. Importance of amine pK_a and distribution coefficient in the metabolism of fluorinated propranolol derivatives. Preparation, identification of metabolite regioisomers, and metabolism by CYP2D6 // Drug Metab. Dispos. $-2001.-V.\ 29.-N_{\odot}.\ 11.-P.\ 1377-1388.$
- 359. Lyon E., Gastier Foster J., Palomaki G.E., Pratt V.M., Reynolds K., Sábato M.F., Scott S.A., Vitazka P. Laboratory testing of CYP2D6 alleles in relation to tamoxifen therapy // Genet. Med. − 2012. − V. 14. − №. 12. − P. 990-1000.
- 360. Mürdter T.E., Kerb R., Turpeinen M., Schroth W., Ganchev B., Böhmer G.M., Igel S., Schaeffeler E., Zanger U., Brauch H., Schwab M. Genetic polymorphism of cytochrome P450 2D6 determines oestrogen receptor activity of the major infertility

- drug clomiphene via its active metabolites // Hum. Mol. Genet. $-2012. V. 21. N_{\odot}. 5.$ -P. 1145-1154.
- 361. Yamamura Y., Koyama N., Umehara K. Comprehensive kinetic analysis and influence of reaction components for chlorzoxazone 6-hydroxylation in human liver microsomes with CYP antibodies // Xenobiotica. − 2015. − V. 45. − №. 4. − P. 353-360.
- 362. Liu A., Wu Q., Guo J., Ares I., Rodríguez J.L., Martínez-Larrañaga M.R., Yuan Z., Anadón A., Wang X., Martínez M.A. Statins: Adverse reactions, oxidative stress and metabolic interactions // Pharmacol. Ther. 2019. V. 195. P. 54-84.
- 363. Fan-Havard P., Liu Z., Chou M., Ling Y., Barrail-Tran A., Haas D.W., Taburet A. Pharmacokinetics of phase I nevirapine metabolites following a single dose and at steady state // Antimicrob. Agents Chemother. − 2013. − V. 57. − №. 5. − P. 2154-2160.
- 364. Wen B., Ma L., Rodrigues A.D., Zhu M. Detection of novel reactive metabolites of trazodone: evidence for CYP2D6-mediated bioactivation of m-chlorophenylpiperazine // Drug Metab. Dispos. − 2008. − V. 36. − №. 5. − P. 841-850.
- 365. Zhang H., Cui D., Wang B., Han Y.H., Balimane P., Yang Z., Sinz. M., Rodrigues A.D. Pharmacokinetic drug interactions involving 17α-ethinylestradiol: a new look at an old drug // Clin. Pharmacokinet. 2007. V. 46. P. 133-157.
- 366. Nakajima M., Inoue T., Shimada N., Tokudome S., Yamamoto T., Kuroiwa Y. Cytochrome P450 2C9 catalyzes Indomethacin *O*-Demethylation in human liver microsomes // Drug Metab. Dispos. 1998. V. 26. №. 3. P. 261-266.
- 367. Pan P.P., Weng Q.H., Zhou C.J., Wei Y.L., Wang L., Dai D.P., Cai J.P., Hu G.X. The role of CYP2C9 genetic polymorphism in carvedilol O-desmethylation *in vitro* // Eur. J. Drug Metab. Pharmacokinet. 2016. V. 41. P. 79-86.
- 368. Magalhães P., Alves G., Llerena A., Falcão A. Venlafaxine pharmacokinetics focused on drug metabolism and potential biomarkers // Drug Metab. Drug Interact. − 2014. − V. 29. − №. 3. − P. 129-141.
- 369. Bachus R. Bickel U., Thomsen T., Roots I., Kewitz H. The *O*-demethylation of the antidementia drug galanthamine is catalysed by cytochrome P450 2D6 // Pharmacogenet. Genomics. $-1999. V. 9. N_{\odot}. 6. P. 661-668$.

- 370. Fang P., Zheng X., He J., Ge H., Tang P., Cai J., Hu G. Functional characterization of wild-type and 24 CYP2D6 allelic variants on gefitinib metabolism *in vitro* // Drug Des., Dev. Ther. 2017.– V. 11. P. 1283-1290.
- 371. Barakat N.H., Atayee R.S., Best B. M., Pesce A.J. Relationship between the concentration of hydrocodone and its conversion to hydromorphone in chronic pain patients using urinary excretion data // J. Anal. Toxicol. -2012. V. 36. No. 4. P. 257-264.
- 372. Kim J., Lim Y.R., Han S., Han J.S., Chun Y.J., Yun C.H., Lee C.H., Kim D. Functional influence of human CYP2D6 allelic variations: P34S, E418K, S486T, and R296C // Arch. Pharmacal Res. 2013. V. 36. P. 1500-1506.
- 373. Mikus G., Weiss J. Influence of CYP2D6 genetics on opioid kinetics, metabolism and response // Curr. Pharmacogenomics. − 2005. − V. 3. − №. 1. − P. 43-52.
- 374. Samer C. F., Daali Y., Wagner M., Hopfgartner G., Eap C.B., Rebsamen M.C., Rossier M.F, Hochstrasser D., Dayer P., Desmeules J.A. Genetic polymorphisms and drug interactions modulating CYP2D6 and CYP3A activities have a major effect on oxycodone analgesic efficacy and safety // Br. J. Pharmacol. − 2010. − V. 160. − №. 4. − P. 919-930.
- 375. Doki K., Sekiguchi Y., Kuga K., Aonuma K., Homma M. Serum flecainide S/R ratio reflects the CYP2D6 genotype and changes in CYP2D6 activity // Drug Metab. Pharmacokinet. − 2015. − V. 30. − №. 4. − P. 257-262.
- 376. Matsumoto S., Hirama T., Matsubara T., Nagata K., Yamazoe Y. Involvement of CYP2J2 on the intestinal first-pass metabolism of antihistamine drug, astemizole // Drug Metab. Dispos. − 2002. − V. 30. − №. 11. − P. 1240-1245.
- 377. Wilkinson D.G. The pharmacology of donepezil: a new treatment for Alzheimer's disease // Expert Opin. Pharmacother. 1999. V. 1. №. 1. P. 121-135.

ПРИЛОЖЕНИЕ

Таблица П1. Катализируемые цитохромами P450 реакции метаболизма лекарственных препаратов, приводящие к образованию гидроксильных групп в ароматическом кольце.

Реакции ароматического гидроксилирования						
Изофермент СҮР	Лекарственный	Анатомо-Терапевтически-Химическая	Реакция *	Метаболиты	Ссылка	
	препарат	(АТХ) классификация				
CYP1A2	Мелатонин	N05CH – Агонисты мелатониновых рецепторов	б-гидроксилирование	6-гидроксимелатонин	[337]	
	Миансерин	N06AX – Прочие антидепрессанты	8-гидроксилирование	8-гидроксимиансерин	[177]	
	Эстрадиол	G03CA – Природные и полусинтетические эстрогены	2-гидроксилирование	2-гидроксиэстрадиол	[338]	
CYP2A6	Эфавиренз	J05AG – Ненуклеозиды - ингибиторы обратной транскриптазы	7-гидроксилирование	7-гидроксиэфавиренз	[339]	
CYP2B6	Миансерин	N06AX – Прочие антидепрессанты	8-гидроксилирование	8-гидроксимиансерин	[177]	
	Пропофол	N01AX – Другие препараты для общей анестезии	4-гидроксилирование	4-гидроксипропофол	[340]	
	Эфавиренз	J05AG – Ненуклеозиды - ингибиторы обратной транскриптазы	8-гидроксилирование	8-гидроксиэфавиренз	[339]	
CYP2C8	Росиглитазон	A10BG – Тиазолидинедионы	<i>пара</i> -гидроксилирование	пара-гидроксиросиглитазон	[341]	
CYP2C9	Аценокумарол	В01АА – Антагонисты витамина К	6- и 7-гидроксилирование	6- или 7-гидроксиаценокумарол	[342]	
	Диклофенак	S01BC – Нестероидные противовоспалительные препараты (НПВП)	4'-гидроксилирование	4'-гидроксидиклофенак	[343]	

	Лорноксикам	М01АС – Оксикамы	5'-гидроксилирование	5'-гидроксилорноксикам	[191]
	Пироксикам	М01АС – Оксикамы	5'-гидроксилирование	5'-гидроксипироксикам	[192]
	Фенитоин	N03AB – Производные гидантоина	4-гидроксилирование	4-гидроксифенитоин	[344]
	Флурбипрофен	S01BC –НПВП	4'-гидроксилирование	4'-гидроксифлурбипрофен	[345]
	(S)-варфарин	В01АА – Антагонисты витамина К	7-гидроксилирование	(S)-7-гидроксиварфарин	[346]
CYP2C19	Лансопразол	А02ВС – Ингибиторы протонного насоса	5-гидроксилирование	5-гидроксилансопразол	[347]
	Фенитоин	N03AB – Производные гидантоина	4-гидроксилирование	4-гидроксифенитоин	[344]
	(R)-варфарин	В01АА – Антагонисты витамина К	8-гидроксилирование	(<i>R</i>)-8-гидроксиварфарин	[348]
	(S)-мефенитоин	N03AB – Производные гидантоина	4'-гидроксилирование	(S)-4'-гидроксимефенитоин	[349]
CYP2D6	Априндин	C01BB – Антиаритмические препараты Ib класса	5-гидроксилирование	5-гидроксиаприндин	[350]
	Атомоксетин	N06BA – Симпатомиметики центрального действия	4-гидроксилирование	4-гидроксиатомоксетин	[351]
	Дезипрамин	N06AA – Неселективные ингибиторы обратного захвата моноаминов	2-гидроксилирование	2-гидроксидезипрамин	[179]
	Дулоксетин	N06AX – Прочие антидепрессанты	4-, 5- и 6-гидроксилирование	4-, 5- или 6-гидроксидулоксетин	[352]
	Имипрамин	N06AA – Неселективные ингибиторы обратного захвата моноаминов	2-гидроксилирование	2-гидроксиимипрамин	[179]

	Карведилол	C07AG – Альфа-, бета-адреноблокаторы	4'- и 5'-гидроксилирование	4'- или 5'-гидроксикарведилол	[353]
	Кветиапин	N05AH – Производные диазепина, тиазепина и оксазепина	7-гидроксилирование	7-гидроксикветиапин	[354]
	Миансерин	N06AX – Прочие антидепрессанты	8-гидроксилирование	8-гидроксимиансерин	[176]
	Миртазапин	N06AX – Прочие антидепрессанты	8-гидроксилирование	8-гидроксимиртазапин	[355]
	Прометазин	R06AD – Производные фенотиазина	7-гидроксилирование	7-гидроксипрометазин	[356]
	Пропафенон	C01BC – Антиаритмические препараты Ic класса	5-гидроксилирование	5-гидроксипропафенон	[357]
	Пропранолол	C07AA – Неселективные бета- адреноблокаторы	4'- и 5'-гидроксилирование	4'- или 5'-гидроксипропранолол	[358]
	Тамоксифен	L02BA – Антиэстрогены	4-гидроксилирование	4-гидрокситамоксифен	[359]
	Хлорпромазин	N05AA – Производные фенотиазина с алифатической структурой	7-гидроксилирование	7-гидроксихлорпромазин	[194]
	(Е)-кломифен	G03GB – Синтетические стимуляторы овуляции	4-гидроксилирование	4-гидроксикломифен	[360]
CYP2E1	Хлорзоксазон	М03ВВ – Производные оксазола, тиазина и триазина	6-гидроксилирование	6-гидроксихлорзоксазон	[361]
CYP3A4/3A5	Аторвастатин	С10АА – Ингибиторы ГМГ-КоА-редуктазы	Пара- или <i>орто</i> -гидроксилирование	Пара- и орто- гидроксиаторвастатин	[362]
	Диклофенак	S01BC – НПВП	5-гидроксилирование	5-гидроксидиклофенак	[114]
	Кветиапин	N05AH – Производные диазепина, тиазепина и оксазепина	7-гидроксилирование	7-гидроксикветиапин	[354]
	Миансерин	N06AX – Прочие антидепрессанты	8-гидроксилирование	8-гидроксимиансерин	[177]

	Невирапин	J05AG – Ненуклеозиды - ингибиторы обратной транскриптазы	2-гидроксилирование	2-гидроксиневирапин	[363]
	Тразодон	N06AX – Прочие антидепрессанты	4'-гидроксилирование	4'-гидрокситразадон	[364]
	Этинилэстрадиол	L02AA – Эстрогены	2-гидроксилирование	2-гидроксиэтинилэстрадиол	[365]
		Реакции деалкилі	ирования		
CYP1A2	Мелатонин	N05CH – Агонисты мелатониновых рецепторов	О-деметилирование	N-ацетилсеротонин	[337]
	Миансерин	N06AX – Прочие антидепрессанты	N-деметилирование	N-десметилмиансерин	[177]
	Напроксен	S01BC – НПВП	О-деметилирование	О-десметилнапроксен	[268]
	Фенацетин	N02BE – Анилиды	О-деэтилирование	О-деэтилфенацентин (Ацетаминофен, парацетамол)	[202]
CYP2C9	Индометацин	S01BC – НПВП	О-деметилирование	О-десметилиндометацин	[366]
	Карведилол	С07AG – Альфа-, бета-адреноблокаторы	О-деметилирование	О-десметилкарведилол	[367]
CYP2C19	Мелатонин	N05CH – Агонисты мелатониновых рецепторов	О-деметилирование	N-ацетилсеротонин	[337]
CYP2D6	Венлафаксин	N06AX – Прочие антидепрессанты	О-деметилирование	О-десметилвенлафаксин	[368]
	Галантамин	N06DA – Ингибиторы холинэстеразы	О-деметилирование	О-десметилгалантамин	[369]
	Гефитиниб	L01XE – Ингибиторы протеинкиназы	О-деметилирование	О-десметилигефитиниб	[370]
	Гидрокодон	R05DA – Алколоиды опия и его производные	О-деметилирование	О-десметилгидрокодон	[371]

	Декстрометорфан	R05DA – Алколоиды опия и его производные	О-деметилирование	Декстрорфан	[372]
	Дигидрокодеин	N02AA – Природные алколоиды опия	О-деметилирование	Дигидроморфин	[373]
	Кодеин	R05DA – Алколоиды опия и его производные	О-деметилирование	Морфин	[205]
	Оксикодон	N02AA – Природные алколоиды опия	О-деметилирование	О-десметилоксикодон	[374]
	Трамадол	N02AX – Прочие опиоиды	О-деметилирование	О-десметилтрамадол	[206]
	Флекаинид	C01BC – Антиаритмические препараты Іс класса	<i>мета</i> -О-деалкилирование	Мета-О-деалкилфлекаинид	[375]
CYP2J2	Астемизол	R06AX – Прочие антигистаминные препараты для системного применения	О-деметилирование	О-десметиластемизол	[376]
CYP3A4/3A5	Донепезил	N06DA – Ингибиторы холинэстеразы	О-деметилирование	О-десметилдонепезил	[377]

Примечание: Указанные реакции могут быть как основными, так и одними из возможных для соответствующих субстратов.

БЛАГОДАРНОСТИ

Автор выражает глубокую благодарность за неоценимую помощь на всех диссертационной работы этапах выполнения научному консультанту, заведующему лабораторией биоэлектрохимии ИБМХ, профессору кафедры биохимии МБФ ФГАОУ ВО РНИМУ им. Н.И. Пирогова Минздрава России, д.б.н., профессору Шумянцевой Виктории Васильевне, сотруднику Института мультидисциплинарных исследований Общества Макса Планка (Геттинген, Германия), д.б.н. Мошковскому Сергею Александровичу, доценту кафедры биохимии МБФ, старшему научному сотруднику лаборатории биокаталитических систем ФГАОУ ВО РНИМУ им. Н.И. Пирогова Минздрава России, младшему научному сотруднику лаборатории биоэлектрохимии ИБМХ, к.б.н. Масамреху Рами Ахмаду, младшему научному сотруднику лаборатории биоэлектрохимии ИБМХ, ассистенту кафедры биохимии МБФ, младшему научному сотруднику лаборатории биокаталитических систем ФГАОУ ВО РНИМУ им. Н.И. Пирогова Минздрава России Филипповой Татьяне Андреевне, старшему научному сотруднику лаборатории биокаталитических систем ФГАОУ ВО РНИМУ им. Н.И. Пирогова Минздрава России, к.в.н. Худоклиновой Юлии Юрьевне, старшему научному сотруднику лаборатории структурно-функционального конструирования лекарств ИБМХ, к.б.н. Дмитриеву Александру Викторовичу, научному сотруднику лаборатории структурно-функционального конструирования лекарств ИБМХ, к.б.н. Погодину Павлу Викторовичу, всему коллективу лаборатории биоэлектрохимии ИБМХ и всему коллективу кафедры биохимии МБФ ФГАОУ ВО РНИМУ им. Н.И. Пирогова Минздрава России. Автор также благодарит ведущего научного сотрудника лаборатории иммунобиохимии Федерального исследовательского «Фундаментальные центра основы биотехнологии» Российской академии наук, д.х.н. Жердева Анатолия Виталиевича и заведующего лабораторией межмолекулярных взаимодействий ИБМХ, д.б.н., профессора Иванова Алексея Сергеевича за критические замечания и ценные рекомендации.